

## การใช้แรงและความไม่สบายนิเวณเท้าของพนักงานขนส่ง

นายธีรศักดิ์ ทองสัมฤทธิ์

วิทยานิพนธ์นี้เป็นส่วนหนึ่งของการศึกษาตามหลักสูตรปริญญาวิศวกรรมศาสตรมหาบัณฑิต  
สาขาวิชาวิศวกรรมอุตสาหการ  
มหาวิทยาลัยเทคโนโลยีสุรนารี  
ปีการศึกษา 2553

**STRENGTH EXERTION AND FOOT DISCOMFORT OF  
TRANSPORTATION OPERATORS**

**Teerasak Thongsumrit**

**A Thesis Submitted in Partial Fulfillment of the Requirements for the  
Degree of Master of Engineering in Industrial Engineering  
Suranaree University of Technology  
Academic Year 2010**

## การใช้แรงและความไม่สบายนริเวณท้าของพนักงานขนส่ง

มหาวิทยาลัยเทคโนโลยีสุรนารี อนุมัติให้นับวิทยานิพนธ์ฉบับนี้เป็นส่วนหนึ่งของการศึกษา  
ตามหลักสูตรปริญญามหาบัณฑิต

คณะกรรมการสอบวิทยานิพนธ์

(อ. ดร. พงษ์ชัย จิตตะมัย)

ประธานกรรมการ

(ผศ. ดร. พรศิริ คงกล)

กรรมการ (อาจารย์ที่ปรึกษาวิทยานิพนธ์)

(รศ. ดร. นิวิท เจริญใจ)

กรรมการ

(อ. ดร. วุฒิ ด่านกิตติกุล)

รักษากฎหมายและจรรยาบรรณทางวิชาการ

(รศ. น.อ. ดร. วรพจน์ ข้าพิศ)

คณบดีสำนักวิชาศึกษาศาสตร์

ธีรศักดิ์ ทองสัมฤทธิ์ : การใช้แรงและความไม่สบายบริเวณเท้าของพนักงานขนส่ง (STRENGTH EXERTION AND FOOT DISCOMFORT OF TRANSPORTATION OPERATORS) อาจารย์ที่ปรึกษา : ผู้ช่วยศาสตราจารย์ ดร.พรศิริ คงกล, 171 หน้า.

การศึกษาวิจัยครั้งนี้มีวัตถุประสงค์เพื่อประเมินความสามารถในการออกแบบดึงและดันรถเข็นที่บรรทุกสารเคมีสกัดไดร์ฟของพนักงานขนส่งในสายการผลิตสารเคมีสกัดไดร์ฟ และศึกษาผลกระทบของรองเท้าที่มีต่อความไม่สบายบริเวณเท้าของพนักงานขนส่ง ผู้ถูกทดสอบที่เข้าร่วมในงานวิจัยครั้งนี้เป็นพนักงานขนส่งในสายการผลิตสารเคมีสกัดไดร์ฟจำนวน 50 คน แบ่งเป็นเพศชาย 25 คน และเพศหญิง 25 คน ทุกคนมีประสบการณ์ทำงานอย่างต่อเนื่องระยะเวลา 1 ปี การเก็บข้อมูลความสามารถในการออกแบบดึงและดันรถเข็นที่บรรทุกสารเคมีสกัดไดร์ฟของพนักงานขนส่งในที่ยืนปกติและท่าเดินเท้าเรือที่ระดับความสูงรถเข็น 85 เซนติเมตร โดยใช้รองเท้าที่สวมใส่ปฏิบัติงานจริงรองเท้าที่เพิ่มแผ่นเสริมรองเท้าชนิดเรียบและรองเท้าที่เพิ่มหมอนรองส้นเท้า จากนั้นนำข้อมูลความสามารถในการออกแบบดึงและดันรถเข็นมาวิเคราะห์ทางสถิติโดยการวิเคราะห์ความแปรปรวน ประเมินภาระงานขนส่ง และสร้างความสัมพันธ์ระหว่างแรงกับลักษณะรองเท้าที่สวมใส่ขณะออกแบบ

ผลการประเมินภาระงานขนส่งในระหว่างรถเข็นเคลื่อนที่พบว่าภาระงานอยู่ในระดับที่เหมาะสมไม่เกินกำลังของพนักงาน ในขณะที่ภาระงานระหว่างรถเข็นเริ่มเคลื่อนที่มีผู้ถูกทดสอบเพศชายจำนวน 2 คน และเพศหญิงจำนวน 7 คน ที่มีค่า 15 เปอร์เซ็นต์ของความสามารถในการอุปกรณ์แรงสูงสุดต่ำกว่าความหนักของภาระงาน โดยผู้ถูกทดสอบสามารถอุปกรณ์แรงดึงสูงสุดขณะสวัมใส่รองเท้าที่เพิ่มหมอนรองส้นเท้า ในขณะที่สามารถอุปกรณ์แรงดันสูงสุดเมื่อสวมใส่รองเท้าที่เพิ่มแผ่นเสริมรองเท้าชนิดเรียบในท่ายืนเท้าเยื่องกัน ค่าความสามารถในการอุปกรณ์แรงดึงและแรงดันสถิติสูงสุดของผู้ถูกทดสอบเพศชายเท่ากับ 19.93 และ 20.58 กิโลกรัม ตามลำดับ และค่าดังกล่าวของผู้ถูกทดสอบเพศหญิงเท่ากับ 13.11 และ 14.86 กิโลกรัม ตามลำดับ ผู้ถูกทดสอบมีระดับความพึงพอใจต่อแผ่นเสริมรองเท้าชนิดเรียบและหมอนรองส้นเท้ามาก จากการวิเคราะห์ความแปรปรวนพบว่าทิศของแรง ท่ายืน รองเท้าและเพศ มีผลต่อความสามารถในการอุปกรณ์แรงสถิติ และรองเท้ามีผลต่อความไม่สบายบริเวณเท้าอย่างมีนัยสำคัญ ผลของการวิเคราะห์การถดถอยพบว่า ท่ายืน รองเท้าและเพศ มีความสัมพันธ์กับความสามารถในการอุปกรณ์แรงสถิติ โดยมีค่าสัมประสิทธิ์สหสัมพันธ์เท่ากับ 0.546

TEERASAK THONGSUMRIT : STRENGTH EXERTION AND FOOT  
DISCOMFORT OF TRANSPORTATION OPERATORS. THESIS  
ADVISOR : ASST. PROF. PORN SIRI JONGKOL, Ph.D., 171 PP.

HUMAN STRENGTH/MAXIMUM VOLUNTARY EXERTION/DISCOMFORT/  
MUSCULOSKELETAL DISORDERS/FOOT/ SHOES/SHOE INSERT/HEEL CUP

This research aimed to assess pull and push strength exertion capabilities of transportation operators in a hard disk drive manufacturer, and to study the effect of shoes on foot discomfort of transportation operators. The subjects of this research were 50 hard disk drives transportation operators (25 males and 25 females) with at least a year of working experience. Data collected were pull and push static strengths exerted in normal standing posture and left foot forward standing posture, at the handle height of the wagon (85 centimeters). The subjects wore three types of shoe: canvas shoe, canvas shoe with shoe insert, and canvas shoe with heel cup. The measured strengths were used to evaluate the transportation workloads. Analysis of variance was carried out to determine the significant factors and also regression analysis was performed to determine the relationship between static strengths and type of shoes.

The results showed that the transportation operators were able to do their task safely. However, 15% of push strength of two males and seven females were lower than force required to overcome floor friction at the beginning of cart pushing. The greatest isometric pull strengths was found when exerting force wearing canvas shoes

with heel cup, whereas the greatest isometric push strengths was found when exerting force wearing canvas shoes with shoe insert, both in standing posture with left foot forward. The highest pull and push strengths of male were 19.93 and 20.58 kilograms, respectively, whereas those of females were 13.11 and 14.86 kilograms, respectively. The subjects preferred wearing shoes with insert and heel cup. The analysis of variance showed that direction, posture, shoe, and gender had significant effect on the static strengths. Type of shoes significantly affected foot discomfort. From the results of regression analysis, posture, shoe, and gender have a relationship with static strength with 0.546 of coefficient of determination ( $R^2$ ).



School of Industrial Engineering

Student's Signature \_\_\_\_\_

Academic Year 2010

Advisor's Signature \_\_\_\_\_

## กิตติกรรมประกาศ

ผู้วิจัยขอกราบขอบพระคุณคณาจารย์ และกลุ่มนักศึกษาที่ได้รุณามให้คำปรึกษา คำแนะนำ และช่วยเหลือสนับสนุนอย่างดีเยี่ยม ทั้งในด้านวิชาการ และการดำเนินการวิจัย

ผู้ช่วยศาสตราจารย์ ดร.พรศิริ คงกล ออาจารย์ที่ปรึกษาวิทยานิพนธ์ ที่เมตตาให้โอกาสทางการศึกษาและทุนการศึกษา ให้คำแนะนำปรึกษา ชี้แนะแนวทางแก้ปัญหา และให้กำลังใจแก่ผู้วิจัย มาโดยตลอด รวมทั้งช่วยตรวจสอบ และแก้ไขเนื้อหาวิทยานิพนธ์เล่มนี้จนเสร็จสมบูรณ์

อาจารย์ ดร.พงษ์ชัย จิตตะมัย ประธานกรรมการสอบวิทยานิพนธ์ และรองศาสตราจารย์ ดร.นิวิท เจริญใจ กรรมการสอบวิทยานิพนธ์ ที่กรุณาให้คำปรึกษาด้านวิชาการ ชี้แนะแนวทางแก้ไขปัญหา รูปแบบการเขียน และช่วยตรวจสอบเนื้อหาวิทยานิพนธ์

ผู้ช่วยศาสตราจารย์ ดร.ยงยุทธ เสริมสุธีอนุวัฒน์ อาจารย์ ดร.ปภากร สุนานันท์ และคณาจารย์สาขาวิชาวิศวกรรมอุตสาหการ มหาวิทยาลัยเทคโนโลยีสุรนารีทุกท่าน ที่ให้โอกาสทางการศึกษาและคำปรึกษาด้านวิชาการ

ขอขอบคุณ คุณปราณี กฐินใหม่ เจ้าหน้าที่บริหารงานทั่วไป สาขาวิชาวิศวกรรมอุตสาหการ ที่ให้คำแนะนำเพื่อขับเคลื่อนการดำเนินการต่างๆ เป็นไปด้วยความเรียบร้อย

ขอขอบคุณ คุณจำنجก์ พายสาระน้อย เจ้าหน้าที่ศูนย์เครื่องมือวิทยาศาสตร์และเทคโนโลยี มหาวิทยาลัยเทคโนโลยีสุรนารี ที่อนุเคราะห์เครื่องมือและอุปกรณ์ประกอบการดำเนินการวิจัย

ขอขอบคุณ คุณศักดิ์ดา สังขปรีชา ที่อำนวยความสะดวกในการติดต่อประสานงาน ให้การดูแล และให้ข้อมูลที่เป็นประโยชน์ระหว่างการเก็บข้อมูลงานวิจัยในบริษัทกรณีศึกษาโดยตลอด

ขอขอบคุณ คุณวรรณนิศา นุชคุ่ม ที่เคยช่วยเหลือ และเป็นกำลังใจมาโดยตลอดช่วงระยะเวลาการศึกษา และพนักงานขนส่งในสายการผลิตอาร์คิดิสก์ไดร์ฟในบริษัทกรณีศึกษาทุกท่าน ที่ให้ความอนุเคราะห์ข้อมูลและเสียสละเวลา ทำให้การวิจัยสำเร็จลุล่วงไปได้ด้วยดี

ขอขอบคุณ มหาวิทยาลัยเทคโนโลยีสุรนารี และศูนย์วิจัยร่วมเฉพาะทางด้านส่วนประกอบ อาร์คิดิสก์ไดร์ฟ คณะวิศวกรรมศาสตร์ มหาวิทยาลัยขอนแก่น ที่สนับสนุนทุนการศึกษาและทำวิจัย

สำหรับคุณงามความดีอันใดที่เกิดจากวิทยานิพนธ์เล่มนี้ ผู้วิจัยขอมอบให้กับ คุณพ่อจรรยุ และคุณแม่อำนวย ทองสัมฤทธิ์ อันเป็นที่รักและเคารพยิ่ง ที่ให้การอุปการะอบรมเลี้ยงดู ตลอดจนส่งเสริมการศึกษา และให้กำลังใจเป็นอย่างดีเสมอมา จนทำให้ประสบผลสำเร็จในชีวิต

ธีรศักดิ์ ทองสัมฤทธิ์

# สารบัญ

หน้า

บทคัดย่อ (ภาษาไทย) .....	ก
บทคัดย่อ (ภาษาอังกฤษ) .....	ข
กิตติกรรมประกาศ .....	จ
สารบัญ .....	ฉ
สารบัญตาราง .....	ณ
สารบัญรูป .....	ธ
คำอธิบายสัญลักษณ์และคำย่อ .....	ณ
<b>บทที่</b>	
<b>1 บทนำ .....</b>	<b>1</b>
1.1 ความสำคัญและที่มาของปัจจุหา .....	1
1.2 วัตถุประสงค์การวิจัย .....	4
1.3 สมมุติฐานการวิจัย .....	4
1.4 ขอบเขตของการวิจัย .....	4
1.5 ขั้นตอนการวิจัย .....	4
1.6 ประโยชน์ที่คาดว่าจะได้รับ .....	5
<b>2 ปริทศน์วรรณกรรมและงานวิจัยที่เกี่ยวข้อง .....</b>	<b>6</b>
2.1 การวิเคราะห์เชิงสถิติและเชิงพลวัต .....	6
2.2 การประยุกต์ใช้ชีวกลศาสตร์กับแรงของร่างกาย .....	8
2.3 การเคลื่อนย้ายวัตถุด้วยการดึงและดัน .....	11
2.4 โรคกล้ามเนื้อและกระดูกโครงร่าง (MSD) กับอาการไม่สบายบริเวณเท้า .....	15
2.5 การบรรเทาโรคกล้ามเนื้อและกระดูกโครงร่าง (MSD) ที่เกิดขึ้นบริเวณเท้า .....	18
<b>3 วิธีดำเนินการวิจัย .....</b>	<b>20</b>
3.1 ผู้ถูกทดสอบ .....	20
3.2 ศึกษาคุณลักษณะทางกายภาพของผู้ถูกทดสอบ .....	21
3.2.1 เครื่องมือและอุปกรณ์ที่ใช้ .....	21

## สารบัญ (ต่อ)

หน้า

3.2.2	วิธีการเก็บข้อมูลคุณลักษณะทางกายภาพ .....	21
3.2.3	การวิเคราะห์ข้อมูลคุณลักษณะทางกายภาพ .....	23
3.3	ศึกษาภาระงานของพนักงานขนส่ง .....	23
3.3.1	เครื่องมือและอุปกรณ์ที่ใช้ .....	23
3.3.2	วิธีการเก็บข้อมูลความหนักของการงาน .....	23
3.3.3	การวิเคราะห์ข้อมูลความหนักของการงาน .....	23
3.4	ศึกษาความสามารถในการออกแรงสอดคล้องพนักงานขนส่ง .....	24
3.4.1	เครื่องมือและอุปกรณ์ที่ใช้ .....	24
3.4.2	วิธีการวัดแรงสอดคล้อง .....	27
3.4.3	การดำเนินการเก็บข้อมูลความสามารถในการออกแรงสอดคล้อง .....	29
3.4.4	การวิเคราะห์ข้อมูลความสามารถในการออกแรงสอดคล้อง ของพนักงานขนส่ง .....	29
3.5	การประเมินภาระงานของพนักงานขนส่ง .....	30
3.6	สำรวจความไม่สบายที่เกิดขึ้นบริเวณเท้า .....	30
3.6.1	วิธีการเก็บข้อมูลความไม่สบายบริเวณเท้าของพนักงานขนส่ง .....	31
3.6.2	การวิเคราะห์ข้อมูลอาการไม่สบายบริเวณเท้าของพนักงานขนส่ง .....	31
3.7	สำรวจระดับความพึงพอใจที่มีต่อรองเท้าปกติและรองเท้า ที่มีอุปกรณ์เสริมรองเท้า .....	32
3.7.1	วิธีการเก็บข้อมูลความพึงพอใจที่มีต่อรองเท้าปกติและรองเท้า ที่มีอุปกรณ์เสริมรองเท้า .....	33
3.7.2	การวิเคราะห์ข้อมูลความพึงพอใจที่มีต่อรองเท้าปกติ และรองเท้าที่มีอุปกรณ์เสริมรองเท้า .....	33
3.8	การทดสอบสมมุติฐาน .....	34
3.9	สร้างความสัมพันธ์ระหว่างแรงกับลักษณะรองเท้าที่สามารถใช้ประโยชน์ .....	34
4	ผลการวิเคราะห์ข้อมูลและการอภิปรายผล .....	35
4.1	คุณลักษณะทางกายภาพของผู้ถูกทดสอบ .....	35

## สารบัญ (ต่อ)

หน้า

4.2	ภาระงานของพนักงานขนส่ง .....	36
4.3	ความสามารถในการออกแบบสกิดของพนักงานขนส่ง .....	37
4.3.1	ความสามารถในการออกแบบดึง .....	37
4.3.2	ความสามารถในการออกแบบดัน .....	40
4.3.3	ผลการวิเคราะห์ความแปรปรวนของความสามารถ ในการออกแบบสกิด .....	43
4.4	ประเมินภาระงาน .....	49
4.4.1	ผลการประเมินภาระงานของพนักงานขนส่งเพศชาย .....	49
4.4.2	ผลการประเมินภาระงานของพนักงานขนส่งเพศหญิง .....	56
4.5	ความไม่สบายที่เกิดขึ้นบริเวณเท้า .....	63
4.5.1	ผลการตอบแบบสอบถามอาการไม่สบายบริเวณพื้นฝ่าเท้า ของผู้ถูกทดสอบที่เกิดจากการสูมไส่ร่องเท้าปกติ ที่ใช้ในการปฏิบัติงานจริง .....	63
4.5.2	ผลการตอบแบบสอบถามอาการไม่สบายบริเวณพื้นฝ่าเท้า ของผู้ถูกทดสอบที่เกิดจากการสูมไส่ร่องเท้าปกติ ที่เพิ่มแผ่นเสริมรองเท้าชนิดเรียบ .....	65
4.5.3	ผลการตอบแบบสอบถามอาการไม่สบายบริเวณพื้นฝ่าเท้า ของผู้ถูกทดสอบที่เกิดจากการสูมไส่ร่องเท้าปกติ ที่เพิ่มหมอนรองส้นเท้า .....	67
4.6	ระดับความพึงพอใจที่มีต่อรองเท้าปกติและรองเท้าที่มีอุปกรณ์ เสริมพื้นรองเท้า .....	69
4.6.1	ผลการตอบแบบสอบถามระดับความพึงพอใจที่มีต่อรองเท้าปกติ .....	69
4.6.2	ผลการตอบแบบสอบถามระดับความพึงพอใจที่มีต่อรองเท้าปกติ ที่เพิ่มแผ่นเสริมรองเท้าชนิดเรียบขณะใช้งานครั้งแรก .....	71
4.6.3	ผลการตอบแบบสอบถามระดับความพึงพอใจที่มีต่อรองเท้าปกติ ที่เพิ่มหมอนรองส้นเท้าขณะใช้งานครั้งแรก .....	72

## สารบัญ (ต่อ)

หน้า

4.6.4	ผลการตอบแบบสอบถามระดับความพึงพอใจที่มีต่อรองเท้าปกติที่เพิ่มแผ่นเสริมรองเท้าชนิดเรียบหลังจากใช้งาน 1 สัปดาห์ .....	74
4.6.5	ผลการตอบแบบสอบถามระดับความพึงพอใจที่มีต่อรองเท้าปกติที่เพิ่มหมอนรองสันเท้าหลังจากใช้งาน 1 สัปดาห์ .....	76
4.7	การทดสอบสมมุติฐาน .....	78
4.7.1	การทดสอบสมมุติฐานเกี่ยวกับค่าผลกระแทกหลักและค่าผลร่วม .....	78
4.7.2	การทดสอบที่ไม่ใช้พารามิเตอร์ของพรีดแมน .....	80
4.8	สร้างความสัมพันธ์ระหว่างแรงกับลักษณะรองเท้าที่สวมใส่ขณะออกแรง .....	83
<b>5</b>	<b>สรุปและข้อเสนอแนะ .....</b>	<b>86</b>
5.1	สรุปผลการวิจัย .....	86
5.2	ข้อเสนอแนะ .....	89
5.3	วิธีการนำผลไปใช้ในทางปฏิบัติและป้องกันการบาดเจ็บ .....	89
<b>รายการอ้างอิง .....</b>		<b>91</b>
<b>ภาคผนวก</b>		
ภาคผนวก ก. การทำงานเด็ดขาดอย่างของผู้ถูกทดสอบ .....		95
ภาคผนวก ข. ข้อมูลคุณลักษณะทางกายภาพของผู้ถูกทดสอบ .....		99
ภาคผนวก ค. การเก็บข้อมูลความหนักของภาระงานขนส่ง .....		102
ภาคผนวก ง. การเลือกประเภทของรถเข็นที่ใช้ในงานวิจัย .....		104
ภาคผนวก จ. ค่าความสามารถในการออกแรงสถิตของผู้ถูกทดสอบ .....		106
ภาคผนวก ฉ. แบบสอบถามความไม่สบายที่เกิดขึ้นบริเวณเท้าและระดับความพึงพอใจที่มีต่อรองเท้าปกติและรองเท้าที่มีอุปกรณ์เสริมรองเท้า .....		115
ภาคผนวก ช. การวิเคราะห์ความแปรปรวนโดยใช้โปรแกรมสำเร็จรูป .....		124
ภาคผนวก ช. สร้างความสัมพันธ์ระหว่างแรงกับลักษณะรองเท้าที่สวมใส่ขณะออกแรง .....		130
ภาคผนวก ฌ. รายชื่อบทความวิชาการที่ได้รับการตีพิมพ์เผยแพร่ .....		134
ประวัติผู้เขียน .....		171

## สารบัญตาราง

ตารางที่	หน้า
1.1 จำนวนผู้ประสบอันตรายหรือเจ็บป่วยเนื่องจากการทำงาน จำแนกตามความรุนแรงและอวัยวะต่าง ๆ บริเวณเท้าที่ได้รับอันตราย .....	3
2.1 ค่าความสามารถในการออกแบบสกิตของเกษตรกรไทยทั้งผู้ชาย และผู้หญิงในเขตพื้นที่ภาคกลาง .....	8
2.2 ค่าความสามารถในการออกแบบด้านแร่แรงดึงของเกษตรกรในประเทศไทยเดียว .....	12
2.3 ค่าความสามารถในการออกแบบด้านแร่แรงดึงแบบสกิต .....	13
2.4 ค่าความสามารถในการออกแบบด้านแร่แรงดึงแบบพลวัต .....	13
3.1 ข้อมูลความสามารถในการออกแบบดึงหรือแรงดันของพนักงานขนส่ง ที่ระดับความสูง 85 เซนติเมตร .....	29
4.1 ค่าเฉลี่ยและส่วนเบี่ยงเบนมาตรฐานของคุณลักษณะทางกายภาพของผู้ถูกทดสอบ .....	36
4.2 น้ำหนักของการขนส่งในแต่ละรอบ .....	36
4.3 ความหนักของการงานขนส่ง .....	37
4.4 แสดงค่าเฉลี่ยและส่วนเบี่ยงเบนมาตรฐานของความสามารถในการออกแบบดึง ของผู้ถูกทดสอบเพศชาย .....	37
4.5 แสดงค่าเฉลี่ยและส่วนเบี่ยงเบนมาตรฐานของความสามารถในการออกแบบดึง ของผู้ถูกทดสอบเพศหญิง .....	39
4.6 แสดงค่าเฉลี่ยและส่วนเบี่ยงเบนมาตรฐานของความสามารถในการออกแบบดัน ของผู้ถูกทดสอบเพศชาย .....	40
4.7 แสดงค่าเฉลี่ยและส่วนเบี่ยงเบนมาตรฐานของความสามารถในการออกแบบดัน ของผู้ถูกทดสอบเพศหญิง .....	42
4.8 ผลการวิเคราะห์ความแปรปรวนของความสามารถในการออกแบบสกิต .....	44
4.9 ผลต่างระหว่างค่าเฉลี่ยของความสามารถในการออกแบบดึงกับแรงดัน จากการแปลงข้อมูลเป็นลอกการทีมธรรมชาติ .....	45
4.10 ผลต่างระหว่างค่าเฉลี่ยของความสามารถในการออกแบบท่าเย็นปกติ กับท่าเย็นเท้าเยื่องจากการแปลงข้อมูลเป็นลอกการทีมธรรมชาติ .....	45

## สารบัญตาราง (ต่อ)

ตารางที่	หน้า
4.11 ผลต่างระหว่างค่าเฉลี่ยของความสามารถในการอุปแรงกับรองเท้าคุณลักษณะต่าง ๆ จากการแปลงข้อมูลเป็นผลการทึมธรรมชาติ .....	46
4.12 ผลต่างระหว่างค่าเฉลี่ยของความสามารถในการอุปแรงของเพศชายกับเพศหญิงจากการแปลงข้อมูลเป็นผลการทึมธรรมชาติ .....	46
4.13 แสดงผลการคำนวณค่าความสามารถในการอุปแรงดึงในท่ายืนปกติที่ 15% ของแรงดึงสูงสุดของผู้ถูกทดสอบเพศชาย .....	51
4.14 แสดงผลการคำนวณค่าความสามารถในการอุปแรงดึงในท่ายืนเท้าเยื่องที่ 15% ของแรงดึงสูงสุดของผู้ถูกทดสอบเพศชาย .....	52
4.15 แสดงผลการคำนวณค่าความสามารถในการอุปแรงดันในท่ายืนปกติที่ 15% ของแรงดันสูงสุดของผู้ถูกทดสอบเพศชาย .....	54
4.16 แสดงผลการคำนวณค่าความสามารถในการอุปแรงดันในท่ายืนเท้าเยื่องที่ 15% ของแรงดันสูงสุดของผู้ถูกทดสอบเพศชาย .....	55
4.17 แสดงผลการคำนวณค่าความสามารถในการอุปแรงดึงในท่ายืนปกติที่ 15% ของแรงดึงสูงสุดของผู้ถูกทดสอบเพศหญิง .....	57
4.18 แสดงผลการคำนวณค่าความสามารถในการอุปแรงดึงในท่ายืนเท้าเยื่องที่ 15% ของแรงดึงสูงสุดของผู้ถูกทดสอบเพศหญิง .....	59
4.19 แสดงผลการคำนวณค่าความสามารถในการอุปแรงดันในท่ายืนปกติที่ 15% ของแรงดันสูงสุดของผู้ถูกทดสอบเพศหญิง .....	61
4.20 แสดงผลการคำนวณค่าความสามารถในการอุปแรงดันในท่ายืนเท้าเยื่องที่ 15% ของแรงดันสูงสุดของผู้ถูกทดสอบเพศหญิง .....	62
4.21 ผู้ถูกทดสอบให้คะแนนอาการไม่สบายบริเวณพื้นฝ่าเท้าที่เกิดจากการสวมใส่รองเท้าปกติที่ใช้ในการปฏิบัติงานจริง โดยคิดคะแนนเป็นร้อยละ .....	63
4.22 ผู้ถูกทดสอบให้คะแนนอาการไม่สบายบริเวณพื้นฝ่าเท้าที่เกิดจากการสวมใส่รองเท้าปกติที่เพิ่มแผ่นเสริมรองเท้าชนิดเรียบ โดยคิดคะแนนเป็นร้อยละ .....	65
4.23 ผู้ถูกทดสอบให้คะแนนอาการไม่สบายบริเวณพื้นฝ่าเท้าที่เกิดจากการสวมใส่รองเท้าปกติที่เพิ่มหมอนรองส้นเท้า โดยคิดคะแนนเป็นร้อยละ .....	67

## สารบัญตาราง (ต่อ)

ตารางที่	หน้า
4.24 ผู้ถูกทดสอบให้คะแนนความพึงพอใจที่มีต่อรองเท้าปกติ โดยคิดคะแนนเป็นร้อยละของความพึงพอใจ .....	69
4.25 ผู้ถูกทดสอบให้คะแนนความพึงพอใจที่มีต่อรองเท้าปกติที่เพิ่มแผ่นเสริมรองเท้านิคเรียบขณะใช้งานครั้งแรก โดยคิดคะแนนเป็นร้อยละ .....	71
4.26 ผู้ถูกทดสอบให้คะแนนความพึงพอใจที่มีต่อรองเท้าปกติที่เพิ่มหมอนรองสันเท้าขณะใช้งานครั้งแรก โดยคิดคะแนนเป็นร้อยละ .....	73
4.27 ผู้ถูกทดสอบให้คะแนนความพึงพอใจที่มีต่อรองเท้าปกติที่เพิ่มแผ่นเสริมรองเท้านิคเรียบหลังจากใช้งานหนึ่งสัปดาห์ โดยคิดคะแนนเป็นร้อยละ .....	75
4.28 ผู้ถูกทดสอบให้คะแนนความพึงพอใจที่มีต่อรองเท้าปกติที่เพิ่มหมอนรองสันเท้าหลังจากใช้งานหนึ่งสัปดาห์ โดยคิดคะแนนเป็นร้อยละ .....	77
4.29 ลำดับคะแนนความพึงพอใจที่มีต่อรองเท้าทั้ง 3 คุณลักษณะ .....	82
4.30 ผลการวิเคราะห์การลดดอຍของความสัมพันธ์ระหว่างแรงกับลักษณะรองเท้าที่ส่วนได้เสียของออกแรง .....	84
ก.1 แสดงค่าเฉลี่ยและส่วนเบี่ยงเบนมาตรฐานของความสามารถในการออกแรงดึงและแรงดันของผู้ถูกทดสอบเพชรชายและเพชรหญิง .....	96
ก.2 แสดงผลการหาจำนวนขนาดตัวอย่างผู้ถูกทดสอบของการออกแรงดึง .....	97
ก.3 แสดงผลการหาจำนวนขนาดตัวอย่างผู้ถูกทดสอบของการออกแรงดัน .....	98
ข.1 ข้อมูลคุณลักษณะทางกายภาพของผู้ถูกทดสอบเพชรชาย .....	100
ข.2 ข้อมูลคุณลักษณะทางกายภาพของผู้ถูกทดสอบเพชรหญิง .....	101
ค.1 ข้อมูลความหนักของการงานขนส่ง .....	103
จ.1 ค่าความสามารถในการออกแรงดึงของผู้ถูกทดสอบเพชรชายในท่าเข็นปกติ .....	107
จ.2 ค่าความสามารถในการออกแรงดึงของผู้ถูกทดสอบเพชรชายในท่าเข็นเท้าเขื่อง .....	108
จ.3 ค่าความสามารถในการออกแรงดันของผู้ถูกทดสอบเพชรชายในท่าเข็นปกติ .....	109
จ.4 ค่าความสามารถในการออกแรงดันของผู้ถูกทดสอบเพชรชายในท่าเข็นเท้าเขื่อง .....	110
จ.5 ค่าความสามารถในการออกแรงดึงของผู้ถูกทดสอบเพชรหญิงในท่าเข็นปกติ .....	111
จ.6 ค่าความสามารถในการออกแรงดึงของผู้ถูกทดสอบเพชรหญิงในท่าเข็นเท้าเขื่อง .....	112

## สารบัญตาราง (ต่อ)

ตารางที่	หน้า
จ.7 ค่าความสามารถในการออกแบบด้านของผู้ถูกทดสอบเพศหญิงในท่ายืนปกติ .....	113
จ.8 ค่าความสามารถในการออกแบบด้านของผู้ถูกทดสอบเพศหญิงในท่ายืนเท้าเยื่อง .....	114
ฉ.1 อาการไม่สบายที่เกิดจากการสวมใส่รองเท้าปกติ .....	117
ฉ.2 อาการไม่สบายที่เกิดจากการสวมใส่รองเท้าปกติ ที่มีการเพิ่มแผ่นเสริมรองเท้าชนิดเรียบ .....	118
ฉ.3 อาการไม่สบายที่เกิดจากการสวมใส่รองเท้าปกติที่มีการเพิ่มหมอนรองสันเท้า .....	118
ฉ.4 ระดับความพึงพอใจที่มีต่อรองเท้าปกติที่ใช้สวมใส่ขณะปฏิบัติงานจริง .....	119
ฉ.5 ระดับความพึงพอใจที่มีต่อรองเท้าปกติที่เพิ่มแผ่นเสริมรองเท้าชนิดเรียบ ขณะใช้งานครั้งแรก .....	120
ฉ.6 ระดับความพึงพอใจที่มีต่อรองเท้าปกติที่เพิ่มหมอนรองสันเท้า ขณะใช้งานครั้งแรก .....	121
ฉ.7 ระดับความพึงพอใจที่มีต่อรองเท้าปกติที่เพิ่มแผ่นเสริมรองเท้าชนิดเรียบ หลังจากใช้งานหนึ่งสัปดาห์ .....	122
ฉ.8 ระดับความพึงพอใจที่มีต่อรองเท้าปกติที่เพิ่มหมอนรองสันเท้า หลังจากใช้งานหนึ่งสัปดาห์ .....	123
ช.1 ตัวอย่างการประมาณค่าความสามารถในการออกแบบสัดส่วนของผู้ถูกทดสอบ .....	133

## สารบัญ

รูปที่

หน้า

2.1	ชีวกลศาสตร์กับแรงที่ร่างกายใช้ในการยกรถเข็น .....	9
2.2	ลักษณะของรถเข็นที่ใช้ในการศึกษาวิจัย .....	10
2.3	การออกแบบดึงและแรงดันในท่าขึ้นเท้าเบื้องกัน .....	15
2.4	ประเมินจุดที่เกิดอาการเจ็บปวดบนฝ่าเท้า .....	17
2.5	ประเมินพื้นที่ที่เกิดอาการเจ็บปวดบนฝ่าเท้า .....	18
3.1	อุปกรณ์วัดขนาดสัดส่วนเท้า .....	21
3.2	แสดงวิธีการวัดขนาดสัดส่วนเท้าของผู้สูงอายุทดสอบ .....	22
3.3	แสดงวิธีการวัดความหนาของภาระงานโดยใช้เครื่องชั่งสปริง .....	23
3.4	เครื่องมือวัดแรงสกิด .....	24
3.5	ติดตั้งชุดเครื่องมือวัดแรงสกิดในพื้นที่ทดสอบความสามารถในการออกแบบ .....	25
3.6	รองเท้าปกติที่พนักงานสวมใส่ขณะปฏิบัติงานจริง .....	25
3.7	แผ่นเตรินรองเท้านิคเรียบ .....	26
3.8	หมอนรองส้นเท้า .....	26
3.9	พื้นที่วางเท้าขณะยืนอุปกรณ์ .....	27
3.10	การออกแบบดึงและแรงดันในท่าขึ้นปักขิของพนักงานขนส่ง .....	28
3.11	การออกแบบดึงและแรงดันในท่าขึ้นเท้าเบื้องกันของพนักงานขนส่ง .....	28
3.12	พื้นที่ฝ่าเท้า .....	31
4.1	แสดงค่าเฉลี่ยของความสามารถในการออกแบบดึงของผู้สูงอายุทดสอบเพศชาย .....	38
4.2	แสดงค่าเฉลี่ยของความสามารถในการออกแบบดึงของผู้สูงอายุทดสอบเพศหญิง .....	39
4.3	แสดงค่าเฉลี่ยของความสามารถในการออกแบบดันของผู้สูงอายุทดสอบเพศชาย .....	41
4.4	แสดงค่าเฉลี่ยของความสามารถในการออกแบบดันของผู้สูงอายุทดสอบเพศหญิง .....	42
4.5	กราฟค่าเฉลี่ยของทิศของแรง ท่าขึ้น รองเท้า และเพศ จากการแปลงข้อมูล เป็นลอกการิทึมธรรมชาติ .....	47
4.6	กราฟอันตรกิริยาระหว่างทิศของแรงกับท่าขึ้น ทิศของแรงกับรองเท้า จากการแปลงข้อมูล เป็นลอกการิทึมธรรมชาติ .....	48

## สารบัญรูป (ต่อ)

รูปที่	หน้า
4.7 แสดงร้อยละของคะแนนอาการไม่สบายบริเวณพื้นฝ่าเท้าที่เกิดจากการสูบไส้ร่องเท้าปกติที่ใช้ในการปฏิบัติงานจริง .....	64
4.8 แสดงร้อยละของคะแนนอาการไม่สบายบริเวณพื้นฝ่าเท้าที่เกิดจากการสูบไส้ร่องเท้าปกติที่เพิ่มแผ่นเสริมรองเท้านิดเรียบ .....	66
4.9 แสดงร้อยละของคะแนนอาการไม่สบายบริเวณพื้นฝ่าเท้าที่เกิดจากการสูบไส้ร่องเท้าปกติที่เพิ่มหมอนรองสันเท้า .....	68
4.10 แสดงร้อยละของคะแนนความพึงพอใจที่มีต่อรองเท้าปกติ .....	70
4.11 แสดงร้อยละของคะแนนความพึงพอใจที่มีต่อรองเท้าปกติที่เพิ่มแผ่นเสริมรองเท้านิดเรียบขณะใช้งานครั้งแรก .....	72
4.12 แสดงร้อยละของคะแนนความพึงพอใจที่มีต่อรองเท้าปกติที่เพิ่มหมอนรองสันเท้าขณะใช้งานครั้งแรก .....	74
4.13 แสดงร้อยละของคะแนนความพึงพอใจที่มีต่อรองเท้าปกติที่เพิ่มแผ่นเสริมรองเท้านิดเรียบหลังจากใช้งานหนึ่งสัปดาห์ .....	76
4.14 แสดงร้อยละของคะแนนความพึงพอใจที่มีต่อรองเท้าปกติที่เพิ่มหมอนรองสันเท้าหลังจากใช้งานหนึ่งสัปดาห์ .....	78
ก.1 แสดงเส้นโค้งลักษณะสมบัติของการคำนวณการ (OC Curves) .....	97
ก.1 แสดงการเลือกประเภทรถเข็นโดยเหตุนภัยพาร็อต .....	105
ก.1 แสดงข้อมูลคุณลักษณะทางกายภาพของผู้ถูกทดสอบ .....	116
ก.2 แสดงพื้นที่ส่วนต่าง ๆ บนพื้นฝ่าเท้าเพื่อใช้สำหรับประเมินระดับความไม่สบายบนฝ่าเท้า .....	117
ก.3 แสดงข้อมูลสุขภาพของผู้ถูกทดสอบ .....	118
ช.1 การพล็อตความน่าจะเป็นของค่าความคลาดเคลื่อนที่มีการแจกแจงแบบปกติ .....	125
ช.2 ความสัมพันธ์ระหว่างค่าความคลาดเคลื่อนกับค่าที่ได้จากแบบจำลอง .....	126
ช.3 การพล็อตความน่าจะเป็นของค่าความคลาดเคลื่อนที่มีการแจกแจงแบบปกติจากการแปลงข้อมูลเป็นลอกการที่มีธรรมชาติ .....	126

## สารบัญรูป (ต่อ)

รูปที่	หน้า
ช.4 ความสัมพันธ์ระหว่างค่าความคลาดเคลื่อนกับค่าที่ได้จากแบบจำลอง จากการแปลงข้อมูลเป็นลักษณะริทึ่มธรรมชาติ .....	127
ช.5 ผลการเปรียบเทียบผลต่างระหว่างค่าเฉลี่ยของปัจจัยเกี่ยวกับทิศของแรง .....	127
ช.6 ผลการเปรียบเทียบผลต่างระหว่างค่าเฉลี่ยของปัจจัยเกี่ยวกับท่าเข็น .....	128
ช.7 ผลการเปรียบเทียบผลต่างระหว่างค่าเฉลี่ยของปัจจัยเกี่ยวกับเพศ .....	128
ช.8 ผลการเปรียบเทียบผลต่างระหว่างค่าเฉลี่ยของปัจจัยเกี่ยวกับรองเท้า .....	129
ช.1 การพื้อตัวความน่าจะเป็นของค่าความคลาดเคลื่อนที่มีการแจกแจงแบบปกติ จากการแปลงข้อมูลเป็นลักษณะริทึ่มธรรมชาติ .....	131
ช.2 ความสัมพันธ์ระหว่างค่าความคลาดเคลื่อนกับค่าที่ได้จากแบบจำลอง จากการแปลงข้อมูลเป็นลักษณะริทึ่มธรรมชาติ .....	132
ช.3 ความสัมพันธ์ระหว่างค่าความคลาดเคลื่อนกับค่าที่ได้จากตัวแปรอิสระ .....	132

## คำอธิบายสัญลักษณ์และคำย่อ

MMH	=	การขนย้ายสิ่งของด้วยแรงงานมนุษย์
MVE	=	ความสามารถในการออกแบบสูงสุดของมนุษย์
MSD	=	โรคกล้ามเนื้อและกระดูกโครงร่าง
OSHA	=	หน่วยงานดูแลด้านความปลอดภัยและสุขภาพจากการประกอบอาชีพ
MAD	=	ค่าความคลาดเคลื่อนที่แท้จริงเฉลี่ย
$\varepsilon$	=	การแจกแจงแบบปกติ
$\sigma^2$	=	ค่าแปรปรวนประชากร
DF	=	องศาอิสระ
SS	=	ผลรวมของค่ายกกำลังสอง
MS	=	ค่าเฉลี่ยของค่ายกกำลังสอง
F	=	สถิติทดสอบ
P-value	=	ค่าที่น้อยที่สุดของระดับนัยสำคัญ
$\alpha$	=	ระดับนัยสำคัญ
$1 - \alpha$	=	ระดับความเชื่อมั่น
$H_0$	=	สมมุติฐานหลัก
$H_1$	=	สมมุติฐานรอง
$F_r$	=	การทดสอบที่ไม่ใช้พารามิเตอร์ของฟรีดเมน
$\chi^2$	=	การแจกแจงแบบไคสแควร์
Coef	=	ค่าสัมประสิทธิ์ของการถดถอย
R-Sq	=	ค่าสัมประสิทธิ์สหสัมพันธ์
Adj R-Sq	=	ค่าสัมประสิทธิ์สหสัมพันธ์ปรับแก้

## บทที่ 1

### บทนำ

#### 1.1 ความสำคัญและที่มาของปัญหา

ในปัจจุบันได้มีการนำเอาระบบการผลิตแบบอัตโนมัติเข้ามาใช้อย่างแพร่หลายในงานอุตสาหกรรมในประเทศไทย โดยระบบอัตโนมัติดังกล่าวได้ช่วยปรับปรุงผลผลิตให้ดีขึ้น แต่อย่างไรก็ตาม โรงงานอุตสาหกรรมในประเทศไทยยังคงอาศัยแรงงานมนุษย์ในกิจกรรมการขนย้ายวัสดุหนัก (Manual materials handling-MMH) ซึ่งการขนย้ายเป็นกิจกรรมที่มีความจำเป็นสำหรับการปฏิบัติงานเพื่อให้การดำเนินงานมีประสิทธิภาพซึ่งลักษณะของการปฏิบัติขึ้นอยู่กับลักษณะเฉพาะและความต้องการในแต่ละงาน เช่น กิจกรรมการยก การดันหรือการเข็น การดึงหรือการลาก การเดินถือวัสดุ และการบิดเลี้ยว หากผู้ปฏิบัติงานไม่แข็งแรงเพียงพอที่จะปฏิบัติงานได้อย่างสมบูรณ์ ก็ย่อมจะทำให้ผู้ปฏิบัติงานประสบอันตรายหรือบาดเจ็บได้ (Mital and Ramakrishnan, 1999) ซึ่งลักษณะของการปฏิบัติงานดังกล่าวพนักงานจะต้องยืนและเดินตลอดช่วงระยะเวลาการปฏิบัติงาน เพื่อทำการขนย้ายผลิตภัณฑ์หรือเครื่องมืออุปกรณ์ประกอบการทำงาน ให้การดำเนินงานเป็นไปอย่างต่อเนื่อง โดยผลกระทบหลักที่อาจเกิดขึ้นกับการปฏิบัติงานในลักษณะดังกล่าวคือ การบาดเจ็บ อันเนื่องจากการออกแรงเกินกำลังในระหว่างการขนย้าย และความไม่สันຍາຍริเวณเท้าที่เกิดจาก การเดินในขณะปฏิบัติงาน ดังนั้นการให้ความสำคัญในเรื่องสุขภาพและความปลอดภัยในการปฏิบัติงานของพนักงานจึงเป็นสิ่งจำเป็นเพื่อให้การดำเนินงานมีประสิทธิภาพมากขึ้น

การเคลื่อนย้ายวัสดุด้วยแรงคน โดยการดันและการดึงมีแนวโน้มเพิ่มขึ้นและมักใช้อุปกรณ์ช่วยในการเคลื่อนย้ายที่สำคัญคือ รถเข็น ซึ่งมีน้ำหนักบรรทุกอยู่ระหว่าง 2-1,500 กิโลกรัม และมีระยะทางการเข็นอยู่ระหว่าง 9-500 เมตร แต่การใช้รถเข็นบนย้ายสิ่งของต่าง ๆ ไม่ได้เป็นการช่วยผ่อนแรงเสมอไป ดังนั้นจึงจำเป็นต้องมีการปฏิบัติงานที่เหมาะสมเพื่อช่วยลดแรงในการปฏิบัติงานและการบาดเจ็บจากการปฏิบัติงานให้น้อยลง (Mack et al., 1995) ซึ่งการออกแรงดันหรือแรงดึงจะแปรผันตรงกับน้ำหนักของรถเข็นที่เพิ่มขึ้น ถ้ามองทั่วบรรทุกในรถเข็นมีน้ำหนักมากขึ้น ก็จะทำให้พนักงานต้องออกแรงที่มือในการเข็นมากขึ้นด้วย (Al- Eisawi et al., 1999)

การศึกษาเกี่ยวกับความแข็งแรงของร่างกายมนุษย์เป็นพื้นฐานสำคัญสำหรับการออกแบบผลิตภัณฑ์และสถานที่ทำงานให้เหมาะสม ในปัจจุบันข้อมูลที่มีอยู่ยังไม่ครบถ้วนหรือหลากหลาย ซึ่งทำให้เกิดข้อจำกัดในการนำข้อมูลดังกล่าวไปใช้ในการออกแบบ งานวิจัยเพื่อเก็บข้อมูลทางด้าน

ความสามารถในการออกแรงของมนุษย์จึงเป็นเรื่องจำเป็นเพื่อลดช่องว่างของข้อมูลทางการยศาสตร์ ซึ่งเป็นประโยชน์สำหรับการเก็บรวบรวมข้อมูลใหม่เพื่อให้ได้ในส่วนที่ตรงตามความต้องการในการใช้งานออกแบบได้มากขึ้น (Peebles and Norris, 2003) นอกจากนี้แล้วการลดความเจ็บป่วยอันเนื่องจากการทำงานเกินขีดความสามารถในการปฏิบัติงานของมนุษย์เป็นสิ่งที่สำคัญและควรนำมาพิจารณาในการออกแบบวิธีการทำงานเพื่อให้ผู้ปฏิบัติงานสามารถปฏิบัติงานได้อย่างมีประสิทธิภาพและเกิดความปลอดภัย (Das and Forde, 1999; Das and Black, 2000) สิ่งสำคัญคือตัวผู้ปฏิบัติงานเองจำเป็นอย่างยิ่งที่จะต้องทราบขีดความสามารถในการออกแรงของตนเองและพยายามที่จะไม่ออกแรงเกินค่าดังกล่าวเพื่อป้องกันอันตรายที่จะเกิดขึ้น (Das, 1985) ซึ่งโดยทั่วไปพนักงานไม่ควรออกแรงเกินค่า 15 เปรอร์เซ็นต์ของความสามารถในการออกแรงสูงสุด (Maximum voluntary exertion-MVE) สำหรับการทำงาน 8 ชั่วโมงต่อเนื่องกัน (Konz, 1995)

การปฏิบัติงานประจำยืนและเดินนอกจากจะเป็นงานในอุตสาหกรรมแล้วยังพบได้ในกลุ่มอาชีพบริการต่าง ๆ ได้แก่ พนักงานขาย พนักงานบริการร้านอาหาร ช่างตัดผม แคชเชียร์ ในชุมเปอร์มาร์เก็ต พนักงานต้อนรับของธนาคารและพยาบาล ทั้งหมดนี้ลักษณะการทำงานเป็นแบบยืนและเดินเป็นระยะเวลานาน ซึ่งทำให้พนักงานเกิดความไม่สบายที่บริเวณเท้าและฝ่าเท้า และนำไปสู่ภาวะผิดปกติของกล้ามเนื้อและกระดูก (Musculoskeletal disorders-MSD) (Messing and Kilbom, 2001) ซึ่งหน่วยงานดูแลด้านความปลอดภัยและสุขภาพจากการประกอบอาชีพ (OSHA) ในสหรัฐอเมริกาได้ให้ความสนใจในเรื่องภาวะผิดปกติของกล้ามเนื้อและกระดูกเป็นลำดับแรกเนื่องจากการเจ็บป่วยอันเนื่องจากการทำงานและต้องนอนพักรักษาตัวมีมากในสหรัฐอเมริกา ปัจจุบัน MSD ที่เกิดขึ้นได้แก่ เจ็บปวดบริเวณหลังส่วนล่าง เมื่อยล้าบริเวณขา เจ็บปวดบริเวณเข่าและข้อเท้า (Smith et al., 2003; Trinkoff et al., 2003) จากการศึกษาพบว่าการรักษาท่าทางให้ด้วยตั้งตรงเป็นระยะเวลานานจะเป็นเหตุให้เกิดความเจ็บปวดบริเวณหลังส่วนล่าง ฝ่าเท้า เมื่อยล้ากล้ามเนื้อแบบเรื้อรัง และเสื่อมเลือดออก

ในการปฏิบัติงานในลักษณะยืนและเดินรองเท้าเจ็บมีความสำคัญอย่างยิ่ง โดยการออกแบบรองเท้าที่คิดจะต้องให้เหมาะสมกับขนาดสัดส่วนเท้าของผู้สวมใส่ มีค่าเพื่อระหว่างเท้ากับรองเท้าที่เหมาะสม ไม่แน่นหรือหລວມจนเกินไป ฝ่าเท้าสามารถกระจายน้ำหนักได้ทั่วพื้นรองเท้าเพื่อให้เกิดความรู้สึกสะគ蚣สบายนะส่วนใส่ นอกจากนี้จะต้องคำนึงถึงลักษณะท่าทางในขณะยืนด้วยว่าฝ่าเท้าต้องสัมผัสพื้นรองเท้าในลักษณะใดจึงจะสามารถรู้สึกได้ถึงความไม่สบายหรือความล้าที่เกิดขึ้นขณะยืน เพื่อเป็นแนวทางในการปรับท่าทางการยืนปฏิบัติงานที่เหมาะสม (Witana et al., 2009)

จากข้อมูลสถิติการประสบอันตรายหรือเจ็บป่วยเนื่องจากการทำงานจำแนกตามความรุนแรงและอวัยวะต่าง ๆ บริเวณเท้าที่ได้รับอันตราย (สำนักงานกองทุนเงินทดแทน สำนักงานประกันสังคม กระทรวงแรงงาน, 2552) ดังแสดงในตารางที่ 1.1 พบว่าในแต่ละปีมีผู้ประสบอันตราย

และเจ็บป่วยในส่วนของอวัยวะต่าง ๆ บริเวณเท้าเป็นจำนวนมาก โดยเฉพาะฝ่าเท้าและส้นเท้าจะเห็นได้อย่างชัดเจนว่ามีผู้ประสบอันตรายมากกว่าส่วนอื่น ๆ ของเท้า ซึ่งเป็นปัญหาสำคัญที่เกิดจากการทำงานในลักษณะเดินและยืน

ตารางที่ 1.1 จำนวนผู้ประสบอันตรายหรือเจ็บป่วยเนื่องจากการทำงานตามกำหนดความรุนแรง และอวัยวะต่าง ๆ บริเวณเท้าที่ได้รับอันตราย (สำนักงานกองทุนเงินทดแทนสำนักงานประกันสังคม กระทรวงแรงงาน, 2552)

ปี	อวัยวะต่าง ๆ บริเวณเท้า ที่ได้รับอันตราย	ความร้ายแรง					
		ตาย	ทุพพล ภาพ	สูญเสีย อวัยวะ บางส่วน	หยุดงาน เกิน 3 วัน	หยุดงาน ไม่เกิน 3 วัน	รวม
2552	ข้อเท้าและต่อม	-	-	14	1,369	2,116	3,499
	ฝ่าเท้าและส้นเท้า	1	-	41	2,996	6,267	9,305
	นิ้วเท้า	-	-	81	2,565	3,806	6,452
2551	ข้อเท้าและต่อม	1	-	19	1,452	3,019	4,491
	ฝ่าเท้าและส้นเท้า	-	-	15	1,299	3,611	4,925
	นิ้วเท้า	-	-	26	1,491	2,349	3,866
2550	ข้อเท้าและต่อม	-	-	18	1,565	2,651	4,234
	ฝ่าเท้าและส้นเท้า	1	-	38	3,826	8,830	12,695
	นิ้วเท้า	-	-	94	3,210	5,277	8,581

จากการสำรวจเบื้องต้นเกี่ยวกับลักษณะการทำงานของพนักงานขนส่งในบริษัทผู้ผลิตสาร์คิดสก์ไครฟแห่งหนึ่ง พบว่าพนักงานขนส่งทำการเข็นรถเข็นซึ่งบรรจุสาร์คิดสก์ไครฟในกระบวนการผลิตโดยมีระยะเวลาการทำงานประมาณ 10.5 ชั่วโมงต่อวัน หากคำนวณเป็นระยะทางแล้วพนักงานขนส่งจะทำการเข็นรถเข็นโดยเฉลี่ย 26,710.2 เมตรต่อวัน ซึ่งพบว่าพนักงานมีอาการปวดเมื่อยกล้ามเนื้อและเกิดความไม่สบายบริเวณเท้าในขณะปฏิบัติงาน ดังนั้นจึงจำเป็นต้องมีการวัดความสามารถในการออกแรงดึงและดันรถเข็นเพื่อใช้ในการขนย้ายวัสดุและประเมินอาการเจ็บปวดเท้าของพนักงานขนส่งในสายการผลิตสาร์คิดสก์ไครฟ เพื่อใช้เป็นแนวทางในการประเมินความเหมาะสมของความหนักของการงานและการบรรเทาอาการเจ็บปวดบริเวณเท้าที่เกิดขึ้นในขณะยืนและเดินระหว่างช่วงเวลาการปฏิบัติงาน

## **1.2 วัตถุประสงค์การวิจัย**

การวิจัยนี้มีวัตถุประสงค์เพื่อ

- 1) ประเมินความสามารถในการออกแบบดึงและดันรถเข็นที่บรรทุกสาร์คดิสก์ไดร์ฟของพนักงานขนส่งในสายการผลิตสาร์คดิสก์ไดร์ฟ
- 2) ศึกษาผลกระทบของรองเท้าที่มีต่อความไม่平安บริเวณเท้าของพนักงานขนส่ง

## **1.3 สมมุติฐานการวิจัย**

จากวัตถุประสงค์ของการวิจัยสามารถกำหนดสมมุติฐานของการวิจัยได้ดังนี้

- 1) ทิศของการออกแบบดึงและแรงดันมีผลต่อความสามารถในการออกแบบของพนักงาน
- 2) รองเท้ามีผลต่อความไม่平安ที่เกิดขึ้นบริเวณเท้าในขณะที่พนักงานยืนและเดินระหว่างการปฏิบัติงาน

## **1.4 ขอบเขตของการวิจัย**

การวิจัยนี้ศึกษาความสามารถในการออกแบบและผลกระทบของชนิดรองเท้าที่มีผลต่อความไม่平安บริเวณเท้าของพนักงานขนส่งของบริษัทผู้ผลิตสาร์คดิสก์ไดร์ฟแห่งหนึ่ง

## **1.5 ขั้นตอนการวิจัย**

- 1) สำรวจสถิติอันตรายจากการปฏิบัติงานที่เกิดขึ้นกับอวัยวะส่วนต่างๆ ในประเทศไทย
- 2) สำรวจงานวิจัยและทฤษฎีที่เกี่ยวข้อง
- 3) กำหนดขอบเขตของการวิจัย
- 4) ออกแบบการทดลอง สร้างอุปกรณ์และเครื่องมือสำหรับการทดลอง
- 5) กำหนดแนวทางการวิเคราะห์
- 6) เก็บข้อมูลความสามารถในการออกแบบสถิติและความไม่平安บริเวณเท้าของพนักงานขนส่งในสายการผลิตสาร์คดิสก์ไดร์ฟ
- 7) ทดลองการใช้อุปกรณ์เสริมรองเท้าในระหว่างการปฏิบัติงาน
- 8) วิเคราะห์ข้อมูลความสามารถในการออกแบบและผลกระทบจากการใช้อุปกรณ์เสริมรองเท้า
- 9) สร้างความสัมพันธ์ระหว่างแรงกดลักษณะรองเท้าที่สวมใส่บนขณะออกแบบ
- 10) สรุปผลการวิจัยและจัดทำรูปเล่มวิทยานิพนธ์

## 1.6 ประโยชน์ที่คาดว่าจะได้รับ

- 1) นำผลที่ได้มาพัฒนาฝึกอบรมพนักงานขนส่งให้ทราบถึงวิธีการป้องกันอันตรายที่จะเกิดขึ้นกับร่างกายคนองในขณะปฏิบัติงาน
- 2) นำเสนอข้อมูลความหนักของการงานขนส่งที่ได้มาเป็นฐานข้อมูลการปฏิบัติงานให้พนักงานอุตสาหกรรมในระดับที่เหมาะสม และลดการบาดเจ็บที่เกิดจากการอุตสาหกรรมกินกำลัง
- 3) สามารถใช้ข้อมูลผลกระทบจากการอุบัติเหตุเป็นแนวทางในการเลือกร่องเท้าที่มีความเหมาะสมกับการปฏิบัติงานประเภทยืนและเดิน และลดอัตราการบาดเจ็บบริเวณขาและเท้า
- 4) ได้แนวทางในการออกแบบการทำงานให้มีประสิทธิภาพและเกิดความปลอดภัยในขณะปฏิบัติงานตามหลักการยศาสตร์



## บทที่ 2

### ปริทัศน์วรรณกรรมและงานวิจัยที่เกี่ยวข้อง

#### 2.1 การวิเคราะห์เชิงสติตและเชิงพลวัต

การวิเคราะห์เชิงสติตและเชิงพลวัตสามารถทำได้โดยใช้หลักกลศาสตร์ของวัตถุแกร่ง ซึ่งกำหนดร่างกายให้เป็นเสมือนของแข็งหลาย ๆ ชิ้นต่อเขื่อมกัน ทฤษฎีของวัตถุแกร่ง (Rigid Body) คือของแข็งที่ไม่มีการเปลี่ยนแปลงรูปร่างถูกนำมาใช้ภายในตัวกายได้ก្នอยองนิเวศน์ เพื่อหาความสมมัติของแรงที่กระทำต่อชิ้นส่วนต่าง ๆ ของร่างกาย การวิเคราะห์อาจพิจารณาได้ทั้งในลักษณะคงที่และเมื่อมีการเคลื่อนที่ (นริศ เจริญพร, 2543)

นิตยา เพ็ญศิรินภา และคณะ (2552) กล่าวถึงการวิเคราะห์เชิงสติตและเชิงพลวัตดังต่อไปนี้ สติต (Statics) เป็นสาขานหนึ่งของการศึกษาทางด้านกลศาสตร์ในภาวะที่แรงกระทำอยู่ในภาวะสมดุล ไม่ทำให้เกิดการเคลื่อนที่ นำมาประยุกต์ในการศึกษาการทำงานของมนุษย์โดยพิจารณาส่วนต่าง ๆ ของร่างกายเมื่อยกับที่ เพื่อวิเคราะห์หาแรงและโมเมนต์ที่กระทำบนริเเวณส่วนต่อต่าง ๆ ของร่างกาย มีหลายลักษณะงานที่ถูกพิจารณาว่าอยู่ในสภาพสติต เช่น การยืนถือของ การนั่งทำงานของพนักงาน ใช้กล้องตรวจสอบชิ้นงาน ซึ่งการทำงานที่มีการเคลื่อนไหวร่างกายอย่างช้า ๆ สามารถถูกวิเคราะห์โดยใช้แบบจำลองสติต (Static models)

พลวัต (Dynamics) เป็นการศึกษาลักษณะการเคลื่อนไหวและผลกระทบของแรงที่เกี่ยวข้อง โดยนำทฤษฎีและหลักการทางด้านไอนามิกส์มาใช้ในการวิเคราะห์ลักษณะงานที่มีการเคลื่อนไหว เช่น การเดิน การผลัก หรือการลากสิ่งของด้วยมือ การวิเคราะห์แบบพลวัตแบ่งออกเป็น 2 ส่วน (กิตติ อินทรานนท์, 2548) คือ

1) แบบพลศาสตร์ (Kinematics) เป็นการเคลื่อนไหวของร่างกายโดยไม่ได้พิจารณาแรงกระทำที่ทำให้เกิดการเคลื่อนไหวนั้น ๆ ตัวแปรที่สำคัญ ได้แก่ การเปลี่ยนแปลงเชิงเส้นและเชิงมุม (Linear and angular displacement) เป็นการเปลี่ยนแปลงของระยะทางหรือมุมที่เปลี่ยนไป เมื่อร่างกายมีการเคลื่อนที่เพื่อทำการกิจกรรมหนึ่ง ๆ หน่วยที่นิยมใช้ เช่น เมตร และองศา ความเร็ว (Velocity) เป็นอัตราการเปลี่ยนแปลงของระยะทางหรือมุมต่อหน่วยเวลา เช่น เมตรต่อวินาที ( $\text{m/s}$ ) และกิโลเมตรต่อชั่วโมง ( $\text{km/h}$ ) ความเร่ง (Acceleration) เป็นอัตราการเปลี่ยนแปลงความเร็วในหน่วย ( $\text{m/s}^2$ )

2) แบบจลศาสตร์ (Kinetics) เป็นการวิเคราะห์เกี่ยวกับแรงที่กระทำกับร่างกายเมื่อมีการเคลื่อนไหวเพื่อทำการนั่งหน้าจอคอมพิวเตอร์ แรงและไมemenต์ที่กระทำบนร่างกายเป็นผลมาจากการกระทำที่เกิดจากภายนอก และแรงจากภายใน แรงกระทำภายนอกเป็นแรงปฏิกิริยาที่เกิดจากการทำงาน เช่น ในการยกของ แรงภายนอกที่กระทำต่อร่างกายคือน้ำหนักของที่ยก แรงปฏิกิริยาจากการผลักหรือการลากวัตถุหรือรถเข็น แรงด้านของลม และแรงเสียดทานจากพื้น สำหรับแรงกระทำภายในเป็นแรงที่เกิดขึ้นจากการทำงานของส่วนต่างๆ ในร่างกาย เพื่อให้เกิดการเคลื่อนไหว หรือรักษาสภาพสมดุล และท่าทางในขณะที่เคลื่อนที่ เช่น แรงของกล้ามเนื้อ เอ็น และความดันภายในช่องท้อง

การเคลื่อนย้ายวัตถุหนักด้วยแรงคนเป็นกิจกรรมที่มีความเสี่ยงสูงต่อการได้รับอันตรายจากการงานที่สูงขึ้น Nussbaum et al. (2000) ทำการทดลองเคลื่อนย้ายวัตถุในระยะทางสั้นๆ มีการกำหนดตัวแปรต่างๆ ที่เกี่ยวกับงานได้แก่ วิธีการเคลื่อนย้าย ความสามารถในการอกร่างสูงสุดของแขน และการเคลื่อนไหวของลำตัว โดยให้มีการเคลื่อนย้ายในแนวระนาบที่สมมาตรและไม่สมมาตรจากนั้นทำการเปรียบเทียบแรงจากทิศทางที่เปลี่ยนไป พบร่วมกันว่าทิศทางที่เปลี่ยนไปไม่ได้ทำให้การเคลื่อนไหวลดลง ดังนั้นจึงมีการลดระยะเวลาการเคลื่อนย้ายและใช้อุปกรณ์เสริมในการอกร่างทำให้สามารถเคลื่อนย้ายวัตถุที่มีน้ำหนักมากขึ้นและที่ระดับสูงขึ้นได้ ในงานลักษณะเดียวกันที่มีอุปกรณ์การเคลื่อนย้ายที่แตกต่างกัน จะทำให้ประสิทธิภาพจากการทำงานแตกต่างกันไปด้วยไม่ว่าจะเป็นกิจกรรมการยก การบิดเลี้ยว การเดินถือ และการดัน ดังนั้นการอกร่างแบบอุปกรณ์ประกอบการทำงานที่เหมาะสมกับประเภทของงาน สามารถลดอันตรายและการบาดเจ็บที่เกิดจาก การปฏิบัติงานได้ (Mital and Ramakrishnan, 1999)

Resnick and Chaffin (1995) ใช้แนวทางซึ่วกลศาสตร์หาแรงผลักพลวัตสูงสุด โดยใช้ผู้ลูกทดสอบที่มีระดับความแข็งแรงของร่างกายแตกต่างกันได้แก่ ผู้ชายที่แข็งแรง ผู้ชายปกติ ผู้หญิงปกติ และผู้หญิงที่ไม่แข็งแรง โดยให้น้ำหนักบรรทุกของรถเข็น 5 ระดับ ใช้รถเข็นประเภท 4 ถือที่มีแรงเสียดทานต่ำ และมีระดับความสูงของมือจับ 3 ระดับ กำหนดให้ระยะทางในการเข็นเป็น 1.5 เมตร โดยผู้ลูกทดสอบทำการอกร่าง 2 ลักษณะคือ อกร่างมากและอกร่างน้อย พบร่วมกับความสามารถในการอกร่างเข็นสูงสุดเป็น 500 นิวตันสำหรับผู้ชาย และ 200 นิวตันสำหรับผู้หญิง ความเร็วในการเข็นสำหรับผู้ชายที่แข็งแรงจะเป็น 0.8 เมตรต่อวินาทีที่ระดับน้ำหนัก 450 กิโลกรัม และ 1.1 เมตรต่อวินาทีที่ระดับน้ำหนัก 45 กิโลกรัม ส่วนผู้หญิงที่ไม่แข็งแรงจะเป็น 0.4 เมตรต่อวินาทีที่ระดับน้ำหนัก 450 กิโลกรัม และ 0.5 เมตรต่อวินาทีที่ระดับน้ำหนัก 45 กิโลกรัม ซึ่งการทำงานในระดับที่ปลดออกแรงเข็นน้ำหนักไม่เกิน 340 กิโลกรัม อยู่ที่ระดับความเร็วต่ำกว่า 0.5 เมตรต่อวินาที

Mamansari and Salokhe (1996) สำรวจความสามารถในการอกร่างสกัดของเกย์ตระกรไทยในเขตพื้นที่ภาคกลางทั้งผู้ชายและผู้หญิง โดยพิจารณาความสามารถในการอกร่างจากส่วนต่างๆ

ของร่างกายได้แก่ แรงจากส่วนหลัง แขน ขา ไหล่ แรงคอมโพสิต และแรงบีบมือ ผู้ชายมีค่าแรงสติ๊ต เคลี่ยจากส่วนต่าง ๆ ของร่างกายเท่ากับ 690 420 1110 610 1140 และ 360 นิวตัน ตามลำดับ เช่นเดียวกันผู้หญิงมีค่าความสามารถในการอกรองแรงสติ๊ตเฉลี่ยเท่ากับ 460 280 720 300 670 และ 180 นิวตัน ตามลำดับ ดังแสดงในตารางที่ 2.1 พบว่าผู้ชายมีความสามารถในการอกรองแรงสติ๊ตมากกว่าผู้หญิง จากค่าความสามารถในการอกรองแรงดังกล่าวสรุปได้ว่าผู้หญิงมีประสิทธิภาพในการทำงานประเภทการใช้แรงเพียง 66 เปอร์เซ็นต์ ซึ่งน้อยกว่าผู้ชาย

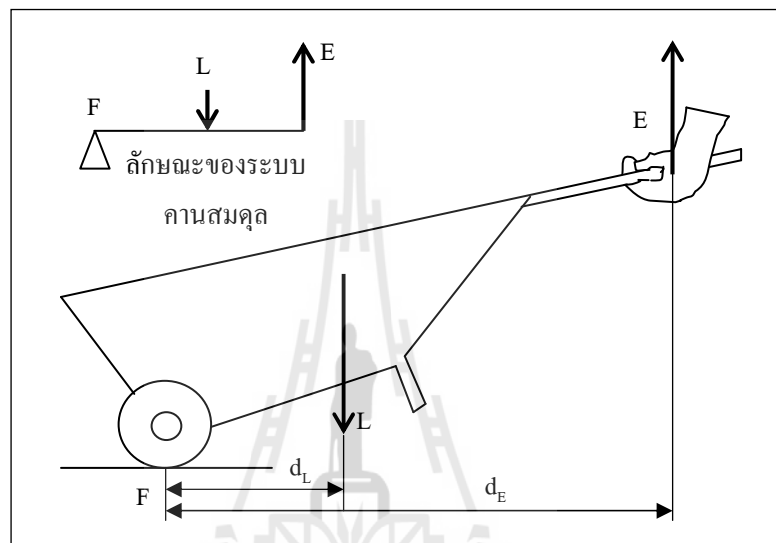
ตารางที่ 2.1 ค่าความสามารถในการอกรองแรงสติ๊ตของเกย์ตระกูลไทยทั้งผู้ชายและผู้หญิงในเขตพื้นที่ภาคกลาง (Mamansari and Salokhe, 1996)

แรงสติ๊ต (นิวตัน)	ค่าเฉลี่ย	ส่วนเบี่ยงเบนมาตรฐาน	ค่าต่ำสุด	ค่าสูงสุด
<b>ผู้ชาย (N=10)</b>				
แรงจากหลัง	690	150	430	1050
แรงแขน	420	80	310	590
แรงขา	1110	140	790	1300
แรงไหล่	610	160	390	950
แรงคอมโพสิต	1140	180	680	1620
แรงบีบมือ	360	60	250	480
<b>ผู้หญิง (N=10)</b>				
แรงจากหลัง	460	90	240	640
แรงแขน	280	90	190	640
แรงขา	720	110	530	1000
แรงไหล่	300	80	180	590
แรงคอมโพสิต	670	80	430	830
แรงบีบมือ	180	20	140	230

## 2.2 การประยุกต์ใช้ชีวกลศาสตร์กับแรงของร่างกาย

กลศาสตร์ของแรงสามารถนำมาประยุกต์ใช้ได้กับการอกรองแรงของร่างกาย ดังรูปที่ 2.1 แรงที่ร่างกายใช้ (E) ในการยกรดเข็นประเภท 2 ดื้อ แรงนี้จะมีค่ามากหรือน้อยขึ้นอยู่กับโครงสร้างของรดเข็น ซึ่งสามารถพิจารณาได้โดยอาศัยหลักการสมดุลของแรงและโมเมนต์ เมื่อกำหนดให้ L

เป็นน้ำหนักของรถเข็นและน้ำหนักสิ่งของในรถเข็น น้ำหนัก  $L$  จะกระทำผ่านจุดศูนย์กลางมวลของรถเข็นและน้ำหนัก ซึ่งกำหนดให้มีระยะห่าง ( $d_L$ ) เป็นระยะห่างจากจุดหมุนของล้อรถที่ถูกพิจารณา เป็นจุดหมุนของระบบคานสมดุลไปยังจุดศูนย์กลางมวลของรถเข็น ระยะห่าง ( $d_E$ ) เป็นระยะห่างจากแรงพยายามของร่างกายมาถึงจุดหมุนของล้อรถด้วยหลักการสมดุลของแรง เพื่อจะลดการใช้แรงจากร่างกายลงจำเป็นที่จะต้องปรับรูปแบบของรถเข็นให้มีความเหมาะสม



รูปที่ 2.1 ชีวกลศาสตร์กับแรงที่ร่างกายใช้ในการยกรถเข็น (นิตยา เพ็ญศิรินภา และคณะ, 2552)

ซึ่งสามารถพิจารณาการปรับรูปทรงของรถเข็นได้ด้วยสมการสมดุลของโมเมนต์ดังต่อไปนี้

$$\sum M = 0 \quad (2.1)$$

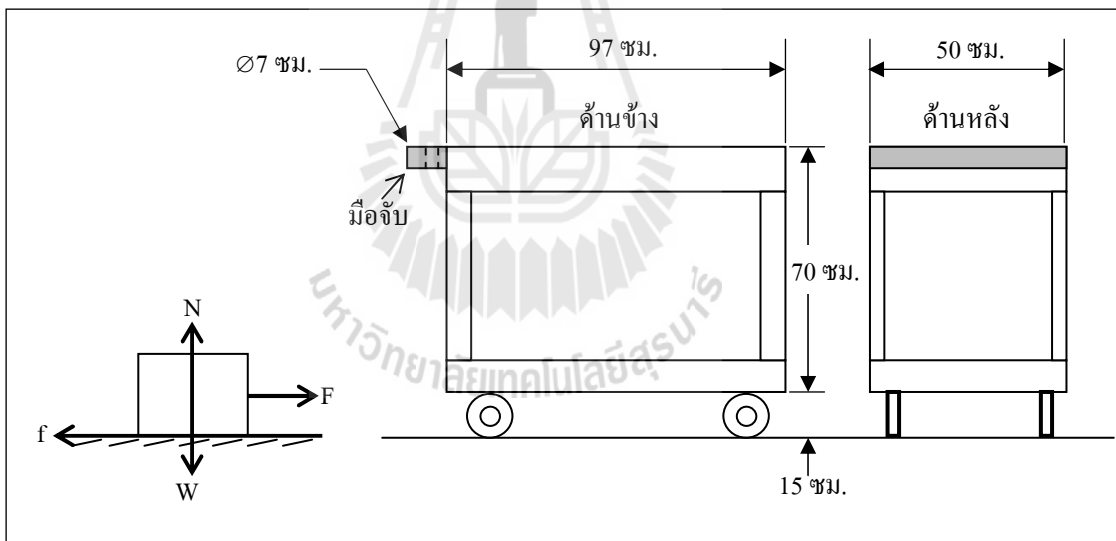
$$E \times d_E = L \times d_L \quad (2.2)$$

$$E = \frac{L \times d_L}{d_E} \quad (2.3)$$

จากสมการข้างต้น การลดแรงที่ร่างกายใช้สามารถทำได้ 3 แนวทางคือ (1) การเพิ่มระยะห่างจากแรงพยายามของร่างกายมาถึงจุดหมุนของล้อรถ (2) การลดน้ำหนักของรถเข็นและน้ำหนักสิ่งของในรถเข็น (3) การลดระยะห่างจากจุดศูนย์กลางมวลถึงจุดหมุนของล้อรถ

การเพิ่มระยะห่างจากแรงพยาyahamของร่างกายมาถึงจุดหมุนของล้อรถ และการลดน้ำหนักของรถเข็นและน้ำหนักล้อของในรถเข็น อาจไม่สามารถทำได้เนื่องจากมีข้อจำกัด เช่น ทำให้รถเข็นมีความยาวมากขึ้นหรือน้ำหนักที่บรรจุน้อยลง หลักการในข้อสุดท้ายเป็นแนวทางที่น่าจะนำมาใช้ได้ง่ายและมีประสิทธิภาพ เช่น การเลื่อนจุดหมุนของล้อมาอยู่ที่ส่วนกลางของตัวรถเข็น ทำให้ระยะห่างจากจุดศูนย์กลางมวลถึงจุดหมุนของล้อรถลดน้อยลง หรืออีกแนวทางหนึ่งคือ การออกแบบรูปทรงของตัวถัง เพื่อทำให้น้ำหนักร่วมของรถเข็นและล้อของที่อยู่ภายใต้มีจุดศูนย์กลางมวลอยู่ใกล้หรือผ่านจุดหมุนซึ่งในที่นี้คือแกนหมุนของล้อ ซึ่งหลักการทำงานด้านชีวกลศาสตร์เกี่ยวกับความแข็งแรงของร่างกายในด้านต่าง ๆ เป็นข้อมูลสำคัญที่ทำให้ผู้ออกแบบเครื่องมือหรืออุปกรณ์ต่าง ๆ สามารถใช้เป็นแนวทางในการพิจารณาสรุปร่างและขนาดที่เหมาะสมได้

ในการศึกษาวิจัยครั้งนี้ทำการวิเคราะห์ความสามารถในการอุปกรณ์รถเข็นที่บรรทุกสารเคมีสำหรับพนักงานขนส่งของบริษัทผู้ผลิตสารเคมีไดร์ฟแห่งหนึ่ง ซึ่งจะเป็นรถเข็นประเภท 4 ล้อ ดังแสดงในรูปที่ 2.2



รูปที่ 2.2 ลักษณะของรถเข็นที่ใช้ในการศึกษาวิจัย

แรงต่าง ๆ ที่กระทำต่อรถเข็นได้แก่ แรงดึงให้รถเข็นเกิดการเคลื่อนที่ ( $F$ ) แรงเสียดทานที่พื้นด้านแรงดึง ( $f$ ) แรงโน้มถ่วงโลกที่ดึงน้ำหนักรถเข็นลง ( $W$ ) และแรงที่พื้นกระทำต่อรถเข็น ( $N$ ) ดังนั้นจะต้องมีการพิจารณาถึงแรงเสียดทานซึ่งเป็นแรงพยาyahamที่จะทำให้รถเข็นเกิดการเคลื่อนที่บนพื้นผิวสัมผัส แรงเสียดทานมี 2 ประเภท คือ (1) แรงเสียดทานสถิตคือ แรงเสียดทานที่เกิดขึ้นระหว่างผิวสัมผัสของวัตถุในสภาพที่วัตถุได้รับแรงกระทำแล้วอยู่นิ่ง (2) แรงเสียดทานเคลื่อนคือ แรง

เสียดทานที่เกิดขึ้นระหว่างผิวสัมผัสของวัตถุในสภาพที่วัตถุได้รับแรงกระทำแล้วเกิดการเคลื่อนที่ ด้วยความเร็วคงที่ ขณะที่มีแรงภายนอกมากระทำต่อรถเข็นและรถเข็นยังไม่เคลื่อนที่ แรงเสียดทานที่เกิดขึ้นมีขนาดต่างกันตามขนาดของแรงที่มากระทำ แรงเสียดทานที่มีค่ามากที่สุดคือ แรงเสียดทานสติก เกิดขึ้นเมื่อรถเข็นเริ่มเคลื่อนที่ และจะมีทิศทางตรงกันข้ามกับการเคลื่อนที่ของรถเข็นเสมอ โดย แรงเสียดทานสติกจะมีค่าสูงกว่าแรงเสียดทานจลน์เล็กน้อย ถ้าผิวสัมผัสหยอดหรือขรุขระจะมีแรงเสียดทานมากกว่าผิวเรียบและลื่น และจะขึ้นอยู่กับน้ำหนักหรือแรงกดของรถเข็นที่กดลงบนพื้น ถ้าน้ำหนักหรือแรงกดมากแรงเสียดทานก็จะมากขึ้นด้วย ค่าสัมประสิทธิ์แรงเสียดทาน ( $\mu$ ) เกิดจาก อัตราส่วนระหว่างแรงที่ดึงให้วัตถุเกิดการเคลื่อนที่ (F) กับแรงกดทับบนผิวสัมผัส (W)

### 2.3 การเคลื่อนย้ายวัตถุด้วยการดึงและดัน

การดึง (Pulling) เป็นกลไกที่ทำให้เกิดแรงอัดต่อรัฐสันหลัง แรงอัดจะมากขึ้นเมื่อ ความสูงของบริเวณที่จับลดลง ความสูงของที่จับจะได้แรงดึงมากที่สุดเมื่ออยู่ที่ความสูงระดับใกล้ หรือเหนือเข้าขึ้นมา (พรศิริ จงกล, 2549) การออกแบบดึงจะอาศัยการทำงานของกล้ามเนื้อแขน ข้อไหล่ กล้ามเนื้อรอบเข่าและสะโพก โดยมีลักษณะท่าทางต่างกันออกไปขึ้นอยู่กับขนาดของวัตถุ และความถนัดของแต่ละบุคคล นอกจากนี้แรงเสียดทานระหว่างพื้นและรองเท้ามีผลต่อ ความสามารถในการออกแบบดึง ถ้าแรงเสียดทานน้อยจะเสี่ยงต่อการลื่นล้ม และหากถ้าแรงเสียดทานมากเกินไปจะต้องออกแรงมากกว่าปกติ วิธีการและท่าทางที่ถูกต้องสำหรับการออกแบบดึงคือ การยืนก้าวขาไปข้างหน้าข้างหนึ่งเพื่อให้ทรงท่าทางได้ดีขึ้น ซึ่งแรงมาจาก การเคลื่อนของน้ำหนักขา จากนั้นเหยียดแขนแล้วดึงวัตถุให้เคลื่อนที่ โดยแรงที่ใช้ในการดึงมาจากการกล้ามเนื้อหลัง

การดัน (Pushing) เป็นกลไกที่ทำให้เกิดแรงต่อรัฐสันหลังสูง การทำงานจะอาศัย การทำงานของกล้ามเนื้อหน้าท้องมากกว่ากล้ามเนื้อหลัง การดันในแนวระนาบจะได้แรงสูงสุด เมื่อออกแรงระดับเอว การดันจะมีความตึงเครียดต่อแรงอัดน้อยกว่าการดึง ทำให้การออกแบบดัน ดีกว่าการออกแบบดึง แรงเสียดทานระหว่างรองเท้ากับพื้นมีความสำคัญเช่นเดียวกับการดึง ที่สำคัญ ควรมีที่จับทึ้งการดันและดึง วิธีการและท่าทางที่ถูกต้องสำหรับการออกแบบดันคือ ควรยืนก้าวขาไปข้างหน้าข้างหนึ่งเพื่อให้ทรงท่าทางได้ดีขึ้น ให้ศอกองประมาณ 90 องศา เพื่อลดแรงกดที่ข้อศอก เหยียดข้อศอกออกเมื่อต้องการออกแบบดัน ไม่ทำการดันขณะบิดหรือเอียงลำตัว เพราะจะส่งผลให้ เกิดอันตรายต่อหลัง ได้แก่ แรงที่ใช้ในการดันจะใช้แรงกล้ามเนื้อหน้าท้องมากกว่ากล้ามเนื้อหลัง (คลินิก กายภาพบำบัดและกิจกรรมบำบัด, 2553)

Tiwari et al. (2010) ศึกษาความสามารถในการออกแบบดันและแรงดึงในท่ายืนเท้าเขียงกัน แขนเหยียดตรงในแนวระนาบของเกยตระกรในประเทศไทยเดีย ดังตารางที่ 2.2 พบว่าผู้ชายสามารถ

ออกแรงดัน ได้มากกว่าแรงดึง ซึ่งค่าเฉลี่ยความสามารถในการออกแรงดันและแรงดึงมีค่าเท่ากับ 253.8 และ 234.2 นิวตัน ส่วนเบี่ยงเบนมาตรฐานของแรงดันและแรงดึงเท่า 52.8 และ 43.0 ตามลำดับ ในขณะที่ผู้หญิงสามารถออกแรงดึง ได้มากกว่าแรงดัน ค่าเฉลี่ยความสามารถในการออกแรงดึงและแรงดันเท่ากับ 185.1 และ 183.1 นิวตัน ส่วนเบี่ยงเบนมาตรฐานของแรงดึงและแรงดันเท่า 30.8 และ 35.6 ตามลำดับ โดยค่าสัมประสิทธิ์การแปรผันของแรงดันและแรงดึงอยู่ในช่วง 16.7 ถึง 20.8 เพื่อลดการบาดเจ็บที่เกิดจากการปฏิบัติงานไม่ควรออกแรงเกิน 30 เปอร์เซ็นต์ของเปอร์เซ็นต์ที่ 5

#### ตารางที่ 2.2 ค่าความสามารถในการออกแรงดันและแรงดึงของเกษตรกรในประเทศไทยเดียว

(Tiwari et al., 2010)

พารามิเตอร์	ค่าเฉลี่ย	ส่วนเบี่ยงเบน มาตรฐาน	ค่าสัมประสิทธิ์ การแปรผัน	เปอร์เซ็นต์	
				5	95
<b>ผู้ชาย (N=604)</b>					
แรงดัน (นิวตัน)	253.8	52.8	20.80	167.0	340.6
แรงดึง (นิวตัน)	234.2	43.0	18.35	163.5	304.8
<b>ผู้หญิง (N=316)</b>					
แรงดัน (นิวตัน)	183.1	35.6	19.47	124.4	241.7
แรงดึง (นิวตัน)	185.1	30.8	16.65	134.4	235.8

Kumar (1995) ได้ทำการศึกษาความสามารถในการออกแรงดันและแรงดึงของหนุ่มสาวที่ระดับความสูงแตกต่างกัน 3 ระดับคือ ต่ำ กลาง และสูง ที่ 35 100 และ 150 เซนติเมตร ตามลำดับ ทั้งแบบสติติก (Isometric) และแบบพลวัต (Isokinetic) ดังแสดงในตารางที่ 2.3 และตารางที่ 2.4 ตามลำดับ พบว่าการออกแรงแบบสติติกค่าเฉลี่ยของค่าความสามารถในการออกแรงดึงมากกว่า แรงดัน ทั้งผู้ชายและผู้หญิงสามารถออกแรงดึงสูงสุดที่ระดับความสูง 100 เซนติเมตร โดยผู้ชายสามารถออกแรงได้มากกว่าผู้หญิงที่ระดับความสูงและการออกแรงรูปแบบเดียวกัน เมื่อเปรียบเทียบ การออกแรงดันและแรงดึงที่ระดับความสูงเดียวกัน ผู้ชายมีความสามารถในการออกแรงอยู่ในช่วง 41 ถึง 68 เปอร์เซ็นต์ ในขณะที่ผู้หญิงมีความสามารถในการออกแรงในช่วง 27 ถึง 44 เปอร์เซ็นต์ ซึ่งการออกแรงแบบสติติกมีค่าความสามารถในการออกแรงมากกว่าแบบพลวัต นอกจากนี้การออกแรงแบบพลวัตสามารถนำค่าแรงที่ได้ไปใช้ในการปรับปรุงและออกแบบรถเข็นสำหรับคนพิการได้ด้วย

ตารางที่ 2.3 ค่าความสามารถในการออกแรงดันและแรงดึงแบบสติติ (นิวตัน) (Kumar, 1995)

เพศ	พารามิเตอร์	ระดับความสูงอักแรงดัน			ระดับความสูงอักแรงดึง			
		ต่ำ	กลาง	สูง	ต่ำ	กลาง	สูง	
ผู้ชาย (N=10)	Peak strength	Mean	362	520	482	356	763	744
		S.D.	112	174	165	61	202	243
	Average strength	Mean	314	488	378	295	646	615
		S.D.	102	132	118	53	189	200
ผู้หญิง (N=10)	Peak strength	Mean	246	339	272	309	521	427
		S.D.	51	76	68	82	95	76
	Average strength	Mean	210	277	220	247	439	352
		S.D.	41	64	53	64	97	58

ตารางที่ 2.4 ค่าความสามารถในการอักแรงดันและแรงดึงแบบพลวัต (นิวตัน) (Kumar, 1995)

เพศ	พารามิเตอร์	ระดับความสูงอักแรงดัน			ระดับความสูงอักแรงดึง			
		ต่ำ	กลาง	สูง	ต่ำ	กลาง	สูง	
ผู้ชาย (N=10)	Peak strength	Mean	291	438	386	342	553	526
		S.D.	80	119	117	65	105	176
	Average strength	Mean	207	240	189	254	379	373
		S.D.	65	107	46	44	79	119
ผู้หญิง (N=10)	Peak strength	Mean	186	267	219	232	363	288
		S.D.	34	44	47	48	58	60
	Average strength	Mean	112	139	112	165	254	196
		S.D.	25	38	31	23	52	43

การเคลื่อนข่ายวัดถูกด้วยการดึงหรือดันเกิดจาก 3 ปัจจัยหลัก (Hoozemans et al., 1998) คือ

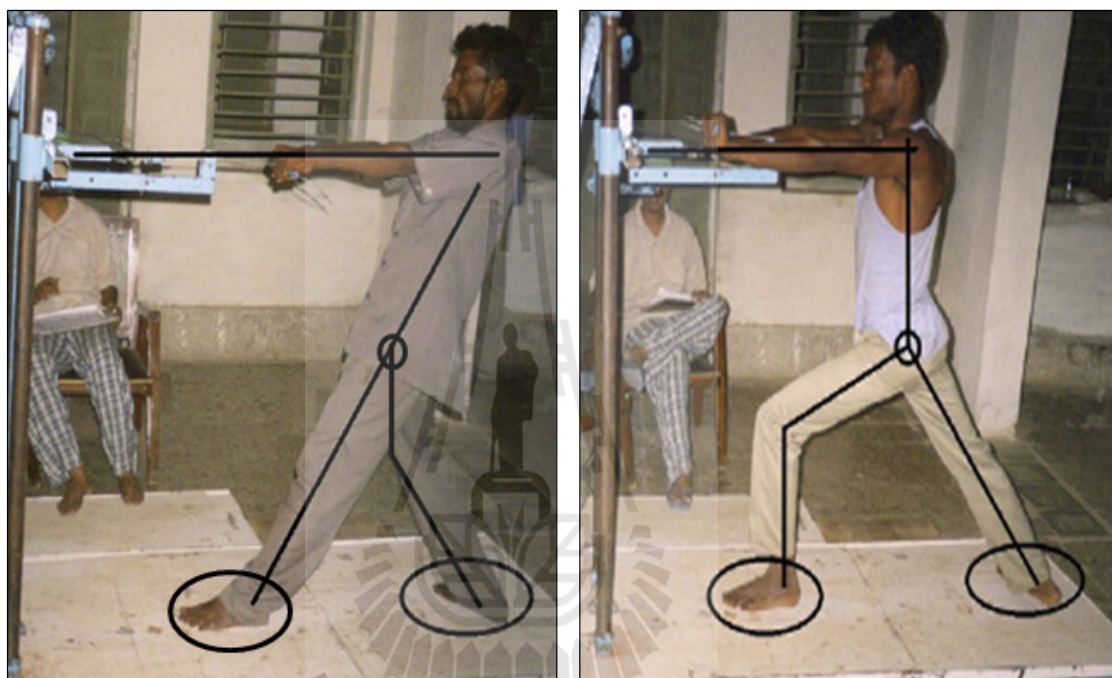
- 1) ปัจจัยที่เกี่ยวกับงานและสถานที่ทำงาน ได้แก่ ระยะทางการเคลื่อนข่าย ความถี่ของการทำงาน ความสูงของระยะมือจับ และน้ำหนักในการเคลื่อนข่าย Imrhan (1999) กล่าวว่าการอักแรงจะขึ้นอยู่กับท่าทางการทำงาน โดยเฉพาะมุมที่แขนและขา และลักษณะของงานว่าดึงหรือดัน แต่ทิศทางที่ส่งแรงได้ดีคือแนวอน ตำแหน่งควรอยู่ระหว่างอักและขา และควรทำงานในท่าที่

นอกจากนั้นยังมีประเด็นสำคัญอีกคือ มนุษย์อุปกรณ์และแรงเสียดทานที่พื้นกับรองเท้า ส่วนของมือจับควรมีขนาดเล็กกว่าสูน้ำหนัก 1.5 ถึง 2 นิ้ว และยาว 5 นิ้ว ซึ่งในงานผลักหากมือจับมีประสิทธิภาพไม่ดีพอจะทำให้ประสิทธิภาพของงานลดลง 65 เปอร์เซ็นต์ (Resnick and Chaffin, 1995)

2) ปัจจัยที่เกี่ยวกับวิธีการทำงานและทำงานในการทำงาน ได้แก่ ระยะของเท้าถึงรดเข็น ระยะห่างระหว่างเท้าทั้งสอง ค่าสัมประสิทธิ์แรงเสียดทาน และความเร็วในการเดิน การยืนออกแรงในท่าทางปกติสามารถทำได้ดีเมื่อเท้าทั้งสองข้างห่างกัน 30 เซนติเมตร มือทั้งสองข้างกำลังอุปกรณ์ทดสอบไว้ โดยจัดให้แนบท่อนบนขานาชิดกับลำตัวและแนบท่อนล่างขานากับพื้น (Chow and Dickerson, 2009) ขณะเดียวกันการยืนออกแรงเท้าเยื่องกันสามารถออกแรงได้ดีกว่าท่าทางการยืนแบบปกติ โดยวางเท้าซ้ายไปด้านหน้าและเท้าขวาของอยู่ด้านหลังเอียงทำมุม 45 องศา ในการออกแรงดันขาหน้าจะทำการรองเข่าส่วนขาหลังเหยียดตรง ในตรงกันข้ามสำหรับการออกแรงดึงขาหน้าเหยียดตรงขาหลังอย่างเดียว (Tiwari et al., 2010) ดังแสดงในรูปที่ 2.3 กรณีการดันเมื่อแยกขาออกจากกันมีระยะห่างระหว่างเท้าทั้งสองมากขึ้นมีผลทำให้ออกแรงได้มากขึ้นกว่าเท้าทั้งสองข้างชิดติดกันขณะที่กรณีการดึงต้องให้ระยะของเท้าลดลงจึงออกแรงได้มากขึ้น Scott (1998) สำรวจความแตกต่างของความสามารถในการออกแรงดึงสูงสุดในท่าทางและระดับต่าง ๆ พบร่วมกันที่สามารถออกแรงดึงสูงสุดได้ที่ระดับความสูง 1070 มิลลิเมตร ท่านั่งสามารถออกแรงดึงสูงสุดได้ที่ระดับความสูง 220 มิลลิเมตร และที่ระดับความสูง 200 มิลลิเมตร ทั้งมือขวาและมือซ้ายสามารถออกแรงดึงได้สูงสุด ซึ่งข้อมูลเหล่านี้สามารถนำมาใช้ในการออกแบบสถานที่ทำงานให้สามารถปฏิบัติงานในท่าทางที่เหมาะสม เช่นเดียวกับการพิจารณาแรงเสียดทานที่เท้าและพื้น จากกฎของเชอร์ร์ไซด์ นิวตัน ที่ว่าแรงปฏิกิริยาเท้ากับแรงที่กระทำในการทำงาน แรงทุกแรงในร่างกายจะเท่ากับแรงดันที่ตรงกันข้ามในการออกแรงดันนั้น แรงจากมือทั้งหมดที่ใช้ในการดันจะเท่ากับแรงด้านที่เท้าสัมผัสถูกพื้น หากเท้าบนพื้นมีการลื่นไถลง่าย นั่นคือมีค่าสัมประสิทธิ์แรงเสียดทานระหว่างพื้นรองเท้าและพื้นต่ำ Ciriello et al. (2001) หาแรงสูงสุดที่ยอมรับได้ที่ใช้ในการออกแรงดันโดยกำหนดตัวแปรคือ ค่าสัมประสิทธิ์แรงเสียดทานระหว่างพื้นกับรองเท้ามีส่วนของระดับคือ ระดับต่ำที่ 0.26 ค่าสัมประสิทธิ์แรงเสียดทานที่ระดับต่ำใช้เทฟرونเคลือบผิวสัมผัสถูกพื้น และที่ค่าสัมประสิทธิ์แรงเสียดทานระดับสูงที่ 0.68

3) ปัจจัยเนื่องจากตัวพนักงาน ได้แก่ เพศ ส่วนสูง และน้ำหนักของร่างกาย เนื่องจากกลุ่มคนมีขนาดสัดส่วนร่างกายที่แตกต่างกันจึงมีความแตกต่างในลักษณะการกระจายแบบปกติ (Normal distribution) ทำให้มีคนที่เบี่ยงเบนสูงมากและต่ำมากจำนวนหนึ่ง แต่ก็มีคนส่วนใหญ่ที่มีค่าของขนาดสัดส่วนร่างกายอยู่ในระหว่างกลาง จึงมักเลือกใช้ข้อมูลในค่าของเปอร์เซ็นไทล์ที่ 5 ที่ 50 และที่ 95 ซึ่งจะได้กลุ่มคนออกมา 3 ลักษณะคือ เล็ก กลาง ใหญ่ (นิตยา เพ็ญศิรินภา และคณะ, 2552)

ซึ่งคุณสมบัติทางกายภาพและขนาดสัดส่วนร่างกายมีความสำคัญมากต่อการออกแบบเครื่องมืออุปกรณ์ตลอดจนการออกแบบสถานที่ทำงาน เพื่อให้การทำงานมีประสิทธิภาพมากขึ้น กล่าวไว้ว่าเพศชายจะสามารถออกแรงได้มากกว่าเพศหญิง (ชวัชชานนท์ สิบปากุล, 2548) ดังนั้นถ้าหน้าก'r่างกายมากขึ้นทำให้การออกแรงมากขึ้นด้วย มีผลทำให้ค่าสัมประสิทธิ์แรงเสียดทานที่ต้องการใช้ลดลง



รูปที่ 2.3 การออกแบบดึงและแรงดันในท่ายืนเท้าเยื้องกัน (Tiwari et al., 2010)

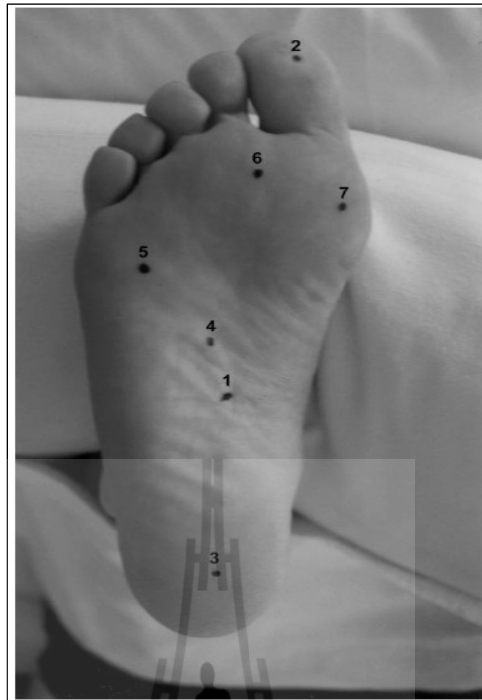
#### 2.4 โรคกล้ามเนื้อและกระดูกโครงร่าง (MSD) กับอาการไม่สบายบริเวณเท้า

โรคกล้ามเนื้อและกระดูกโครงร่าง (Musculoskeletal disorders-MSD) เป็นความผิดปกติของกล้ามเนื้อ (Muscles) เส้นประสาท (Nerves) เอ็น (Tendon) เอ็นยีด (Ligaments) ข้อต่อ (Joints) กระดูกอ่อน (Cartilage) หลอดเลือด (Blood vessels) และหมอนรองกระดูก (Spinal disks) ตามเกณฑ์ของกระทรวงแรงงานซึ่ง OSHA (Occupational safety and health administration) กำหนดว่า โรคกล้ามเนื้อและกระดูกโครงร่างที่เกิดในสถานที่ทำงาน โดยมีปัจจัยเสี่ยงคือ การเคลื่อนไหวที่ซ้ำๆ ใช้แรงมาก ท่าทางตัวไม่ปกติ ภาระสัมผัสมาก และการสั่นสะเทือน (กิตติ อินทรานนท์, 2548) ซึ่งการปฏิบัติงานประเภทยืนและเดินเป็นระยะเวลานาน จะทำให้พนักงานเกิดความไม่สบายที่บริเวณเท้า และนำไปสู่ภาวะผิดปกติของกล้ามเนื้อและกระดูก (Messing and Kilbom, 2001)

อาการไม่สบายบริเวณเท้าที่เกิดจากการส่วนไส่ร่องเท้ามักพบในผู้หญิงมากกว่าผู้ชาย เนื่องจากผู้หญิงไส่ร่องเท้าสันสูงเดินในการทำงานเพื่อให้มีบุคลิกภาพและทำการเดินที่ดูดี การส่วนไส่ร่องเท้าสันสูงจะทำให้การกระจายแรงกดบริเวณฝ่าเท้าไม่ทั่วพื้นรองเท้า ซึ่งทำให้เกิดแรงกดอัดเพิ่มมากขึ้นบริเวณส่วนปลายนิ้วเท้าตามระดับความสูงที่เพิ่มขึ้นของสันรองเท้า และทำให้เกิดอาการไม่สบายเท้าในระหว่างการเดิน โดยระดับความสูงของสันรองเท้าที่เหมาะสมจะต้องไม่เกิน 5.1 เซนติเมตร ยิ่งความสูงของสันรองเท้าลดลงจะทำให้การกระจายของแรงกดบริเวณฝ่าเท้าล้มพัสดู พื้นรองเท้าด้วยแรงกระชากระਸมอ จะช่วยให้ลดแรงกดอัดที่เกิดขึ้นและทำให้รู้สึกสบายบริเวณเท้าในระหว่างการเดิน (Yung-Hui and Wei-Hsien, 2005)

ในกรณีของกลุ่มผู้สูงอายุ พบว่าผู้ที่มีอายุมากขึ้นมีอัตราการเจ็บปวดเท้าและมีปัญหาเกี่ยวกับเท้ามากขึ้น โดยเฉพาะผู้หญิง ซึ่งสาเหตุมาจากการผิวหนังที่ฝ่าเท้าแตกทำให้ต้องเข้ารับการรักษาอย่างครั้ง โดยการส่วนรองเท้าของผู้สูงอายุเป็นเหตุให้เกิดการเจ็บปวดเท้า เนื่องจากความกว้างและความสูงของฝ่าเท้าด้านหน้ามีมากกว่าด้านหลังเท้าจึงเป็นอุปสรรคในการส่วนไส่ร่องเท้า ซึ่งถ้าผู้หญิงสูงอายุ ส่วนไส่ร่องเท้าที่มีสันสูงจะเป็นการช่วยรับน้ำหนักบนฝ่าเท้า ทำให้กระดูกบนฝ่าเท้าและจุดเชื่อมต่อต่าง ๆ อยู่ในภาวะที่มีความสมดุลมากขึ้น แสดงให้เห็นว่าความสูงของสันรองเท้าไม่ใช่สาเหตุของการเจ็บปวดเท้า โดยสาเหตุของการเจ็บปวดเกิดจากความสัมพันธ์ระหว่างขนาดสัดส่วนของเท้าที่ไม่เหมาะสมกับรองเท้า (Castro et al., 2010)

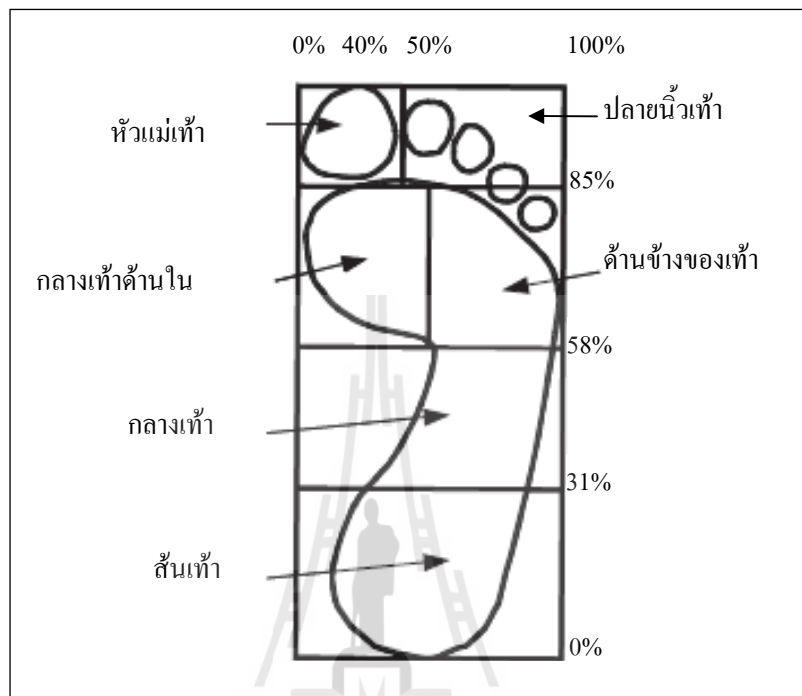
จากการสำรวจงานวิจัยที่เกี่ยวข้องกับการประเมินอาการเจ็บปวดเท้าพบว่ามีหลายวิธี Messing and Kilbom (2001) ได้ประเมินอาการเจ็บปวดที่เกิดขึ้นกับเท้าเพื่อหาข้อดีเริ่มของการเจ็บปวดและแรงกดดันเท้า โดยการแบ่งจุดบนฝ่าเท้าเป็น 7 จุด เพื่อทำการวัดว่าจุดใดบ้างที่ทำให้เกิดอาการเจ็บปวดบนฝ่าเท้าดังแสดงในรูปที่ 2.4 โดย จุดที่ 1 เป็นจุดที่ลากผ่านนิ้วที่สองของเท้าตัดผ่านกลางฝ่าเท้า จุดที่ 2 จะอยู่กลางนิ้วหัวแม่เท้า จุดที่ 3 คือระหว่าง 15 เปรอเซ็นต์จากขอบสันเท้าถึงจุดที่ 1 จุดที่ 4 คือจุดกลางฝ่าเท้าส่วนที่แคบสุดของส่วนเว้า จุดที่ 5 จะอยู่ใต้นิ้วสุดท้ายของเท้าบริเวณพื้นที่ข้างเท้า จุดที่ 6 อยู่ใต้นิ้วที่สองของเท้า และ จุดที่ 7 จะอยู่ที่ส่วนนูนสุดของพื้นที่ใต้นิ้วหัวแม่เท้า จากการวิเคราะห์ความแปรปรวนพบว่าจุดที่ 4 เป็นจุดที่สัมผัสพื้นรองเท้าน้อยที่สุด จึงมีนัยสำคัญต่ำกว่าจุดที่ 2 3 5 6 และ 7 ส่วนจุดที่ 3 เป็นจุดที่สัมผัสกับพื้นรองเท้ามากที่สุดจึงมีนัยสำคัญสูงสุด ดังนั้นจุดที่ 1 และ 4 เป็นจุดที่อยู่ตรงส่วนเว้าของเท้า ซึ่งมีผลอย่างมีนัยสำคัญที่จะทำให้เกิดอาการปวดเมื่อยบริเวณฝ่าเท้า ดังนั้นการปรับเปลี่ยนจุดบนฝ่าเท้าที่สัมผัสพื้นขณะยืนจะเป็นตัวชี้วัดผลกระทบที่เกิดขึ้นในท่ายืนที่แตกต่างกัน เพื่อปรับเปลี่ยนท่ายืนให้เหมาะสมและไม่เจ็บปวดฝ่าเท้า



รูปที่ 2.4 ประเมินจุดที่เกิดอาการเจ็บปวดบนฝ่าเท้า (Messing and Kilbom, 2001)

ในขณะเดียวกัน Yung-Hui and Wei-Hsien (2005) ใช้อุปกรณ์วัดความไม่สบายที่เกิดขึ้นบริเวณพื้นฝ่าเท้า (Pedar in-shoe pressure measurement system) ในการคำนวณแรงกดสูงสุดบริเวณฝ่าเท้าที่มีแรงกดสูงระหว่างการเดิน ทำการประเมินโดยวิธีการแบ่งพื้นที่บนฝ่าเท้าออกเป็น 6 ส่วนคือ ส้นเท้า (Heel) กลางเท้า (Midfoot) กลางเท้าด้านใน (Medial forefoot) ด้านข้างของเท้า (Lateral forefoot) ปลายนิ้วเท้า (Toes) และหัวแม่เท้า (Hallux) ดังแสดงในรูปที่ 2.5 โดยสร้างขึ้นตามเบอร์เซ็นต์ความกว้างและความยาวของเท้า เพื่อทำการประเมินว่าพื้นที่ส่วนไหนของฝ่าเท้ามีอาการปวดเมื่อยและไม่สบายมากที่สุดอันเนื่องจากการยืนและเดินระหว่างการปฏิบัติงาน จากความสัมพันธ์ระหว่างความไม่สบายที่เกิดขึ้นกับแรงกดที่กระจายบริเวณฝ่าเท้า พบร่องรอยเพิ่มระดับความสูงส้นรองเท้าจะเป็นการเพิ่มแรงกดอัดบริเวณกลางเท้าด้านใน และมีความไม่สบายเพิ่มขึ้นระหว่างการเดิน จากการที่มนุษย์แต่ละคนมีลักษณะรูปร่างและโครงสร้างของเท้าแตกต่างกัน ไม่ว่าจะเป็นบริเวณด้านหลังเท้า ด้านข้างของเท้า และพื้นที่ฝ่าเท้า แต่ส่วนที่มีอิทธิพลมากที่สุดที่สามารถรับรู้ได้ถึงความไม่สบายหรือความล้าที่เกิดขึ้นระหว่างการเดินและยืนคือ พื้นที่ฝ่าเท้า ซึ่งเกิดจากแรงกดอัดกระจายไม่สม่ำเสมอจากพื้นที่ฝ่าเท้าไปยังพื้นรองเท้า นอกจากนี้จะต้องคำนึงลักษณะหัวทางขามะยืนด้วยว่าฝ่าเท้าสัมผัสพื้นรองเท้าลักษณะใด ดังนั้นจำเป็นจะต้องมีการเปรียบเทียบหาวัดสุด

ที่มีประสิทธิภาพมาทำพื้นรองเท้า เพื่อลดความเสี่ยงและการบาดเจ็บบริเวณฝ่าเท้าและเพิ่มความสะดวกสบายระหว่างการยืนและเดินปูนิติงงาน (Witana et al., 2009)



รูปที่ 2.5 ประเมินพื้นที่ที่เกิดอาการเจ็บปวดบนฝ่าเท้า (Yung-Hui and Wei-Hsien, 2005)

## 2.5 การบรรเทาโรคกล้ามเนื้อและกระดูกโครงร่าง (MSD) ที่เกิดขึ้นบริเวณเท้า

การบรรเทา MSD และความไม่สบายที่เกิดในบริเวณขาและเท้ามีหลายประการ ได้แก่ การใช้แผ่นกันเมื่อยและแผ่นเสริมรองเท้า การใช้ร้าวพักเท้า การใช้เก้าอี้ที่นั่งก้มยืน รองเท้าที่สวมใส่สบายในการทำงานลักษณะยืนและเดินเป็นสิ่งจำเป็นในการลดความล้าและความไม่สบายบริเวณขา ซึ่งลักษณะของรองเท้าที่ดีจะต้องมีแผ่นรองเท้าที่ทำหน้าที่รองรับเท้าและสามารถดูดซับแรงกระแทก กันเสียงดัง และลดผลกระทบที่เกิดจากแรงกระแทก ได้ โดยจะต้องทำจากวัสดุที่มีประสิทธิภาพ ซึ่งวัสดุทำพื้นรองเท้าที่สามารถช่วยผ่อนคลายความเจ็บปวดในบริเวณส่วนหลังขาและเท้า ในขณะยืนและเดินระหว่างการทำงาน คือ วิสโคอิลัสติก (Viscoelastic) นอกจากนี้ การสวมถุงน่องจะเป็นการช่วยบรรเทาบริเวณส่วนล่างของร่างกาย และลดความไม่สบายที่เกิดขึ้นบริเวณขา (Min-Chi and Mao-Jiun, 2007)

Yung-Hui and Wei-Hsien (2005) กล่าวถึงกรณีส่วนไส่รองเท้าสันสูงของผู้หญิงว่าที่ระดับความสูงของสันรองเท้ามากขึ้นจะทำให้เกิดแรงกดอัดที่กลางฝ่าเท้ามากขึ้นและเกิดอาการไม่สบายระหว่างการเดิน ซึ่งอุปกรณ์เสริมที่เกี่ยวข้องกับรองเท้ามีสัน ได้แก่ หมอนรองสันเท้า (Heel cup) แผ่นรองส่วนเว้ากลางฝ่าเท้า (Arch support) แผ่นบุรุงกระดูกฝ่าเท้า (Metatarsal pad) และแผ่นรองฝ่าเท้าทั้งหมด (Total contact insert) ดังนั้นมอนรองสันเท้าและแผ่นรองส่วนเว้ากลางฝ่าเท้าจะช่วยลดแรงกดอัดที่เท้าและความล้าที่เกิดขึ้น ทำให้รู้สึกสบายเท้าขณะใส่ ซึ่งถ้าใช้มอนรองสันเท้าและแผ่นรองส่วนเว้ากลางฝ่าเท้าร่วมกันจะช่วยลดแรงกดอัดบริเวณสันเท้าและกลางเท้าด้านในได้ถึง 25 และ 24 เปอร์เซ็นต์ ตามลำดับ และสามารถลดอิทธิพลที่เกิดจากแรงกดอัดบริเวณเท้าโดยรวม 33.2 เปอร์เซ็นต์ ซึ่งรู้สึกสบายกว่าไม่ใช้อุปกรณ์เสริมในรองเท้า ทำให้ผู้หญิงรู้สึกสบายขณะใส่ปั๊บติดงาน โดยแผ่นเสริมรองเท้าที่ความหนาเท่ากับ 1.5 เซนติเมตร จะช่วยรองรับกระดูกบริเวณฝ่าเท้าได้ดี ส่วนกลางของพื้นรองเท้าควรทำจาก Ethylene vinyl acetate (EVA) หรือ Polyurethane (PU) ซึ่งเป็นวัสดุที่รู้สึกสบายเท้าขณะใส่ และพื้นรองเท้าควรมีความหนาในช่วงระหว่าง 1.8 ถึง 3.6 เซนติเมตร จะช่วยลดแรงกดและความไม่สบายบริเวณข้อเท้า (Min-Chi and Mao-Jiun, 2007) เช่นเดียวกันแผ่นรองฝ่าเท้าทั้งหมด (Total contact insert) ช่วยลดผลกระทบของการกระจายแรงดันบริเวณพื้นฝ่าเท้าและลดความเครียดที่เกิดขึ้นบริเวณเท้าได้ 19.8 ถึง 56.8 เปอร์เซ็นต์ (Chen et al., 2003)

## บทที่ 3

### วิธีดำเนินการวิจัย

การปฏิบัติงานของพนักงานขนส่งในบริษัทผู้ผลิตสาร์คิดสก์ไคร์ฟแห่งหนึ่งเป็นการปฏิบัติงานในรูปแบบของกิจกรรมการขนย้ายวัสดุหนัก ซึ่งใช้รถเข็นประเภท 4 ล้อ เป็นอุปกรณ์ประกอบการขนย้าย โดยพนักงานขนส่งทำหน้าที่เข็นรถเข็นซึ่งบรรจุสาร์คิดสก์ไคร์ฟในพื้นที่การผลิตจากกระบวนการผลิตก่อนหน้าไปยังกระบวนการผลิตถัดไปเป็นระยะทาง 90 เมตร พนักงานทำงานเป็นระยะเวลา 10.5 ชั่วโมงต่อวัน หากคำนวณแล้วพนักงานขนส่งจะต้องทำการเข็นรถเข็นโดยเฉลี่ย 26,710.2 เมตรต่อวัน ซึ่งการปฏิบัติงานลักษณะดังกล่าวพนักงานจะต้องเดินพร้อมกับออกแรงเข็นรถเข็นตลอดช่วงระยะเวลาการปฏิบัติงาน ส่งผลให้พนักงานมีอาการปวดเมื่อยกล้ามเนื้อและการไม่สบายบริเวณเท้าที่เกิดจากการเดินในขณะปฏิบัติงาน

ดังนั้นจึงจำเป็นต้องมีการวัดความสามารถในการออกแรงดึงและดันรถเข็นเพื่อใช้ในการขนย้ายวัสดุ ประเมินอาการเจ็บปวดที่เกิดขึ้นบริเวณเท้า และศึกษาถึงผลกระทบของรองเท้าที่มีผลต่อความไม่สบายบริเวณเท้าของพนักงานขนส่งในสายการผลิตสาร์คิดสก์ไคร์ฟ เพื่อใช้เป็นแนวทางในการประเมินความเหมาะสมของความหนักของการงานการขนย้าย และการบรรเทาอาการเจ็บปวดบริเวณเท้าที่เกิดขึ้นในขณะยืนและเดินระหว่างช่วงเวลาการปฏิบัติงาน

การดำเนินการวิจัยกล่าวถึงวิธีการเก็บข้อมูลและวิเคราะห์ข้อมูลทางสถิติของการทดลองย่อยทั้งหมด ซึ่งแบ่งหัวข้อวิธีการดำเนินการวิจัยดังนี้ (1) ผู้ถูกทดสอบจำนวน 50 คน (2) ศึกษาคุณลักษณะทางกายภาพของผู้ถูกทดสอบ (3) ศึกษาภาระงานของพนักงานขนส่ง (4) ศึกษาความสามารถในการออกแรงสติ๊กของพนักงานขนส่ง (5) ประเมินภาระงาน (6) สำรวจความไม่สบายที่เกิดขึ้นบริเวณเท้า (7) สำรวจระดับความพึงพอใจที่มีต่อรองเท้าปกติและรองเท้าที่มีอุปกรณ์เสริมพื้นรองเท้า (8) การทดสอบสมมุติฐาน และ (9) สร้างความสัมพันธ์ระหว่างแรงกับลักษณะรองเท้าที่สามารถใส่ขณะออกแรง

#### 3.1 ผู้ถูกทดสอบ

ในงานวิจัยนี้ใช้ผู้ถูกทดสอบจำนวน 50 คน แบ่งเป็นเพศชาย 25 คน และเพศหญิง 25 คน (จำนวนผู้ถูกทดสอบแต่ละในภาคผนวก ก.) ซึ่งเป็นพนักงานขนส่งในบริษัทผู้ผลิตสาร์คิดสก์ไคร์ฟแห่งหนึ่งที่ทำหน้าที่เข็นรถเข็นซึ่งบรรจุสาร์คิดสก์ไคร์ฟในพื้นที่การผลิต อายุระหว่าง 20 ถึง 37 ปี

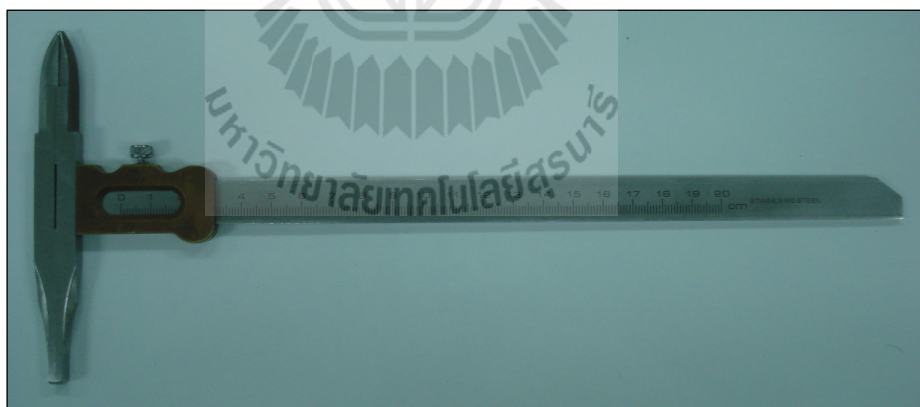
โดยผู้ถูกทดสอบทุกคนเป็นผู้ที่มีสุขภาพร่างกายแข็งแรงและไม่มีโรคประจำตัว มีประสบการณ์ทำงานเป็นรถเข็นอย่างชำนาญเป็นระยะเวลา 1 ปี โดยผู้ถูกทดสอบทุกคนได้รับการชี้แจงการเข้าร่วมโครงการวิจัยเกี่ยวกับวัตถุประสงค์ของงานวิจัยนี้ สิทธิและผลประโยชน์ที่ผู้ถูกทดสอบจะได้รับ และวิธีการปฏิบัติในระหว่างดำเนินการเก็บข้อมูล เมื่อดำเนินการเก็บข้อมูลเสร็จเรียบร้อยแล้วผู้ถูกทดสอบทุกคนได้รับค่าตอบแทนในการอนุเคราะห์ข้อมูล

### 3.2 ศึกษาคุณลักษณะทางกายภาพของผู้ถูกทดสอบ

การเก็บข้อมูลคุณลักษณะทางกายภาพเป็นการเก็บข้อมูลเกี่ยวกับ อายุ เพศ น้ำหนัก ส่วนสูง ประสบการณ์ทำงาน ความยาวเท้าด้านใน ความยาวเท้าด้านนอก ความกว้างเท้า ความกว้างข้อเท้า ความกว้างสันเท้า ความยาวรอบข้อเท้า ความหนาปลายเท้า และความหนาหลังเท้าของผู้ถูกทดสอบ

#### 3.2.1 เครื่องมือและอุปกรณ์ที่ใช้

- 1) เครื่องชั่งน้ำหนัก
- 2) เครื่องวัดส่วนสูง
- 3) อุปกรณ์วัดขนาดสั้นสุดเท้า (Sliding caliper)
- 4) สายวัด (Measuring tape)



รูปที่ 3.1 อุปกรณ์วัดขนาดสั้นสุดเท้า (Sliding caliper)

#### 3.2.2 วิธีการเก็บข้อมูลคุณลักษณะทางกายภาพ

การวัดสั้นของเท้านั้นทำการวัดจากเท้าขวาที่มีการสวมถุงเท้าของผู้ถูกทดสอบ โดยใช้วิธีการวัดตามหลักของ Min-Chi and Mao-Jiun (2007) ดังแสดงในรูป 3.2



รูปที่ 3.2 แสดงวิธีการวัดขนาดสัดส่วนเท้าของผู้ลูกทดสอบ

### 3.2.3 การวิเคราะห์ข้อมูลคุณลักษณะทางกายภาพ

วิเคราะห์ข้อมูลโดยคำนวณหาค่าเฉลี่ยและส่วนเบี่ยงเบนมาตรฐานของข้อมูลคุณลักษณะทางกายภาพ

## 3.3 ศึกษากระบวนการของพนักงานขนส่ง

การเก็บข้อมูลเกี่ยวกับกระบวนการประกอบด้วย น้ำหนักและขนาดสัดส่วนของรถเข็น ชิ้นงาน และคาดใส่ชิ้นงาน

### 3.3.1 เครื่องมือและอุปกรณ์ที่ใช้

- 1) เครื่องชั่งสปริง (Spring scale)
- 2) เครื่องชั่งน้ำหนักขนาดใหญ่
- 3) รถเข็นประเภท 4 ล้อในสายการผลิตสารคดีสก์ไดร์ฟ
- 4) ชิ้นงาน (สารคดีสก์ไดร์ฟ)
- 5) คาดใส่ชิ้นงาน

### 3.3.2 วิธีการเก็บข้อมูลความหนักของการงาน

ความหนักของกระบวนการพิจารณาจากแรงที่ใช้ในการเข็นเพื่อให้รถเข็นเคลื่อนที่โดยใช้เครื่องชั่งสปริงในการวัดค่าดังกล่าว ดังแสดงในรูป 3.3



รูปที่ 3.3 แสดงวิธีการวัดความหนักของการงาน โดยใช้เครื่องชั่งสปริง

### 3.3.3 การวิเคราะห์ข้อมูลความหนักของการงาน

วิเคราะห์ข้อมูลความหนักของการงาน โดยคำนวณหาค่าน้ำหนักรวมของการขนส่งแต่ละรอบ และแรงที่ใช้ในการเริ่มเคลื่อนรถเข็นและในขณะที่รถเข็นเคลื่อนที่

### 3.4 ศึกษาความสามารถในการออกแบบสิ่งของพนักงานขนส่ง

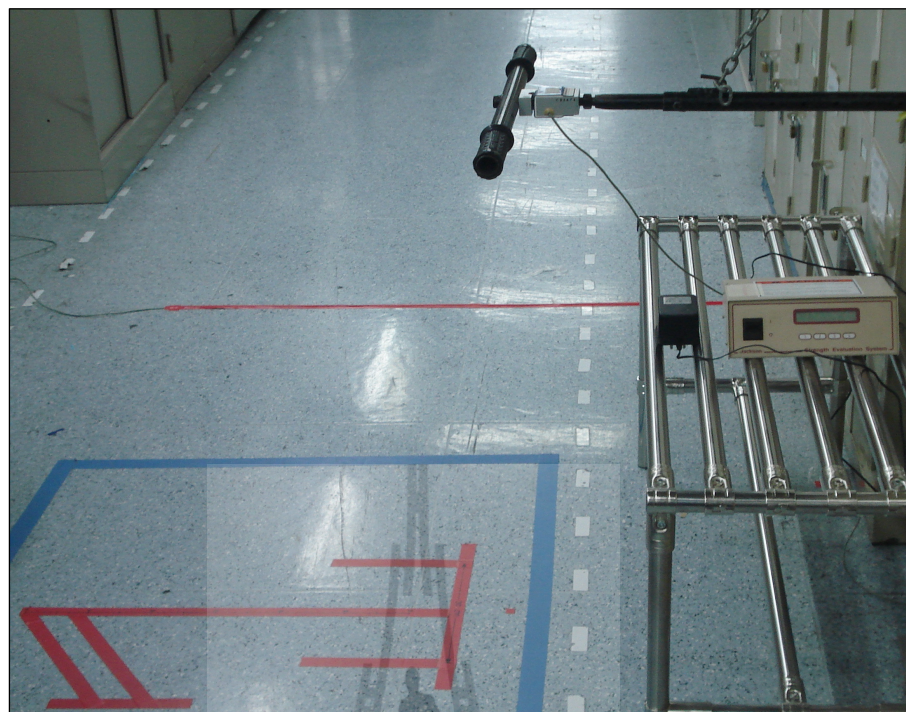
การเก็บข้อมูลความสามารถในการออกแบบสิ่งของพนักงานที่กระทำในสองลักษณะคือ การออกแบบดึงและแรงดัน และมีท่าทางการยืนในสองรูปแบบ คือ ท่ายืนปกติและท่ายืนเท้าเยื่องกัน ซึ่งการวัดแรงสกิดในแต่ละครั้งใช้รองเท้าปกติและมีการใช้แผ่นเสริมรองเท้าชนิดที่แตกต่างกันควบคู่กับรองเท้าที่ใช้สวมใส่บนบลูบาร์งานจริง โดยวัดแรงสกิดที่ระดับความสูงของรถเข็นที่ใช้ในการขนส่งชาร์ดดิสก์ไดร์ฟในสายการผลิตมากที่สุด ซึ่งเท่ากับ 85 เซนติเมตร (การเลือกระดับความสูงแสดงในภาคผนวก ง.) การออกแบบดึงและแรงดันสกิดเป็นการใช้แรงจากท่อนแขนเป็นส่วนใหญ่ ในขณะที่การออกแบบในท่ายืนเท้าเยื่องกันเป็นการใช้แรงโดยใช้ลำตัวช่วย

#### 3.4.1 เครื่องมือและอุปกรณ์ที่ใช้

- 1) เครื่องมือวัดแรงสกิด (Strength evaluation system)
- 2) รองเท้าปกติที่พนักงานสวมใส่บนบลูบาร์งานจริง
- 3) แผ่นเสริมรองเท้าชนิดเรียบ
- 4) หมอนรองส้นเท้า



รูปที่ 3.4 เครื่องมือวัดแรงสกิด (Strength evaluation system)



รูปที่ 3.5 ติดตั้งชุดเครื่องมือวัดแรงสอดคล้องในพื้นที่ทดสอบความสามารถในการออกแรง



รูปที่ 3.6 รองเท้าปกติที่พนักงานสวมใส่ขณะปฏิบัติงานจริง



รูปที่ 3.7 แผ่นเสริมรองเท้าชนิดเรียบ



รูปที่ 3.8 หมอนรองสันเท้า

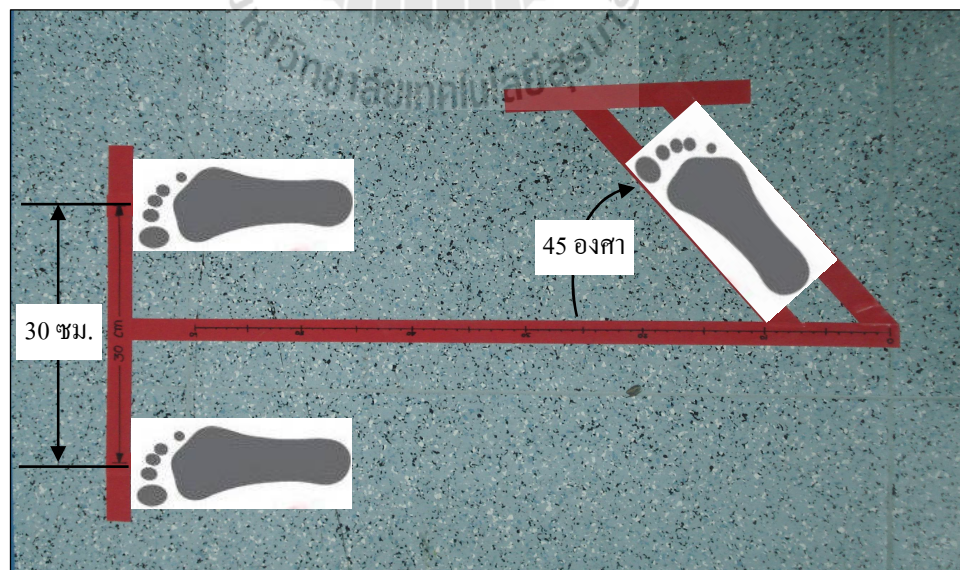
### 3.4.2 วิธีการวัดแรงสกิด

การวัดแรงสกิด ได้กำหนดท่าทางการยืนขณะทำการออกแรงในท่ายืนปกติและท่ายืนเท้าเยื่องบนพื้นที่วางเท้าดังแสดงในรูปที่ 3.9 ดังนี้คือ

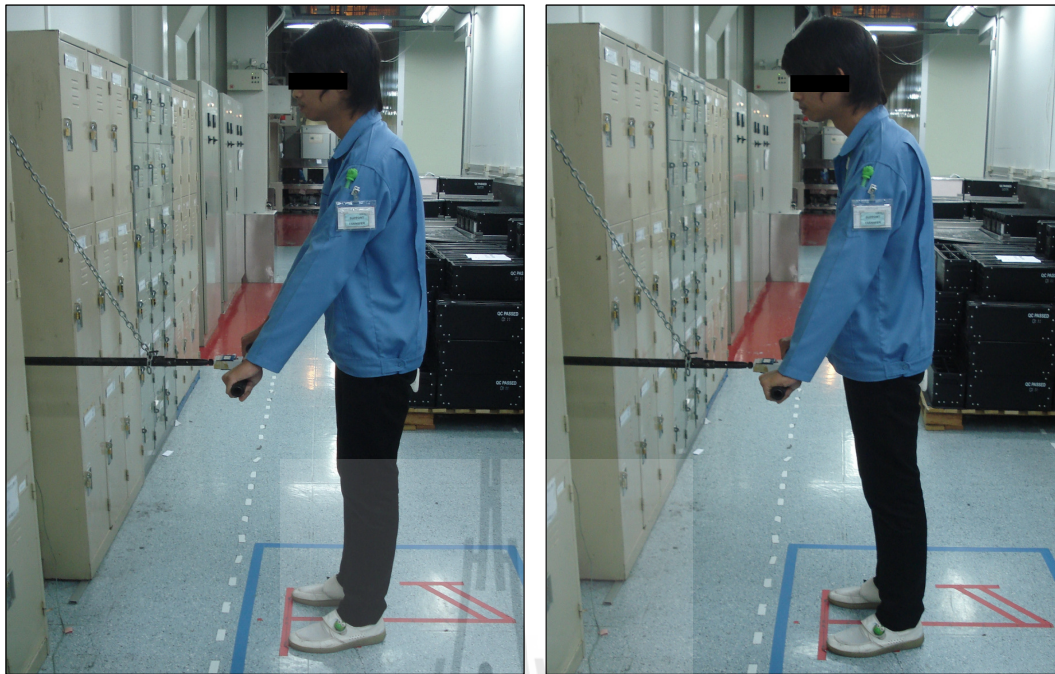
1) ท่ายืนปกติให้ผู้ถูกทดสอบยืนเท้าหันหัวห้องทั้งสองข้างห่างกัน 30 เซนติเมตร มือหันหัวห้อง ข้างกำมือจับของอุปกรณ์ทดสอบไว้ โดยจัดให้แนวห่องบนของผู้ถูกทดสอบขนานชิดกับลำตัว ดังรูปที่ 3.10 (Chow and Dickerson, 2009)

2) ท่ายืนเท้าเยื่องกันให้ผู้ถูกทดสอบวางเท้าซ้ายไปด้านหน้าและเท้าขวาหันอยู่ด้านหลังเอียงทำมุม 45 องศา ใน การออกแรงดันขาหน้าจะทำการอเข้าส่วนขาหลังเหยียดตรง ในตรงกันข้ามสำหรับการอกรแรงดึงขาหน้าเหยียดตรงขาหลังอเข้าดังแสดงในรูปที่ 3.11 (Tiwari et al., 2010)

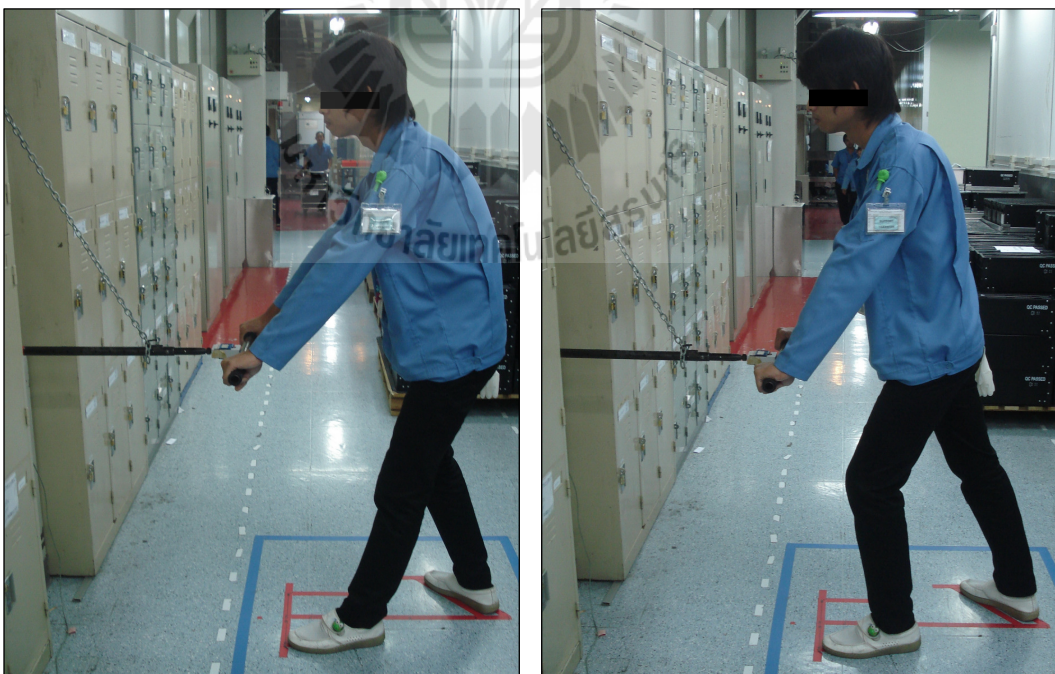
เมื่อผู้ถูกทดสอบพร้อมแล้วจึงให้สัญญาณแก่ผู้ถูกทดสอบโดยการนับ “1 2 3” เมื่อนับลึกล้ำแล้ว ให้ผู้ถูกทดสอบเริ่มออกแรงและเพิ่มแรงดัน (หรือดึง) ให้มากที่สุด ในช่วง 2 วินาที แรกโดยไม่เกิดการกระตุก และยังคงออกแรงมากสุดต่อไปอีก 3 วินาที เมื่อเสียงออดสัญญาณดังขึ้น ผู้ถูกทดสอบหยุดออกแรงและนั่งพักอย่างน้อย 2 นาที ก่อนออกแรงครั้งต่อไป ในช่วงการออกแรง 2 วินาทีแรกเป็นช่วงการเพิ่มแรง ส่วนในช่วง 3 วินาทีถัดมาเป็นช่วงที่ค่าแรงที่วัดได้มีความเสถียร จึงนำค่าแรงที่วัดได้ในช่วงนี้ไปคำนวณหาค่าเฉลี่ย ค่าเฉลี่ยที่ได้เป็นค่าความสามารถในการออกแรงในครั้งนั้น ๆ และมีหน่วยเป็นกิโลกรัม



รูปที่ 3.9 พื้นที่วางเท้าขณะยืนออกแรงสกิด



รูปที่ 3.10 การอوكแรงดึงและแรงดันในท่ายืนปกติของพนักงานขนส่ง



รูปที่ 3.11 การอุกแรงดึงและแรงดันในท่ายืนเท้าเยื่องกันของพนักงานขนส่ง

### 3.4.3 การดำเนินการเก็บข้อมูลความสามารถในการออกแบบสถิติ

โดยการเก็บข้อมูลความสามารถในการออกแบบพนักงานบนสั่งกำหนดให้ผู้ทดสอบแต่ละคนทำการออกแบบดึงและแรงดันในท่าเข็นปกติและท่าเข็นเท้าเขียงกันคนละ 2 ครั้ง การออกแบบแต่ละรอบใช้วิธีการสุ่มลักษณะของร่องเท้าที่สวมใส่ในขณะทำการออกแบบ ดังแสดงในตารางที่ 3.1 ผู้ทดสอบแต่ละคนออกแบบทั้งหมด 24 ครั้ง ทั้งนี้จะใช้เวลาในการเก็บข้อมูลของผู้ทดสอบแต่ละคน 3 วัน โดยแบ่งเป็นการวัดแรง 8 ครั้งต่อวัน

ตารางที่ 3.1 ข้อมูลความสามารถในการออกแบบดึงหรือแรงดันของพนักงานบนสั่งที่ระดับความสูง 85 เซนติเมตร

ลักษณะรองเท้าที่สวมใส่ ในขณะออกแบบ	การออกแบบดึงหรือแรงดัน							
	ท่าเข็นปกติ				ท่าเข็นเท้าเขียง			
	ครั้งที่ 1		ครั้งที่ 2		ครั้งที่ 1		ครั้งที่ 2	
	Peak	Avg.	Peak	Avg.	Peak	Avg.	Peak	Avg.
1) รองเท้าปกติที่สวมใส่ ปฏิบัติงานจริง								
2) รองเท้าปกติเพิ่มแผ่นเสริม รองเท้าชนิดเรียบ								
3) รองเท้าปกติเพิ่มหมอนรอง ส้นเท้า								

### 3.4.4 การวิเคราะห์ข้อมูลความสามารถในการออกแบบสถิติของพนักงานบนสั่ง

1) วิเคราะห์ข้อมูลค่าความสามารถในการออกแบบสถิติของพนักงานบนสั่ง โดยคำนวณหาค่าเฉลี่ย และส่วนเบี่ยงเบนมาตรฐานของความสามารถในการออกแบบสถิติ ของผู้ปฏิบัติงาน

2) วิเคราะห์ความแปรปรวน (Analysis of variance) ของข้อมูลความสามารถในการออกแบบโดยใช้โปรแกรมสำเร็จรูป ซึ่งมีตัวแปรตาม (Dependent variance) 2 ตัว ดังนี้คือ (1) แรงดึง (2) แรงดัน ส่วนตัวแปรอิสระ (Independent variance) มี 3 ตัว ดังนี้คือ (1) ลักษณะรองเท้าที่สวมใส่ในขณะออกแบบ (2) ท่าทางการเข็น และ (3) เพศ รูปแบบของการวิเคราะห์ความแปรปรวนเป็นแบบ Randomized complete block โดยให้ผู้ทดสอบเป็นบล็อก

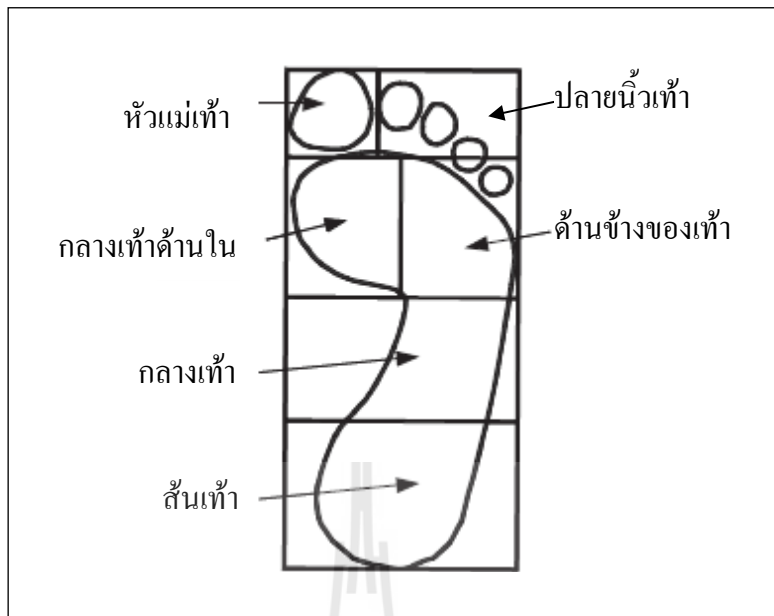
### 3.5 การประเมินภาระงานของพนักงานขนส่ง

การประเมินขีดความสามารถในการปฏิบัติงานของมนุษย์เป็นสิ่งสำคัญและควรนำมาพิจารณาในการกำหนดภาระงานให้มีความเหมาะสม โดยภาระงานกับขีดความสามารถของมนุษย์ มีความสัมพันธ์กันดังนี้คือ (1) ภาระงานมีน้อยแต่ขีดความสามารถของมนุษย์มีมาก สภาพเช่นนี้จะทำให้ผู้ปฏิบัติงานรู้สึกเบื่อหน่าย และเกิดความเครียดมากขึ้น (2) ภาระงานมีมากเกินขีดความสามารถของมนุษย์ สภาพเช่นนี้จะทำให้ผู้ปฏิบัติงานเหนื่อยเมื่อยล้า ทำงานผิดพลาดบ่อยครั้ง อัตราการเกิดอุบัติเหตุเพิ่มขึ้น อัตราการเจ็บป่วยเพิ่มมากขึ้น อัตราการเข้าออกงานเพิ่มขึ้น ผลผลิตลดลงและจะทำให้ธุรกิจขาดทุนในที่สุด (3) ภาระงานมีความสมดุลกับความสามารถของมนุษย์ สภาพเช่นนี้จะทำให้ระบบงานบรรลุวัตถุประสงค์ ทำให้ระบบงานสามารถทำได้อย่างมีประสิทธิภาพ ผลผลิตคิดเป็นประสิทธิผลตามเป้า สภาพร่างกายและจิตใจของผู้ปฏิบัติงานอยู่ในสภาพที่สมดุล ไม่เหนื่อยล้าหรือเจ็บป่วยจากการทำงาน (กิตติ อินทรานนท์, 2548) ซึ่งโดยทั่วไปแล้ว พนักงานไม่ควรออกแรงเกินค่า 15 เปอร์เซ็นต์ของความสามารถในการออกแรงสูงสุด (Maximum voluntary exertion) สำหรับการทำงาน 8 ชั่วโมงหรือมากกว่านี้ต่อเนื่องกัน (Konz, 1995)

ดังนั้นการประเมินภาระงานของพนักงานขนส่งเพศชายและเพศหญิง สามารถทำได้โดยนำค่าร้อยละของค่าความสามารถในการออกแรงสูงสุด (15% Maximum voluntary exertion-MVE) ของตัวผู้ปฏิบัติงานแต่ละคนมาเปรียบเทียบกับค่าแรงเสียดทานจากพื้นเมืองรถเข็นกำลังเคลื่อนที่ และในขณะที่รถเข็นเริ่มเคลื่อนที่

### 3.6 สำรวจความไม่สบายที่เกิดขึ้นบริเวณเท้า

วิธีการนี้เป็นการเก็บข้อมูลความไม่สบายที่เกิดขึ้นบริเวณฝ่าเท้าที่เกิดจากการยืนและเดินในช่วงเวลาการปฏิบัติงานของพนักงานขนส่งในสายการผลิตฮาร์ดคิสก์ไฮร์ฟจำนวน 50 คน โดยใช้แบบสอบถามความไม่สบายที่เกิดขึ้นบริเวณเท้า (ภาคผนวก ฉ.) ซึ่งทำการแบ่งพื้นที่บนฝ่าเท้าเป็น 6 ส่วน (Yung-Hui and Wei-Hsien, 2005) ดังแสดงในรูปที่ 3.12 จากนั้นทำการประเมินระดับความไม่สบายที่เกิดขึ้นบนพื้นที่ส่วนต่างๆ ได้แก่ สันเท้า (Heel) กลางเท้า (Midfoot) กลางเท้าด้านใน (Medial forefoot) ด้านข้างของเท้า (Lateral forefoot) ปลายนิ้วเท้า (Toes) และหัวแม่เท้า (Hallux) ว่าพื้นที่ใดที่ทำให้เกิดอาการเจ็บปวดเท้าในขณะที่ยืนและเดินระหว่างการปฏิบัติงาน



### รูปที่ 3.12 พื้นที่ฝ่าเท้า

### 3.6.1 วิธีการเก็บข้อมูลความไม่สงบบริเวณท้าของพนักงานขนส่ง

- 1) สอบถามอาการไม่สบายบริเวณพื้นฝ่าเท้าของผู้ถูกทดสอบที่เกิดจากการสวมใส่รองเท้าปกติที่ใช้ในการปฏิบัติงานจริง
  - 2) เพิ่มแผ่นเสริมรองเท้านิดเรียบลงในรองเท้าปกติที่สวมใส่ปฏิบัติงานจริงของผู้ถูกทดสอบ และให้ผู้ถูกทดสอบสวมใส่ปฏิบัติงานจริงเป็นระยะเวลาหนึ่งสัปดาห์ หลังจากนั้นให้ผู้ถูกทดสอบกลับมาพบผู้วิจัยเพื่อสอบถามถึงอาการไม่สบายบริเวณพื้นฝ่าเท้าที่เกิดจากการเพิ่มแผ่นเสริมรองเท้านิดเรียบลงในรองเท้าปกติ
  - 3) เปลี่ยนจากแผ่นเสริมรองเท้านิดเรียบเป็นหมอนรองสันเท้าลงในรองเท้าปกติที่ใช้ในการปฏิบัติงานจริงของพนักงาน จากนั้นให้ผู้ถูกทดสอบสวมใส่ปฏิบัติงานจริงเป็นระยะเวลาหนึ่งสัปดาห์ เช่นเดิม แล้วกลับมาพบผู้วิจัยอีกครั้งเพื่อสอบถามถึงอาการไม่สบายบริเวณพื้นฝ่าเท้าที่เกิดจากการเพิ่มหมอนรองสันเท้าลงในรองเท้าปกติ

### 3.6.2 การวิเคราะห์ข้อมูลการไม่สบายนิเวณท้าของพนักงานขนส่ง

- 1) สำรวจระดับอาการไม่สบายบริเวณพื้นฟ้าท้อง 6 ส่วน โดยกำหนดระดับคะแนนอาการไม่สบาย 5 ระดับ ดังนี้คือ 1 คือ อาการปกติ 2 คือ มีอาการไม่สบายน้อย 3 คือ มีอาการไม่สบายปานกลาง 4 คือ มีอาการไม่สบายมาก และ 5 คือ มีอาการไม่สบายจนไม่สามารถปฏิบัติงานได้ตามปกติ

- 2) คำนวณหาค่าร้อยละของระดับคะแนนอาการไม่สบายบริเวณพื้นที่ฝ่าเท้า ส่วนต่าง ๆ ทั้งที่เกิดจากการสวมใส่รองเท้าปกติและรองเท้าที่มีอุปกรณ์เสริมรองเท้า
- 3) เปรียบเทียบเรียงลำดับระดับคะแนนอาการไม่สบายบริเวณพื้นที่ฝ่าเท้า ทั้ง 6 ส่วน ของพนักงานขนส่งในสาขารถยนต์ชั้นนำ
- 4) นำข้อมูลที่ได้มาสรุปว่าการทำงานในลักษณะยืนและเดินของพนักงานขนส่ง ในสาขารถยนต์ชั้นนำ มีอาการไม่สบายบริเวณพื้นที่ฝ่าเท้าส่วนใดมากที่สุด

### 3.7 สำรวจระดับความพึงพอใจที่มีต่อรองเท้าปกติและรองเท้า ที่มีอุปกรณ์เสริมรองเท้า

เก็บข้อมูลระดับความพึงพอใจที่มีต่อรองเท้าปกติ รองเท้าปกติที่มีการเพิ่มแผ่นเสริมรองเท้า ชนิดเรียบ และรองเท้าปกติที่มีการเพิ่มหมอนรองส้นเท้า โดยใช้แบบสอบถามระดับความพึงพอใจ ที่มีต่อรองเท้าปกติและรองเท้าที่มีอุปกรณ์เสริมรองเท้า (ภาคผนวก น.) ซึ่งพิจารณาถึงรูปแบบและ คุณลักษณะต่าง ๆ ดังนี้คือ

- 1) ส่วนใส่พอดีกับเท้า
- 2) รู้สึกสบายบริเวณเท้า ฝ่าเท้า และนิ้วเท้า
- 3) มีพื้นที่ให้นิ้วเท้าสามารถเคลื่อนไหวได้ทุกนิ้ว
- 4) กันกระแทกบริเวณส้นเท้า และกลางบริเวณฝ่าเท้า
- 5) ลดอาการปวดเมื่อยบริเวณส้นเท้า และฝ่าเท้า
- 6) สามารถถ่ายน้ำหนักจากส้นเท้าไปยังนิ้วเท้า และลดแรงที่ฝ่าเท้า
- 7) พื้นรองเท้าไม่หนาหรือบางเกินไป
- 8) พื้นรองเท้าด้านในนุ่ม
- 9) ผิวอบ ๆ ของรองเท้าด้านในนุ่ม สบายขณะสวมใส่
- 10) ส้นรองเท้าด้านในกว้างและนุ่ม
- 11) ส่วนบริเวณส้นเท้ากระชับ ไม่หลุดหลวমขณะเดิน
- 12) พื้นรองเท้าด้านในไม่ลื่นขณะเดิน
- 13) พื้นรองเท้าด้านนอกไม่ลื่นขณะเดิน
- 14) กระชับขณะเดิน
- 15) น้ำหนักเบา
- 16) ระบบอากาศดี ไม่ร้อนเท้าขณะสวมใส่

### **3.7.1 วิธีการเก็บข้อมูลความพึงพอใจที่มีต่อรองเท้าปักติและรองเท้าที่มีอุปกรณ์เสริมรองเท้า**

1) สอบถามความพึงพอใจของผู้ถูกทดสอบที่มีต่อรองเท้าปักติที่ใช้ส่วนไส่ในการปฏิบัติงานจริง

2) สอบถามความพึงพอใจผู้ถูกทดสอบที่มีต่อรองเท้าหลังจากได้เพิ่มแผ่นเสริมรองเท้านิดเรียบลงในรองเท้าปักติที่สวมใส่ปฏิบัติงานจริง แล้วให้ผู้ถูกทดสอบสวมใส่ปฏิบัติงานจริงเป็นระยะเวลาหนึ่งสัปดาห์ หลังจากนั้นให้ผู้ถูกทดสอบกลับมาพบผู้วิจัยเพื่อสอบถามความพึงพอใจที่มีต่อการเพิ่มแผ่นเสริมรองเท้านิดเรียบลงในรองเท้าปักติอีกรึ้ง

3) สอบถามความพึงพอใจผู้ถูกทดสอบที่มีต่อรองเท้าหลังจากได้เพิ่มหมอนรองสันเท้าลงในรองเท้าปักติที่สวมใส่ปฏิบัติงานจริง จากนั้นให้ผู้ถูกทดสอบสวมใส่ปฏิบัติงานจริงเป็นระยะเวลาหนึ่งสัปดาห์เช่นเดิม แล้วกลับมาพบผู้วิจัยอีกรึ้งเพื่อสอบถามถึงความพึงพอใจที่มีต่อการเพิ่มหมอนรองสันเท้าลงในรองเท้าปักติ

### **3.7.2 การวิเคราะห์ข้อมูลความพึงพอใจที่มีต่อรองเท้าปักติและรองเท้าที่มีอุปกรณ์เสริมรองเท้า**

1) สำรวจระดับความพึงพอใจที่มีต่อรองเท้าปักติและรองเท้าที่มีอุปกรณ์เสริมรองเท้าในรูปแบบและคุณลักษณะต่าง ๆ โดยกำหนดระดับคะแนนความพึงพอใจ 5 ระดับ ดังนี้คือ 1 ก cioè พึงพอใจน้อยมาก 2 ก cioè พึงพอใจน้อย 3 ก cioè พึงพอใจปานกลาง 4 ก cioè พึงพอใจมาก และ 5 ก cioè พึงพอใจมากที่สุด

2) คำนวณหาค่าร้อยละของระดับคะแนนความพึงพอใจต่อรูปแบบและคุณลักษณะต่าง ๆ ของรองเท้าปักติและรองเท้าที่มีอุปกรณ์เสริมรองเท้าทั้งเริ่มแรกและหลังจากใช้งานผ่านไปหนึ่งสัปดาห์

3) เปรียบเทียบเรียงลำดับระดับคะแนนความพึงพอใจ

4) สรุปข้อมูลระดับความพึงพอใจในรูปแบบและคุณลักษณะต่าง ๆ ของรองเท้าปักติและรองเท้าที่มีอุปกรณ์เสริมรองเท้าทั้งเริ่มแรกและหลังการใช้งานผ่านไปเป็นระยะเวลาหนึ่งสัปดาห์

5) วิเคราะห์ผลที่เกิดขึ้นจากการส่วนไส่รองเท้าในการออกแบบสอดคล้องเท้าปักติ หรือรองเท้าที่มีอุปกรณ์เสริมรองเท้าชนิดใดที่สวมใส่แล้วรู้สึกสบายบริเวณเท้าและฝ่าเท้าทำให้เกิดความเสถียรในขณะยืนออกแรงและมีความเหมาะสมสำหรับการทำงานประเภทยืนและเดินของพนักงานขนส่ง

### 3.8 การทดสอบสมมุติฐาน

งานวิจัยนี้มีสมมุติฐานที่จะต้องทดสอบ 2 ประการดังนี้

#### 1) สมมุติฐานที่ 1

สมมุติฐานหลัก : ทิศของการออกแรงดึงและแรงดันไม่มีผลต่อความสามารถในการออกแรง

สมมุติฐานรอง : ทิศของการออกแรงดึงและแรงดันมีผลต่อความสามารถในการออกแรง

ในการทดสอบสมมุติฐานที่ 1 มีตัวแปรอิสระคือ ทิศทางของการออกแรงสัมฤทธิ์และท่ามือ และตัวแปรตามคือ ความสามารถในการออกแรง

#### 2) สมมุติฐานที่ 2

สมมุติฐานหลัก : การใช้แผ่นเสริมรองเท้าไม่มีผลต่อความไม่สบายบริเวณเท้า

สมมุติฐานรอง : การใช้แผ่นเสริมรองเท้ามีผลต่อความไม่สบายบริเวณเท้า

ในการทดสอบสมมุติฐานที่ 2 มีตัวแปรอิสระคือ รองเท้าปกติและรองเท้าที่มีแผ่นเสริมรองเท้า และตัวแปรตามคือ ความไม่สบายบริเวณเท้า

### 3.9 สร้างความสัมพันธ์ระหว่างแรงกับลักษณะรองเท้าที่ส่วนใหญ่จะออกแรง

สร้างความสัมพันธ์เชิงเส้นระหว่างตัวแปรอิสระกับตัวแปรตามว่ามีความสัมพันธ์ในลักษณะใด โดยการวิเคราะห์การถดถอยเชิงเส้นดังนี้

1) กำหนดให้เพค รองเท้าและท่ามือเป็นตัวแปรอิสระ และค่าความสามารถในการออกแรงเป็นตัวแปรตาม

2) ทำการวิเคราะห์ความสัมพันธ์ระหว่างแรงกับลักษณะของรองเท้าที่ส่วนใหญ่จะออกแรงโดยใช้โปรแกรมสำเร็จรูป

3) ตรวจสอบข้อสมมุติฐานเกี่ยวกับข้อผิดพลาดเพื่อดูว่า  $\varepsilon \cong NID(0, \sigma^2)$  หรือไม่

4) ตรวจสอบความเหมาะสมของสมการ ได้แก่ การทดสอบสมมุติฐานเกี่ยวกับค่าสัมประสิทธิ์ทดสอบการขาดความเหมาะสมของสมการ

5) นำสมการที่ได้ไปใช้ในการพยากรณ์ค่าความสามารถในการออกแรงสัมฤทธิ์ของพนักงานขนส่งในสายการผลิตชาร์ดดิสก์ไดร์ฟ

## บทที่ 4

### ผลการวิเคราะห์ข้อมูลและการอภิปรายผล

บทนี้เป็นการนำเสนอและรายงานผลการวิจัยที่ได้จากการดำเนินการวิจัยในครั้งนี้ พร้อมทั้งวิเคราะห์และอภิปรายถึงผลลัพธ์ที่เกิดขึ้น โดยแบ่งเป็นหัวข้อตามลำดับดังนี้คือ (1) คุณลักษณะทางกายภาพของผู้ถูกทดสอบ (2) ภาระงานของพนักงานขนส่ง (3) ความสามารถในการออกแบบสิ่งของพนักงานขนส่ง (4) ประเมินภาระงาน (5) ความไม่สบายที่เกิดขึ้นบริเวณเท้า (6) ระดับความพึงพอใจที่มีต่อรองเท้าปกติและรองเท้าที่มีอุปกรณ์เสริมเพื่อรองเท้า (7) การทดสอบสมมุติฐาน และ (8) สร้างความสัมพันธ์ระหว่างแรงกับลักษณะรองเท้าที่ส่วนใหญ่จะออกแรง

#### 4.1 คุณลักษณะทางกายภาพของผู้ถูกทดสอบ

ตารางที่ 4.1 แสดงค่าเฉลี่ยและส่วนเบี่ยงเบนมาตรฐานของคุณลักษณะทางกายภาพของผู้ถูกทดสอบซึ่งเป็นพนักงานขนส่งในสายการผลิตสารเคมีสกัดรีฟ จำนวน 50 คน เป็นเพศชาย 25 คน และเพศหญิง 25 คน โดยเฉลี่ยแล้วเพศชายมีอายุ 27.40 ปี น้ำหนัก 64.88 กิโลกรัม ส่วนสูง 170.40 เซนติเมตร และมีประสบการณ์ทำงาน 2.44 ปี ส่วนเพศหญิงมีอายุ 26.36 ปี น้ำหนัก 56.28 กิโลกรัม ส่วนสูง 160.90 เซนติเมตร และมีประสบการณ์ทำงาน 3.48 ปี

ตารางที่ 4.1 ค่าเฉลี่ยและส่วนเบี่ยงเบนมาตรฐานของคุณลักษณะทางกายภาพของผู้ถูกทดสอบ

ลำดับ	คุณลักษณะทางกายภาพ	เพศชาย		เพศหญิง	
		ค่าเฉลี่ย	ส่วนเบี่ยงเบนมาตรฐาน	ค่าเฉลี่ย	ส่วนเบี่ยงเบนมาตรฐาน
1	อายุ (ปี)	27.40	3.38	26.36	4.94
2	น้ำหนัก (กก.)	64.88	13.71	56.28	11.59
3	ส่วนสูง (ซม.)	170.40	5.71	160.90	4.89
4	ประสบการณ์ทำงาน (ปี)	2.44	2.04	3.48	2.89
5	ความยาวเท้าด้านใน (ซม.)	26.16	1.40	23.88	1.05
6	ความยาวเท้าด้านนอก (ซม.)	20.72	1.14	18.40	3.59
7	ความกว้างเท้า (ซม.)	9.85	0.56	8.95	0.45
8	ความกว้างข้อเท้า (ซม.)	6.94	0.43	6.37	0.35
9	ความกว้างสันเท้า (ซม.)	6.27	0.47	5.59	0.59
10	ความยาวรอบข้อเท้า (ซม.)	25.21	1.87	24.02	1.53
11	ความหนาปลายเท้า (ซม.)	2.29	0.21	2.78	3.59
12	ความหนาหลังเท้า (ซม.)	7.40	0.67	6.56	0.59

#### 4.2 ภาระงานของพนักงานขนส่ง

ตารางที่ 4.2 และ 4.3 แสดงค่าน้ำหนักของการขนส่ง โดยแต่ละรอบของการขนส่งมีน้ำหนักรวมทั้งหมด 41.50 กิโลกรัม การวัดความหนักของการงานทำโดยใช้เครื่องชั่งสปริงแบบแหวนวัดค่าแรงที่ทำให้รถเข็นเริ่มเคลื่อนที่ และในขณะที่รถเข็นเคลื่อนที่ ซึ่งวัดได้ 1.53 กิโลกรัม และ 0.85 กิโลกรัม ตามลำดับ

ตารางที่ 4.2 น้ำหนักของการขนส่งในแต่ละรอบ

รายการ	น้ำหนักต่อรอบการขนส่ง (กิโลกรัม)
รถเข็นประเภท 4 ล้อ 1 คัน	26.50
ผลิตภัณฑ์ยาดัดศอกไครฟ์จำนวน 60 ชิ้น	9.00
ถาดใส่ผลิตภัณฑ์จำนวน 5 ถาด	6.00
รวมน้ำหนักทั้งหมด	41.50

ตารางที่ 4.3 ความหนักของการงานขนส่ง

การวัดค่าแรงโดยเครื่องชั่งสปริง	ความหนักของการงาน (กิโลกรัม)
แรงที่ทำให้รถเข็นเริ่มเคลื่อนที่	1.53
แรงในขณะที่รถเข็นเคลื่อนที่	0.85

#### 4.3 ความสามารถในการออกแรงสติ๊กของพนักงานขนส่ง

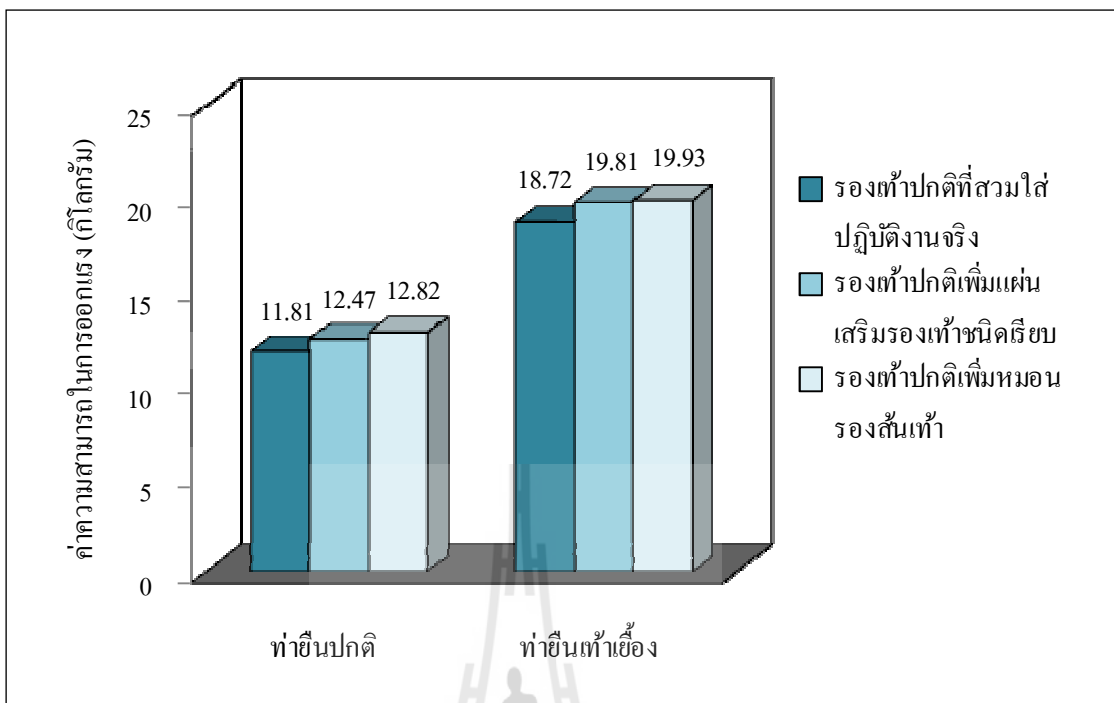
การออกแรงสติ๊กกระทำในสองลักษณะคือ การออกแรงดึงและแรงดัน และมีท่าทางการยืนในสองรูปแบบคือ ท่ายืนปกติและท่ายืนเท้าเยื้องกัน โดยใช้รองเท้าที่มีคุณลักษณะแตกต่างกันในการออกแรงแต่ละครั้ง การวัดค่าแรงสติ๊กกระทำที่ระดับความสูงของรถเข็นที่ใช้ในการขนส่งผลิตภัณฑ์ในสายการผลิตหารดดิสก์ไดร์ฟซึ่งเท่ากับ 85 เซนติเมตร

##### 4.3.1 ความสามารถในการออกแรงดึง

ผลการวิเคราะห์ค่าเฉลี่ยของค่าความสามารถในการออกแรงดึงของผู้ถูกทดสอบเพศชาย (ตารางที่ 4.4 และรูปที่ 4.1) พบว่าค่าความสามารถในการออกแรงดึงสูงสุดเท่ากับ 19.93 กิโลกรัม ซึ่งเกิดจากการอุ้งขาที่ยืนเท้าเยื้องกันโดยลักษณะของรองเท้าที่สวมใส่ในขณะทำการอุ้งขาคือ รองเท้าปกติที่มีการเพิ่มหมอนรองส้นเท้า ขณะเดียวกันค่าความสามารถในการอุ้งขาดึงต่ำสุดเท่ากับ 11.81 กิโลกรัม เกิดจากการอุ้งขาที่ยืนปกติและสวมใส่รองเท้าปกติที่ใช้ในการปฏิบัติงานจริงขณะที่ทำการอุ้งขา ซึ่งความสามารถในการอุ้งขาดึงในท่ายืนปกติ มีค่าน้อยกว่าท่ายืนเท้าเยื้องกัน การเพิ่มหมอนรองส้นเท้าลงในรองเท้าที่ใช้สวมใส่ขณะปฏิบัติงานจริงสามารถอุ้งขาดึงได้ดีกว่าการเพิ่มแผ่นเสริมรองเท้าชนิดเรียบลงในรองเท้าและดีกว่าการอุ้งขาดึงโดยรองเท้าปกติที่ไม่มีอุปกรณ์เสริมรองเท้า ตามลำดับ

ตารางที่ 4.4 แสดงค่าเฉลี่ยและส่วนเบี่ยงเบนมาตรฐานของความสามารถในการอุ้งขาดึงของผู้ถูกทดสอบเพศชาย (หน่วยเป็นกิโลกรัม)

ลักษณะรองเท้าที่สวมใส่ในขณะอุ้งขา	ท่าทางการยืนขณะอุ้งขา	
	ท่ายืนปกติ	ท่ายืนเท้าเยื้อง
รองเท้าปกติที่สวมใส่ปฎิบัติงานจริง	11.81(3.92)	18.72(5.35)
รองเท้าปกติเพิ่มแผ่นเสริมรองเท้าชนิดเรียบ	12.47(4.67)	19.81(6.25)
รองเท้าปกติเพิ่มหมอนรองส้นเท้า	12.82(5.40)	19.93(5.26)



รูปที่ 4.1 แสดงค่าเฉลี่ยของความสามารถในการอักเสบดึงของผู้ถูกทดสอบเพศชาย (หน่วยเป็นกิโลกรัม)

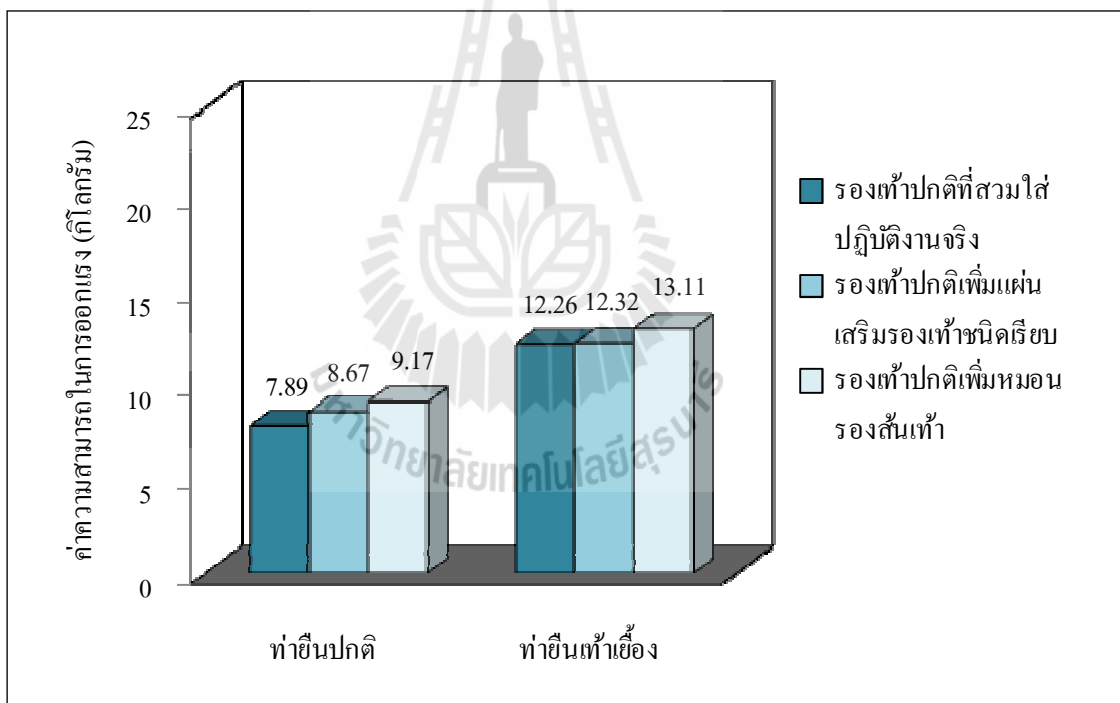
ค่าความสามารถในการอักเสบดึงของผู้ถูกทดสอบเพศชายดังปรากฏในตารางที่ 4.5 และรูปที่ 4.2 พ布ว่าค่าความสามารถในการอักเสบดึงสูงสุดเท่ากับ 13.11 กิโลกรัม โดยเกิดจาก การอักเสบดึงในท่าเย็นเท้าเยื่องกันและส่วนไส่รองเท้าปกติที่มีการเพิ่มหมอนรองส้นเท้าในขณะทำการอักเสบดึง ค่าความสามารถในการอักเสบดึงต่ำสุดเท่ากับ 7.89 กิโลกรัม เกิดจากการอักเสบดึง ในท่าเย็นปกติและส่วนไส่รองเท้าปกติขณะทำการอักเสบดึง การเพิ่มหมอนรองส้นเท้าลงในรองเท้า ที่ใช้ส่วนไส่ขณะปฏิบัติงานจริงสามารถอักเสบดึงได้ดีกว่าการเพิ่มแผ่นเสริมรองเท้าชนิดเรียบ ลงในรองเท้า และดีกว่าการอักเสบดึงโดยรองเท้าปกติที่ไม่มีอุปกรณ์เสริมรองเท้า เช่นเดียวกัน ความสามารถในการอักเสบดึงในท่าเย็นปกติมีค่าน้อยกว่าท่าเย็นเท้าเยื่องกัน ซึ่งมีแนวโน้ม สอดคล้องกับความสามารถในการอักเสบดึงของผู้ถูกทดสอบเพศชาย

การอักเสบดึงอาศัยการทำงานของล้ำมเนื้อแน่น ข้อให้ล่ กล้ามเนื้อรอบขาและสะโพก ซึ่งลักษณะท่าทางการยืนอักเสบดึงที่แตกต่างกันมีผลต่อความสามารถในการอักเสบดึง นอกจากนี้ขณะยืนอักเสบดึงค่าแรงเสียดทานระหว่างพื้นผิวที่ยืนกับพื้นรองเท้ามีผลต่อความสามารถในการอักเสบดึง โดยแรงเสียดทานระหว่างพื้นกับรองเท้ามากทำให้อักเสบดึงได้มากและสามารถยืนได้อย่างมั่นคงไม่ลื่นล้ม (คลินิกกายภาพบำบัดและกิจกรรมบำบัด, 2553) การอักเสบดึงที่ได้ค่า

ความสามารถในการออกแบบมากสุดควรยึนในท่าเข็นเท้าเยื่องกันเพื่อการทรงตัวที่ดีและสามารถใช้แรงจากกล้ามเนื้อหลังช่วยในการออกแบบซึ่งสามารถออกแบบได้มากขึ้น

ตารางที่ 4.5 แสดงค่าเฉลี่ยและส่วนเบี่ยงเบนมาตรฐานของความสามารถในการออกแบบดึงของผู้ทดสอบเพศหญิง (หน่วยเป็นกิโลกรัม)

ลักษณะรองเท้าที่สวมใส่ในขณะออกแบบ	ท่าทางการยืนขณะออกแบบ	
	ท่าเข็นปกติ	ท่าเข็นเท้าเยื่อง
รองเท้าปกติที่สวมใส่ปั๊บติงงานจริง	7.89(2.22)	12.26(2.96)
รองเท้าปกติเพิ่มแผ่นเสริมรองเท้าชนิดเรียบ	8.67(2.80)	12.32(3.29)
รองเท้าปกติเพิ่มหมอนรองส้นเท้า	9.17(2.68)	13.11(3.69)



รูปที่ 4.2 แสดงค่าเฉลี่ยของความสามารถในการออกแบบดึงของผู้ทดสอบเพศหญิง (หน่วยเป็นกิโลกรัม)

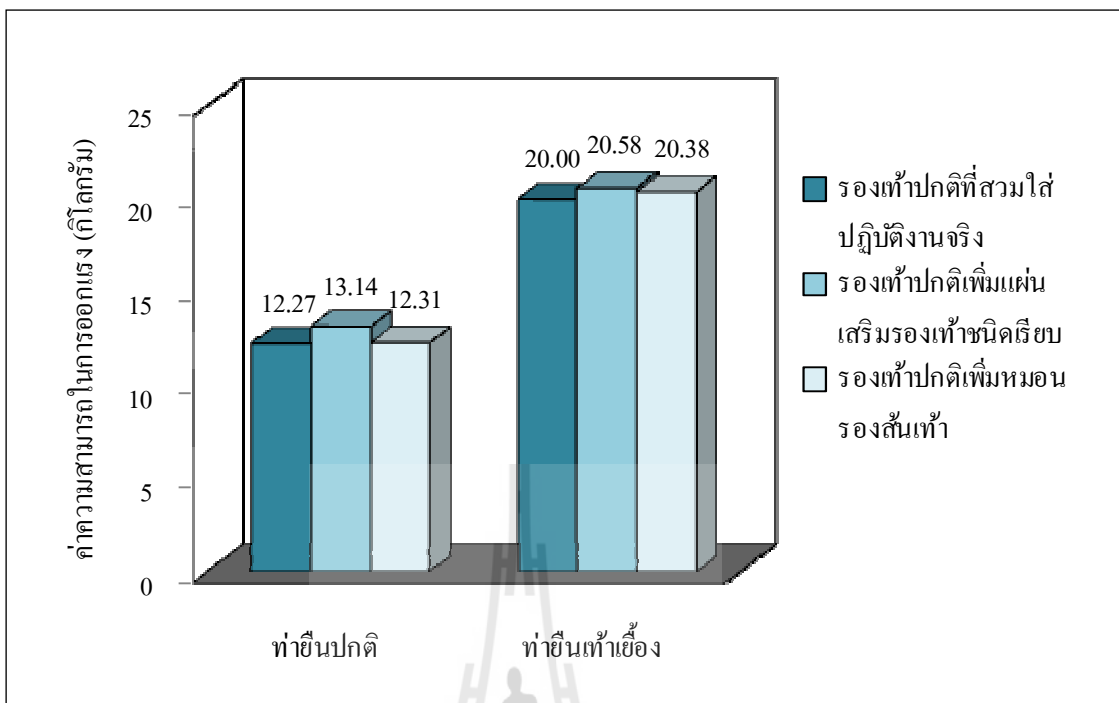
#### 4.3.2 ความสามารถในการออกแบบดัน

ค่าเฉลี่ยของค่าความสามารถในการออกแบบดันของผู้ทดสอบซึ่งเป็นพนักงานขนส่งในสายการผลิตสาร์ดิสก์ไดร์ฟทั้งเพศชายและเพศหญิงแสดงในตารางที่ 4.6 และ 4.7 ตามลำดับ จากตารางที่ 4.6 และรูปที่ 4.3 พบว่าค่าสูงสุดของความสามารถในการออกแบบดันของผู้ทดสอบเพศชายเท่ากับ 20.58 กิโลกรัม ซึ่งเกิดจากการออกแบบในท่าเข็นเท้าเยื่องกันและส่วนไส่รองเท้าปกติที่มีการเพิ่มแผ่นเสริมรองเท้าชนิดเรียบในขณะทำการออกแบบ ส่วนการออกแบบในท่าเข็นปกติและส่วนไส่รองเท้าปกติที่ใช้ในการสวมใส่จะมีปัญหางานจะได้ค่าความสามารถในการออกแบบดันต่ำสุดซึ่งมีค่าเท่ากับ 12.27 กิโลกรัม จากค่าความสามารถในการออกแบบดันทั้งหมดของผู้ทดสอบเพศชาย จะได้ว่าในท่าเข็นปกติมีค่าความสามารถในการออกแบบน้อยกว่าท่าเข็นเท้าเยื่องกัน การเพิ่มแผ่นเสริมรองเท้าชนิดเรียบลงในรองเท้าของผู้ทดสอบซึ่งใช้ในการสวมใส่ปัญหางานจริง ทำให้ผู้ทดสอบสามารถออกแบบดันได้ดีกว่าการเพิ่มหมอนรองส้นเท้าลงในรองเท้าและดีกว่าการออกแบบโดยรองเท้าปกติที่ไม่มีการเพิ่มอุปกรณ์เสริมชนิดใดลงในรองเท้า

จากการเปรียบเทียบความสามารถในการออกแบบระหว่างการออกแบบดึงและการออกแบบดัน พบว่ากรณีออกแบบดึงการใช้อุปกรณ์เสริมรองเท้าประเภทหมอนรองส้นเท้าสามารถออกแบบได้ดีกว่าใช้แผ่นเสริมรองเท้าชนิดเรียบและการใช้รองเท้าปกติแบบไม่เพิ่มอุปกรณ์เสริมเนื่องจากการออกแบบดึงทำให้ทิศของแรงมากทางด้านหลังของผู้ทดสอบและแรงกดจะถ่ายลงมาทั้งส้นเท้า ดังนั้นการใช้หมอนรองส้นเท้าทำให้สามารถลดอาการเจ็บปวดบริเวณส้นเท้าทำให้สามารถออกแบบได้ดีขึ้น ในขณะที่กรณีออกแบบดันการใช้แผ่นเสริมรองเท้าชนิดเรียบสามารถออกแบบได้ดีเนื่องจากการผลักไปด้านหน้าแรงกดจะถ่ายลงไปยังบริเวณปลายเท้า ซึ่งการใช้แผ่นเสริมรองเท้าชนิดเรียบจะช่วยลดแรงกดอัดที่เกิดขึ้นขณะทำการออกแบบ ลดความเครียดที่เกิดขึ้นบริเวณเท้าและสามารถออกแบบได้สูงขึ้น (Chen et al., 2003)

ตารางที่ 4.6 แสดงค่าเฉลี่ยและส่วนเบี่ยงเบนมาตรฐานของความสามารถในการออกแบบดันของผู้ทดสอบเพศชาย (หน่วยเป็นกิโลกรัม)

ลักษณะรองเท้าที่สวมใส่ในขณะออกแบบ	ท่าทางการยืนขณะออกแบบ	
	ท่าเข็นปกติ	ท่าเข็นเท้าเยื่อง
รองเท้าปกติที่สวมใส่ปัญหางานจริง	12.27(4.01)	20.00(4.89)
รองเท้าปกติเพิ่มแผ่นเสริมรองเท้าชนิดเรียบ	13.14(4.44)	20.58(5.57)
รองเท้าปกติเพิ่มหมอนรองส้นเท้า	12.31(3.89)	20.38(5.16)



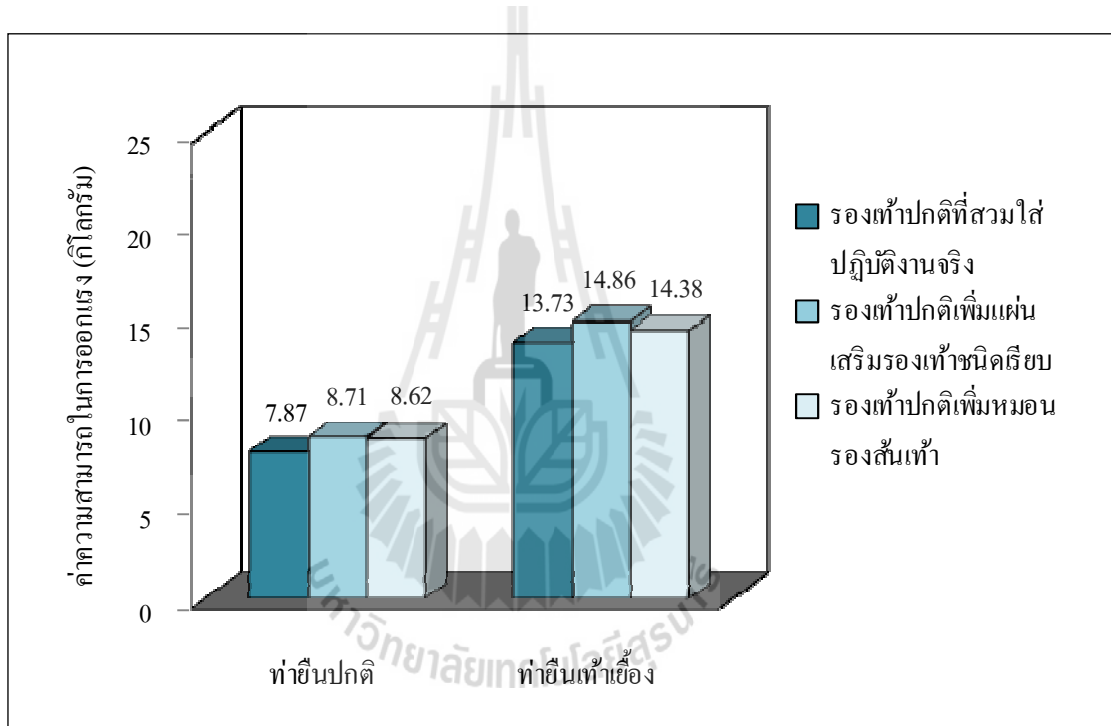
รูปที่ 4.3 แสดงค่าเฉลี่ยของความสามารถในการอกร่างดันของผู้ถูกทดสอบเพศชาย (หน่วยเป็นกิโลกรัม)

ตารางที่ 4.7 และรูปที่ 4.4 แสดงให้เห็นว่าค่าสูงสุดของค่าความสามารถในการอกร่างดันของผู้ถูกทดสอบเพศหญิงเท่ากับ 14.86 กิโลกรัม โดยอกร่างในลักษณะท่าขึ้นเท้าเยื่อง กันและสวมใส่รองเท้าปกติที่มีการเพิ่มแผ่นเสริมรองเท้าชนิดเรียบในขณะทำการอกร่าง ส่วนค่าต่ำสุดของค่าความสามารถในการอกร่างดันเท่ากับ 7.87 กิโลกรัม โดยเกิดจาก การอกร่างในท่าขึ้นปกติและสวมใส่รองเท้าปกติขณะทำการอกร่าง ซึ่งเป็นไปในทิศทางเดียวกันกับผู้ถูกทดสอบ เพศชาย เช่นเดียวกันในท่าขึ้นปกติมีค่าความสามารถในการอกร่างน้อยกว่าท่าขึ้นเท้าเยื่องกัน การเพิ่มแผ่นเสริมรองเท้าชนิดเรียบลงในรองเท้าของผู้ถูกทดสอบจะทำให้สามารถอกร่างดันได้ดีกว่าการเพิ่มหมอนรองสันเท้าลงในรองเท้าและดีกว่าการอกร่างโดยรองเท้าปกติ

ค่าความสามารถในการอกร่างสูงทั้งหมดของผู้ถูกทดสอบเพศชายและ เพศหญิง พบร่วมกับความสามารถในการอกร่างดันมากกว่าค่าความสามารถในการอกร่างดัง และการสวมใส่รองเท้าปกติขณะทำการอกร่างจะสามารถอกร่างได้ดีกว่าการอกร่างด้วย รองเท้าที่มีอุปกรณ์เสริมรองเท้า โดยความสามารถในการอกร่างดีกว่าการอกร่างด้วย รองเท้าที่มีอุปกรณ์เสริมรองเท้า ในขณะที่ความสามารถในการอกร่างดันมีค่ามากเมื่อใช้ แผ่นเสริมรองเท้าชนิดเรียบเป็นอุปกรณ์เสริมรองเท้า

ตารางที่ 4.7 แสดงค่าเฉลี่ยและส่วนเบี่ยงเบนมาตรฐานของความสามารถในการออกแรงดันของผู้ทดสอบสอบเพศหญิง (หน่วยเป็นกิโลกรัม)

ลักษณะรองเท้าที่สวมใส่ในขณะออกแรง	ท่าทางการยืนขณะออกแรง	
	ท่ายืนปกติ	ท่ายืนเท้าเยื่อง
รองเท้าปกติที่สวมใส่ปุ๊บติดงานจริง	7.87(2.23)	13.73(4.01)
รองเท้าปกติเพิ่มแผ่นเสริมรองเท้าชนิดเรียบ	8.71(2.43)	14.86(4.09)
รองเท้าปกติเพิ่มหมอนรองส้นเท้า	8.62(2.61)	14.38(4.26)



รูปที่ 4.4 แสดงค่าเฉลี่ยของความสามารถในการออกแรงดันของผู้ทดสอบสอบเพศหญิง (หน่วยเป็นกิโลกรัม)

#### 4.3.3 ผลการวิเคราะห์ความแปรปรวนของความสามารถในการอุตสาหกรรมสัมภิต

การดำเนินการวิจัยเกี่ยวกับความสามารถในการอุตสาหกรรมสัมภิตของการอุตสาหกรรมพนักงานขนส่งในสายการผลิตสารคดิสก์ไดร์ฟ กำหนดให้ทิศทางของการอุตสาหกรรมสัมภิตเป็นตัวแปรตาม (Dependent variable) คือ การอุตสาหกรรมดึงและการอุตสาหกรรมดัน ส่วนตัวแปรอิสระ (Independent variable) มี 3 ตัว ดังนี้คือ (1) ท่าทางการยืน ประกอบด้วย 2 ระดับปัจจัยได้แก่ ท่ายืนปกติและท่ายืนเท้าเขียง (2) ลักษณะของรองเท้าที่ส่วนไส่ขบจะทำการอุตสาหกรรม ประกอบด้วย 3 ระดับปัจจัยได้แก่ รองเท้าปกติที่ส่วนไส่ปั๊บติดงานจริง รองเท้าปกติเพิ่มแผ่นเสริมรองเท้าชนิดเรียบ และรองเท้าปกติเพิ่มหมอนรองส้นเท้า และ (3) เพศ ประกอบด้วย 2 ระดับปัจจัยได้แก่ เพศชายและเพศหญิง เนื่องจากเพศชายและเพศหญิงมีความสามารถในการปั๊บติดงานที่แตกต่างกัน ซึ่งจะเป็นแหล่งกำเนิดของความแปรปรวนที่สามารถเข้ามารบกวนการทดลองได้ ดังนั้น จึงควบคุมเพศของผู้ถูกทดสอบอย่างเป็นระบบโดยการบล็อก

ในการวิเคราะห์ความแปรปรวนนี้มีข้อสมมุติเบื้องต้น (Assumptions) ที่ว่า ความคลาดเคลื่อนมีการแยกแบบปกติและความคลาดเคลื่อนมีค่าคงที่ เมื่อทำการตรวจสอบข้อมูลความสามารถในการอุตสาหกรรมสัมภิตตามข้อสมมุติเบื้องต้นดังกล่าวแล้ว พบว่า ความคลาดเคลื่อน มีการแจกแจงแบบปกติ แต่ความสัมพันธ์ระหว่างค่าความคลาดเคลื่อนกับค่าที่ได้จากแบบจำลอง ยังมีการรวมกันของจุดพล็อตที่ส่วนหนึ่งของกราฟ จึงต้องทำการแปลงข้อมูลเป็นค่าลอการิทึมธรรมชาติ จากนั้นทำการตรวจสอบค่าข้อมูลที่ทำการแปลงแล้วพบว่า เป็นไปตามข้อสมมุติเบื้องต้น ดังนั้น ผลการวิเคราะห์ความแปรปรวนของความสามารถในการอุตสาหกรรมสัมภิตของการอุตสาหกรรมพนักงานขนส่งในสายการผลิตสารคดิสก์ไดร์ฟ เป็นผลที่เกิดขึ้นจากข้อมูลที่เป็นค่าลอการิทึมธรรมชาติ (กราฟแสดงภาคผนวก ช.)

ผลการวิเคราะห์ความแปรปรวนของความสามารถในการอุตสาหกรรมสัมภิตดังแสดงในตารางที่ 4.8 พบว่า ทิศของแรง ท่ายืน รองเท้า เพศ อันตรกิริยาระหว่างทิศของแรงกับท่ายืน อันตรกิริยาระหว่างทิศของแรงกับรองเท้า อันตรกิริยาระหว่างทิศของแรงกับท่าเข็นและเพศ และการบล็อกเพศของผู้ถูกทดสอบ ซึ่งมีผลต่อค่าความสามารถในการอุตสาหกรรมสัมภิตอย่างมีนัยสำคัญ ( $p < 0.05$ ) นอกจากนี้ การประมาณค่าเพื่อตรวจสอบผลความแปรปรวนของการบล็อกความสามารถจากอัตราส่วนของค่าเฉลี่ยของค่ายกกำลังสองของบล็อกกับค่าเฉลี่ยของค่ายกกำลังสองของความสามารถคลาดเคลื่อน ซึ่งถ้าอัตราส่วนมีขนาดใหญ่จนมาก ได้ว่า ปัจจัยการบล็อกมีผลอย่างมาก จากการวิเคราะห์ความแปรปรวนปรากฏว่า อัตราส่วนดังกล่าวมีค่าเท่ากับ 42.33 แสดงว่า เพศชายกับเพศหญิง มีความสามารถในการอุตสาหกรรมสัมภิตแตกต่างกัน

ตารางที่ 4.8 ผลการวิเคราะห์ความแปรปรวนของความสามารถในการอุกแรงสกิต

แหล่งความแปรปรวน	องศา อิสระ (DF)	ผลรวมของค่า กำลังสอง (Adj SS)	ค่าเฉลี่ยของค่า ยกกำลังสอง (Adj MS)	ค่าเอฟ (F)	ค่าพี (P-value)
ทิศของแรง	1	0.6836	0.6836	20.90	0.000**
ท่าขึ้น	1	68.1191	68.1191	2082.28	0.000**
รองเท้า	2	0.9352	0.4676	14.29	0.000**
เพศ	1	44.6371	44.6371	1364.48	0.000**
ทิศของแรง*ท่าขึ้น	1	0.5080	0.5080	15.53	0.000**
ทิศของแรง*รองเท้า	2	0.2700	0.1350	4.13	0.016**
ทิศของแรง*เพศ	1	0.0081	0.0081	0.25	0.618
ท่าขึ้น*รองเท้า	2	0.0792	0.0396	1.21	0.299
ท่าขึ้น*เพศ	1	0.0402	0.0402	1.23	0.268
รองเท้า*เพศ	2	0.0931	0.0466	1.42	0.241
ทิศของแรง*ท่าขึ้น*รองเท้า	2	0.0052	0.0026	0.08	0.923
ทิศของแรง*ท่าขึ้น*เพศ	1	0.2876	0.2876	8.79	0.003**
ทิศของแรง*รองเท้า*เพศ	2	0.0335	0.0167	0.51	0.600
ท่าขึ้น*รองเท้า*เพศ	2	0.0700	0.0350	1.07	0.343
ทิศของแรง*ท่าขึ้น*รองเท้า*เพศ	2	0.0465	0.0233	0.71	0.491
บล็อก (เพศ)	48	66.4684	1.3848	42.33	0.000**
ความคลาดเคลื่อน	1128	36.9011	0.0327		
ผลรวม	1199	219.1859			

จากผลการทดสอบดังแสดงในตารางที่ 4.8 ผลที่ได้คือ แหล่งความแปรปรวนที่เกี่ยวกับทิศของแรง ท่าขึ้น รองเท้า และเพศ เป็นสถิติฐานหลัก ( $H_0$ ) นั้นคือระดับปัจจัยของแต่ละแหล่งความแปรปรวนมีความแตกต่างกันที่ระดับนัยสำคัญ 0.05 ดังนั้นจึงดำเนินการเปรียบเทียบผลต่างระหว่างค่าเฉลี่ยของแต่ละระดับปัจจัยของแต่ละแหล่งความแปรปรวนที่มีผลต่อความสามารถในการอุกแรงสกิต โดยใช้วิธีการทดสอบของ Tukey (ผลการทดสอบของ Tukey โดยใช้โปรแกรมสำเร็จรูปแสดงในภาคผนวก ช.) ที่ระดับความเชื่อมั่น 95 เปอร์เซ็นต์ หรือระดับนัยสำคัญ 0.05 ดังต่อไปนี้

1) ทิศของแรง : ตารางที่ 4.9 แสดงผลการเปรียบเทียบความแตกต่างระหว่างค่าเฉลี่ยของการออกแบบในทิศของการดึงและการดันจากข้อมูลที่แปลงเป็นลอการิทึมธรรมชาติแล้ว มีค่าเท่ากับ 0.04774 ซึ่งมีค่าพีเท่ากับ 0.0000 นั้นคือความสามารถในการออกแบบดึงและแรงดัน มีความแตกต่างกัน

ตารางที่ 4.9 ผลต่างระหว่างค่าเฉลี่ยของความสามารถในการออกแบบดึงกับแรงดันจากการแปลงข้อมูลเป็นลอการิทึมธรรมชาติ

ทิศของแรง	ค่าเฉลี่ย	ผลต่างระหว่างค่าเฉลี่ย	ค่าพี (P-value)
แรงดึง	2.49480	0.04774	0.0000
แรงดัน	2.54254		

2) ท่าเข็น : การทดสอบโดยวิธีของ Tukey ที่ระดับความเชื่อมั่น 95 เปอร์เซ็นต์ พบว่าความแตกต่างระหว่างค่าเฉลี่ยของความสามารถในการออกแบบในท่าเข็นปกติและท่าเข็นเท้าเขียงมีค่าเท่ากับ 0.47651 ค่าพีเท่ากับ 0.0000 แสดงให้เห็นว่าการออกแบบท่าเข็นปกติแตกต่างจากท่าเข็นเท้าเขียงกันดังตารางที่ 4.10

ตารางที่ 4.10 ผลต่างระหว่างค่าเฉลี่ยของความสามารถในการออกแบบท่าเข็นปกติกับท่าเข็นเท้าเขียงจากการแปลงข้อมูลเป็นลอการิทึมธรรมชาติ

ท่าเข็น	ค่าเฉลี่ย	ผลต่างระหว่างค่าเฉลี่ย	ค่าพี (P-value)
ท่าเข็นปกติ	2.28042	0.47651	0.0000
ท่าเข็นเท้าเขียง	2.75693		

3) รองเท้า : จากตารางที่ 4.11 แสดงค่าความแตกต่างระหว่างค่าเฉลี่ยของความสามารถในการออกแบบโดยใช้รองเท้าปกติกับรองเท้าที่มีแผ่นเสริมรองเท้านิดเรียว และรองเท้าปกติกับรองเท้าที่มีหมอนรองส้นเท้าเท่ากับ 0.05722 และ 0.06103 ตามลำดับ โดยมีค่าพีเท่ากับ 0.0000 ซึ่งเป็นการบ่งชี้ว่าความสามารถในการออกแบบสกิดโดยใช้รองเท้าปกติแตกต่างจาก การออกแบบสกิดโดยใช้รองเท้าที่มีแผ่นเสริมรองเท้านิดเรียว และรองเท้าที่มีหมอนรองส้นเท้า ในขณะเดียวกันความแตกต่างระหว่างค่าเฉลี่ยของความสามารถในการออกแบบโดยใช้รองเท้าที่มีแผ่นเสริมรองเท้านิดเรียบกับรองเท้าที่มีหมอนรองส้นเท้าเท่ากับ 0.00381 และมีค่าพีเท่ากับ 0.9523

นั่นคือการออกแรงโดยใช้ร่องเท้าที่มีแผ่นเสริมรองเท้าชนิดเรียบมีค่าความสามารถในการอออกแรงไม่ต่างจากการอออกแรงโดยใช้ร่องเท้าที่มีหมอนรองส้นเท้า

ตารางที่ 4.11 ผลต่างระหว่างค่าเฉลี่ยของความสามารถในการอออกแรงกับรองเท้าคุณลักษณะต่าง ๆ จากการแปลงข้อมูลเป็นลอกการวิธีมัธมชาติ

รองเท้า	ค่าเฉลี่ย	ผลต่างระหว่างค่าเฉลี่ย	ค่าพี (P-value)
รองเท้าปกติที่สวมใส่ปูนติงานจริง	2.47925	0.05722	0.0000
รองเท้าปกติเพิ่มแผ่นเสริมชนิดเรียบ	2.53647		
รองเท้าปกติที่สวมใส่ปูนติงงานจริง	2.47925	0.06103	0.0000
รองเท้าปกติเพิ่มหมอนรองส้นเท้า	2.54028		
รองเท้าปกติเพิ่มแผ่นเสริมชนิดเรียบ	2.53647	0.00381	0.9523
รองเท้าปกติเพิ่มหมอนรองส้นเท้า	2.54028		

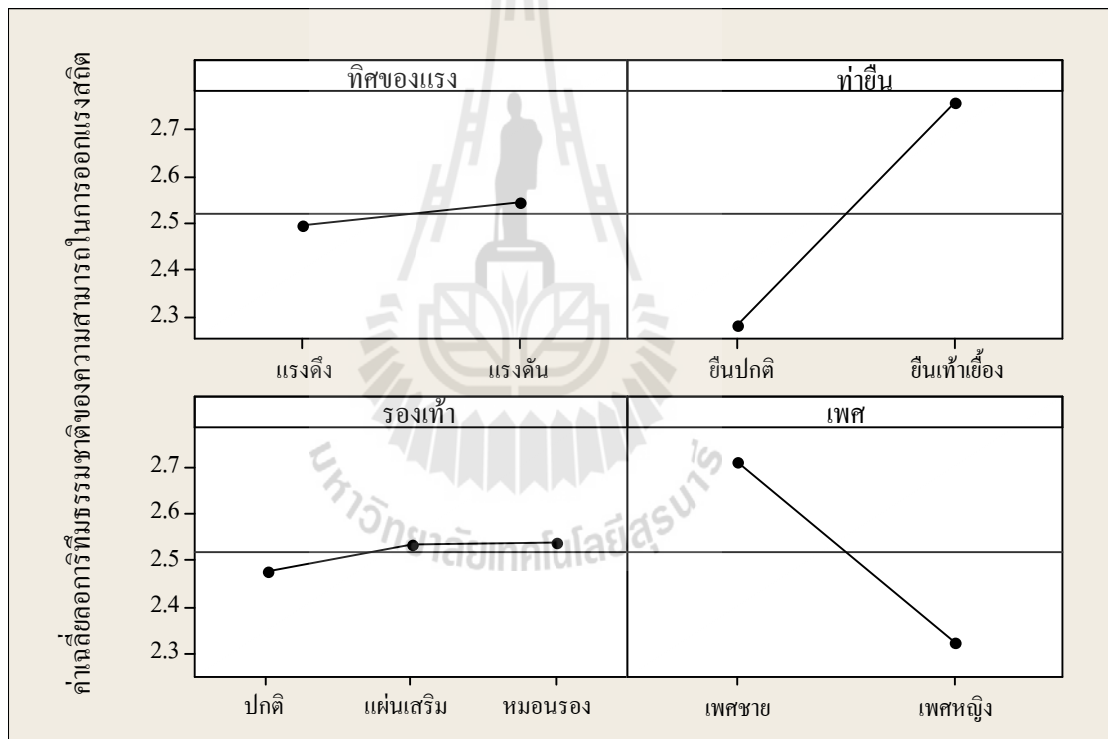
4) เพศ : ผลการเปรียบเทียบความแตกต่างระหว่างค่าเฉลี่ยของการอออกแรงสัมฤทธิ์ของผู้หญิงทดสอบซึ่งเป็นเพศชายกับเพศหญิงในตารางที่ 4.12 พ布ว่ามีค่าท่ากับ 0.38573 และมีค่าพีเท่ากับ 0.0000 สามารถสรุปได้ว่าเพศชายและเพศหญิงมีความสามารถในการอออกแรงสัมฤทธิ์ต่างกัน

ตารางที่ 4.12 ผลต่างระหว่างค่าเฉลี่ยของความสามารถในการอออกแรงของเพศชายกับเพศหญิง จากการแปลงข้อมูลเป็นลอกการวิธีมัธมชาติ

เพศ	ค่าเฉลี่ย	ผลต่างระหว่างค่าเฉลี่ย	ค่าพี (P-value)
เพศชาย	2.71153	0.38573	0.0000
เพศหญิง	2.32580		

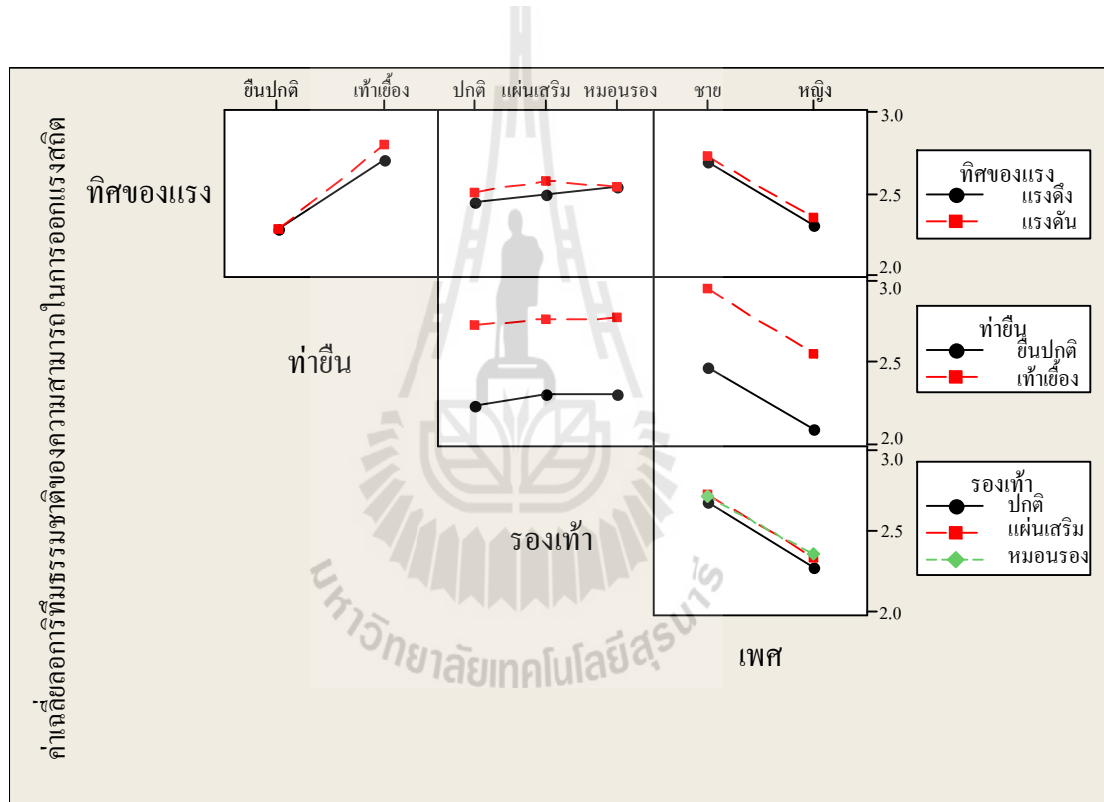
รูปที่ 4.5 แสดงค่าเฉลี่ยของทิศของแรง ท่าขึ้น รองเท้า และเพศ จากการแปลงข้อมูล เป็นลอกการวิธีมัธมชาติ ซึ่งกราฟดังกล่าวจะเป็นการกำหนดระดับปัจจัยที่เหมาะสมของแต่ละแหล่ง ความแปรปรวน โดยพิจารณาจากระดับปัจจัยที่มีค่าเป็นจำนวนมากที่สุด จากราฟพบว่าผู้หญิงทดสอบสามารถอออกแรงสัมฤทธิ์ในทิศของแรงดัน ได้มากกว่าทิศของการอออกแรงดึง โดยที่ท่าขึ้นเท้าเอี้องกัน สามารถทำการอออกแรงได้ดีกว่าท่าขึ้นปกติ และขณะทำการอออกแรงใช้รองเท้าปกติที่มีการเพิ่มหมอนรองส้นเท้าและเพิ่มแผ่นเสริมรองเท้าชนิดเรียบให้ค่าความสามารถในการอออกแรงที่ใกล้เคียงกัน ซึ่งได้ผลดีกว่าการใช้รองเท้าปกติที่ไม่มีอุปกรณ์เสริมรองเท้า ในขณะที่ผู้หญิงทดสอบเพศชาย

มีความสามารถในการออกแบบดีกว่าผู้อุทกทดสอบเพศหญิง จากการสังเกตเกี่ยวกับลักษณะการปฏิบัติงานของพนักงานขนส่งในสายการผลิตอาจาร์ดดิสก์ไดร์ฟ จะเห็นได้ว่าพนักงานขนส่ง เพศชายสามารถปฏิบัติงานเข็นรถเข็นประเภท 4 ล้อได้ดีกว่าพนักงานเพศหญิง โดยอนดับที่จะปฏิบัติงานในลักษณะการดันรถเข็นมากกว่าการดึง เนื่องจากสามารถทุ่มแรงทั้งลำตัวผลัดรถเข็นไปด้านหน้า ทำให้ใช้แรงจากท่อนแขนน้อยในขณะทำการออกแบบ และหลังจากมีการทดลองใช้แผ่นเสริมรองเท้าชนิดเรียบ และหมอนรองสันหลังคู่กับรองเท้าปกติที่ใช้ในการปฏิบัติงานจริง ผลที่ได้ปรากฏว่าพนักงานขนส่งมีความพึงพอใจที่จะใช้แผ่นเสริมรองเท้าชนิดเรียบควบคู่กับรองเท้าปกติ เพราะทำให้สามารถลดอาการปวดเมื่อยบริเวณฝ่าเท้าและกระชับขณะเดินปฏิบัติงาน ส่งผลให้สามารถปฏิบัติงานเข็นรถเข็นได้อย่างมีประสิทธิภาพมากขึ้น



รูปที่ 4.5 กราฟค่าเฉลี่ยของทิศของแรง ท่ายืน รองเท้า และเพศจากการแปลงข้อมูล เป็นลักษณะที่มีธรรมชาติ

นอกจากนี้ผลการวิเคราะห์ความแปรปรวนในตารางที่ 4.8 ยังมีอันตรกิริยาระหว่าง แหล่งของความแปรปรวน ได้แก่ อันตรกิริยาระหว่างทิศของแรงกับท่าเข็น อันตรกิริยาระหว่างทิศ ของแรงกับรองเท้า และอันตรกิริยาระหว่างทิศของแรงกับท่าเข็นและเพศ ที่มีผลต่อค่าความสามารถในการออกแบบสกิดอย่างมีนัยสำคัญ ( $p < 0.05$ ) จากกราฟอันตรกิริยาขุปที่ 4.6 แสดงให้เห็นว่า ที่อันตรกิริยาระหว่างทิศของแรงกับท่าเข็นผู้ลูกทดสอบสามารถออกแบบสกิดได้ดีสุดในทิศของ การออกแบบด้านท่าเข็นเท้าเขี้องกัน และที่อันตรกิริยาระหว่างทิศของแรงกับรองเท้าผู้ลูกทดสอบ สามารถออกแบบสกิดได้มากที่สุดในทิศของการออกแบบด้าน โดยใช้รองเท้าปกติควบคู่กับแผ่นเสริม รองเท้าชนิดเรียบ



รูปที่ 4.6 กราฟอันตรกิริยาระหว่างทิศของแรงกับท่าเข็น ทิศของแรงกับรองเท้าจากการแปลงข้อมูล เป็นลักษณะที่มีธรรมชาติ

## 4.4 ประเมินภาระงาน

### 4.4.1 ผลการประเมินภาระงานของพนักงานขนส่งเพศชาย

การประเมินภาระงานของพนักงานขนส่งเพศชายเริ่มต้นจากการคำนวณค่าความสามารถในการออกแรงดึงในท่าเข็นปกติที่ 15 เปอร์เซ็นต์ของค่าแรงดึงสูงสุด (15% MVE) เข่น ข้อมูลของผู้ถูกทดสอบคนที่ 1 เป็นดังนี้ ผู้ถูกทดสอบสามารถเท้าปักตีที่ใช้สำหรับสวมใส่ปฏิบัติงานจริงขณะทำการออกแรงดึงได้ค่าความสามารถในการออกแรงดึงสูงสุดเท่ากับ 5.95 กิโลกรัม ดังนั้น ค่าแรงดึงในท่าเข็นปกติที่ 15 เปอร์เซ็นต์ของค่าแรงสูงสุดของสามารถเท้าปักตีที่สามารถใส่ปฏิบัติงานจริงเท่ากับ 0.89 กิโลกรัม ข้อมูลของผู้ถูกทดสอบคนที่ 11 ให้ผู้ถูกทดสอบสามารถเท้าปักตีที่เพิ่ม แผ่นเสริมรองเท้าชนิดเรียบขณะทำการออกแรงดึง ซึ่งจะได้ค่าความสามารถในการออกแรงดึงสูงสุดเท่ากับ 11.50 กิโลกรัม ดังนั้นค่าแรงดึงในท่าเข็นปกติที่ 15 เปอร์เซ็นต์ของค่าแรงสูงสุดของสามารถใส่รองเท้าปักตีที่เพิ่มแผ่นเสริมรองเท้าชนิดเรียบท่ากับ 1.73 กิโลกรัม ข้อมูลของผู้ถูกทดสอบคนที่ 25 ผู้ถูกทดสอบสามารถเท้าปักตีที่เพิ่มหมอนรองสันเท้าขณะทำการออกแรงดึงจะได้ค่าความสามารถในการออกแรงดึงสูงสุดเท่ากับ 25.90 กิโลกรัม ดังนั้นค่าแรงดึงในท่าเข็นปกติที่ 15 เปอร์เซ็นต์ของค่าแรงสูงสุดขณะสามารถเท้าปักตีที่เพิ่มหมอนรองสันเท้าเท่ากับ 3.89 กิโลกรัม ตามลำดับ ดังแสดงในตารางที่ 4.13

เมื่อเปรียบเทียบค่า 15 เปอร์เซ็นต์ของค่าความสามารถในการออกแรงดึงสูงสุดในท่าเข็นปกติกับค่าแรงเสียดทาน 0.85 กิโลกรัม ที่เกิดขณะที่รถเข็นเคลื่อนที่ พบร่วมค่า 15 เปอร์เซ็นต์ของผู้ถูกทดสอบเพศชายทุกคนมีค่าสูงกว่าแรงเสียดทาน ดังนั้นความสามารถของภาระงานขนส่งเพศชายในท่าเข็นปกติที่สามารถใส่รองเท้าคุณลักษณะต่าง ๆ จึงไม่เกินกำลังของพนักงาน โดยที่ค่าแรงเสียดทานสามารถสูงขึ้นไม่เกิน 0.89 กิโลกรัม ซึ่งเป็นค่า 15 เปอร์เซ็นต์ของค่าความสามารถในการออกแรงดึงในท่าเข็นปกติและสามารถเท้าปักตีที่สามารถใส่ปฏิบัติงานจริงขณะทำการออกแรง แต่มือเปรียบเทียบค่า 15 เปอร์เซ็นต์ของค่าความสามารถในการออกแรงดึงสูงสุดในท่าเข็นปกติกับค่าแรงเสียดทาน 1.53 กิโลกรัม ที่เกิดในขณะที่รถเข็นเริ่มเคลื่อนที่ จะได้ว่าผู้ถูกทดสอบจำนวน 7 คน มีความสามารถในการออกแรงดึงในท่าเข็นปกติต่ำกว่าความสามารถของภาระงาน ซึ่งเกิดขึ้นในขณะสามารถใส่รองเท้าปักตีที่ใช้สามารถใส่ปฏิบัติงานจริง และมีผู้ถูกทดสอบจำนวน 9 คน มีความสามารถในการออกแรงต่ำกว่าความสามารถของภาระงานในขณะสามารถใส่รองเท้าปักตีที่มีการเพิ่มแผ่นเสริมรองเท้าชนิดเรียบและหมอนรองสันเท้า

จากการพิจารณาค่าความสามารถในการออกแรงดึงในท่าเข็นปกติของผู้ถูกทดสอบ เพศชายที่สามารถออกแรงได้สูงสุด พบร่วมเป็นผู้มีรูปร่างใหญ่ โดยมีอายุ 30 ปี น้ำหนัก 95 กิโลกรัม และส่วนสูง 175 เซนติเมตร เป็นผู้ที่มีสุขภาพร่างกายแข็งแรง ไม่มีโรคประจำตัวและไม่เคยประสบ

อุบัติเหตุจากการปฏิบัติงาน ในขณะเดียวกันผู้ถูกทดสอบที่สามารถออกแรงได้ต่ำสุดเป็นผู้ที่มีอายุร่วงเล็ก มีอายุ 25 ปี น้ำหนัก 49 กิโลกรัม และส่วนสูง 165 เซนติเมตร ซึ่งผู้ถูกทดสอบเคยประสบอุบัติเหตุลื่นล้มขณะปฏิบัติงาน มีอาการไม่สบายบริเวณเท้า ขา และบริเวณหลัง จึงทำให้ผู้ถูกทดสอบออกแรงได้น้อย

ตารางที่ 4.14 แสดงผลการคำนวณค่าความสามารถในการออกแรงดึงในท่าเขียงเท้าเขียงที่ 15 เปอร์เซ็นต์ของแรงดึงสูงสุดของผู้ถูกทดสอบเพศชาย พ布ว่าเมื่อเปรียบเทียบค่า 15 เปอร์เซ็นต์ของค่าความสามารถในการออกแรงดึงสูงสุดในท่าเขียงเท้าเขียงกับค่าแรงเสียดทาน 0.85 กิโลกรัม ที่เกิดในขณะที่รถเข็นเคลื่อนที่ ค่า 15 เปอร์เซ็นต์ของผู้ถูกทดสอบเพศชายทุกคน มีค่าสูงกว่าแรงเสียดทาน ดังนั้นความหนักของภาระงานบนส่วนเพศชายในท่าเขียงเท้าเขียงและรวมใส่ร่องเท้าทั้ง 3 คุณลักษณะจึงไม่เกินกำลังของพนักงาน โดยผู้ถูกทดสอบคนที่สามารถออกแรงได้น้อยสุดสามารถออกแรงดึงในท่าเขียงเท้าเขียงและรวมใส่ร่องเท้าปกติที่รวมใส่ปฏิบัติงานจริงเท่ากับ 8.75 กิโลกรัม ค่า 15 เปอร์เซ็นต์ของค่าความสามารถในการออกแรงเท่ากับ 1.31 กิโลกรัม ส่วนผู้ถูกทดสอบคนที่สามารถออกแรงได้มากสุดสามารถออกแรงดึงในท่าเขียงเท้าเขียงและรวมใส่ร่องเท้าที่มีแผ่นเสริมรองเท้าชนิดเรียบซึ่งเท่ากับ 35.85 กิโลกรัม ค่า 15 เปอร์เซ็นต์ของค่าความสามารถในการออกแรงเท่ากับ 5.38 กิโลกรัม ดังนั้นจะทำให้ค่าแรงเสียดทานสามารถสูงขึ้นถึง 1.31 กิโลกรัม ที่จะไม่เกินกำลังในการปฏิบัติงานของพนักงาน จากนั้นเปรียบเทียบค่า 15 เปอร์เซ็นต์ของค่าความสามารถในการออกแรงดึงสูงสุดในท่าเขียงเท้าเขียงกับค่าแรงเสียดทาน 1.53 กิโลกรัม ที่เกิดในขณะที่รถเข็นเริ่มเคลื่อนที่ พ布ว่าผู้ถูกทดสอบจำนวน 2 คน มีค่าความสามารถในการออกแรงต่ำกว่าความหนักของภาระงาน ซึ่งเกิดในขณะรวมใส่ร่องเท้าปกติที่ใช้รวมใส่ปฏิบัติงานจริง และมีผู้ถูกทดสอบ 1 คน มีค่าความสามารถในการออกแรงต่ำกว่าความหนักของภาระงานในขณะรวมใส่ร่องเท้าปกติที่มีการเพิ่มแผ่นเสริมรองเท้าชนิดเรียบ ในขณะที่ภาระงานไม่เกินกำลังของผู้ถูกทดสอบขณะรวมใส่ร่องเท้าที่มีการเพิ่มหมอนรองสันเท้าขณะทำการออกแรงดึงในท่าเขียงเท้าเขียง เนื่องจากหมอนรองสันเท้าช่วยรับแรงกดอัดที่เกิดขึ้นบริเวณสันเท้าขณะออกแรงดึงมาทางด้านหลัง ทำให้ผู้ถูกทดสอบสามารถออกแรงได้มากขึ้น

ตารางที่ 4.13 แสดงผลการคำนวณค่าความสามารถในการออกແຮງดึงในท่ายืนปกติที่ 15%

ของແຮງดึงสูงสุดของผู้ลูกทดสอบเพศชาย (หน่วยเป็นกิโลกรัม)

ผู้ลูก ทดสอบ (N=25)	ค่าความสามารถในการอักແຮງสูงสุด ของผู้ลูกทดสอบเพศชาย			15% ของค่าความสามารถในการอักແຮງ สูงสุดของผู้ลูกทดสอบเพศชาย		
	รองเท้าปกติ ที่สวมใส่ ปฏิบัติงานจริง	รองเท้าปกติ เพิ่มแผ่นเสริม	รองเท้าปกติ เพิ่มหมอนรอง สันเท้า	รองเท้าปกติ ที่สวมใส่ ปฏิบัติงานจริง	รองเท้าปกติ เพิ่มแผ่นเสริม	รองเท้าปกติ เพิ่มหมอนรอง สันเท้า
1	5.95	6.20	6.65	0.89	0.93	1.00
2	6.20	6.95	7.05	0.93	1.04	1.06
3	6.45	7.90	7.15	0.97	1.19	1.07
4	7.65	7.95	7.25	1.15	1.19	1.09
5	8.10	8.50	7.50	1.22	1.28	1.13
6	8.80	8.85	8.90	1.32	1.33	1.34
7	9.40	9.05	9.20	1.41	1.36	1.38
8	10.50	9.35	9.85	1.58	1.40	1.48
9	10.80	9.85	10.15	1.62	1.48	1.52
10	10.90	10.30	10.35	1.64	1.55	1.55
11	11.00	11.50	10.85	1.65	1.73	1.63
12	11.40	11.65	10.95	1.71	1.75	1.64
13	11.70	11.65	11.50	1.76	1.75	1.73
14	12.10	11.70	11.90	1.82	1.76	1.79
15	12.20	12.25	12.25	1.83	1.84	1.84
16	12.30	12.35	13.25	1.85	1.85	1.99
17	12.40	12.65	13.60	1.86	1.90	2.04
18	12.50	12.70	13.60	1.88	1.91	2.04
19	12.75	15.55	14.40	1.91	2.33	2.16
20	14.15	15.85	14.80	2.12	2.38	2.22
21	15.10	17.15	16.00	2.27	2.57	2.40
22	15.15	18.05	20.40	2.27	2.71	3.06
23	16.10	18.10	22.50	2.42	2.72	3.38
24	18.40	19.50	24.50	2.76	2.93	3.68
25	23.35	26.30	25.90	3.50	3.95	3.89
ค่าเฉลี่ย	11.81	12.47	12.82	1.77	1.87	1.92

ตารางที่ 4.14 แสดงผลการคำนวณค่าความสามารถในการออกແຮງดึงในท่ายืนเท้าเฉียงที่ 15%  
ของແຮງดึงสูงสุดของผู้ลูกทดสอบเพศชาย (หน่วยเป็นกิโลกรัม)

ผู้ลูก ทดสอบ (N=25)	ค่าความสามารถในการอักແຮງสูงสุด ของผู้ลูกทดสอบเพศชาย			15% ของค่าความสามารถในการอักແຮງ สูงสุดของผู้ลูกทดสอบเพศชาย		
	รองเท้าปกติ ที่สวมใส่ ปฏิบัติงานจริง	รองเท้าปกติ เพิ่มแผ่นเสริม	รองเท้าปกติ เพิ่มหมอนรอง เรียบ	รองเท้าปกติ ที่สวมใส่ ปฏิบัติงานจริง	รองเท้าปกติ เพิ่มแผ่นเสริม	รองเท้าปกติ เพิ่มหมอนรอง เรียบ
1	8.75	9.30	12.80	1.31	1.40	1.92
2	8.80	12.65	13.70	1.32	1.90	2.06
3	12.80	12.85	13.85	1.92	1.93	2.08
4	13.35	13.15	14.15	2.00	1.97	2.12
5	14.80	14.85	14.30	2.22	2.23	2.15
6	14.85	15.35	16.05	2.23	2.30	2.41
7	15.20	15.85	16.10	2.28	2.38	2.42
8	15.45	16.55	16.30	2.32	2.48	2.45
9	16.95	17.30	16.60	2.54	2.60	2.49
10	17.30	17.65	18.25	2.60	2.65	2.74
11	17.90	18.00	18.45	2.69	2.70	2.77
12	18.10	18.30	19.40	2.72	2.75	2.91
13	18.50	18.85	19.55	2.78	2.83	2.93
14	18.55	18.90	19.60	2.78	2.84	2.94
15	18.90	20.10	19.85	2.84	3.02	2.98
16	19.40	20.45	20.00	2.91	3.07	3.00
17	20.80	20.75	20.00	3.12	3.11	3.00
18	21.15	21.25	22.25	3.17	3.19	3.34
19	21.60	21.30	22.50	3.24	3.20	3.38
20	21.85	22.00	23.20	3.28	3.30	3.48
21	23.00	26.15	24.45	3.45	3.92	3.67
22	25.65	26.90	26.00	3.85	4.04	3.90
23	26.95	28.80	28.25	4.04	4.32	4.24
24	27.20	32.20	30.45	4.08	4.83	4.57
25	30.20	35.85	32.30	4.53	5.38	4.85
ค่าเฉลี่ย	18.72	19.81	19.93	2.81	2.97	2.99

การคำนวณค่า 15 เปอร์เซ็นต์ของค่าความสามารถในการออกแบบดันสูงสุดของผู้ทดสอบเพศชายแสดงดังตารางที่ 4.15 และ 4.16 ตามลำดับ จากตารางที่ 4.15 พบว่ามีผู้ทดสอบที่สามารถออกแบบดันในท่ายืนปกติได้สูงสุดถึง 27.90 กิโลกรัม โดยส่วนใหญ่รองเท้าที่มีแผ่นเสริมรองเท้าชนิดเรียบ ค่า 15 เปอร์เซ็นต์ของความสามารถในการออกแบบดันสูงสุดของผู้ทดสอบที่สามารถออกแบบได้สูงสุดเท่ากับ 4.19 กิโลกรัม ขณะเดียวกันผู้ทดสอบที่สามารถออกแบบได้ต่ำสุดสามารถออกแบบดันในท่ายืนปกติได้ 6.05 กิโลกรัม ค่า 15 เปอร์เซ็นต์ของความสามารถในการออกแบบดันสูงสุดของผู้ทดสอบที่สามารถออกแบบได้ต่ำสุดเท่ากับ 0.91 กิโลกรัม ซึ่งเป็นการออกแบบดันในท่ายืนปกติโดยส่วนใหญ่รองเท้าปกติที่สวมใส่ปฏิบัติงานจริงขณะทำการออกแบบ เมื่อเปรียบเทียบกับค่าแรงเสียดทาน 0.85 กิโลกรัม ที่เกิดในขณะที่รถเข็นเคลื่อนที่ จะได้ว่าความหนักของการงานขนส่งไม่เกินกำลังของพนักงาน จากนั้นเปรียบเทียบค่า 15 เปอร์เซ็นต์ของค่าความสามารถในการออกแบบดันสูงสุดในท่ายืนปกติกับค่าแรงเสียดทาน 1.53 กิโลกรัม ที่เกิดในขณะที่รถเข็นเริ่มเคลื่อนที่ จะได้ว่าผู้ทดสอบจำนวน 7 คน มีค่าความสามารถในการออกแบบดันในท่ายืนปกติต่ำกว่าความหนักของการงาน ซึ่งเกิดในขณะสวมใส่รองเท้าปกติที่ใช้สวมใส่ปฏิบัติงานจริง และมีผู้ทดสอบจำนวน 5 และ 6 คน มีค่าความสามารถในการออกแบบต่ำกว่าความหนักของการงานในขณะสวมใส่รองเท้าปกติที่มีการเพิ่มแผ่นเสริมรองเท้าชนิดเรียบและหมอนรองส้นเท้า ตามลำดับ

ผลการประเมินภาระงานจากตารางที่ 4.16 แสดงให้เห็นว่าเมื่อนำค่า 15 เปอร์เซ็นต์ของความสามารถในการออกแบบดันสูงสุดในท่ายืนเท้าเยื่องของผู้ทดสอบเพศชายมาเปรียบเทียบกับค่าแรงเสียดทานในขณะที่รถเข็นประเภท 4 ล้อเคลื่อนที่ซึ่งมีค่าเท่ากับ 0.85 กิโลกรัม พบว่าผู้ทดสอบเพศชายทุกคนสามารถปฎิบัติงานได้โดยที่ภาระงานไม่เกินกำลังของความสามารถในการออกแบบ ซึ่งมีแนวโน้มในทิศทางเดียวกับการออกแบบดึง โดยผู้ทดสอบคนที่สามารถออกแบบได้ต่ำสุดสามารถออกแบบดันในท่ายืนเท้าเยื่องและสวมใส่รองเท้าปกติที่เพิ่มหมอนรองส้นเท้าขณะทำการออกแบบเท่ากับ 12.45 กิโลกรัม ค่า 15 เปอร์เซ็นต์ของค่าความสามารถในการออกแบบเท่ากับ 1.87 กิโลกรัม และจากผลการเปรียบเทียบค่า 15 เปอร์เซ็นต์ของค่าความสามารถในการออกแบบดันสูงสุดในท่ายืนเท้าเยื่องกับค่าแรงเสียดทาน 1.53 กิโลกรัม ที่เกิดในขณะที่รถเข็นเริ่มเคลื่อนที่ พบว่าค่า 15 เปอร์เซ็นต์ของค่าความสามารถในการออกแบบดันในท่ายืนเท้าเยื่องของผู้ทดสอบเพศชายทุกคนสูงกว่าค่าแรงเสียดทาน

ตารางที่ 4.15 แสดงผลการคำนวณค่าความสามารถในการออกแรงดันในท่ายืนปกติที่ 15%  
ของแรงดันสูงสุดของผู้ลูกทดสอบเพศชาย (หน่วยเป็นกิโลกรัม)

ผู้ลูก ทดสอบ (N=25)	ค่าความสามารถในการอักแรงดันสูงสุด ของผู้ลูกทดสอบเพศชาย			15% ของค่าความสามารถในการอักแรง สูงสุดของผู้ลูกทดสอบเพศชาย		
	รองเท้าปกติ ที่สวมใส่ ปฏิบัติงานจริง	รองเท้าปกติ เพิ่มแผ่นเสริม	รองเท้าปกติ เพิ่มหมอนรอง เรียบ	รองเท้าปกติ ที่สวมใส่ ปฏิบัติงานจริง	รองเท้าปกติ เพิ่มแผ่นเสริม	รองเท้าปกติ เพิ่มหมอนรอง เรียบ
1	6.05	7.65	7.35	0.91	1.15	1.10
2	7.25	8.30	7.55	1.09	1.25	1.13
3	7.30	8.35	7.75	1.10	1.25	1.16
4	7.55	8.60	8.25	1.13	1.29	1.24
5	8.30	10.05	8.45	1.25	1.51	1.27
6	8.50	10.20	10.10	1.28	1.53	1.52
7	9.40	10.80	10.35	1.41	1.62	1.55
8	10.45	10.85	10.55	1.57	1.63	1.58
9	10.60	10.90	10.60	1.59	1.64	1.59
10	10.80	11.00	10.75	1.62	1.65	1.61
11	11.25	11.10	10.90	1.69	1.67	1.64
12	11.35	11.85	11.45	1.70	1.78	1.72
13	11.70	12.25	11.50	1.76	1.84	1.73
14	11.90	12.45	12.05	1.79	1.87	1.81
15	12.20	13.35	12.25	1.83	2.00	1.84
16	13.10	13.50	12.25	1.97	2.03	1.84
17	13.55	13.70	12.60	2.03	2.06	1.89
18	13.90	14.00	12.80	2.09	2.10	1.92
19	14.90	14.15	13.50	2.24	2.12	2.03
20	15.45	15.25	13.55	2.32	2.29	2.03
21	16.40	16.40	13.70	2.46	2.46	2.06
22	17.20	17.20	17.90	2.58	2.58	2.69
23	17.30	18.35	19.85	2.60	2.75	2.98
24	17.60	20.30	20.05	2.64	3.05	3.01
25	22.70	27.90	21.80	3.41	4.19	3.27
ค่าเฉลี่ย	12.27	13.14	12.31	1.84	1.97	1.85

ตารางที่ 4.16 แสดงผลการคำนวณค่าความสามารถในการออกแรงดันในท่าขึ้นเท้าเฉื่อยที่ 15%  
ของแรงดันสูงสุดของผู้ลูกทดสอบเพศชาย (หน่วยเป็นกิโลกรัม)

ผู้ลูก ทดสอบ (N=25)	ค่าความสามารถในการอักแรงดันสูงสุด ของผู้ลูกทดสอบเพศชาย			15% ของค่าความสามารถในการอักแรง สูงสุดของผู้ลูกทดสอบเพศชาย		
	รองเท้าปกติ ที่สวมใส่ ปฏิบัติงานจริง	รองเท้าปกติ เพิ่มแผ่นเสริม	รองเท้าปกติ เพิ่มหมอนรอง เรียบ	รองเท้าปกติ ที่สวมใส่ ปฏิบัติงานจริง	รองเท้าปกติ เพิ่มแผ่นเสริม	รองเท้าปกติ เพิ่มหมอนรอง เรียบ
1	13.60	12.95	12.45	2.04	1.94	1.87
2	13.75	15.20	13.25	2.06	2.28	1.99
3	14.30	15.30	14.10	2.15	2.30	2.12
4	14.45	15.50	14.20	2.17	2.33	2.13
5	15.35	15.95	15.85	2.30	2.39	2.38
6	15.45	16.10	16.15	2.32	2.42	2.42
7	15.60	16.30	17.90	2.34	2.45	2.69
8	16.55	16.75	18.05	2.48	2.51	2.71
9	18.30	17.65	18.30	2.75	2.65	2.75
10	19.00	18.75	18.40	2.85	2.81	2.76
11	19.20	18.85	18.65	2.88	2.83	2.80
12	19.75	19.00	19.25	2.96	2.85	2.89
13	19.95	19.55	19.25	2.99	2.93	2.89
14	20.40	19.55	19.50	3.06	2.93	2.93
15	20.70	19.70	19.60	3.11	2.96	2.94
16	21.25	20.25	21.25	3.19	3.04	3.19
17	21.70	21.70	21.35	3.26	3.26	3.20
18	22.00	22.30	21.40	3.30	3.35	3.21
19	22.40	22.70	24.05	3.36	3.41	3.61
20	22.60	22.80	24.30	3.39	3.42	3.65
21	23.25	23.50	26.25	3.49	3.53	3.94
22	23.30	26.95	26.40	3.50	4.04	3.96
23	25.35	27.90	28.20	3.80	4.19	4.23
24	26.35	34.55	28.80	3.95	5.18	4.32
25	35.50	34.65	32.50	5.33	5.20	4.88
ค่าเฉลี่ย	20.00	20.58	20.38	3.00	3.09	3.06

#### 4.4.2 ผลการประเมินภาระงานของพนักงานบนส่างเพศหญิง

เมื่อทำการเปรียบเทียบขีดความสามารถในการออกแรงสูงสุดของผู้หญิงทดสอบ เพศหญิงกับเพศชาย พบว่าผู้หญิงทดสอบเพศหญิงมีขีดความสามารถในการออกแรงสูงสุดต่ำกว่า เพศชาย ดังนั้นการออกแรงในบางลักษณะท่าทางจะทำให้เกินขีดความสามารถในการปฏิบัติงานของ พนักงานเพศหญิง

จากตารางที่ 4.17 เป็นการแสดงผลการคำนวณค่าความสามารถในการออกแรงดึง ในท่าเข็นปกติ เมื่อเปรียบเทียบที่ 15 เปอร์เซ็นต์ของแรงดึงสูงสุดของผู้หญิงทดสอบโดยที่ผู้หญิงทดสอบ สามารถเข้าใจได้ว่าในขณะที่สาวใส่ปฏิบัติงานจริงขณะทำการออกแรงดึงกับค่าแรงเสียดทาน 0.85 กิโลกรัม ที่เกิดในขณะที่รถเข็นเคลื่อนที่ พบว่ามีผู้หญิงทดสอบเพศหญิงจำนวน 5 คน จากทั้งหมด 25 คน มีค่าความสามารถในการออกแรงดึงในท่าเข็นปกติต่ำกว่าความหนักของการงาน โดยทั่วไปแล้ว พนักงานไม่ควรออกแรงเกินค่า 15 เปอร์เซ็นต์ของความสามารถในการออกแรงสูงสุด สำหรับการทำงาน 8 ชั่วโมงต่อเนื่องกัน (Konz, 1995) ส่วนกรณีสาวรองเท้าปกติที่เพิ่มแผ่นเสริมรองเท้า ชนิดเรียบขณะทำการออกแรงดึง หลังจากเปรียบเทียบที่ 15 เปอร์เซ็นต์ของแรงดึงสูงสุดของผู้หญิงทดสอบ มีผู้หญิงทดสอบจำนวน 2 คน มีค่าความสามารถในการออกแรงต่ำกว่าความหนักของการงาน ในขณะที่การสาวรองเท้าปกติที่เพิ่มหน่อนรองส้นเท้าขณะออกแรงดึงมีผู้หญิงทดสอบจำนวน 1 คน ที่มีค่าความสามารถในการออกแรงต่ำกว่าความหนักของการงานเมื่อเปรียบเทียบกับค่าแรงเสียดทาน 0.85 กิโลกรัม

ผลจากการเปรียบเทียบค่า 15 เปอร์เซ็นต์ของค่าความสามารถในการออกแรงดึง สูงสุดในท่าเข็นปกติกับค่าแรงเสียดทาน 1.53 กิโลกรัม ที่เกิดในขณะที่รถเข็นเริ่มเคลื่อนที่ พบว่า ผู้หญิงทดสอบจำนวน 21 คน มีค่าความสามารถในการออกแรงต่ำกว่าความหนักของการงาน ในขณะที่สาวใส่รองเท้าปกติที่ใช้ในปฏิบัติงานจริงออกแรง และมีผู้หญิงทดสอบจำนวน 17 และ 16 คน มีค่าความสามารถในการออกแรงต่ำกว่าความหนักของการงานในขณะที่สาวใส่รองเท้าปกติที่มีการเพิ่มแผ่นเสริมรองเท้าชนิดเรียบและเพิ่มหน่อนรองส้นเท้า ตามลำดับ จากการสังเกตค่าความสามารถในการออกแรงของผู้หญิงทดสอบเพศหญิง พบว่าสามารถออกแรงได้น้อยกว่าผู้หญิงทดสอบเพศชาย เนื่องจากมีขนาดสัดส่วนร่างกายที่เล็กและมีน้ำหนักน้อย นอกจากนี้ผู้หญิงทดสอบเพศหญิงส่วนใหญ่ มีอาการไม่สบายบริเวณขาและเท้า จึงทำให้สามารถออกแรงปฏิบัติงานได้น้อย

ตารางที่ 4.17 แสดงผลการคำนวณค่าความสามารถในการออกແຮງดึงในท่ายืนปกติที่ 15%

ของແຮງดึงสูงสุดของผู้ถูกทดสอบเพศหญิง (หน่วยเป็นกิโลกรัม)

ผู้ถูกทดสอบ (N=25)	ค่าความสามารถในการอักແຮງดึงสูงสุด ของผู้ถูกทดสอบเพศหญิง			15% ของค่าความสามารถในการอักແຮງ สูงสุดของผู้ถูกทดสอบเพศหญิง		
	รองเท้าปกติ ที่สวมใส่ ปฏิบัติงานจริง	รองเท้าปกติ เพิ่มแผ่นเสริม	รองเท้าปกติ เพิ่มหมอนรอง เรียบ	รองเท้าปกติ ที่สวมใส่ ปฏิบัติงานจริง	รองเท้าปกติ เพิ่มแผ่นเสริม	รองเท้าปกติ เพิ่มหมอนรอง เรียบ
1	4.35	4.75	5.40	0.65	0.71	0.81
2	4.75	5.50	5.65	0.71	0.83	0.85
3	5.10	5.70	6.20	0.77	0.86	0.93
4	5.45	6.05	6.30	0.82	0.91	0.95
5	5.60	6.15	6.40	0.84	0.92	0.96
6	5.70	6.45	6.45	0.86	0.97	0.97
7	5.85	6.45	6.80	0.88	0.97	1.02
8	6.15	6.50	6.80	0.92	0.98	1.02
9	6.30	6.60	7.60	0.95	0.99	1.14
10	6.85	7.05	8.10	1.03	1.06	1.22
11	6.95	7.30	8.80	1.04	1.10	1.32
12	7.10	7.40	8.95	1.07	1.11	1.34
13	7.60	7.60	9.00	1.14	1.14	1.35
14	8.80	7.70	9.20	1.32	1.16	1.38
15	9.20	7.95	9.40	1.38	1.19	1.41
16	9.25	10.05	9.80	1.39	1.51	1.47
17	9.30	10.15	10.80	1.40	1.52	1.62
18	9.50	10.65	10.90	1.43	1.60	1.64
19	9.70	10.70	11.20	1.46	1.61	1.68
20	9.75	11.45	11.25	1.46	1.72	1.69
21	9.75	11.80	11.30	1.46	1.77	1.70
22	10.65	12.50	11.70	1.60	1.88	1.76
23	11.05	12.70	11.90	1.66	1.91	1.79
24	11.10	13.15	13.05	1.67	1.97	1.96
25	11.40	14.40	16.25	1.71	2.16	2.44
ค่าเฉลี่ย	7.89	8.67	9.17	1.18	1.30	1.38

จากผลการคำนวณค่าความสามารถในการออกแรงดึงในท่าเย็นเท้าเยื่องของผู้ถูกทดสอบเพศหญิงดังตารางที่ 4.18 เมื่อเปรียบเทียบ 15 เปอร์เซ็นต์ของแรงดึงสูงสุดของผู้ถูกทดสอบกับค่าแรงเสียดทาน 0.85 กิโลกรัม พบว่าผู้ถูกทดสอบเพศหญิงทุกคนสามารถปฎิบัติงานได้เนื่องจากการงานไม่เกินกำลัง ผลที่ได้สอดคล้องกับการปฏิบัติงานจริง โดยที่ขณะทำการออกแรงดึงรถเข็นพนักงานขนส่งจะต้องใช้ท่าเย็นเท้าเยื่องขณะออกแรง ซึ่งไม่สามารถที่จะใช้ท่าเย็นปกติในการออกแรงดึงได้เนื่องจากจะทำให้เกิดการหงายหลังและประสบอันตรายจากการปฏิบัติงานได้ จากการพิจารณาภาระงานของผู้ถูกทดสอบคนที่สามารถอออกแรงดึงท่าเย็นเท้าเยื่องได้ต่ำสุด เมื่อเปรียบเทียบกับค่า 15 เปอร์เซ็นต์ของความสามารถในการอออกแรงดึงสูงสุดของผู้ถูกทดสอบที่ออกแรงได้ต่ำสุดโดยใช้รองเท้าชนิดต่าง ๆ เท่ากับ 1.04 1.05 และ 1.18 กิโลกรัม ตามลำดับ หลังจากเทียบกับค่าแรงเสียดทาน 0.85 กิโลกรัม จะเห็นได้ว่าภาระงานมีความสมดุลกับความสามารถในการปฏิบัติงานของตัวพนักงาน แต่ในขณะเดียวกันเมื่อเปรียบเทียบกับค่า 15 เปอร์เซ็นต์ของแรงดึงสูงสุดของผู้ถูกทดสอบกับค่าแรงเสียดทาน 1.53 กิโลกรัม พบว่าผู้ถูกทดสอบเพศหญิง 4 คน จากทั้งหมด 25 คน มีค่าความสามารถในการอออกแรงต่ำกว่าความหนักของภาระงานในขณะสามใส่รองเท้าปกติที่สามใส่ปฏิบัติงานจริง และมีผู้ถูกทดสอบจำนวน 7 คน และ 5 คน มีค่าความสามารถในการอออกแรงดึงในท่าเย็นเท้าเยื่องต่ำกว่าความหนักของภาระงานขนส่งในขณะสามใส่รองเท้าปกติที่มีการเพิ่มแผ่นเสริมรองเท้าชนิดเรียบและเพิ่มหมอนรองส้นเท้าตามลำดับ

จากการสังเกตผู้ถูกทดสอบเพศหญิงที่สามารถอออกแรงได้สูงสุด พบว่าเป็นผู้ที่มีรูปร่างใหญ่ โดยมีอายุ 26 ปี น้ำหนัก 77 กิโลกรัม และส่วนสูง 160 เซนติเมตร เป็นผู้ที่มีสุขภาพร่างกายแข็งแรงไม่มีโรคประจำตัวและไม่เคยประสบอุบัติเหตุจากการปฏิบัติงาน ทำให้สามารถปฏิบัติงานได้โดยที่ภาระงานไม่เกินกำลังของพนักงาน

ตารางที่ 4.18 แสดงผลการคำนวณค่าความสามารถในการออกແຮງดึงในท่าเขื่อนเท้าเยื่องที่ 15%  
ของແຮງดึงสูงสุดของผู้ถูกทดสอบเพศหญิง (หน่วยเป็นกิโลกรัม)

ผู้ถูก ทดสอบ (N=25)	ค่าความสามารถในการอักແຮງสูงสุด ของผู้ถูกทดสอบเพศหญิง			15% ของค่าความสามารถในการอักແຮງ สูงสุดของผู้ถูกทดสอบเพศหญิง		
	รองเท้าปกติ ที่สวมใส่ ปฏิบัติงานจริง	รองเท้าปกติ เพิ่มแผ่นเสริม	รองเท้าปกติ เพิ่มหมอนรอง สันเท้า	รองเท้าปกติ ที่สวมใส่ ปฏิบัติงานจริง	รองเท้าปกติ เพิ่มแผ่นเสริม	รองเท้าปกติ เพิ่มหมอนรอง สันเท้า
1	6.90	7.00	7.85	1.04	1.05	1.18
2	6.95	7.30	8.15	1.04	1.10	1.22
3	7.95	8.05	9.40	1.19	1.21	1.41
4	9.50	8.15	9.45	1.43	1.22	1.42
5	10.20	8.60	9.50	1.53	1.29	1.43
6	10.30	9.10	10.25	1.55	1.37	1.54
7	10.80	9.80	10.45	1.62	1.47	1.57
8	10.90	10.45	10.55	1.64	1.57	1.58
9	11.25	10.60	11.35	1.69	1.59	1.70
10	11.45	11.05	11.40	1.72	1.66	1.71
11	11.90	11.20	11.60	1.79	1.68	1.74
12	12.25	11.60	11.75	1.84	1.74	1.76
13	12.30	11.80	11.85	1.85	1.77	1.78
14	12.40	12.20	11.95	1.86	1.83	1.79
15	12.50	13.45	13.20	1.88	2.02	1.98
16	12.50	14.35	14.10	1.88	2.15	2.12
17	13.45	14.40	14.45	2.02	2.16	2.17
18	13.45	15.00	15.05	2.02	2.25	2.26
19	13.55	15.35	15.55	2.03	2.30	2.33
20	14.25	15.80	16.90	2.14	2.37	2.54
21	14.40	15.80	16.95	2.16	2.37	2.54
22	14.50	16.05	17.45	2.18	2.41	2.62
23	15.90	16.70	17.50	2.39	2.51	2.63
24	16.70	17.05	18.60	2.51	2.56	2.79
25	20.15	17.20	22.55	3.02	2.58	3.38
ค่าเฉลี่ย	12.26	12.32	13.11	1.84	1.85	1.97

ผลการคำนวณค่าความสามารถในการออกแบบด้านในท่าเรือปกติและท่าเรือเท้าเยื่องของผู้ถูกทดสอบเพศหญิงแสดงดังตารางที่ 4.19 และ 4.20 ตามลำดับ ตารางที่ 4.19 แสดงผลการคำนวณค่าความสามารถในการออกแบบด้านในท่าเรือปกติ เมื่อเปรียบเทียบ 15 เปอร์เซ็นต์ของแรงดันสูงสุดของผู้ถูกทดสอบโดยที่ผู้ถูกทดสอบสามารถเท้าปกติที่ส่วนไส้ปั๊บติดงานจริงขณะทำการออกแบบด้านกับค่าแรงเสียดทาน 0.85 กิโลกรัม พบว่าผู้ถูกทดสอบเพศหญิงจำนวน 5 คน มีค่าความสามารถในการออกแบบด้านในท่าเรือปกติต่ำกว่าความหนักของภาระงาน กรณีสามารถเท้าปกติที่เพิ่มแผ่นเสริมรองเท้าชนิดเรียบขณะทำการออกแบบด้าน หลังจากเปรียบเทียบที่ 15 เปอร์เซ็นต์ของแรงดันสูงสุดของผู้ถูกทดสอบ โดยสามารถเท้าปกติที่เพิ่มแผ่นเสริมรองเท้าชนิดเรียบต่ำกว่าค่าแรงเสียดทาน 0.85 กิโลกรัม ส่วนการสามารถเท้าปกติที่เพิ่มหมอนรองสันเท้าขณะออกแบบด้านมีผู้ถูกทดสอบจำนวน 2 คน มีค่าความสามารถในการออกแบบด้านท่าเรือปกติต่ำกว่าความหนักของภาระงานขนส่ง เมื่อเปรียบเทียบค่า 15 เปอร์เซ็นต์ของค่าความสามารถในการออกแบบดันสูงสุดในท่าเรือปกติกับค่าแรงเสียดทาน 1.53 กิโลกรัม ที่เกิดขึ้นในขณะที่รถเข็นเริ่มเคลื่อนที่ พบว่ามีผู้ถูกทดสอบจำนวน 19 18 และ 15 คน ที่มีความสามารถในการออกแบบดันโดยใช้รองเท้าปกติที่ส่วนไส้ปั๊บติดงานจริงรองเท้าที่มีการเพิ่มแผ่นเสริมรองเท้าชนิดเรียบและรองเท้าที่มีการเพิ่มหมอนรองสันเท้าในการออกแบบต่ำกว่าความหนักของภาระงาน

ตารางที่ 4.20 แสดงผลการคำนวณค่าความสามารถในการออกแบบด้านในท่าเรือเท้าเยื่องของผู้ถูกทดสอบเพศหญิง เมื่อเปรียบเทียบ 15 เปอร์เซ็นต์ของแรงดันสูงสุดของผู้ถูกทดสอบ กับค่าแรงเสียดทาน 0.85 กิโลกรัม พบว่ามีทิศทางในลักษณะเช่นเดียวกับการออกแบบดึงในท่าเรือเท้าเยื่องที่ผู้ถูกทดสอบเพศหญิงทุกคนสามารถปั๊บติดงานได้เนื่องจากภาระงานไม่เกินกำลัง จากการพิจารณาภาระงานของผู้ถูกทดสอบคนที่สามารถออกแบบดันท่าเรือเท้าเยื่องได้ต่ำสุด จะได้ว่า ค่า 15 เปอร์เซ็นต์ของความสามารถในการออกแบบดันสูงสุดของผู้ถูกทดสอบที่ออกแบบได้ต่ำสุดโดยใช้รองเท้าทั้ง 3 คุณลักษณะ ได้แก่ รองเท้าปกติที่ส่วนไส้ปั๊บติดงานจริง รองเท้าปกติเพิ่มแผ่นเสริมรองเท้าชนิดเรียบ และรองเท้าปกติเพิ่มหมอนรองสันเท้า เท่ากับ 0.89 1.10 และ 1.08 กิโลกรัม ตามลำดับ ซึ่งภาระงานดังกล่าวมีความสมดุลกับความสามารถในการปั๊บติดงานของพนักงานขนส่ง เพศหญิงในสายการผลิตาร์ดดิสก์ไทร์ฟ จากการเปรียบเทียบค่า 15 เปอร์เซ็นต์ของค่าความสามารถในการออกแบบดันสูงสุดในท่าเรือเท้าเยื่องกับค่าแรงเสียดทาน 1.53 พบว่าผู้ถูกทดสอบจำนวน 2 คน มีความสามารถในการออกแบบต่ำกว่าความหนักของภาระงานในขณะส่วนไส้ร่องเท้าปกติที่ใช้ในการปั๊บติดงานจริงออกแบบ และมีผู้ถูกทดสอบจำนวน 3 และ 4 คน มีความสามารถในการออกแบบต่ำกว่าความหนักของภาระงานในขณะส่วนไส้ร่องเท้าปกติที่มีการเพิ่มแผ่นเสริมรองเท้าชนิดเรียบและเพิ่มหมอนรองสันเท้า ตามลำดับ

ตารางที่ 4.19 แสดงผลการคำนวณค่าความสามารถในการออกแรงดันในท่ายืนปกติที่ 15%  
ของแรงดันสูงสุดของผู้ถูกทดสอบเพศหญิง (หน่วยเป็นกิโลกรัม)

ผู้ถูกทดสอบ (N=25)	ค่าความสามารถในการอักแรงดันสูงสุด ของผู้ถูกทดสอบเพศหญิง			15% ของค่าความสามารถในการอักแรง สูงสุดของผู้ถูกทดสอบเพศหญิง		
	รองเท้าปกติ ที่สวมใส่ ปฏิบัติงานจริง	รองเท้าปกติ เพิ่มแผ่นเสริม	รองเท้าปกติ เพิ่มหมอนรอง เรียบ	รองเท้าปกติ ที่สวมใส่ ปฏิบัติงานจริง	รองเท้าปกติ เพิ่มแผ่นเสริม	รองเท้าปกติ เพิ่มหมอนรอง เรียบ
1	5.10	4.70	4.00	0.77	0.71	0.60
2	5.30	5.00	4.05	0.80	0.75	0.61
3	5.30	5.40	5.70	0.80	0.81	0.86
4	5.50	5.95	5.75	0.83	0.89	0.86
5	5.50	6.35	6.00	0.83	0.95	0.90
6	5.80	6.50	6.10	0.87	0.98	0.92
7	5.80	6.75	6.20	0.87	1.01	0.93
8	5.95	7.05	6.55	0.89	1.06	0.98
9	5.95	7.70	6.95	0.89	1.16	1.04
10	6.35	8.20	7.00	0.95	1.23	1.05
11	7.00	8.25	8.55	1.05	1.24	1.28
12	7.25	8.25	8.90	1.09	1.24	1.34
13	7.35	8.85	8.95	1.10	1.33	1.34
14	7.75	8.90	8.95	1.16	1.34	1.34
15	8.15	8.95	9.60	1.22	1.34	1.44
16	8.55	9.40	10.45	1.28	1.41	1.57
17	9.15	9.95	10.50	1.37	1.49	1.58
18	9.20	10.00	10.50	1.38	1.50	1.58
19	9.85	10.45	10.50	1.48	1.57	1.58
20	10.50	10.65	10.70	1.58	1.60	1.61
21	10.55	11.05	11.40	1.58	1.66	1.71
22	10.60	11.35	11.55	1.59	1.70	1.73
23	10.90	11.40	12.10	1.64	1.71	1.82
24	11.55	12.30	12.15	1.73	1.85	1.82
25	11.75	14.30	12.50	1.76	2.15	1.88
ค่าเฉลี่ย	7.87	8.71	8.62	1.18	1.31	1.29

ตารางที่ 4.20 แสดงผลการคำนวณค่าความสามารถในการออกแรงดันในท่าขึ้นเท้าเฉื่อยที่ 15%  
ของแรงดันสูงสุดของผู้ถูกทดสอบเพศหญิง (หน่วยเป็นกิโลกรัม)

ผู้ถูกทดสอบ (N=25)	ค่าความสามารถในการอักแรงดันสูงสุด ของผู้ถูกทดสอบเพศหญิง			15% ของค่าความสามารถในการอักแรง สูงสุดของผู้ถูกทดสอบเพศหญิง		
	รองเท้าปกติ ที่สวมใส่ ปฏิบัติงานจริง	รองเท้าปกติ เพิ่มแผ่นเสริม	รองเท้าปกติ เพิ่มหมอนรอง เรียบ	รองเท้าปกติ ที่สวมใส่ ปฏิบัติงานจริง	รองเท้าปกติ เพิ่มแผ่นเสริม	รองเท้าปกติ เพิ่มหมอนรอง เรียบ
1	6.55	7.30	7.20	0.98	1.10	1.08
2	9.50	7.70	7.70	1.43	1.16	1.16
3	10.25	9.55	8.55	1.54	1.43	1.28
4	10.55	10.30	9.25	1.58	1.55	1.39
5	10.90	11.65	10.40	1.64	1.75	1.56
6	10.90	11.95	11.65	1.64	1.79	1.75
7	11.25	12.20	11.85	1.69	1.83	1.78
8	11.35	12.40	12.20	1.70	1.86	1.83
9	11.40	13.00	13.40	1.71	1.95	2.01
10	11.95	13.35	13.85	1.79	2.00	2.08
11	12.20	13.75	13.85	1.83	2.06	2.08
12	12.20	14.40	14.00	1.83	2.16	2.10
13	13.55	15.35	14.35	2.03	2.30	2.15
14	13.85	15.65	14.55	2.08	2.35	2.18
15	14.15	16.00	15.05	2.12	2.40	2.26
16	15.00	16.15	15.15	2.25	2.42	2.27
17	15.00	16.15	15.30	2.25	2.42	2.30
18	15.25	17.30	15.65	2.29	2.60	2.35
19	15.35	17.80	16.00	2.30	2.67	2.40
20	15.40	17.85	17.30	2.31	2.68	2.60
21	16.55	18.25	17.55	2.48	2.74	2.63
22	17.20	19.00	18.00	2.58	2.85	2.70
23	17.60	19.65	19.70	2.64	2.95	2.96
24	17.95	19.95	21.05	2.69	2.99	3.16
25	27.50	24.75	25.85	4.13	3.71	3.88
ค่าเฉลี่ย	13.73	14.86	14.38	2.06	2.23	2.16

#### 4.5 ความไม่สบายนี้เกิดขึ้นบริเวณท้า

ผลของการตอบแบบสอบถามอาการไม่สบายบริเวณพื้นผ้าเท้าของผู้ถูกทดสอบที่เกิดจากการสวมใส่รองเท้าที่มีคุณลักษณะที่แตกต่างกัน ได้แก่ รองเท้าปกติที่สามารถใส่ปฎิบัติงานจริง รองเท้าปกติเพิ่มแผ่นเสริมรองเท้าชนิดเรียบ และรองเท้าปกติเพิ่มหมอนรองส้นเท้า โดยใช้ผู้ถูกทดสอบซึ่งเป็นพนักงานขนส่งในสายการผลิตยาาร์ดดิสก์ไดร์ฟของบริษัทผู้ผลิตยาาร์ดดิสก์ไดร์ฟแห่งหนึ่งจำนวน 50 คน

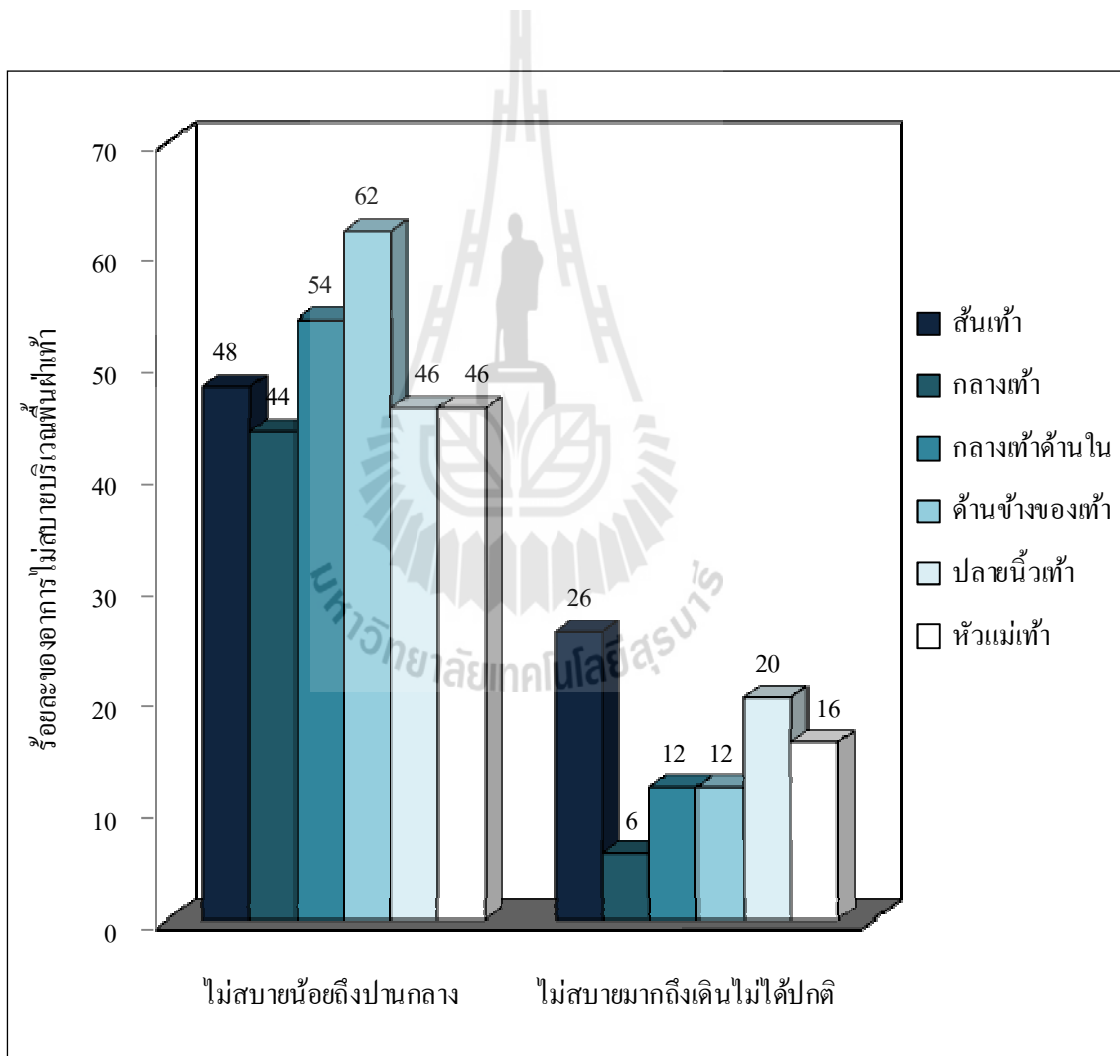
4.5.1 ผลการตอบแบบสอบถามอาการไม่สบายบริเวณพื้นผ้าท้าของผู้ถูกทดสอบ  
ที่เกิดจากการสวมใส่รองเท้าปักติที่ใช้ในการปฏิบัติงานจริง

ตารางที่ 4.21 ผู้คุกคิดสอบให้คะแนนอาการไม่สบายนิเวณพื้นฟ้าเท้าที่เกิดจากการสวมใส่รองเท้า  
ปกติที่ใช้ในการปฏิบัติงานจริง โดยคิดคะแนนเป็นร้อยละ

พื้นที่/ตำแหน่งบนฝ่าเท้า	ร้อยละของการไม่สบายบริเวณพื้นฝ่าเท้า					
	อาการปกติ	ไม่สบายน้อย	ไม่สบายปานกลาง	ไม่สบายมาก	เดินไม่ได้ตามปกติ	รวม
1) ส้นเท้า (Heel)	26.00	26.00	22.00	24.00	2.00	100.00
2) กลางเท้า (Midfoot)	50.00	22.00	22.00	6.00	0.00	100.00
3) กลางเท้าด้านใน (Medial forefoot)	34.00	34.00	20.00	10.00	2.00	100.00
4) ด้านข้างของเท้า (Lateral forefoot)	26.00	38.00	24.00	10.00	2.00	100.00
5) ปลายนิ้วเท้า (Toes)	34.00	26.00	20.00	16.00	4.00	100.00
6) หัวแม่เท้า (Hallux)	38.00	26.00	20.00	14.00	2.00	100.00
ร้อยละของทั้งหมด	34.67	28.67	21.33	13.33	2.00	100.00

ตารางที่ 4.21 และรูปที่ 4.7 แสดงอาการไม่สบายบริเวณพื้นฝ่าเท้าที่เกิดจากการส่วนไส่ร่องเท้าปกติที่ใช้ในการปฏิบัติงานจริง โดยแบ่งร้อยละของอาการไม่สบายบริเวณพื้นฝ่าเท้าเป็น 2 ส่วนคือ (1) ร้อยละของอาการไม่สบายน้อยถึงไม่สบายปานกลาง (2) ร้อยละของอาการไม่สบายมากถึงเดินไม่ได้ตามปกติ จากนั้นทำการเปรียบเทียบร้อยละของอาการไม่สบายทั้ง 2 ส่วนกับพื้นที่ต่างๆ บนพื้นฝ่าเท้าทั้ง 6 ส่วน พนว่าผู้ถูกทดสอบส่วนใหญ่มีระดับอาการไม่สบายอยู่ที่ระดับไม่สบายน้อยถึงไม่สบายปานกลาง โดยพื้นที่ส่วนด้านข้างของเท้ามีระดับคะแนนสูงสุดคือ 62 เปอร์เซ็นต์ รองลงมาคือพื้นที่ส่วนกลางเท้าด้านในและส้นเท้ามีระดับคะแนน 54 และ 48 เปอร์เซ็นต์ ตามลำดับ พื้นที่กลางเท้ามีระดับคะแนนต่ำสุดคือ 44 เปอร์เซ็นต์ ส่วนร้อยละของ

อาการไม่สบายมากถึงเดินไม่ได้ตามปกติ พื้นที่ส่วนสันเท้ามีระดับคะแนนสูงสุดคือ 26 เปอร์เซ็นต์ ส่วนพื้นที่กางเท้ามีระดับคะแนนต่ำสุดคือ 6 เปอร์เซ็นต์ จากการสังเกตพบว่าการสวมใส่รองเท้า ปกติที่ใช้สวมใส่จะเป็นภัยบัติงานจริงของผู้ลูกทดสอบมีอาการไม่สบายมากบริเวณสันเท้า ปลายนิ้วเท้าและหัวแม่เท้า เนื่องจากขณะที่พนักงานขนส่งทำการเข็นรถเข็นประเภท 4 ล้อ จะมีการออกแรงในลักษณะดึงและดัน ซึ่งการออกแรงดึงจะส่งผลต่ออาการไม่สบายบริเวณสันเท้านี้ของจากแรงกดที่ส่งถ่ายมายังสันเท้า ส่วนการออกแรงดันจะเกิดอาการไม่สบายบริเวณปลายนิ้วเท้าและหัวแม่เท้า เพราะระหว่างการออกแรงแรงจะถูกส่งถ่ายมาด้านหน้าของเท้า ดังนั้นพื้นที่ส่วนต่างๆ ดังกล่าวจึงมีอาการไม่สบายเพราะการสัมผัสระหว่างฝ่าเท้าและรองเท้ามากในขณะเดินเข็นรถเข็น



รูปที่ 4.7 แสดงร้อยละของคะแนนอาการไม่สบายบริเวณพื้นฝ่าเท้าที่เกิดจากการสวมใส่รองเท้าปกติที่ใช้ในการปฏิบัติงานจริง

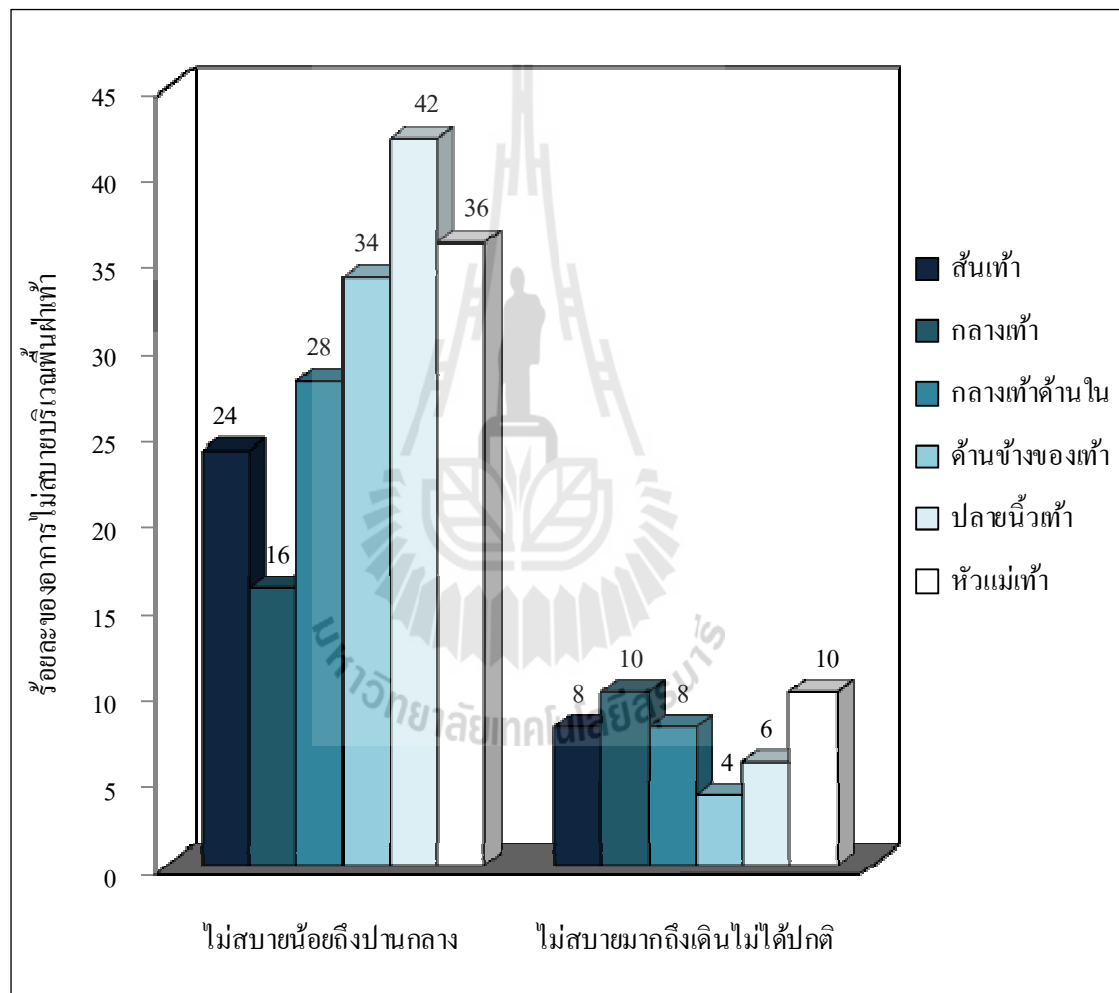
**4.5.2 ผลการตอบแบบสอบถามอาการไม่สบายบริเวณพื้นฝ่าเท้าของผู้ถูกทดสอบ  
ที่เกิดจากการสวมใส่รองเท้าปกติที่เพิ่มแผ่นเสริมรองเท้าชนิดเรียบ**

ตารางที่ 4.22 ผู้ถูกทดสอบให้คะแนนอาการไม่สบายบริเวณพื้นฝ่าเท้าที่เกิดจากการสวมใส่รองเท้า  
ปกติที่เพิ่มแผ่นเสริมรองเท้าชนิดเรียบ โดยคิดคะแนนเป็นร้อยละ

พื้นที่/ตำแหน่งบนฝ่าเท้า	ร้อยละของอาการไม่สบายบริเวณพื้นฝ่าเท้า					
	อาการปกติ	ไม่สบายน้อย	ไม่สบายปานกลาง	ไม่สบายมาก	เดินไม่ได้ตามปกติ	รวม
1) ส้นเท้า (Heel)	68.00	20.00	4.00	6.00	2.00	100.00
2) กลางเท้า (Midfoot)	74.00	12.00	4.00	8.00	2.00	100.00
3) กลางเท้าด้านใน (Medial forefoot)	64.00	20.00	8.00	8.00	0.00	100.00
4) ด้านข้างของเท้า (Lateral forefoot)	62.00	16.00	18.00	4.00	0.00	100.00
5) ปลายนิ้วเท้า (Toes)	52.00	24.00	18.00	6.00	0.00	100.00
6) หัวแม่เท้า (Hallux)	54.00	24.00	12.00	8.00	2.00	100.00
ร้อยละของทั้งหมด	62.33	19.33	10.67	6.67	1.00	100.00

จากผลกระทบของการไม่สบายบริเวณพื้นฝ่าเท้าที่เกิดจากการสวมใส่รองเท้าปกติที่เพิ่มแผ่นเสริมรองเท้าชนิดเรียบแสดงดังตารางที่ 4.22 และรูปที่ 4.8 นำค่าร้อยละของอาการไม่สบายบริเวณพื้นฝ่าเท้าที่ระดับอาการไม่สบายน้อยถึงไม่สบายปานกลาง และที่ระดับอาการไม่สบายมากถึงเดินไม่ได้ตามปกติมาเปรียบเทียบกับพื้นที่ต่างๆ บนพื้นฝ่าเท้าทั้ง 6 ส่วน พบว่าร้อยละของอาการไม่สบายน้อยถึงไม่สบายปานกลางพื้นที่ส่วนปลายนิ้วเท้ามีระดับคะแนนสูงสุดคือ 42 เปอร์เซ็นต์ รองลงมาคือ พื้นที่ส่วนหัวแม่เท้า 36 เปอร์เซ็นต์ พื้นที่ส่วนด้านข้างของเท้า 34 เปอร์เซ็นต์ พื้นที่ส่วนกลางเท้าด้านใน 28 เปอร์เซ็นต์ และพื้นที่ส่วนสันเท้า 24 เปอร์เซ็นต์ ตามลำดับ ส่วนพื้นที่กลางเท้ามีระดับคะแนนต่ำสุดคือ 16 เปอร์เซ็นต์ เมื่อจากพื้นที่ส่วนกลางเท้า มีการสัมผัสในระหว่างเดินน้อยที่สุดเมื่อเทียบกับพื้นที่ส่วนปลายนิ้วเท้า หัวแม่เท้า และสันเท้า จึงมีระดับอาการไม่สบายน้อยกว่าส่วนอื่นๆ ซึ่งเป็นไปในทิศทางเดียวกับการสวมใส่รองเท้าปกติที่ใช้สวมใส่ในการปฏิบัติงานจริง กรณีร้อยละของอาการไม่สบายมากถึงเดินไม่ได้ตามปกติ พื้นที่ส่วนกลางเท้าและหัวแม่เท้ามีระดับคะแนนสูงสุดคือ 10 เปอร์เซ็นต์ รองลงมาคือพื้นที่สันเท้าและกลางเท้าด้านในมีระดับคะแนน 8 เปอร์เซ็นต์ ส่วนด้านข้างของเท้ามีระดับคะแนนต่ำสุด

จากการสังเกตพบว่าการใช้แผ่นเสริมรองเท้าชนิดเรียบควบคู่กับรองเท้าปกติที่ใช้สัมไส์ปูนดิจันจริง สามารถช่วยลดอาการไม่สบายที่เกิดกับพื้นที่ส่วนปลายนิ้วเท้า หัวแม่เท้า และส้นเท้าลงได้ จากที่มีอาการไม่สบายมากถึงเดินไม่ได้ตามปกติมาเป็นมีอาการไม่สบายน้อยลงถึงไม่สบายปานกลาง ซึ่งแสดงให้เห็นว่าอุปกรณ์เสริมรองเท้าสามารถช่วยลดแรงกระแทกในระหว่างการเดินปูนดิจัน และช่วยกระจายแรงบริเวณพื้นฝ่าเท้าเพื่อเป็นการลดอาการไม่สบายที่เกิดขึ้นกับส่วนหนึ่งส่วนใดของพื้นฝ่าเท้าของพนักงานขนส่งได้



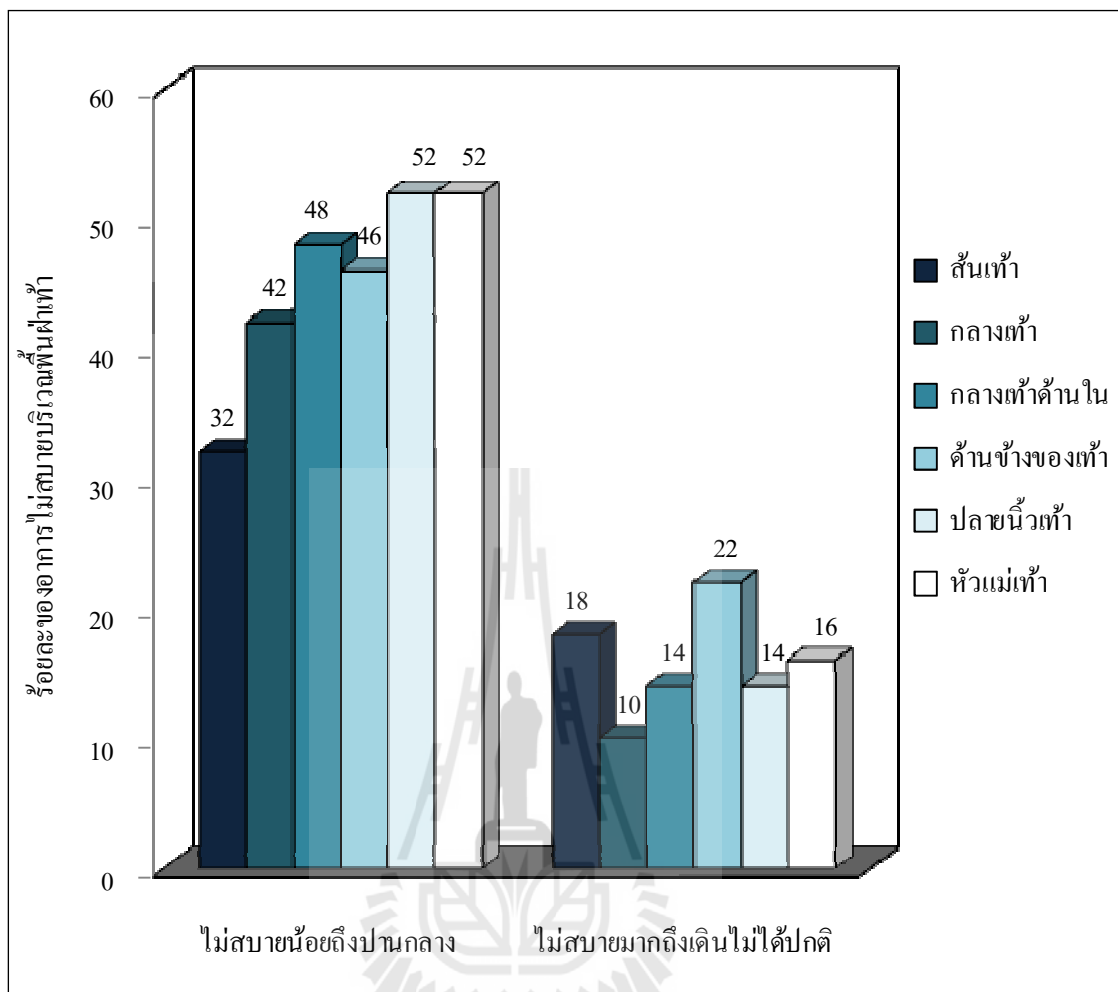
รูปที่ 4.8 แสดงร้อยละของคนที่มีปัญหานี้ในแต่ละกลุ่ม

#### 4.5.3 ผลการตอบแบบสอบถามอาการไม่สบายบริเวณพื้นฝ่าเท้าของผู้ถูกทดสอบ ที่เกิดจากการสวมใส่รองเท้าปักติที่เพิ่มหมอนรองส้นเท้า

ตารางที่ 4.23 ผู้ถูกทดสอบให้คะแนนอาการไม่สบายบริเวณพื้นฝ่าเท้าที่เกิดจากการสวมใส่รองเท้า  
ปักติที่เพิ่มหมอนรองส้นเท้า โดยคิดคะแนนเป็นร้อยละ

พื้นที่/ตำแหน่งบนฝ่าเท้า	ร้อยละของอาการไม่สบายบริเวณพื้นฝ่าเท้า					
	อาการปักติ	ไม่สบายน้อย	ไม่สบายปานกลาง	ไม่สบายมาก	เดินไม่ได้ตามปกติ	รวม
1) ส้นเท้า (Heel)	50.00	14.00	18.00	16.00	2.00	100.00
2) กลางเท้า (Midfoot)	48.00	22.00	20.00	10.00	0.00	100.00
3) กลางเท้าด้านใน (Medial forefoot)	38.00	30.00	18.00	12.00	2.00	100.00
4) ด้านข้างของเท้า (Lateral forefoot)	32.00	24.00	22.00	20.00	2.00	100.00
5) ปลายนิ้วเท้า (Toes)	34.00	30.00	22.00	14.00	0.00	100.00
6) หัวแม่เท้า (Hallux)	32.00	30.00	22.00	14.00	2.00	100.00
ร้อยละของทั้งหมด	39.00	25.00	20.33	14.33	1.33	100.00

ร้อยละของอาการไม่สบายบริเวณพื้นฝ่าเท้าที่เกิดจากการสวมใส่รองเท้าปักติที่เพิ่มหมอนรองส้นเท้าแสดงดังตารางที่ 4.23 และรูปที่ 4.9 ซึ่งพบว่าที่ร้อยละของอาการไม่สบายน้อยถึงไม่สบายปานกลาง พื้นที่ส่วนปลายนิ้วเท้าและหัวแม่เท้ามีระดับคะแนนสูงสุดคือ 52 เปอร์เซ็นต์ รองลงมาคือ พื้นที่ส่วนกลางเท้าด้านในมีระดับคะแนน 48 เปอร์เซ็นต์ พื้นที่ส่วนที่มีระดับคะแนนร้อยละของอาการไม่สบายน้อยถึงไม่สบายปานกลางค่าสูดคือ พื้นที่ส่วนส้นเท้าโดยมีระดับคะแนนอยู่ที่ 32 เปอร์เซ็นต์ จากการสังเกตเกี่ยวกับการใช้อุปกรณ์เสริมรองเท้าประเภทหมอนรองส้นเท้า จะเห็นได้ว่าอาการไม่สบายบริเวณพื้นที่ส่วนส้นเท้าจากเดิมเป็นพื้นที่ที่มีอาการไม่สบายมากที่สุด และอาการไม่สบายอยู่ในระดับที่ไม่สบายมากถึงเดินไม่ได้ตามปกติ แต่ภายหลังจากมีการใช้หมอนรองส้นเท้าควบคู่กับรองเท้าปักติทำให้ลดอาการไม่สบายบริเวณส้นเท้าลงมาอยู่ที่ระดับอาการไม่สบายน้อยจนถึงไม่สบายปานกลาง อิกทั้งยังเป็นพื้นที่ที่มีระดับคะแนนอาการไม่สบายค่าสูดค่วยส่วนที่ร้อยละของอาการไม่สบายมากถึงเดินไม่ได้ตามปกติ พื้นที่ด้านข้างของเท้ามีระดับคะแนนสูงสุด รองลงมาคือ พื้นที่ส่วนส้นเท้า หัวแม่เท้า ปลายนิ้วเท้าและกลางเท้าด้านใน และพื้นที่ส่วนกลางเท้าเป็นส่วนมีระดับคะแนนค่าสูด



รูปที่ 4.9 แสดงร้อยละของคะแนนอาการไม่สบายบริเวณพื้นฝ่าเท้าที่เกิดจากการรวมใส่ร่องเท้าปกติที่เพิ่มหมอนรองสันเห้า

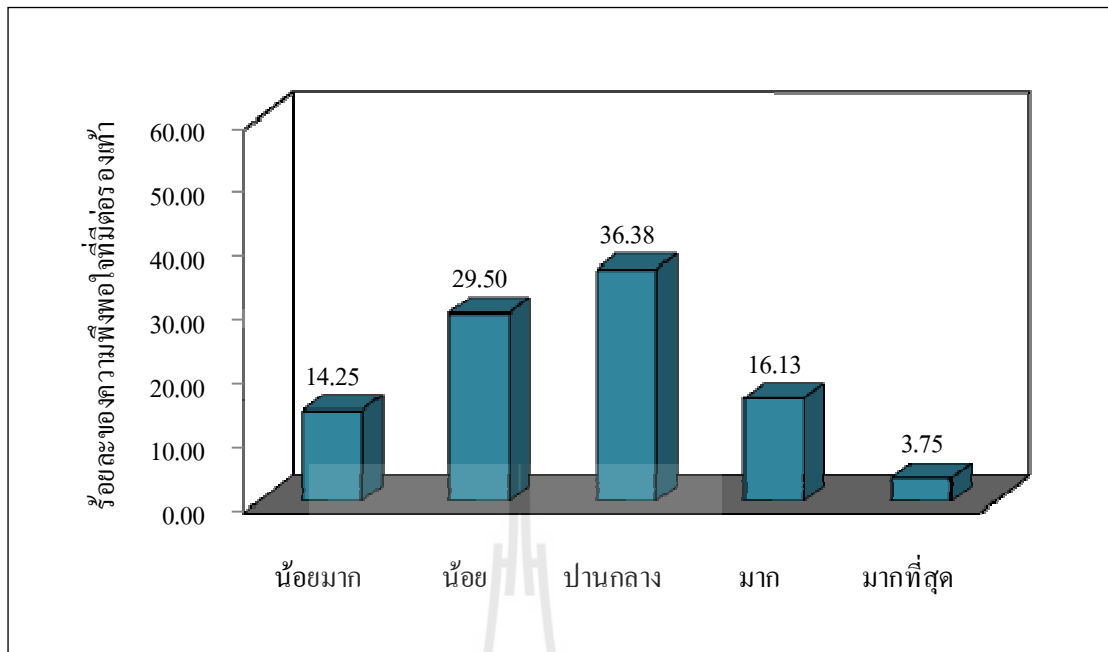
#### 4.6 ระดับความพึงพอใจที่มีต่อรองเท้าปักติและรองเท้าที่มีอุปกรณ์เสริมพื้นรองเท้า

ผลของการตอบแบบสอบถามระดับความพึงพอใจที่มีต่อรองเท้าของผู้ถูกทดสอบ ที่เกิดจาก การสูบไส่รองเท้าคุณลักษณะต่าง ๆ ได้แก่ รองเท้าปักติที่สวมใส่ปฏิบัติงานจริง รองเท้าปักติเพิ่ม แผ่นเสริมรองเท้าชนิดเรียบ และรองเท้าปักติเพิ่มหมอนรองสันเท้าขณะใช้งานเป็นครั้งแรก และ หลังจากการใช้อุปกรณ์เสริมความคุ้กคันรองเท้าปักติผ่านไปเป็นระยะเวลา 1 สัปดาห์

##### 4.6.1 ผลการตอบแบบสอบถามระดับความพึงพอใจที่มีต่อรองเท้าปักติ

ตารางที่ 4.24 ผู้ถูกทดสอบให้คะแนนความพึงพอใจที่มีต่อรองเท้าปักติ โดยคิดคะแนนเป็นร้อยละ ของความพึงพอใจ

รูปแบบ/คุณลักษณะ	ร้อยละของความพึงพอใจ					
	น้อย มาก	น้อย กลาง	ปาน กลาง	มาก	มาก ที่สุด	รวม
1) สวมใส่พอดีกับเท้า	2.00	26.00	36.00	30.00	6.00	100.00
2) รู้สึกสบายบริเวณเท้า ฝ่าเท้า และนิ้วเท้า	16.00	36.00	38.00	8.00	2.00	100.00
3) มีพื้นที่ให้นิ่วเท้าสามารถยืนได้ทุกนิ่ว	2.00	26.00	42.00	28.00	2.00	100.00
4) กันกระแทกบริเวณสันเท้า และกลางบริเวณฝ่าเท้า	20.00	24.00	46.00	10.00	0.00	100.00
5) ลดอาการปวดเมื่อยบริเวณสันเท้า และฝ่าเท้า	22.00	46.00	24.00	8.00	0.00	100.00
6) ถ่ายน้ำหนักจากสันเท้าไปยังนิ่วเท้า ลดแรงที่ฝ่าเท้า	16.00	30.00	46.00	6.00	2.00	100.00
7) พื้นรองเท้าไม่หนาหรือบางเกินไป	12.00	30.00	38.00	18.00	2.00	100.00
8) พื้นรองเท้าด้านในนุ่ม	38.00	36.00	24.00	2.00	0.00	100.00
9) ผิวรอบ ๆ ของรองเท้าด้านในนุ่ม สบายขณะสวมใส่	18.00	40.00	38.00	4.00	0.00	100.00
10) สันรองเท้าด้านในกว้างและนุ่ม	22.00	38.00	36.00	4.00	0.00	100.00
11) ส่วนบริเวณสันเท้ากระชับ ไม่หลุดหลวยขณะเดิน	10.00	28.00	36.00	20.00	6.00	100.00
12) พื้นรองเท้าด้านในไม่ลื่นขณะเดิน	12.00	20.00	44.00	20.00	4.00	100.00
13) พื้นรองเท้าด้านนอกไม่ลื่นขณะเดิน	4.00	24.00	30.00	32.00	10.00	100.00
14) กระชับขณะเดิน	2.00	30.00	44.00	20.00	4.00	100.00
15) น้ำหนักเบา	0.00	20.00	36.00	28.00	16.00	100.00
16) ระบบอากาศดี ไม่ร้อนเท้าขณะสวมใส่	32.00	18.00	24.00	20.00	6.00	100.00
ร้อยละของทั้งหมด	14.25	29.50	36.38	16.13	3.75	100.00



รูปที่ 4.10 แสดงร้อยละของคะแนนความพึงพอใจที่มีต่อรองเท้าปกติ

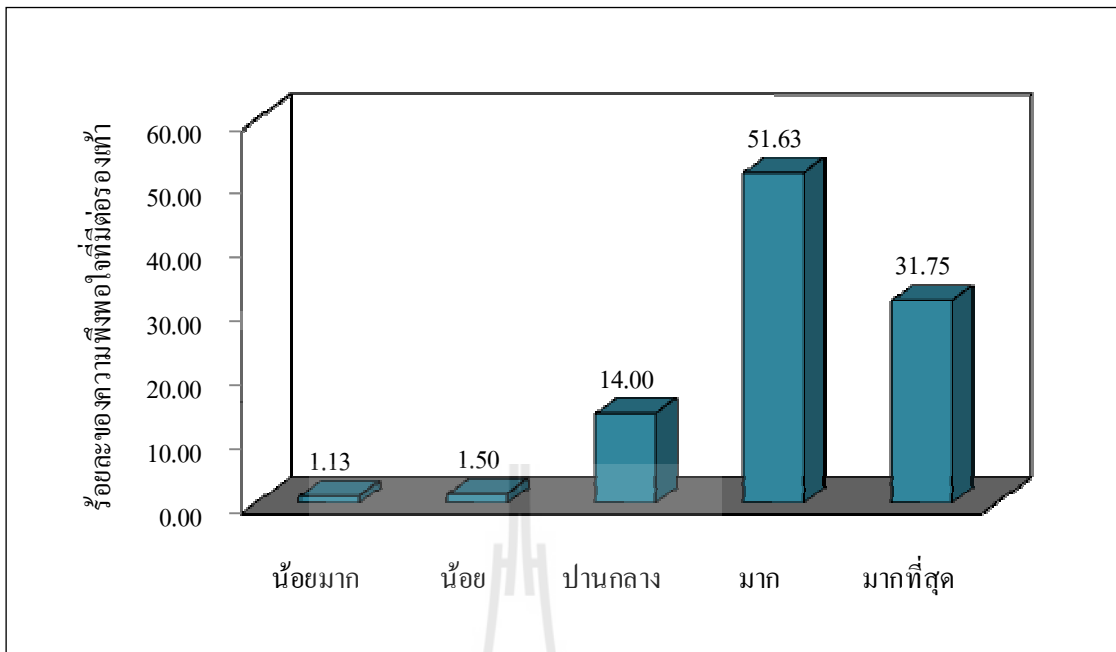
จากตารางที่ 4.24 และรูปที่ 4.10 แสดงระดับคะแนนความพึงพอใจที่มีต่อรองเท้าปกติ แต่ระดับความพึงพอใจน้อยมากถึงพึงพอใจมากที่สุดต่อคุณสมบัติต่าง ๆ ของรองเท้าได้แก่ สวมใส่พอดีกับเท้า รูสีกีฬาบนบริเวณเท้า ฝ่าเท้า และนิ้วเท้า มีพื้นที่ให้นิ้วเท้าสามารถขยับได้ทุกนิ้ว กันกระแทกบริเวณสันเท้า และกลางบริเวณฝ่าเท้า ลดอาการปวดเมื่อยบริเวณสันเท้า และฝ่าเท้า ถ่ายน้ำหนักจากสันเท้าไปยังนิ้วเท้า และลดแรงที่ฝ่าเท้า พื้นรองเท้าไม่หนาหรือบางเกินไป พื้นรองเท้าด้านในนุ่ม ผิวรอบ ๆ ของรองเท้าด้านในนุ่ม สายยึดและส่วนบนของรองเท้าด้านในกว้าง และนุ่ม ส่วนบริเวณสันเท้ากระชับ ไม่หลุดหลวমขณะเดิน พื้นรองเท้าด้านในไม่ลื่นขณะเดิน พื้นรองเท้าด้านนอกไม่ลื่นขณะเดิน กระชับขณะเดิน น้ำหนักเบา และระบบอากาศดี ไม่ร้อนเท้า ขณะสวมใส่ ตามลำดับ ผู้ถูกทดสอบมีระดับความพึงพอใจต่อรองเท้าปกติในระดับปานกลาง โดยมีระดับคะแนน 36.38 เปอร์เซ็นต์ จากการสังเกตระดับความพึงใจที่สูงที่สุด ได้ว่ามีระดับความพึงพอใจในระดับปานกลางค่อนไปทางระดับความพึงใจน้อยถึงน้อยมาก โดยมีค่าความแตกต่างระหว่างระดับคะแนนน้อย ซึ่งระดับคะแนนความพึงใจน้อยและระดับคะแนนความพึงพอใจน้อยมากมีค่าเท่ากับ 29.50 และ 14.25 เปอร์เซ็นต์ ตามลำดับ

**4.6.2 ผลการตอบแบบสอบถามระดับความพึงพอใจที่มีต่อรองเท้าปักที่เพิ่มแผ่นเสริมรองเท้านิดเรียบขณะใช้งานครั้งแรก**

ผู้ถูกทดสอบมีความพึงพอใจจากการทดลองใช้อุปกรณ์เสริมรองเท้าประเภทแผ่นเสริมรองเท้านิดเรียบควบคู่กับรองเท้าปักที่มีความส่วนใหญ่ครั้งแรกมากถึงมากที่สุดที่ระดับคะแนน 51.63 และ 31.75 เปอร์เซ็นต์ ตามลำดับ ซึ่งมีความพึงพอใจในคุณลักษณะเกี่ยวกับ ส่วนใส่พอดีกับเท้า กระชับขณะเดิน และช่วยให้พื้นรองเท้าด้านในนุ่ม โดยมีเพียง 1.50 และ 1.13 เปอร์เซ็นต์ ที่มีความพึงพอใจน้อยและน้อยมาก ดังตารางที่ 4.25 และรูปที่ 4.11

ตารางที่ 4.25 ผู้ถูกทดสอบให้คะแนนความพึงพอใจที่มีต่อรองเท้าปักที่เพิ่มแผ่นเสริมรองเท้า ชนิดเรียบขณะใช้งานครั้งแรก โดยคิดคะแนนเป็นร้อยละ

รูปแบบ/คุณลักษณะ	ร้อยละของความพึงพอใจ					
	น้อย มาก	น้อย	ปาน กลาง	มาก	มาก ที่สุด	รวม
1) ส่วนใส่พอดีกับเท้า	2.00	0.00	12.00	60.00	26.00	100.00
2) รู้สึกสบายบริเวณเท้า ฝ่าเท้า และนิ้วเท้า	2.00	2.00	6.00	54.00	36.00	100.00
3) มีพื้นที่ให้นิ่วเท้าสามารถขยับได้ทุกนิ่ว	0.00	2.00	22.00	54.00	22.00	100.00
4) กันกระแทกบริเวณส้นเท้า และกลางบริเวณฝ่าเท้า	2.00	2.00	20.00	46.00	30.00	100.00
5) ลดอาการปวดเมื่อยบริเวณส้นเท้า และฝ่าเท้า	2.00	0.00	16.00	48.00	34.00	100.00
6) ถ่ายน้ำหนักจากส้นเท้าไปยังนิ้วเท้า ลดแรงที่ฝ่าเท้า	2.00	0.00	16.00	58.00	24.00	100.00
7) พื้นรองเท้าไม่หนาหรือบางเกินไป	0.00	2.00	18.00	56.00	24.00	100.00
8) พื้นรองเท้าด้านในนุ่ม	2.00	2.00	2.00	40.00	54.00	100.00
9) ผิวรอบ ๆ ของรองเท้าด้านในนุ่ม สวยงามส่วนใส่	2.00	2.00	8.00	46.00	42.00	100.00
10) ส้นรองเท้าด้านในกว้างและนุ่ม	2.00	2.00	10.00	58.00	28.00	100.00
11) ส่วนบริเวณส้นเท้ากระชับ ไม่หลุดหลวมขณะเดิน	0.00	0.00	20.00	48.00	32.00	100.00
12) พื้นรองเท้าด้านในไม่ลื่นขณะเดิน	0.00	4.00	10.00	54.00	32.00	100.00
13) พื้นรองเท้าด้านนอกไม่ลื่นขณะเดิน	0.00	2.00	22.00	48.00	28.00	100.00
14) กระชับขณะเดิน	0.00	0.00	8.00	60.00	32.00	100.00
15) นำหนักเบา	2.00	0.00	6.00	48.00	44.00	100.00
16) ระบบอากาศดี ไม่ร้อนเท้าขณะสวมใส่	0.00	4.00	28.00	48.00	20.00	100.00
ร้อยละของทั้งหมด	1.13	1.50	14.00	51.63	31.75	100.00



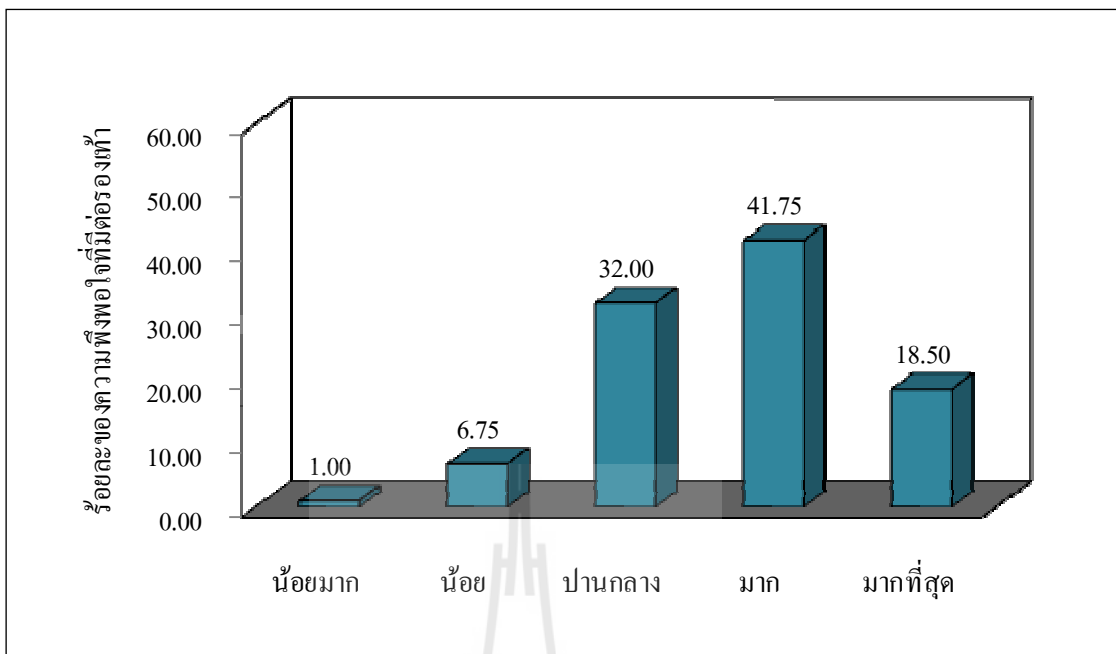
รูปที่ 4.11 แสดงร้อยละของคะแนนความพึงพอใจที่มีต่อรองเท้าปักติที่เพิ่มแผล่เสริมรองเท้าชนิดเรียบขณะใช้งานครั้งแรก

#### 4.6.3 ผลการตอบแบบสอบถามระดับความพึงพอใจที่มีต่อรองเท้าปักติที่เพิ่มหมอนรองสันเท้าขณะใช้งานครั้งแรก

ตารางที่ 4.26 แสดงระดับความพึงพอใจจากการทดลองใช้หมอนรองสันเท้าควบคู่กับรองเท้าปักติขณะใช้งานครั้งแรก ซึ่งรูปที่ 4.12 เปรียบเทียบร้อยละของระดับคะแนนความพึงพอใจ พบร่วมกับผู้ถูกทดสอบมีความพึงพอใจต่อรองเท้าปักติที่เพิ่มหมอนรองสันเท้าจากระดับความพึงพอใจมากค่อนลงมาเป็นระดับปานกลางที่ระดับคะแนน 41.75 และ 32.00 เปอร์เซ็นต์ ตามลำดับ ซึ่งมีความพึงพอใจในคุณลักษณะเกี่ยวกับ น้ำหนักเบา สันรองเท้ากว้างและนุ่ม และรูสีกสนับายนิ่ว เท้า ฝ่าเท้า และนิ้วเท้า และมีเพียง 6.75 และ 1.00 เปอร์เซ็นต์เท่านั้นที่มีความพึงพอใจน้อยและน้อยมาก ตามลำดับ

ตารางที่ 4.26 ผู้ถูกทดสอบให้คะแนนความพึงพอใจที่มีต่อรองเท้าปกติที่เพิ่มหมอนรองส้นเท้า  
ขณะใช้งานครั้งแรก โดยคิดคะแนนเป็นร้อยละ

รูปแบบ/คุณลักษณะ	ร้อยละของความพึงพอใจ					
	น้อย มาก	น้อย กลาง	ปาน กลาง	มาก ที่สุด	มาก ที่สุด	รวม
1) สวมใส่พอดีกับเท้า	2.00	10.00	36.00	42.00	10.00	100.00
2) รู้สึกสบายบริเวณเท้า ฝ่าเท้า และนิ้วเท้า	4.00	8.00	46.00	28.00	14.00	100.00
3) มีพื้นที่ให้นิ้วเท้าสามารถยืดได้ทุกนิ้ว	0.00	2.00	42.00	36.00	20.00	100.00
4) กันกระแทกบริเวณส้นเท้า และกลางบริเวณฝ่าเท้า	0.00	8.00	22.00	40.00	30.00	100.00
5) ลดอาการปวดเมื่อยบริเวณส้นเท้า และฝ่าเท้า	4.00	8.00	26.00	46.00	16.00	100.00
6) ถ่ายน้ำหนักจากส้นเท้าไปยังนิ้วเท้า ลดแรงที่ฝ่าเท้า	0.00	4.00	40.00	32.00	24.00	100.00
7) พื้นรองเท้าไม่หนาหรือบางเกินไป	0.00	8.00	38.00	34.00	20.00	100.00
8) พื้นรองเท้าด้านในนุ่ม	2.00	8.00	24.00	52.00	14.00	100.00
9) ผิวรอบ ๆ ของรองเท้าด้านในนุ่ม สนับสนุนและสวมใส่	2.00	12.00	28.00	36.00	22.00	100.00
10) ส้นรองเท้าด้านในกว้างและนุ่ม	0.00	2.00	30.00	54.00	14.00	100.00
11) ส่วนบริเวณส้นเท้ากระชับ ไม่หลุดหลวমขยับเดิน	0.00	12.00	24.00	46.00	18.00	100.00
12) พื้นรองเท้าด้านในไม่ลื่นขณะเดิน	0.00	6.00	30.00	44.00	20.00	100.00
13) พื้นรองเท้าด้านนอกไม่ลื่นขณะเดิน	0.00	2.00	38.00	42.00	18.00	100.00
14) กระชับขณะเดิน	2.00	12.00	22.00	44.00	20.00	100.00
15) น้ำหนักเบา	0.00	0.00	24.00	56.00	20.00	100.00
16) ระบบอากาศดี ไม่ร้อนเท้าขณะสวมใส่	0.00	6.00	42.00	36.00	16.00	100.00
ร้อยละของทั้งหมด	1.00	6.75	32.00	41.75	18.50	100.00



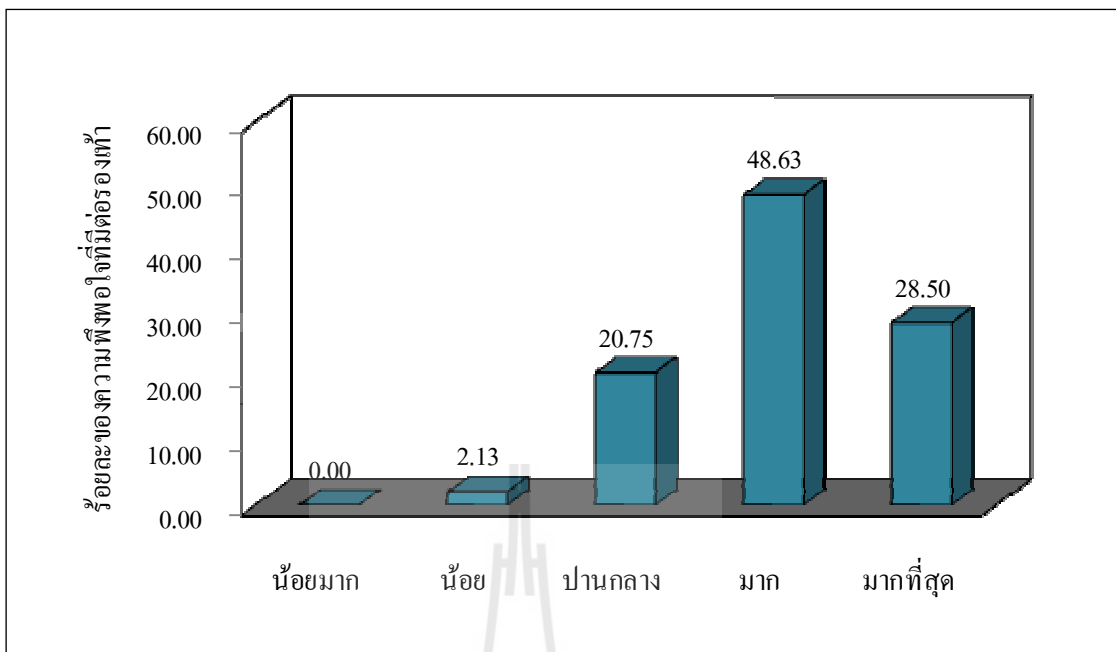
รูปที่ 4.12 แสดงร้อยละของคะแนนความพึงพอใจที่มีต่อองค์กรที่เพิ่มหนอนรองสันเท้า  
ขณะใช้งานครั้งแรก

#### 4.6.4 ผลการตอบแบบสอบถามระดับความพึงพอใจที่มีต่อองค์กรที่เพิ่มแผ่นเสริม รองเท้านิดเรียบหลังจากใช้งาน 1 สัปดาห์

ผลการตอบแบบสอบถามระดับความพึงพอใจที่มีต่อองค์กรที่เพิ่มแผ่นเสริม  
รองเท้านิดเรียบหลังจากการใช้งานมาแล้ว 1 สัปดาห์ ดังแสดงในตารางที่ 4.27 และรูปที่ 4.13  
ตามลำดับ พบว่าผู้ถูกทดสอบมีระดับความพึงพอใจมากถึงมากที่สุดที่ระดับคะแนนความพึงพอใจ  
เท่ากับ 48.63 และ 28.50 เปอร์เซ็นต์ ตามลำดับ และไม่มีผู้ถูกทดสอบที่มีความพึงใจน้อยมากถือ  
ระดับความพึงพอใจน้อยมากเท่ากับ 0.00 เปอร์เซ็นต์ จากระดับความพึงพอใจที่มีต่อองค์กรที่เพิ่มแผ่นเสริม  
รองเท้านิดเรียบในระดับมากถึงมากที่สุด ส่วนใหญ่ผู้ถูกทดสอบพึงพอใจใน  
คุณลักษณะเกี่ยวกับสันรองเท้าด้านในกว้างและนุ่ม พื้นรองเท้าด้านในไม่ลื่นขณะเดิน กระชับ  
ขณะเดิน และพื้นรองเท้าด้านในนุ่ม จากการสังเกตลักษณะการปฏิบัติงานระหว่างการใช้แผ่นเสริม  
รองเท้านิดเรียบควบคู่กับรองเท้าปกติ จะเห็นว่าพนักงานขนส่งรู้สึกสบายและลดอาการไม่สบาย  
บริเวณฝ่าเท้าในการระหว่างการเดินปฏิบัติงานขนส่ง

ตารางที่ 4.27 ผู้ถูกทดสอบให้คะแนนความพึงพอใจที่มีต่อรองเท้าปกติที่เพิ่มแผ่นเสริมรองเท้า  
ชนิดเรียบหลังจากใช้งานหนึ่งสัปดาห์ โดยคิดคะแนนเป็นร้อยละ

รูปแบบ/คุณลักษณะ	ร้อยละของความพึงพอใจ					
	น้อย มาก	น้อย กลาง	ปาน กลาง	มาก ที่สุด	มาก ที่สุด	รวม
1) สวมใส่พอดีกับเท้า	0.00	2.00	22.00	54.00	22.00	100.00
2) รู้สึกสบายบริเวณเท้า ฝ่าเท้า และนิ้วเท้า	0.00	2.00	24.00	44.00	30.00	100.00
3) มีพื้นที่ให้นิ้วเท้าสามารถยืดได้ทุกนิ้ว	0.00	4.00	22.00	44.00	30.00	100.00
4) กันกระแทกบริเวณส้นเท้า และกลางบริเวณฝ่าเท้า	0.00	4.00	20.00	44.00	32.00	100.00
5) ลดอาการปวดเมื่อยบริเวณส้นเท้า และฝ่าเท้า	0.00	4.00	12.00	50.00	34.00	100.00
6) ถ่ายน้ำหนักจากส้นเท้าไปยังนิ้วเท้า ลดแรงที่ฝ่าเท้า	0.00	2.00	26.00	54.00	18.00	100.00
7) พื้นรองเท้าไม่หนาหรือบางเกินไป	0.00	2.00	24.00	52.00	22.00	100.00
8) พื้นรองเท้าด้านในนุ่ม	0.00	0.00	14.00	36.00	50.00	100.00
9) ผิวรอบ ๆ ของรองเท้าด้านในนุ่ม สนับสนุนและสวมใส่	0.00	2.00	22.00	40.00	36.00	100.00
10) ส้นรองเท้าด้านในกว้างและนุ่ม	0.00	0.00	24.00	58.00	18.00	100.00
11) ส่วนบริเวณส้นเท้ากระชับ ไม่หลุดหลวমขยับเดิน	0.00	4.00	20.00	52.00	24.00	100.00
12) พื้นรองเท้าด้านในไม่ลื่นขณะเดิน	0.00	0.00	18.00	56.00	26.00	100.00
13) พื้นรองเท้าด้านนอกไม่ลื่นขณะเดิน	0.00	2.00	24.00	50.00	24.00	100.00
14) กระชับขณะเดิน	0.00	2.00	12.00	56.00	30.00	100.00
15) น้ำหนักเบา	0.00	2.00	12.00	52.00	34.00	100.00
16) ระบบอากาศดี ไม่ร้อนเท้าขณะสวมใส่	0.00	2.00	36.00	36.00	26.00	100.00
ร้อยละของทั้งหมด	0.00	2.13	20.75	48.63	28.50	100.00



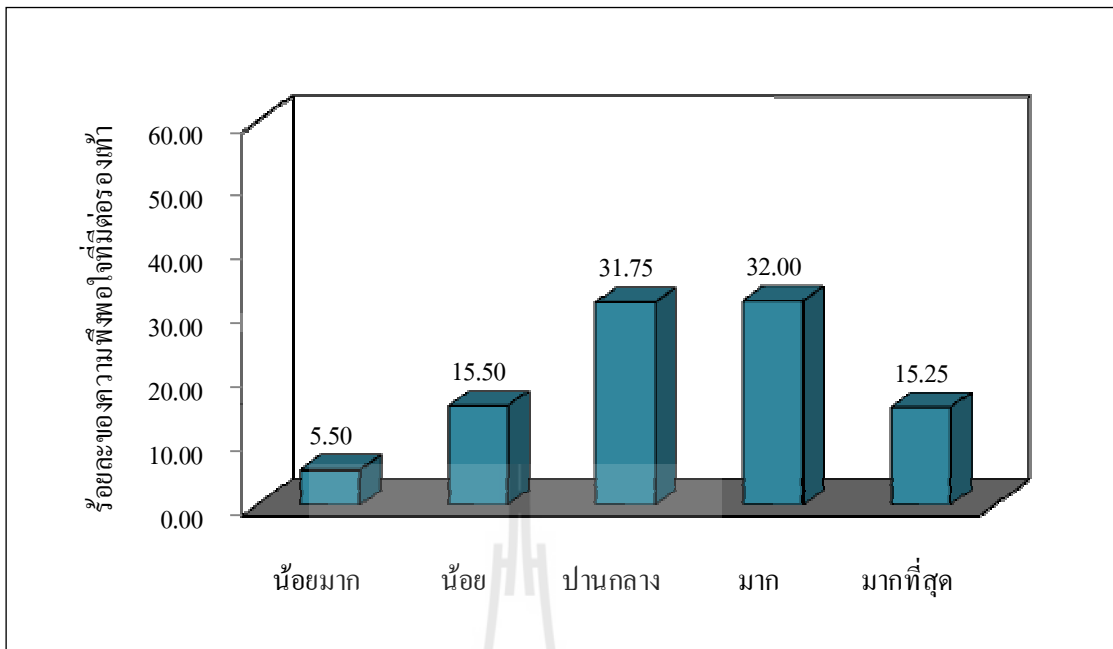
รูปที่ 4.13 แสดงร้อยละของคะแนนความพึงพอใจที่มีต่อรองเท้าปักติที่เพิ่มแอลูมิเนียมรองเท้าชนิดเรียบหลังจากใช้งานหนึ่งสัปดาห์

#### 4.6.5 ผลการตอบแบบสอบถามระดับความพึงพอใจที่มีต่อรองเท้าปักติที่เพิ่มหมอนรองสันเท้าหลังจากใช้งาน 1 สัปดาห์

ตารางที่ 4.28 และรูปที่ 4.14 แสดงผลการตอบแบบสอบถามระดับความพึงพอใจที่มีต่อรองเท้าปักติที่เพิ่มหมอนรองสันเท้าหลังจากใช้งาน 1 สัปดาห์ พบว่าผู้ถูกทดสอบมีระดับความพึงพอใจในระดับมากและค่อนมาทางระดับปานกลาง โดยผู้ถูกทดสอบให้คะแนนความพึงพอใจระดับมากเท่ากับ 32.00 เปอร์เซ็นต์ และความพึงพอใจระดับปานกลางเท่ากับ 31.75 เปอร์เซ็นต์ ส่วนใหญ่ผู้ถูกทดสอบมีความพึงพอใจอุปกรณ์เสริมรองเท้าประเภทหมอนรองสันเท้าขณะใช้งานควบคู่กับรองเท้าปักติในคุณลักษณะเกี่ยวกับพื้นรองเท้าด้านนอกไม่ลื่นขณะเดิน พื้นรองเท้าด้านในไม่ลื่นขณะเดิน รวมไปถึงคีกับเท้า และช่วยให้กระชับเท้าขณะเดินป็นปกติงาน

ตารางที่ 4.28 ผู้ถูกทดสอบให้คะแนนความพึงพอใจที่มีต่อรองเท้าปกติที่เพิ่มหมอนรองส้นเท้า  
หลังจากใช้งานหนึ่งสัปดาห์ โดยคิดคะแนนเป็นร้อยละ

รูปแบบ/คุณลักษณะ	ร้อยละของความพึงพอใจ					
	น้อย มาก	น้อย กลาง	ปาน กลาง	มาก ที่สุด	รวม	
1) สวมใส่พอดีกับเท้า	4.00	16.00	46.00	24.00	10.00	100.00
2) รู้สึกสบายบริเวณเท้า ฝ่าเท้า และนิ้วเท้า	10.00	18.00	38.00	28.00	6.00	100.00
3) มีพื้นที่ให้นิ้วเท้าสามารถยืดได้ทุกนิ้ว	2.00	18.00	38.00	28.00	14.00	100.00
4) กันกระแทกบริเวณส้นเท้า และกลางบริเวณฝ่าเท้า	10.00	16.00	16.00	38.00	20.00	100.00
5) ลดอาการปวดเมื่อยบริเวณส้นเท้า และฝ่าเท้า	12.00	14.00	22.00	32.00	20.00	100.00
6) ถ่ายน้ำหนักจากส้นเท้าไปยังนิ้วเท้า ลดแรงที่ฝ่าเท้า	8.00	18.00	30.00	28.00	16.00	100.00
7) พื้นรองเท้าไม่หนาหรือบางเกินไป	2.00	20.00	38.00	30.00	10.00	100.00
8) พื้นรองเท้าด้านในนุ่ม	6.00	12.00	30.00	34.00	18.00	100.00
9) ผิวรอบ ๆ ของรองเท้าด้านในนุ่ม สนับสนุนและส่วนใส่	6.00	20.00	28.00	32.00	14.00	100.00
10) ส้นรองเท้าด้านในกว้างและนุ่ม	4.00	22.00	30.00	32.00	12.00	100.00
11) ส่วนบริเวณส้นเท้ากระชับ ไม่หลุดหลวমขณะเดิน	4.00	16.00	38.00	28.00	14.00	100.00
12) พื้นรองเท้าด้านในไม่ลื่นขณะเดิน	4.00	16.00	24.00	46.00	10.00	100.00
13) พื้นรองเท้าด้านนอกไม่ลื่นขณะเดิน	6.00	12.00	24.00	48.00	10.00	100.00
14) กระชับขณะเดิน	6.00	12.00	40.00	22.00	20.00	100.00
15) น้ำหนักเบา	0.00	8.00	30.00	38.00	24.00	100.00
16) ระบบอากาศดี ไม่ร้อนเท้าขณะสวมใส่	4.00	10.00	36.00	24.00	26.00	100.00
ร้อยละของทั้งหมด	5.50	15.50	31.75	32.00	15.25	100.00



รูปที่ 4.14 แสดงร้อยละของคะแนนความพึงพอใจที่มีต่อรองเท้าปกติที่เพิ่มหมอนรองส้นเท้า หลังจากใช้งานหนึ่งสัปดาห์

#### 4.7 การทดสอบสมมุติฐาน

##### 4.7.1 การทดสอบสมมุติฐานเกี่ยวกับค่าผลกระทนหลักและค่าผลร่วม

การทดลองแบบแฟคทอรีเรียลเพื่อสำรวจผลกระทนหลัก (Main effects) และผลกระทนร่วมของปัจจัย (Interactions) หรืออันตรกิริยาระหว่างปัจจัยได้พร้อมกันในการทดลอง ทำให้สามารถทราบถึงรูปแบบและอิทธิพลของผลกระทนนั้นเพื่อจะได้แนวทางในการควบคุมให้ได้จุดที่เหมาะสม จากการทดลองสามารถจำลองตัวแบบได้ดังนี้คือ

$$y_{ijk} = \mu + \tau_i + \beta_j + (\tau\beta)_{ij} + \varepsilon_{ijk} \quad (4.1)$$

- โดยที่  $y_{ijk}$  คือ ค่าตอบสนอง (Response) ของการทดลองปัจจัย A ที่ระดับที่  $i$  ปัจจัย B ที่ระดับที่  $j$  ทำการทดลองซ้ำครั้งที่  $k$ ;  $i = 1, 2, \dots, a$ ;  $j = 1, 2, \dots, b$ ;  $k = 1, 2, \dots, n$
- $\mu$  คือ ค่าเฉลี่ยรวม (Grand mean)
  - $\tau_i$  คือ ค่าผลกระทนของปัจจัย A ที่ระดับที่  $i$
  - $\beta_j$  คือ ค่าผลกระทนของปัจจัย B ที่ระดับที่  $j$

$(\tau\beta)_{ij}$  กือ ค่าอันตรกิริยาหรือผลกราบทบรวมของปัจจัย A ที่ระดับที่  $i$  และปัจจัย B ที่ระดับที่  $j$

$\varepsilon_{ijk}$  กือ ค่าผิดพลาดของการทดลองปัจจัย A ที่ระดับที่  $i$  และปัจจัย B ที่ระดับที่  $j$   
โดยทำการทดลองซ้ำครั้งที่  $k$

ดังนั้นจึงมีข้อสมมุติเบื้องต้นเกี่ยวกับค่าผลกระทบหลักและค่าผลร่วมดังนี้คือ

$$\sum_{i=1}^a \tau_i = 0 \quad (4.2)$$

$$\sum_{j=1}^b \beta_j = 0 \quad (4.3)$$

$$\sum_{i=1}^a (\tau\beta)_{ij} = \sum_{j=1}^b (\tau\beta)_{ij} = 0 \quad (4.4)$$

ข้อสมมุติของการวิเคราะห์ความแปรปรวนที่เกี่ยวข้องกับค่าความผิดพลาดยังต้องมี การทดสอบ นั่นคือ การมีการแยกแบบปกติและเป็นอิสระตอกันด้วยค่าเฉลี่ยเท่ากับศูนย์ ความแปรปรวนคงที่คือ  $\sigma^2[\varepsilon \cong NID(0, \sigma^2)]$  นอกจากนี้การคำนวณค่าผลกระทบหลักและค่าผลกระทบร่วมสองปัจจัยเป็นอีกทางเลือกหนึ่งที่ใช้ในการวิเคราะห์ปัจจัยที่มีผลต่อค่าตอบสนอง แต่อย่างไรก็ตามการวิเคราะห์เชิงอนุมานด้วยการทดสอบสมมุติฐานในวิธีการวิเคราะห์ความแปรปรวนสามารถที่จะสร้างความน่าเชื่อถือและความมั่นใจให้แก่ผู้ทดลองมากกว่าการพิจารณาค่าผลกระทบหลัก ซึ่งการตั้งสมมุติฐานเกี่ยวกับปัจจัยที่ต้องการทดสอบแบ่งได้เป็น 2 กรณีคือ การทดสอบปัจจัยหลักและปัจจัยร่วม (ประไพร์ สุทธานัน พยุชยา และพงษ์ชนัน เหลืองไพบูลย์, 2552)

รูปทั่วไปของสมมุติฐานที่ทดสอบสำหรับกรณีทดสอบปัจจัยหลักคือ

- $H_0$  : ปัจจัยหลักไม่มีผลต่อค่าตอบสนอง ;  $H_0 : \tau_i = 0 ; \forall_i$

- $H_1$  : ปัจจัยหลักมีผลต่อค่าตอบสนอง ;  $H_1 : \tau_i \neq 0 ; \exists_i$   
ส่วนกรณีทดสอบปัจจัยร่วมรูปทั่วไปของสมมุติฐานที่ทดสอบคือ

- $H_0$  : ปัจจัยร่วมไม่มีผลต่อค่าตอบสนอง ;  $H_0 : (\tau\beta)_{ij} = 0 ; \forall_{ij}$

- $H_1$  : ปัจจัยร่วมมีผลต่อค่าตอบสนอง ;  $H_1 : (\tau\beta)_{ij} \neq 0 ; \exists_{ij}$

สำหรับการดำเนินการวิจัยนี้ ความสามารถในการออกแบบสอดคล้องกับงานขนส่ง ในสายการผลิต bardicidin ได้รับผลมาจากการปัจจัยต่าง ๆ คือ ทิศของการออกแบบสอดคล้องและทำให้

ดังนั้นในการทดสอบสมมุติฐานมีตัวแปรอิสระคือ ทิศทางของการออกแรงสถิตและท่าขืน ส่วนตัวแปรตามคือ ความสามารถในการออกแรงของพนักงานขนส่ง ที่ระดับนัยสำคัญ 0.05 ( $p < 0.05$ )

กรณีผลกระบวนการหลักเนื่องจากทิศของแรง

- $H_0$  : ทิศของการออกแรงดึงและแรงดันไม่มีผลต่อความสามารถในการออกแรง
- $H_1$  : ทิศของการออกแรงดึงและแรงดันมีผลต่อความสามารถในการออกแรง
- $H_0$  : ท่าขืนปกติและท่าขืนเท้าเขี้ยวไม่มีผลต่อความสามารถในการออกแรง
- $H_1$  : ท่าขืนปกติและท่าขืนเท้าเขี้ยวมีผลต่อความสามารถในการออกแรง
- $H_0$  : กรณีผลกระบวนการร่วมระหว่างทิศของแรงและท่าขืน
- $H_1$  : ทิศของแรงและท่าขืนไม่มีผลต่อความสามารถในการออกแรง

จากตารางที่ 4.8 ผลการวิเคราะห์ความแปรปรวนของความสามารถในการออกแรงสถิตพบว่าค่าพี ( $P-value$ ) ของผลกระบวนการหลักเนื่องจากทิศของแรง ผลกระบวนการหลักเนื่องจากท่าขืน และผลกระบวนการร่วมระหว่างทิศของแรงและท่าขืนมีค่าเท่ากับ 0.0000 สรุปได้ว่าปฏิเสธ  $H_0$  คือทิศของแรงและท่าขืนมีผลต่อความสามารถในการออกแรงสถิตของพนักงานขนส่งในสายการผลิตสาร์ดดิสก์ไดรฟ์

#### 4.7.2 การทดสอบที่ไม่ใช้พารามิเตอร์ของฟรีดแมน (The Friedman F<sub>r</sub> test for randomized block design)

เมื่อต้องการทดสอบความแตกต่างของลักษณะใดลักษณะหนึ่งเพียงลักษณะเดียวของทั้ง  $k$  ประชากร โดยที่ทั้ง  $k$  ประชากรไม่ได้มีการแยกแข่งแบบปกติและสุ่มตัวอย่างแบบไม่เป็นอิสระกัน คือให้ตัวอย่างแต่ละชุดมีจำนวนหน่วยตัวอย่างเท่ากันคือ  $b$  หน่วย หรือ  $b$  บล็อกโดยให้ตัวอย่างแต่ละหน่วยในแต่ละบล็อกมีลักษณะอื่น ๆ ใกล้เคียงกัน นั่นคือกำจัดอิทธิพลอื่น ๆ ออกไป ยกเว้นสิ่งที่ต้องการวัด จึงเป็นการทดลองแบบสุ่มโดยสมมูลน้ำใจในกลุ่ม ซึ่งมีเงื่อนไขคือจะต้องสุ่มลักษณะของประชากรให้กับแต่ละบล็อกอย่างสุ่ม และจำนวนบล็อกต้องมากกว่า 5 บล็อก (กัลยา วนิชย์บัญชา, 2551)

ข้อที่ 1 ตั้งสมมุติฐาน

- $H_0$  : ลักษณะที่สนใจศึกษาของทั้ง  $k$  ประชากรไม่แตกต่างกัน
- $H_1$  : ลักษณะที่สนใจศึกษาของทั้ง  $k$  ประชากรแตกต่างกันอย่างน้อย

2 ประชากร

ขั้นที่ 2 ให้คำอ่านที่แก่ข้อมูลภายในแต่ละบล็อก นับคือในแต่ละบล็อกจะมีคำอ่านที่ 1 ถึงคำอ่านที่  $k$

ขั้นที่ 3 หาผลรวมของคำอ่านที่ของแต่ละระดับปัจจัย ให้  $T_i$  คือผลรวมของคำอ่านที่ของระดับปัจจัย  $i = 1, 2, \dots, k$  ซึ่งสอดคล้องกับที่ใช้ทดสอบคือ

$$F_r = \frac{12}{bk(k+1)} \sum_{i=1}^k (T_i^2) - 3b(k+1) \quad (4.5)$$

จะปฏิเสธสมมุติฐาน  $H_0$  ถ้า  $F_r > \chi^2_{(k-1);1-\alpha}$

จากการวิจัยนี้ต้องการทดสอบรองเท้า 3 คุณลักษณะว่ามีผลต่อความไม่สบายบริเวณเท้าหรือไม่ ได้แก่ รองเท้าปกติที่ใช้สามส่วนและปฏิบัติงานจริง รองเท้าปกติที่เพิ่มแผ่นเสริมรองเท้านิดเดียว และรองเท้าปกติที่เพิ่มหนอนรองส้นเท้า จึงทำการทดลองโดยใช้พนักงานคนสี่คนในการผลิตสาร์คิดสก์ไดร์ฟเป็นผู้ทดสอบจำนวน 50 คน ให้แต่ละคนทดลองสวมใส่รองเท้าทั้ง 3 คุณลักษณะเป็นระยะเวลา 1 สัปดาห์ โดยการทดลองเป็นแบบสุ่มที่ผู้ทดสอบไม่ทราบล่วงหน้าว่าต้องทดลองสวมใส่รองเท้าคุณลักษณะใดก่อนหรือหลัง หลังจากระยะเวลาผ่านไป 1 สัปดาห์ผู้ทดสอบให้คะแนนความพึงพอใจต่อรองเท้าที่สวมใส่ โดยให้คะแนน 1 ถ้าพึงพอใจมาก 2 พึงพอใจน้อย 3 พึงพอใจปานกลาง 4 พึงพอใจมาก และ 5 พึงพอใจมากที่สุด ดังแสดงในตารางที่ 4.29

#### สมมุติฐานที่ต้องการทดสอบ

- $H_0$  : การใช้รองเท้าทั้ง 3 คุณลักษณะไม่มีผลต่อความไม่สบายบริเวณเท้า
- $H_1$  : การใช้รองเท้าทั้ง 3 คุณลักษณะมีผลต่อความไม่สบายบริเวณเท้า

ในการทดสอบสมมุติฐานมีตัวแปรอิสระคือ รองเท้าปกติและรองเท้าที่มีแผ่นเสริมรองเท้า และตัวแปรตามคือ ความไม่สบายบริเวณเท้า

- $T_1 = 3+1+3+\dots+3 = 124$
- $T_2 = 4+4+5+\dots+5 = 206$
- $T_3 = 3+2+3+\dots+5 = 173$

$$F_r = \frac{12}{50(3)(3+1)} [124^2 + 206^2 + 173^2] - 3(50)(3+1) = 1154.82 \quad (4.6)$$

จะปฏิเสธสมมุติฐาน  $H_0$  ถ้า  $F_r > \chi^2_{(3-1);1-0.05}$  หรือ  $F_r > 5.99$  ในที่นี้  $F_r$  มีค่าเท่ากับ 1154.82 จึงปฏิเสธ  $H_0$  นั้นคือการใช้ร่องเท้าทั้ง 3 คุณลักษณะมีผลต่อความไม่สบายนิเวณเท้าที่ระดับนัยสำคัญ 0.05

ตารางที่ 4.29 ลำดับคะแนนความพึงพอใจที่มีต่อร่องเท้าทั้ง 3 คุณลักษณะ

ผู้อุบัตหอนคนที่	1	2	3	4	5	6	7	8	9	10
1) รองเท้าปกติที่สวมใส่ปฏิบัติงานจริง	3	1	3	3	3	1	3	2	3	2
2) รองเท้าปกติเพิ่มแผ่นเสริมรองเท้านิดเรียบ	4	4	5	5	5	4	4	4	4	5
3) รองเท้าปกติเพิ่มหมอนรองสันเท้า	3	2	3	4	5	3	4	4	3	2
ผู้อุบัตหอนคนที่	11	12	13	14	15	16	17	18	19	20
1) รองเท้าปกติที่สวมใส่ปฏิบัติงานจริง	3	1	2	2	2	3	3	3	1	3
2) รองเท้าปกติเพิ่มแผ่นเสริมรองเท้านิดเรียบ	4	4	4	4	4	4	4	4	5	4
3) รองเท้าปกติเพิ่มหมอนรองสันเท้า	3	4	2	3	4	4	3	3	4	4
ผู้อุบัตหอนคนที่	21	22	23	24	25	26	27	28	29	30
1) รองเท้าปกติที่สวมใส่ปฏิบัติงานจริง	1	2	3	3	3	2	3	3	2	3
2) รองเท้าปกติเพิ่มแผ่นเสริมรองเท้านิดเรียบ	5	4	3	4	4	3	3	4	3	4
3) รองเท้าปกติเพิ่มหมอนรองสันเท้า	1	4	3	4	5	4	2	3	3	4
ผู้อุบัตหอนคนที่	31	32	33	34	35	36	37	38	39	40
1) รองเท้าปกติที่สวมใส่ปฏิบัติงานจริง	3	3	3	1	3	2	1	2	5	2
2) รองเท้าปกติเพิ่มแผ่นเสริมรองเท้านิดเรียบ	5	4	5	4	4	4	5	3	5	3
3) รองเท้าปกติเพิ่มหมอนรองสันเท้า	5	4	4	4	5	2	3	3	5	3
ผู้อุบัตหอนคนที่	41	42	43	44	45	46	47	48	49	50
1) รองเท้าปกติที่สวมใส่ปฏิบัติงานจริง	3	2	3	1	3	3	4	2	3	3
2) รองเท้าปกติเพิ่มแผ่นเสริมรองเท้านิดเรียบ	3	5	4	4	5	4	4	4	4	5
3) รองเท้าปกติเพิ่มหมอนรองสันเท้า	3	2	4	3	3	4	4	3	4	5

#### 4.8 สร้างความสัมพันธ์ระหว่างแรงกับลักษณะรองเท้าที่ส่วนไส่ขนมออกแรง

ข้อสมมุติที่เกี่ยวกับการวิเคราะห์ความสัมพันธ์แบบการทดลองเชิงเส้นคือ

$$\varepsilon_i \quad \text{มีการแจกแจงแบบปกติ}$$

$$E(\varepsilon_i) = 0 \quad \text{ค่าเฉลี่ยค่าผิดพลาดเท่ากับศูนย์}$$

$$V(\varepsilon_i) = \sigma^2 \quad \text{ความแปรปรวนคงที่}$$

$$Cov(\varepsilon_i, \varepsilon_j) = 0 \quad \text{ค่าผิดพลาดเป็นอิสระต่อกัน}$$

ในการทดสอบข้อสมมุติเบื้องต้นใช้หลักการเดียวกับการใช้วิธีการวิเคราะห์ความแปรปรวนโดยพิจารณาให้กราฟความน่าจะเป็นของค่าความคลาดเคลื่อนที่มีการแจกแจงแบบปกติมีลักษณะเป็นเส้นตรง ความสัมพันธ์ระหว่างค่าความคลาดเคลื่อนกับค่าที่ได้จากแบบจำลองมีการกระจายรอบศูนย์อย่างสมดุลและความกว้างของແບນคงที่ โดยกราฟมีการกระจายเป็นแบบสุ่มแสดงถึงความเป็นอิสระต่อกันของค่าความคลาดเคลื่อน นอกจากนี้ความสัมพันธ์ระหว่างค่าความคลาดเคลื่อนกับค่าที่ได้จากตัวแปรอิสระไม่มีรูปแบบที่ชัดเจนแสดงว่าสมการทดลองที่ใช้มีรูปแบบที่เหมาะสม (กราฟแสดงในภาคผนวก ๗.)

ผลของการวิเคราะห์การทดลองเป็นดังนี้

ตารางที่ 4.30 ซึ่งสามารถทดสอบสมมุติฐานเกี่ยวกับสมการตามลำดับต่อไปนี้

$$1) \ H_0 : \text{สมการทดลองไม่สามารถสร้างได้}$$

$$H_1 : \text{สมการทดลองสามารถสร้างได้}$$

ค่าพีเท่ากับ 0.000 ซึ่งน้อยกว่า 0.05 จึงปฏิเสธ  $H_0$  นั่นคือ สมการทดลองสามารถสร้างได้ โดยที่เพศ รองเท้า และท่าขึ้นของผู้หญิงทดสอบสามารถอธิบายถึงการเปลี่ยนแปลงของค่าความสามารถในการออกแรงสถิติได้

$$2) \ H_0 : \text{สมการเหมาะสมแล้ว}$$

$$H_1 : \text{สมการขาดความเหมาะสม}$$

ค่าพีเท่ากับ 0.630 สรุปได้ว่าไม่ปฏิเสธ  $H_0$  นั่นคือ สมการทดลองมีความเหมาะสมแล้ว ซึ่งเพศ รองเท้า และท่าขึ้นสามารถอธิบายความคลาดเคลื่อนของความสามารถในการออกแรงสถิติได้ 54.60 เปอร์เซ็นต์

การวิเคราะห์การทดลองเป็นการศึกษาถึงความสัมพันธ์ระหว่างตัวแปรตามกับตัวแปรอิสระโดยมีข้อกำหนดว่าตัวแปรอิสระจะต้องไม่มีความสัมพันธ์กัน ซึ่งจะทำให้สัมประสิทธิ์ความทดลองไม่เปลี่ยนแปลงไปเมื่อมีตัวแปรอิสระเพิ่มขึ้น การที่ตัวแปรอิสระมีความสัมพันธ์กันจะทำให้เกิดปัญหาที่เรียกว่าภาวะร่วมเส้นตรง (Collinearity) โดยสามารถพิจารณาได้จากค่า Variance inflation factor (VIF) การวิเคราะห์ภาวะร่วมเส้นตรงสามารถทำได้ดังนี้คือ (1) ถ้า VIF มีค่าเท่ากับ 1 แสดงว่า

ตัวแปรอิสระ ไม่มีความสัมพันธ์ระหว่างกัน (2) ถ้า VIF มีค่ามากกว่า 1 แสดงว่าตัวแปรอิสระ มีความสัมพันธ์ระหว่างกัน และ (3) ถ้า VIF มีค่าระหว่าง 5 ถึง 10 แสดงว่าตัวแปรดังกล่าว ไม่เหมาะสมที่จะนำมาใช้ในการวิเคราะห์การถดถอย จากผลการวิเคราะห์การถดถอยของ ความสัมพันธ์ระหว่างแรงกับลักษณะรองเท้าที่ส่วนใหญ่ออกแรงดังแสดงในตารางที่ 4.30 พบว่า ตัวแปรอิสระทุกตัวมีค่า VIF เท่า 1 แสดงว่า เพศ รองเท้าและท่าขึ้นไม่เป็นภาวะร่วมเส้นตรง ดังนั้น สมการถดถอยมีความเหมาะสมสำหรับนำมาใช้ในการประมาณค่าความสามารถในการออกแรงสูง

ตารางที่ 4.30 ผลการวิเคราะห์การถดถอยของความสัมพันธ์ระหว่างแรงกับลักษณะรองเท้าที่ส่วนใหญ่ออกแรงจากผู้ถูกทดสอบจำนวน 40 คน

แหล่งความแปรปรวน	องค์ประกอบ (DF)	ผลรวมของค่ากำลังสอง (Adj SS)	ค่าเฉลี่ยของค่ายกกำลังสอง (Adj MS)	ค่าอฟ (F)	ค่าพี (P-value)
การถดถอย	3	101.001	33.667	393.75	0.000
ค่าคงคาเดลี่อ่อนของการถดถอย	976	83.451	0.086		
การขาดความเหมาะสมของสมการ	8	0.527	0.066	0.77	0.630
ค่าผิดพลาดจริง	968	82.923	0.086		
ผลรวม	979	184.451			
ค่าความสามารถในการออกแรง = 2.4649 - 0.4405 เพศ + 0.0330 รองเท้า + 0.4555 ท่าขึ้น					
ค่าประมาณการ	ค่าสัมประสิทธิ์ของการถดถอย (Coef)	SE ของค่าสัมประสิทธิ์ (SE Coef)	ค่าที (T)	ค่าพี (P-value)	Variance inflation factor
ค่าคงที่	2.4649	0.0470	52.45	0.000	
เพศ	-0.4405	0.0187	-23.57	0.000	1.0
รองเท้า	0.0330	0.0114	2.90	0.004	1.0
ท่าขึ้น	0.4555	0.0187	24.37	0.000	1.0
ค่าสัมประสิทธิ์สหสัมพันธ์ (R-Sq) = 54.8% เปอร์เซ็นต์ และ (Adj R-Sq) = 54.6% เปอร์เซ็นต์					

เพื่อทดสอบความแม่นยำของการประมาณค่าความสามารถในการออกแรงสูงจากการถดถอย จึงสุ่มค่าความสามารถในการออกแรงของผู้ถูกทดสอบจำนวน 40 คน มาใช้ในการสร้าง สมการถดถอยของความสัมพันธ์ระหว่างแรงกับลักษณะรองเท้าที่ส่วนใหญ่ออกแรงดังตารางที่

4.30 สมการที่ได้คือ ค่าความสามารถในการออกแรง =  $2.4649 - 0.4405\text{เพศ} + 0.0330\text{รองเท้า} + 0.4555\text{ท่าเข็น}$  จากนั้นนำค่าความสามารถในการออกแรงของผู้ถูกทดสอบอีก 10 คน มาเปรียบเทียบ กับค่าประมาณที่ได้จากสมการดดอย พนว่าค่าประมาณของความสามารถในการออกแรงสอดคล้องกับ สมการค่าความสามารถในการออกแรง มีค่าใกล้เคียงกับค่าแรงสอดคล้องที่แปลงเป็นลอการิทึมธรรมชาติ ซึ่งแสดงให้เห็นว่าสมการค่าความสามารถในการออกแรงสามารถใช้ในการประมาณค่า ความสามารถในการออกแรงได้ (แสดงการประมาณค่าความสามารถในการออกแรงภาคผนวก ช.)

ในการพิจารณาความเหมาะสมของแบบจำลองที่ใช้สำหรับการประมาณค่าความสามารถ ในการออกแรงสอดคล้อง สามารถพิจารณาได้จากค่าความคลาดเคลื่อนหรือความแตกต่างระหว่าง ค่าแรงสอดคล้องที่แปลงเป็นลอการิทึมธรรมชาติกับค่าประมาณจากสมการค่าความสามารถ ในการออกแรง ซึ่งมีรูปแบบสมการดังนี้

$$e = Y - \hat{Y} \quad (4.7)$$

โดยที่  $e$  = ความคลาดเคลื่อนจากการประมาณค่าความสามารถในการออกแรงสอดคล้อง

$Y$  = ค่าแรงสอดคล้องที่แปลงเป็นลอการิทึมธรรมชาติ

$\hat{Y}$  = ค่าประมาณจากสมการค่าความสามารถในการออกแรงสอดคล้อง

ค่าความคลาดเคลื่อนที่แท้จริงเฉลี่ย (Mean Absolute Deviation-MAD) สามารถใช้วัดความ แม่นยำของการประมาณค่าความสามารถในการออกแรงสอดคล้อง โดยการเฉลี่ยค่าความผิดพลาดของ ค่าประมาณ ซึ่งมีประโยชน์สำหรับการวิเคราะห์ที่ต้องการวัดความผิดพลาดในหน่วยเดียวกันกับ ข้อมูลเดิม MAD มีค่าน้อยจะทำให้การประมาณค่าความสามารถในการออกแรงมีความแม่นยำ มากขึ้น ผลการคำนวณแสดงดังสมการต่อไปนี้

$$MAD = \frac{1}{n} \sum_{t=1}^n |Y_t - \hat{Y}_t| = \frac{63.7266}{240} = 0.2655 \quad (4.8)$$

การคำนวณค่าความคลาดเคลื่อนที่แท้จริงเฉลี่ยของค่าความสามารถในการออกแรงสอดคล้อง ของผู้ถูกทดสอบจำนวน 10 คน แต่ละคนทำการออกแรงทั้งหมด 24 ครั้ง ซึ่งจะได้ค่าความสามารถในการออกแรงทั้งหมด 240 ครั้ง และรวมของค่าความคลาดเคลื่อนมีค่าเท่ากับ 63.7266 ดังแสดงใน สมการ 4.8 พนว่าค่าความคลาดเคลื่อนที่แท้จริงเฉลี่ยมีค่าเท่ากับ 0.2655 ซึ่งมีค่าน้อยมาก แสดงว่าการ ประมาณค่าความสามารถในการออกแรงสอดคล้องมีความแม่นยำมาก ดังนั้นสามารถนำสมการค่า ความสามารถในการออกแรงมาใช้ในการประมาณค่าความสามารถในการออกแรงสอดคล้องได้

## บทที่ 5

### สรุปและข้อเสนอแนะ

#### 5.1 สรุปผลการวิจัย

การศึกษาวิจัยเกี่ยวกับการใช้แรงและความไม่สบายบริเวณเท้าของพนักงานขนส่ง มีวัตถุประสงค์ดังนี้คือ (1) ประเมินความสามารถในการอุ้กแรงดึงและดันรถเข็นที่บรรทุก สารคดิสก์ไดร์ฟของพนักงานขนส่งในสายการผลิตสารคดิสก์ไดร์ฟ (2) ศึกษาผลกระทบของรองเท้า ที่มีต่อความไม่สบายบริเวณเท้าของพนักงานขนส่ง งานวิจัยนี้ได้ดำเนินการเก็บข้อมูลการปฏิบัติงาน ของพนักงานขนส่งในบริษัทผู้ผลิตสารคดิสก์ไดร์ฟแห่งหนึ่งดังนี้คือ (1) คุณลักษณะทางกายภาพ ของผู้ถูกทดสอบ โดยใช้เครื่องชั่งน้ำหนัก เครื่องวัดส่วนสูง อุปกรณ์วัดขนาดสัดส่วนเท้า (Sliding caliper) และสายวัด (Measuring tape) (2) ภาระงานของพนักงานขนส่ง โดยใช้เครื่องชั่งสปริง (Spring scale) (3) ความสามารถในการอุ้กแรงสติกของพนักงานขนส่ง โดยใช้เครื่องมือ วัดแรงสติก (4) ความไม่สบายที่เกิดขึ้นบริเวณเท้า โดยใช้แบบสอบถามความไม่สบายที่เกิดขึ้น บริเวณเท้า และ (5) ระดับความพึงพอใจที่มีต่อรองเท้าปกติและรองเท้าที่มีอุปกรณ์เสริมรองเท้า โดยใช้แบบสอบถามระดับความพึงพอใจที่มีต่อรองเท้าปกติและรองเท้าที่มีอุปกรณ์เสริมรองเท้า

ผู้ถูกทดสอบที่เข้าร่วมในงานวิจัยครั้งนี้เป็นพนักงานขนส่งในสายการผลิตสารคดิสก์ไดร์ฟ ที่ทำหน้าที่เข็นรถเข็นซึ่งบรรจุสารคดิสก์ไดร์ฟในพื้นที่การผลิตจำนวน 50 คน เป็นเพศชาย 25 คน และเพศหญิง 25 คน โดยผู้ถูกทดสอบทุกคนเป็นผู้ที่มีสุขภาพร่างกายแข็งแรงและไม่มีโรคประจำตัว มีประสบการณ์ทำงานเข็นรถเข็นอย่างต่อเนื่องระยะเวลา 1 ปี การเก็บข้อมูลความสามารถในการ อุ้กแรงสติกกระทำในสองลักษณะคือ การอุ้กแรงดึงและแรงดัน และมีท่าทางการยืนในสอง รูปแบบคือ ท่ายืนปกติและท่ายืนเท้าเอียงกัน โดยใช้รองเท้าที่มีคุณลักษณะแตกต่างกันในการ อุ้กแรงแต่ละครั้ง ได้แก่ รองเท้าปกติที่สวมใส่ปฏิบัติงานจริง รองเท้าปกติเพิ่มแผ่นเสริมรองเท้า ชนิดเรียบ และรองเท้าปกติเพิ่มหมอนรองส้นเท้า การวัดค่าแรงสติกกระทำที่ระดับความสูงของ รถเข็นที่ใช้ในการขนส่งในสายการผลิตสารคดิสก์ไดร์ฟซึ่งเท่ากับ 85 เซนติเมตร หลังจากนั้นนำ ข้อมูลความสามารถในการอุ้กแรงสติกมาวิเคราะห์ทางสถิติโดยการวิเคราะห์ความแปรปรวน ประเมินภาระงานขนส่ง และสร้างความสัมพันธ์ระหว่างแรงกับลักษณะรองเท้าที่สวมใส่ขณะ อุ้กแรง ซึ่งผลที่ได้จากการทดลองสามารถสรุปได้ดังนี้

- 1) ผู้ถูกทดสอบมีอายุระหว่าง 20 ถึง 37 ปี ค่าเฉลี่ยของน้ำหนักของผู้ถูกทดสอบเพศชายเท่ากับ 64.88 กิโลกรัม ค่าเฉลี่ยของส่วนสูงเท่ากับ 170.40 เซนติเมตร ในขณะที่ผู้ถูกทดสอบเพศหญิง มีค่าเฉลี่ยของน้ำหนักเท่ากับ 56.28 กิโลกรัม ค่าเฉลี่ยของส่วนสูงเท่ากับ 160.90 เซนติเมตร
- 2) ภาระงานขั้นส่งที่ทำให้รถเข็นเริ่มเคลื่อนที่เท่ากับ 1.53 กิโลกรัม ส่วนภาระงานขั้นส่ง ในขณะที่รถเข็นเคลื่อนที่เท่ากับ 0.85 กิโลกรัม
- 3) ค่าสูงสุดของความสามารถในการออกแรงดึงของผู้ถูกทดสอบเพศชายเท่ากับ 19.93 กิโลกรัม ซึ่งเกิดจาก การออกแรงในท่าเข็นเท้า เอียงกัน โดยใช้รองเท้าปกติที่มีการเพิ่มหมอนรองส้นเท้าขณะทำการออกแรง ผู้ถูกทดสอบเพศหญิง มีค่าความสามารถในการออกแรงดึงสูงสุดเท่ากับ 13.11 กิโลกรัม ซึ่งเกิดจากท่าเข็นและส่วนไส้ร่องเท้าคุณลักษณะเดียวกันกับผู้ถูกทดสอบเพศชาย
- 4) ค่าสูงสุดของความสามารถในการออกแรงดันของผู้ถูกทดสอบเพศชายเท่ากับ 20.58 กิโลกรัม เกิดจากการออกแรงในท่าเข็นเท้า เอียงกันและส่วนไส้ร่องเท้าปกติที่มีการเพิ่มแผ่นเสริมรองเท้าชนิดเรียบ ในขณะทำการออกแรง ส่วนผู้ถูกทดสอบเพศหญิง มีค่าความสามารถในการออกแรงดันสูงสุดเท่ากับ 14.86 กิโลกรัม โดยออกแรงในท่าเข็นและส่วนไส้ร่องเท้าคุณลักษณะเดียวกันกับผู้ถูกทดสอบเพศชาย
- 5) พิศของแรง ท่าเข็น รองเท้า เพศ อันตรกิริยาระหว่างพิศของแรงกับท่าเข็น อันตรกิริยาระหว่างพิศของแรงกับรองเท้า และอันตรกิริยาระหว่างพิศของแรงกับท่าเข็นและเพศ มีผลต่อค่าความสามารถในการออกแรงสถิติอย่างมีนัยสำคัญ ( $p < 0.05$ )
- 6) ภาระงานขั้นส่ง ไม่เกินกำลังของผู้ถูกทดสอบเพศชาย เนื่องจากค่า 15 เปอร์เซ็นต์ของค่าความสามารถในการออกแรงดึง และแรงดันสูงสุดในท่าเข็นปกติ และท่าเข็นเท้า เอียงของผู้ถูกทดสอบเพศชายทุกคน มีค่าสูงกว่าค่าแรงเสียดทาน 0.85 กิโลกรัม ซึ่งเกิดขึ้นในขณะที่รถเข็นเคลื่อนที่ ในขณะเดียวกันภาระงานขั้นส่ง ไม่เกินกำลังของผู้ถูกทดสอบเพศหญิง ในท่าเข็นเท้า เอียงกัน โดยค่า 15 เปอร์เซ็นต์ของค่าความสามารถในการออกแรงดึง และแรงดันสูงสุดในท่าเข็นเท้า เอียงของผู้ถูกทดสอบเพศหญิงทุกคน มีค่าสูงกว่าแรงเสียดทาน 0.85 กิโลกรัม ส่วนในท่าเข็นปกติ มีผู้ถูกทดสอบเพศหญิงจำนวน 5 คน ที่มีค่า 15 เปอร์เซ็นต์ของความสามารถในการออกแรงดึง และแรงดันต่ำกว่าความสามารถหนักของภาระงานขั้นส่ง
- 7) ค่า 15 เปอร์เซ็นต์ของความสามารถในการออกแรงดึง และแรงดันสูงสุด ในท่าเข็นปกติ ของผู้ถูกทดสอบเพศชายจำนวน 9 คน ต่ำกว่าความสามารถหนักของภาระงาน ซึ่งเกิดขึ้นในขณะที่รถเข็นเริ่มเคลื่อนที่เท่ากับ 1.53 กิโลกรัม และในท่าเข็นเท้า เอียงมีจำนวน 2 คน มีค่าความสามารถในการออกแรง ต่ำกว่าความสามารถหนักของภาระงาน ส่วนผู้ถูกทดสอบเพศหญิงจำนวน 21 คน มีค่าความสามารถในการออกแรงดึง และแรงดันสูงสุด ในท่าเข็นปกติ ต่ำกว่าความสามารถหนักของภาระงาน และจำนวน 7 คน มีค่าความสามารถในการออกแรง ต่ำกว่าความสามารถหนักของภาระงาน ในท่าเข็นเท้า เอียง

8) ผู้ถูกทดสอบทั้งเพศชายและเพศหญิงมีอาการไม่สบายบริเวณเท้าอยู่ที่ระดับอาการไม่สบายน้อยถึงไม่สบายปานกลาง โดยอาการไม่สบายบริเวณพื้นฝ่าเท้าที่เกิดจากการส่วนไส้ร่องเท้าปกติที่ใช้ในการปฏิบัติงานจริง พื้นที่ส่วนด้านข้างของฝ่าเท้ามีอาการไม่สบายสูงสุด มีระดับคะแนน 62 เปอร์เซ็นต์ รองลงมาคือพื้นที่ส่วนกลางฝ่าเท้าด้านในและสันเท้ามีระดับคะแนน 54 และ 48 เปอร์เซ็นต์ ตามลำดับ ส่วนอาการไม่สบายบริเวณพื้นฝ่าเท้าที่เกิดจากการส่วนไส้ร่องเท้าปกติที่เพิ่มแผ่นเสริมรองเท้าชนิดเรียบ พื้นที่ส่วนปลายนิ้วเท้ามีอาการไม่สบายสูงสุดที่ระดับคะแนน 42 เปอร์เซ็นต์ รองลงมาคือ พื้นที่ส่วนหัวแม่เท้า 36 เปอร์เซ็นต์ เช่นเดียวกับอาการไม่สบายบริเวณพื้นฝ่าเท้าที่เกิดจากการส่วนไส้ร่องเท้าปกติที่เพิ่มหมอนรองสันเท้า พื้นที่ส่วนปลายนิ้วเท้าและหัวแม่เท้ามีอาการไม่สบายมากที่สุด โดยมีระดับคะแนน 52 เปอร์เซ็นต์

9) ผู้ถูกทดสอบทั้งเพศชายและเพศหญิงมีความพึงพอใจต่อรองเท้าปกติที่ใช้สวมใส่ขณะปฏิบัติงานจริงในระดับปานกลางค่อนไปทางระดับความพึงใจน้อย ที่ระดับคะแนนความพึงพอใจเท่ากับ 36.38 เปอร์เซ็นต์ ในขณะความพึงพอใจที่มีต่อการทดลองใช้อุปกรณ์เสริมรองเท้าประเภทแผ่นเสริมรองเท้าชนิดเรียบครั้งแรกมีระดับความพึงพอใจมากถึงมากที่สุดที่ระดับคะแนน 51.63 เปอร์เซ็นต์ ส่วนความพึงพอใจจากการทดลองใช้หมอนรองสันเท้าครั้งแรกผู้ถูกทดสอบมีระดับความพึงพอใจมากค่อนลงมาเป็นระดับปานกลางที่ระดับคะแนน 41.75 เปอร์เซ็นต์ หลังจากการใช้งานอุปกรณ์เสริมรองเท้าผ่านไปเป็นระยะเวลา 1 สัปดาห์ ผู้ถูกทดสอบมีความพึงพอใจต่อการใช้งานแผ่นเสริมรองเท้าชนิดเรียบในระดับมากถึงมากที่สุดที่ระดับคะแนน 48.63 เปอร์เซ็นต์ ซึ่งพึงพอใจในคุณลักษณะเกี่ยวกับ สันรองเท้าด้านในกว้างและนุ่ม พื้นรองเท้าด้านในไม่ลื่นขณะเดิน กระชับขณะเดิน และพื้นรองเท้าด้านในนุ่ม และมีความพึงพอใจต่อการใช้งานหมอนรองสันเท้าที่ระดับความพึงพอใจมากค่อนลงมาเป็นระดับปานกลางโดยมีระดับคะแนน 32.00 เปอร์เซ็นต์ ในคุณลักษณะเกี่ยวกับพื้นรองเท้าด้านนอกและด้านในไม่ลื่นขณะเดิน สวมใส่พอดีกับเท้า และช่วยให้กระชับเท้าขณะเดินปฏิบัติงาน

10) ทิศของแรงและท่าขึ้นมีผลต่อความสามารถในการออกแรงสูงสุดของพนักงานขนส่งในสายการผลิตสารเคมีสกัดไดร์ฟ และการใช้รองเท้าทั้ง 3 คุณลักษณะ ได้แก่ รองเท้าปกติที่สวมใส่ปฏิบัติงานจริง รองเท้าปกติเพิ่มแผ่นเสริมรองเท้าชนิดเรียบ และรองเท้าปกติเพิ่มหมอนรองสันเท้า มีผลต่อความสามารถไม่สบายบริเวณเท้าที่ระดับนัยสำคัญ 0.05

11) ความสัมพันธ์ระหว่างแรงกับลักษณะรองเท้าที่สวมใส่ขณะออกแรงสามารถเขียนให้อยู่ในรูปแบบของสมการคือ ค่าความสามารถในการออกแรง =  $2.4649 - 0.4405\text{เพศ} + 0.0330\text{รองเท้า} + 0.4555\text{ท่าขึ้น}$  โดยที่ผลของการวิเคราะห์การทดลองพบว่าเพศ รองเท้าและท่าขึ้น สามารถอธิบายความคาดเดือนของความสามารถในการออกแรงสูงสุดได้ร้อยละ 54.60

## 5.2 ข้อเสนอแนะ

1) งานวิจัยครั้งต่อไปควรมีการศึกษาความสามารถในการออกแบบแบบพลวัตแล้วนำผลที่ได้มาเปรียบเทียบกับค่าแรงเสียดทานที่เกิดขึ้นในขณะเคลื่อนที่ของรถเข็นประเภท 4 ล้อที่ใช้ในงานขนส่งผลิตภัณฑ์าร์คดิสก์ไดร์ฟ โดยทำการวัดค่าแรงเสียดทานด้วยเครื่องชั่งสปริงซึ่งมีค่าแรงเสียดทานเท่ากับ 0.85 กิโลกรัม ทั้งนี้เนื่องจากการทำงานเข็นรถเข็นเป็นลักษณะการทำงานแบบพลวัต

2) ควรศึกษาวิจัยในอุตสาหกรรมประเภทอื่น ๆ ที่มีการใช้แรงงานมนุษย์ในงานเข็นรถเข็นเพื่อการขนย้ายผลิตภัณฑ์ระหว่างการผลิต ซึ่งจะมีความหนักของการงาน ขนาดสัดส่วนและระดับความสูงของรถเข็นที่เปลี่ยนไป ในขณะที่คุณลักษณะทางกายภาพของผู้ถูกทดสอบไม่ได้มีความแตกต่างไปจากเดิมมากนัก

3) ในการศึกษาวิจัยควรมีการเพิ่มอุปกรณ์เสริมรองเท้าชนิดอื่น ๆ ที่มีความหลากหลายมากขึ้น เนื่องจากมีอาการไม่สบายบนพื้นฝ่าเท้าหลายตำแหน่ง ดังนั้นจึงควรพิจารณาจากอาการไม่สบายแต่ละตำแหน่งของงานวิจัยนี้เพื่อเลือกใช้อุปกรณ์เสริมรองเท้าชนิดอื่นเพิ่มเติม เพื่อเป็นการลดอาการไม่สบายที่เกิดขึ้นบนพื้นฝ่าเท้า

## 5.3 วิธีการนำผลไปใช้ในทางปฏิบัติและป้องกันการบาดเจ็บ

1) ในการออกแบบดึงและแรงดันเพื่อให้รถเข็นเกิดการเคลื่อนที่ควรกระทำในท่ายืนเท้าเขียงกัน เนื่องจากสามารถใช้แรงจากแขน ขา และลำตัวช่วยในการออกแบบ ทำให้มีค่าความสามารถในการออกแบบสูงกว่าท่ายืนปกติ นอกจากนี้การออกแบบในท่ายืนเท้าเขียงกันจะทำให้ผู้ออกแบบมีการทรงตัวที่ดี ทำให้พนักงานขนส่งทั้งเพศชายและเพศหญิงสามารถปฏิบัติงานเข็นรถเข็นที่มีค่าแรงเสียดทาน 0.85 กิโลกรัม ได้ทุกคน

2) การออกแบบดึงรถเข็นควรใช้อุปกรณ์เสริมรองเท้าประเภทหมอนรองสันเท้า เนื่องจากค่าความสามารถในการออกแบบดึงโดยใช้รองเท้าปกติที่มีการเพิ่มหมอนรองสันเท้าผู้ถูกทดสอบทั้งเพศชายและหญิงสามารถออกแบบได้ดีที่สุด ในขณะเดียวกันการออกแบบดันควรใช้งานแผ่นเสริมรองเท้าชนิดเรียบควบคู่กับรองเท้าปกติ เพราะผู้ถูกทดสอบสามารถออกแบบดันได้ค่าแรงสูงสุดเมื่อมีการใช้งานแผ่นเสริมรองเท้าชนิดเรียบ ทั้งนี้เนื่องจากแผ่นเสริมรองเท้าที่มีพื้นผิวนุ่มจะช่วยรองรับแรงกดอัดและการจายแรงบริเวณพื้นฝ่าเท้าได้ส่วนหนึ่ง จากผลดังกล่าวสามารถเป็นแนวทางในการพัฒนาและออกแบบรองเท้าให้มีลักษณะพื้นรองเท้านุ่มทั่วทั้งฝ่าเท้า และให้บริเวณสันรองเท้า มีระดับที่สูงขึ้น เพื่อรับรองการใช้งานของผู้ปฏิบัติงานประเภทเดินและยืน

3) การใช้อุปกรณ์เสริมรองเท้าประเภทแผ่นเสริมรองเท้าชนิดเรียบและหมอนรองสันเท้าช่วยลดอาการไม่สบายบริเวณพื้นที่ฝ่าเท้าได้มาก แต่ยังมีตำแหน่งบนพื้นฝ่าเท้าที่ยังมีอาการไม่สบายได้แก่ หัวแม่เท้าและปลายนิ้วเท้า เนื่องจากเมื่อเพิ่มอุปกรณ์เสริมรองเท้าทำให้ช่องว่างบริเวณส่วนปลายของนิ้วเท้าและหัวแม่เท้าแคบลง ส่งผลให้ขับปลายเท้าได้น้อย ดังนั้นในการเลือกใช้อุปกรณ์เสริมรองเท้าควรเลือกที่มีพื้นส่วนปลายไม่หนาเกินไป ในขณะเดียวกันยังคงความนุ่มของพื้นอยู่เพื่อเป็นการกระจายแรงกดขณะทำการออกแรงคัน

4) ในการปฏิบัติงานออกแรงดึงและแรงดันรถเข็นเป็นระยะเวลา 8 ชั่วโมงต่อเนื่องกัน พนักงานขนส่งไม่ควรออกแรงเกินค่า 15 เปอร์เซ็นต์ของค่าความสามารถในการออกแรงดึงและแรงดันสูงสุด เพื่อป้องกันการล้าของกล้ามเนื้อและการบาดเจ็บจากการปฏิบัติงาน



## รายการอ้างอิง

- กัลยา วนิชย์บัญชา. (2551). การทดสอบสมมติฐานที่ไม่ใช้พารามิเตอร์. การวิเคราะห์สถิติ: สถิติสำหรับการบริหารและวิจัย. พิมพ์ครั้งที่ 11. โรงพยาบาลกรุงมหาวิทยาลัย.
- กิตติ อินทรานนท์. (2548). ภาระงานและการวัด. การยศาสตร์. พิมพ์ครั้งที่ 1. สำนักพิมพ์จุฬาลงกรณ์มหาวิทยาลัย.
- คลินิกกายภาพบำบัดและกิจกรรมบำบัด. (2553). การดึงและดันให้ปลอดภัย. คณะกายภาพบำบัดมหาวิทยาลัยมหิดล. [ออนไลน์] จาก : <http://www.pt.mahidol.ac.th/ptclinic/>
- ชวัชชานนท์ สิปปากุล. (2548). สักส่วนร่างกายมนุษย์. การยศาสตร์และกายวิภาคเชิงกล. พิมพ์ครั้งที่ 1. บริษัท vacstip จำกัด.
- นริศ เจริญพร. (2543). พื้นฐานทางชีวกลศาสตร์. การยศาสตร์. พิมพ์ครั้งที่ 1. โรงพยาบาลจุฬาลงกรณ์มหาวิทยาลัย.
- นิตยา เพ็ญศิรินภา สมโรมม์ โภณลวนิช นริศ เจริญพร และสุทธิ ศรีบูรพา. (2552). ชีวกลศาสตร์ในการทำงาน. เอกสารการสอนชุดวิชาการยศาสตร์. พิมพ์ครั้งที่ 1. โรงพยาบาลจุฬาลงกรณ์มหาวิทยาลัย สุโขทัยธรรมชาติราช.
- ประไพศรี สุทัศน์ ณ อยุธยา และพงศ์ชนันน พเลื่องไพบูลย์. (2551). การทดลองแฟกทอเรียล. การออกแบบและวิเคราะห์การทดลอง. พิมพ์ครั้งที่ 9. บริษัท สำนักพิมพ์ท้อป จำกัด.
- พรศิริ คงกล. (2549). การศึกษาแนวทางการป้องกันการบาดเจ็บบริเวณหลังส่วนล่างที่เกิดขึ้นจากการออกแรงดันและลาก. รายงานวิจัย สำนักวิชาชีวกรรมศาสตร์ มหาวิทยาลัยเทคโนโลยีสุรนารี.
- พรศิริ คงกล ชีรศักดิ์ ทองสัมฤทธิ์ และวรรณนิศา นุชคุ่ม. (2553). การวิเคราะห์และจัดสรรพนักงานขนส่งในสายการผลิตอาร์คิดสก์ไดร์ฟให้เหมาะสม. รายงานวิจัย ศูนย์วิจัยร่วมเฉพาะทาง ด้านส่วนประกอบาร์คิดสก์ไดร์ฟ มหาวิทยาลัยขอนแก่น.
- สำนักงานกองทุนเงินทดแทน. (2552). จำนวนผู้ประสบอันตรายหรือเจ็บป่วยเนื่องจากการทำงาน จำแนกตามความรุนแรงและอวัยวะที่ได้รับอันตราย. สำนักงานประกันสังคม. [ออนไลน์] จาก : <http://www.sso.go.th/>

- Al-Eisawi, K.W., Kerk, C.J., Congleton, J.J., Amendola, A.A., Jenkins, O.C., and Gaines, W. (1999). Factors affecting minimum push and pull forces of manual carts. **Applied Ergonomics.** 30(3): 235-245.
- Castro, A.P., Rebelatto, J.R., and Aurichio, T.R. (2010). The relationship between foot pain, anthropometric variables and footwear among older people. **Applied Ergonomics.** 41(1): 93-97.
- Chen, W.P., Ju, C.W., and Tang, F.T. (2003). Effects of total contact insoles on the plantar stress redistribution: a finite element analysis. **Clinical Biomechanics.** 18(6): S17-S24.
- Chow, A.Y., and Dickerson, C.R. (2009). Shoulder strength of females while sitting and standing as a function of hand location and force direction. **Applied Ergonomics.** 40(3): 303-308.
- Ciriello, V.M., McGorry, R.W., and Martin, S.E. (2001). Maximum acceptable horizontal and vertical forces of dynamic pushing on high and low coefficient of friction floors. **International Journal of Industrial Ergonomics.** 27(1): 1-8.
- Das, B. (1985). The assessment of the manual materials handling problem. In **Proceeding of the 18<sup>th</sup> Annual Conference of HFAC, Human Factors Association of Canada.** 63-66.
- Das, B., and Black, N.L. (2000). Isometric pull and push strengths of paraplegic in the workplace:
1. Strength measurement profiles. **International Journal of Occupational Safety and Ergonomics.** 6(1): 47-65.
- Das, B., and Forde, M. (1999). Isometric push-up and pull-down strengths of paraplegics in the workplace: 1. Strength measurement profiles. **Journal of Occupational Rehabilitation.** 9(4): 279-291.
- Hoozemans, M.J.M., Van Der Kreek, A.J., Frings-Dresen, M.H.W., Van Duk, F.J.H., and Van Der Woude, L.H.V. (1998). Pushing and pulling in relation to musculoskeletal disorders: a review of risk factors. **Ergonomics.** 41(6): 757-781.
- Imrhan, S.N. (1999). The influence of grip width on two-handed grip strengths in females. **International Journal of Industrial Ergonomics.** 25(2): 187-194.
- Konz, S. (1995). Work Design: Industrial Ergonomics. 4<sup>th</sup> Edition, Publishing Horizons: Arizona.
- Kumar, S. (1995). Upper body push-pull strength of normal young adults in sagittal plane at three heights. **International Journal of Industrial Ergonomics.** 15(6): 427-436.

- Mack, K., Haslegrave, C.M., and Gray M.I. (1995). Usability of manual handling aids for transporting materials. **Applied Ergonomics.** 26(5): 353-364.
- Mamansari, D.U., and Salokhe, V.M. (1996). Static strength and physical work capacity of agricultural labourers in the central plain Thailand. **Applied Ergonomics.** 27(1): 53-60.
- Messing, K., and Kilbom, S. (2001). Standing and very slow walking: foot pain-pressure threshold, subjective pain experience and work activity. **Applied Ergonomics.** 32(1): 81-90.
- Min-Chi, C., and Mao-Jiun, J.W. (2007). Professional footwear evaluation for clinical nurses. **Applied Ergonomics.** 38(2): 133-141.
- Mital, A., and Ramakrishnan, A. (1999). A comparison of literature-based design recommendations and experimental capability data for a complex manual materials handling activity. **International Journal of Industrial Ergonomics.** 24(1): 73-80.
- Nussbaum, M.A., Chaffin, D.B., Stump, B.S., Baker, G., and Foulke, J. (2000). Motion times, hand forces, and trunk kinematics when using material handling manipulators in short-distance transfers of moderate mass objects. **Applied Ergonomics.** 31(3): 227-237.
- Peebles, L., and Norris, B. (2003). Filling 'gaps' in strength data for design. **Applied Ergonomics.** 34(1): 73-88.
- Resnick, M.L., and Chaffin, D.B. (1995). An ergonomic evaluation of handle height and load in maximal and sub maximal cart pushing. **Applied Ergonomics.** 26(3): 173-178.
- Scott, N.M. (1998). Isometric pull forces in the sagittal plane. **Applied Ergonomics.** 29(5): 319-324.
- Smith, D.R., Sato, M., Miyajima, T., Mizutani, T., and Yamagata, Z. (2003). Musculoskeletal disorders self-reported by female nursing students in central Japan: a complete cross-sectional survey. **International Journal of Nursing Studies.** 40(7): 725-729.
- Tiwari, P.S., Gite, L.P., Majumder, J., Pharade, S.C., and Singh, V.V. (2010). Push/pull strength of agricultural workers in central India. **International Journal of Industrial Ergonomics.** 40(1): 1-7.
- Trinkoff, A.M., Lipscomb, J.A., Geiger-Brown, J., Storr, C.L., and Brady, B.A. (2003). Perceived physical demands and reported musculoskeletal problems in registered nurses. **American Journal of Preventive Medicine.** 24(3): 270-275.

Witana, C.P., Goonetilleke, R.S., Xiong, S., and Au, E.Y.L. (2009). Effects of surface characteristics on the plantar shape of feet and subjects' perceived sensations. **Applied Ergonomics.** 40(2): 267-279.

Yung-Hui, L., and Wei-Hsien, H. (2005). Effects of shoe inserts and heel height on foot pressure, impact force, and perceived comfort during walking. **Applied Ergonomics.** 36(3): 355-362.





ภาคนวก ก

การทำงานด้วยตัวอย่างของผู้ถูกทดสอบ

นักศึกษาอัจฉริยะในโลยีสูบาร์

จากรายงานวิจัยของ พรศิริ จงกล และคณะ (2553) ดำเนินการวิจัยเกี่ยวกับการจัดสรรงานพนักงานขนส่ง และประเมินภาระงานของพนักงานขนส่งในพื้นที่ห้องสะอาดของบริษัทผู้ผลิต สารคดิสก์ไดรฟ์แห่งหนึ่ง ซึ่งข้อมูลค่าเฉลี่ยของค่าความสามารถในการอุปกรณ์และแรงดันของผู้ถูกทดสอบเพศชายและเพศหญิง และส่วนเบี่ยงเบนมาตรฐานของค่าความสามารถในการอุปกรณ์และแรงดันของผู้ถูกทดสอบจำนวน 39 คน แบ่งเป็นเพศชาย 21 คน และเพศหญิง 18 คน แสดงดังตารางที่ ก.1 (พรศิริ จงกล, 2553)

ตารางที่ ก.1 แสดงค่าเฉลี่ยและส่วนเบี่ยงเบนมาตรฐานของความสามารถในการอุปกรณ์และแรงดันของผู้ถูกทดสอบเพศชายและเพศหญิง (พรศิริ จงกล, 2553)

ผู้ถูกทดสอบ	ค่าเฉลี่ย (กิโลกรัม)	
	แรงดึง	แรงดัน
เพศชาย (N=21)	10.10	9.74
เพศหญิง (N=18)	6.27	5.46
ส่วนเบี่ยงเบนมาตรฐาน (กิโลกรัม)	3.58	3.34

การดำเนินการเพื่อพิจารณาเลือกขนาดของตัวอย่างคือ ถ้าความแตกต่างระหว่างค่าเฉลี่ยของสองระดับใดก็ินกว่าค่าที่กำหนดให้แล้วสมมุติฐานหลักจะถูกปฏิเสธ ถ้าความแตกต่างระหว่างค่าเฉลี่ยของสองระดับไม่มีขนาดเท่ากับ D แล้ว สามารถแสดงได้ว่าค่าตัวที่สุดของ  $\Phi^2$  คือ

$$\Phi^2 = \frac{nbD^2}{2a\sigma^2} \quad (\text{ก.1})$$

เนื่องจากค่านี้เป็นค่าที่ตัวที่สุดของ  $\Phi^2$  ดังนั้นขนาดของตัวอย่างที่นำมาได้จากเส้นโค้งลักษณะสมบัติของการดำเนินการ (Operating characteristic curves for the fixed effects model analysis of variance-OC Curves) ดังรูปที่ ก.1 จะมีค่าประมาณอย่างต่ำ นั่นคือจะมีกำลังของการทดสอบอย่างน้อยที่สุดมากเท่ากับที่ได้กำหนดขึ้นมา โดยกำหนดให้  $n$  คือขนาดตัวอย่าง  $b$  คือจำนวนลักษณะ และ  $a$  คือระดับปัจจัย

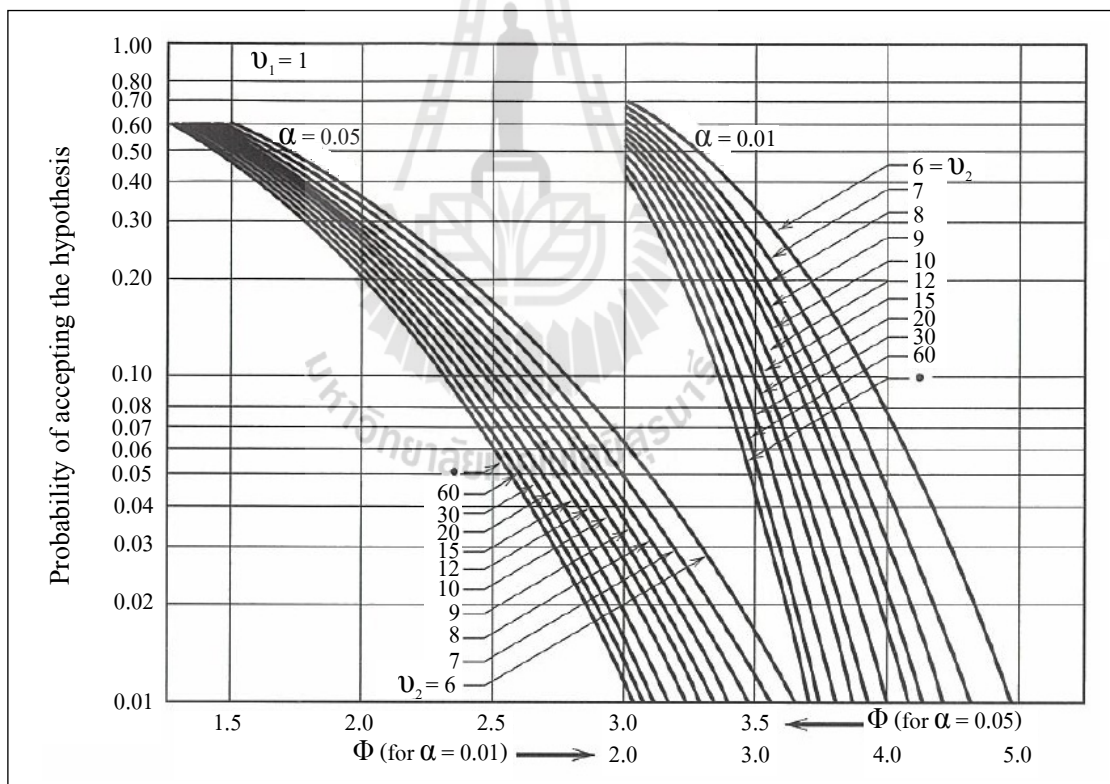
ในการนี้ต้องการที่จะปฏิเสธสมมุติฐานด้วยความน่าจะเป็นอย่างน้อย 0.95 ( $\alpha = 0.05$ ) ค่าความแตกต่างระหว่างค่าเฉลี่ยของความสามารถในการอุปกรณ์ของเพศชายกับเพศหญิงเท่ากับ  $10.10 - 6.27 = 3.83$  ( $D = 3.83$ ) โดยมีค่าส่วนเบี่ยงเบนมาตรฐานเท่ากับ  $3.58$  ( $\sigma = 3.58$ ) ดังนั้นสามารถหาค่าตัวที่สุดของ  $\Phi^2$  ได้ดังนี้

$$\Phi^2 = \frac{n(1)(3.83)^2}{2(2)(3.58)^2} = 0.29n \quad (\text{eq2})$$

ตารางที่ ก.2 แสดงผลการหาจำนวนขนาดตัวอย่างผู้ถูกทดสอบของการออกแบบดึง

$n$	$\Phi^2$	$\Phi$	$a(n-1)$	$\beta$	Power( $\beta-1$ )
16	4.64	2.15	30	0.150	0.850
20	5.80	2.41	38	0.095	0.905
25	7.25	2.69	48	0.050	0.950 *

ตั้งนี้นี่ที่จำนวนขนาดตัวอย่างผู้ถูกทดสอบของการออกแบบดึงเท่ากับ 25 คน จะทำให้ได้ค่า Power of the test ตรงตามต้องการเมื่อ  $\alpha = 0.05$



รูปที่ ก.1 แสดงเส้นໄส์กิ้งลักษณะสมบัติของการดำเนินการ (OC Curves) ที่  $v_1 = 1$  และ  $\alpha = 0.05$

ส่วนค่าความแตกต่างระหว่างค่าเฉลี่ยของความสามารถในการออกแบบดันของเพศชายกับเพศหญิงเท่ากับ  $9.74 - 5.46 = 4.28$  ( $D = 4.28$ ) โดยมีค่าส่วนเบี่ยงเบนมาตรฐานเท่ากับ  $3.34$  ( $\sigma = 3.34$ ) ดังนั้นสามารถหาค่าตัวสูตรของ  $\Phi^2$  ได้ดังนี้

$$\Phi^2 = \frac{n(1)(4.28)^2}{2(2)(3.34)^2} = 0.41n \quad (ก3)$$

ตารางที่ ก.3 แสดงผลการหาจำนวนขนาดตัวอย่างผู้ถูกทดสอบของการออกแบบดัน

$n$	$\Phi^2$	$\Phi$	$a(n-1)$	$\beta$	Power( $\beta-1$ )
11	4.51	2.12	20	0.200	0.800
16	6.56	2.56	30	0.061	0.939
18	7.38	2.72	34	0.031	0.969 *

โดยที่จำนวนขนาดตัวอย่างผู้ถูกทดสอบของการออกแบบดันเท่ากับ 18 คน จะทำให้ได้ค่า Power of the test ตรงตามต้องการเมื่อ  $\alpha = 0.05$

จากการคำนวณขนาดตัวอย่างของผู้ถูกทดสอบได้ค่า  $n$  ของความสามารถในการออกแบบดึงและการออกแบบดันเท่ากับ 25 และ 18 คน ตามลำดับ เนื่องจากเพศชายและเพศหญิง มีค่าความสามารถในการออกแบบดึงแตกต่างกัน ดังนั้นผู้วิจัยจึงดำเนินการศึกษาวิจัยทั้งในส่วนของ เพศชายและเพศหญิง โดยให้จำนวนผู้ถูกทดสอบเพศชายเท่ากับ 25 คน และเพศหญิง 25 คน รวม จำนวนผู้ถูกทดสอบทั้งหมด 50 คน ซึ่งเป็นพนักงานขนส่งในบริษัทผู้ผลิตาร์ดิติสก์ไดร์ฟแห่งหนึ่ง ที่ทำหน้าที่เข็นรถเข็นซึ่งบรรจุอาร์ดิติสก์ไดร์ฟในพื้นที่การผลิต



ตารางที่ ๔.๑ ข้อมูลคุณลักษณะทางกายภาพของผู้ถูกทดสอบเพศชาย

ผู้ทดสอบเพศชาย	อายุ(ปี.)	น้ำหนัก(กг.)	ส่วนสูง(ซม.)	ปรับตัวการรับประทาน(%)	ความต้องการพลังงาน(㎉)	การเผาผลาญพลังงาน(㎉)	กิจกรรมทางกายภาพ(%)	ความต้องการน้ำ(ลิตร/วัน)	ความต้องการไขมัน(%)	ความต้องการโปรตีน(%)	ความต้องการคาร์บไฮดราต(%)	
1	29	46	165	3	25	19	9.5	6.5	6	21	2.2	7.2
2	29	66	167	1	25	20	10	7.3	6.5	27	2	7
3	24	54	170	2	25	20	9.5	7.5	6.5	22	2.5	6
4	22	72	166	1	27	22	10.5	7	6.3	26	2.6	8.5
5	27	75	178	1	28	22	10.5	7.5	6.1	25.3	2.2	7
6	26	57	176	1	26	20	9.3	6.8	6.1	26	2.1	7.2
7	26	58	167	1	24	20	8.9	6.7	6.3	25	2.2	7.2
8	24	54	165	3	26	21	9.6	6.4	6.4	25	2.4	6.5
9	31	55	160	1	25	20	9.2	6.5	6.3	24	2	7.1
10	26	60	180	1	28	22	9.4	6.9	5.8	25	2.2	6.9
11	25	95	170	1	27	22	10.3	7	6.5	28	2.3	7.9
12	22	45	163	1	25	21	9.3	6.6	5.3	24	2.1	6.4
13	30	89	171	4	27	21	11	7.8	6.8	28	2.7	8.2
14	24	65	180	1	27	21	9.5	6.7	6.5	26	2.3	7.2
15	29	75	175	7	27	21	10	6.6	6.6	25	2.3	7.7
16	32	69	172	5	26	21	10.1	6.7	6.6	26	2.6	8.2
17	35	70	173	1	29	23	10.3	7.4	5.9	25	2.5	8
18	31	61	165	7	25	20	9.4	6.4	5.6	23	2.2	7.9
19	30	95	175	6	27	21	10.7	7.4	7.5	29	2.6	7.9
20	24	63	177	1	28	22	10.3	7.4	6	26	2.4	8.6
21	25	49	165	2	23	18	9.2	6.5	5.6	23	2	7
22	30	65	167	1	25	20	9.6	6.6	5.9	24	2.2	7.2
23	25	49	164	5	27	21	9.8	6.7	6.4	24	2	6.6
24	28	73	173	1	26	19	10.6	7.6	6.9	26	2.5	7.9
25	31	62	176	3	26	21	9.7	6.9	6.3	27	2.2	7.6
เฉลี่ย	27.40	64.88	170.4	2.44	26.16	20.72	9.85	6.94	6.27	25.21	2.29	7.40

ตารางที่ ๔.๒ ข้อมูลคุณลักษณะทางกายภาพของผู้ถูกทดสอบเพศหญิง

ลำดับ	อายุ(ปี)	ส่วนสูง(ซม.)	น้ำหนัก(kg.)	ส่วนสูง(kg.)	น้ำหนัก(kg.)	รากฐานสูตร(kg.)												
1	33	54	165	3	24	18	8.5	6.5	6	22	1.9	6.4						
2	20	45	154	1	23	19	8.6	5.8	5.4	22	2.1	6.1						
3	33	80	167	1	25	20	9.5	6.8	6.3	26.5	2.1	7						
4	21	75	165	1	25	20	9.6	6.4	5.7	25	2.4	7.6						
5	29	47	163	5	25	20	8.3	6.3	5.1	23	1.9	6.9						
6	23	44	158	3	24	20	9.1	6.4	5	25	1.9	5.9						
7	22	47	165	1	25	21	8.9	6.2	5.1	21	2.3	6.1						
8	30	63	162	1	24	20	9	6.1	5	23	2	6						
9	23	47	157	3	24	19	8.2	6.2	4.6	22	2.1	5.6						
10	21	65	160	1	24	19	9.3	7	6.4	25	2.1	5.9						
11	26	77	160	4	24	19	9.7	7	6.9	25	2.2	7.4						
12	34	60	170	3	25	21	9.1	6.8	5.9	25	2.3	7.5						
13	25	48	161	6	24	19	8.6	6.4	5.5	23	2.2	6.8						
14	30	47	158	7	24	18	9.3	6.2	5	24	1.9	5.4						
15	24	63	160	1	24	18	9.2	6.5	6	26	2.1	6.9						
16	23	49	165	5	24	18	9.3	5.9	5.5	24	1.9	6.9						
17	21	76	162	3	25	19	9.6	6.5	6.8	26	2.3	7.1						
18	29	53	151	10	23	1.9	9.2	6.6	5.3	25	1.8	6.8						
19	23	46	153	5	21	18	8.9	6.3	5	24	1.9	6.5						
20	28	43	158	1	22	17	8.6	5.9	5.6	22	2	6.9						
21	25	65	167	2	24	19	8.9	6	5.3	23	2.1	6.5						
22	37	54	155	3	23	18	8.1	6	5.4	25	2	5.9						
23	31	43	159	12	24	20	8.5	6.3	5.1	23	2	7						
24	19	60	168	1	25	20	9.1	7	6.1	26	20	6.3						
25	29	56	159	4	22	18	8.7	6.1	5.7	25	1.9	6.7						
เฉลี่ย	26.36	56.28	160.8	3.48	23.88	18.40	8.95	6.37	5.59	24.02	2.78	6.56						



การเก็บข้อมูลความหนักของการงานขนส่ง พิจารณาจากแรงที่ทำให้รถเข็นเริ่มเคลื่อนที่ และแรงในขณะที่รถเข็นเคลื่อนที่ โดยใช้เครื่องชั่งสปริงในการวัดค่าแรงดังแสดงในตารางที่ ค.1

ตารางที่ ค.1 ข้อมูลความหนักของการงานขนส่ง (หน่วยกิโลกรัม)

ลำดับที่	แรงที่ทำให้รถเข็นเริ่มเคลื่อนที่	แรงในขณะที่รถเข็นเคลื่อนที่
1	1.0	0.5
2	1.5	0.6
3	1.0	1.0
4	1.2	0.8
5	1.0	0.8
6	1.3	0.9
7	1.3	0.7
8	1.5	0.8
9	1.1	0.8
10	1.5	1.0
11	1.5	0.8
12	1.8	0.7
13	2.2	1.2
14	2.5	1.0
15	2.0	1.0
16	1.7	1.1
17	1.5	0.7
18	1.7	1.0
19	1.5	0.7
20	1.4	0.8
เฉลี่ย	1.53	0.85

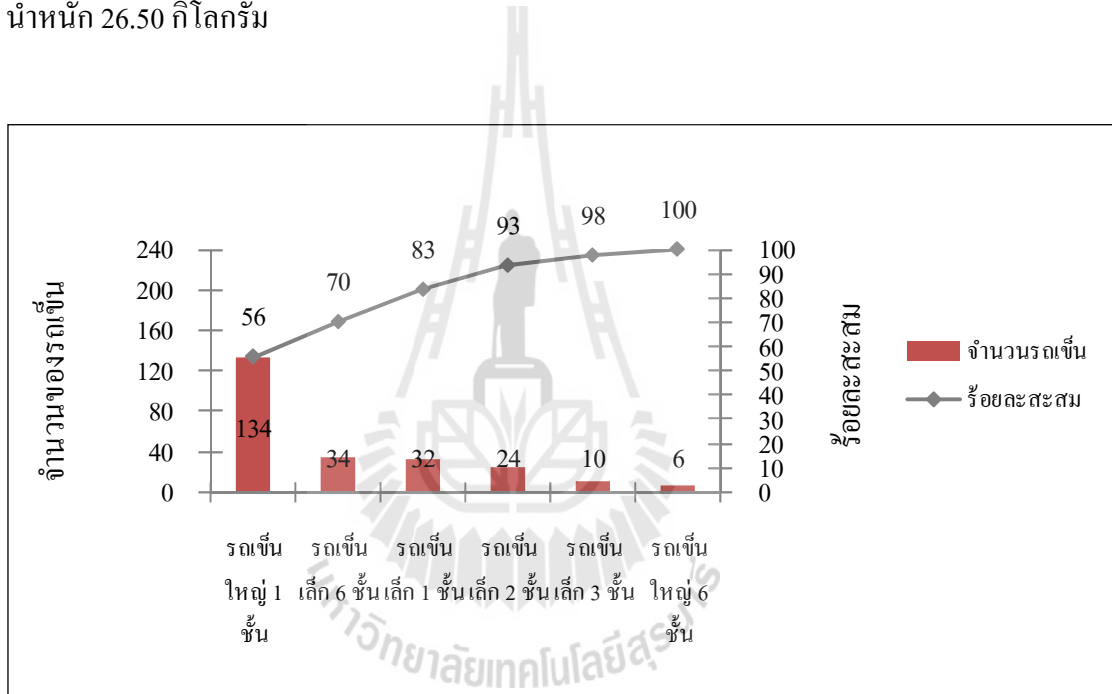


ภาคนวักฯ

การเลือกประเภทของรัตตน์ที่ใช้ในงานวิจัย

นักวิทยาลัยเทคโนโลยีสุรบารี

จากการสำรวจการปฏิบัติงานของพนักงานขนส่งในสายการผลิตสารคดิสก์ไคร์ฟ พบว่า มีการใช้งานรถเข็น 6 ประเภท ใน การขนย้ายผลิตภัณฑ์ สารคดิสก์ไคร์ฟ จากระบวนการผลิต ก่อนหน้าไปยังกระบวนการผลิตถัดไปในพื้นที่การผลิตดังนี้คือ (1) รถเข็นใหญ่ 1 ชั้น (2) รถเข็นใหญ่ 6 ชั้น (3) รถเข็นเล็ก 1 ชั้น (4) รถเข็นเล็ก 2 ชั้น (5) รถเข็นเล็ก 3 ชั้น และ (6) รถเข็นเล็ก 6 ชั้น โดยรถเข็นทั้งหมดเป็นรถเข็นประเภท 4 ล้อ มีขนาดสั้นส่วน ระดับความสูง และน้ำหนัก แตกต่างกัน จากการวิเคราะห์โดยใช้แผนภูมิพาราโตรดังแสดงในรูปที่ ง.1 จะได้ว่าในพื้นที่การผลิต มีการใช้งานรถเข็นใหญ่ 1 ชั้นมากที่สุดคือ 134 คัน ดังนั้นจึงเลือกศึกษาวิจัยค่าความสามารถในการ ออกรางสติจากระดับความสูงของรถเข็นดังกล่าว ที่มีระดับความสูง 85 เซนติเมตร และมี น้ำหนัก 26.50 กิโลกรัม



รูปที่ ง.1 แสดงการเลือกประเภทรถเข็นโดยแผนภูมิพาราโตร



ตารางที่ จ.1 ค่าความสามารถในการออกแบบดึงของผู้อุปกรณ์ทดสอบเพศชายในทำยืนปกติ

หมายเลข	ค่าความสามารถในการออกแบบดึงในทำยืนปกติ											
	รองเท้าปกติที่ใช้สวมใส่ขณะปฏิบัติงานจริง				รองเท้าปกติเพิ่มแผ่นเสริม				รองเท้าปกติเพิ่มหมอนรองส้นเท้า			
	ครั้งที่ 1		ครั้งที่ 2		ครั้งที่ 1		ครั้งที่ 2		ครั้งที่ 1		ครั้งที่ 2	
	Peak	Avg.	Peak	Avg.	Peak	Avg.	Peak	Avg.	Peak	Avg.	Peak	Avg.
1	10	9	10.7	9.8	12.9	11.3	13.5	11.7	16.6	13.6	17.5	13.6
2	11.8	11.6	10.7	10.2	16.4	15.9	15.6	15.2	14.7	14.3	15.1	14.5
3	11.8	10.3	11.6	10.7	9.8	9.1	9.5	8.6	7.8	7.3	8.2	7.7
4	12.5	12.1	13.3	12.7	16.6	15.8	16.5	15.9	14.7	13.7	13.9	13.5
5	15.6	15.2	15.3	15	20.5	19.4	20.3	19.6	23	22.3	23.8	22.7
6	18.2	16.7	18	15.5	18.8	18.3	18.4	17.9	15.8	14.8	15.3	14.8
7	11.3	10.9	11.4	10.7	12.1	11.8	12.3	11.6	16.5	16.2	15.9	15.8
8	13.7	12.4	14.3	12.6	11.4	10.1	11.5	10.5	9.6	8.9	11.7	8.9
9	12.1	11.3	11.1	10.7	13.5	12.9	13.4	12.4	12.1	10.9	12.5	10.8
10	14.6	13.9	14.9	14.4	12.1	11.5	12.9	11.8	12.8	10.9	13.1	11
11	19.7	18.1	20.7	18.7	20.7	17.8	19.1	16.5	27.6	26.5	27.2	25.3
12	6.4	6	6.8	6.4	8.7	8.4	8.3	7.4	8.2	6.6	8.6	6.7
13	15.1	14.5	16.7	15.8	19.1	18.2	18.8	17.9	21.8	20.7	24.8	20.1
14	12.6	11.9	12.7	12.3	13	12	13.2	12.7	10.3	10	10.7	10.3
15	14.8	12.6	12.6	11.8	14.4	12.3	13.5	12.2	10.6	9.3	10.9	9.1
16	12.5	11.9	12	11.5	11.9	11.3	12.6	12	12.1	10.7	11.2	10
17	11.8	11	12.3	11.8	10.5	8.9	10.3	8.1	14.4	13.1	14.2	13.4
18	9.3	8.5	8.3	7.7	10.2	9.5	10.4	9.2	11.9	10.1	12.3	9.6
19	25.4	23.5	24.4	23.2	33.4	26.3	39.5	26.3	27.2	24.4	25.9	24.6
20	14.2	12.8	13.4	12.7	14.5	12.8	13.5	12.6	12.6	11.5	12.4	11.5
21	7.9	6.5	7.2	5.4	7.4	5.9	7.2	6.5	7.9	7.3	7.6	6.8
22	7	6.7	7.5	6.2	8.7	7.9	8.8	8	7.5	7.2	7.7	7.3
23	9.1	8.7	9.8	8.9	7.6	7	7.5	6.9	7.3	6.9	7.9	7.4
24	13	12.6	12.9	12	11.8	10.8	11.3	8.9	13.2	11.9	14.3	12.6
25	7	6.5	10.1	8.8	9.5	8.5	12.4	9.6	12.7	11.7	13.1	12.1

ตารางที่ จ.2 ค่าความสามารถในการออกแรงดึงของผู้ถูกทดสอบเพศชายในท่ายืนเท้าเขียง

ขาย	ค่าความสามารถในการอักแรงดึงในท่ายืนเท้าเขียง											
	รองเท้าปกติที่ใช้สวมใส่ขณะปฏิบัติงานจริง				รองเท้าปกติเพิ่มแผ่นเสริมรองเท้าชนิดเรียบ				รองเท้าปกติเพิ่มหมอนรองส้นเท้า			
	ครั้งที่ 1		ครั้งที่ 2		ครั้งที่ 1		ครั้งที่ 2		ครั้งที่ 1		ครั้งที่ 2	
	Peak	Avg.	Peak	Avg.	Peak	Avg.	Peak	Avg.	Peak	Avg.	Peak	Avg.
1	13.2	12.6	13.7	13	13.9	13	13.9	12.7	19.6	18.5	18.9	18
2	14.3	13.7	13.5	13	17	15.8	16.6	15.9	15.1	13.9	15.3	14.4
3	19	18.1	19.6	18.9	22.4	21.6	22.2	21	21.6	19.7	20.8	19.1
4	22.3	21.5	23.5	22.2	27.9	27.1	27.8	26.7	25.6	24.7	25	24.2
5	20.1	19.2	21.6	19.6	22.8	22.2	22.6	21.8	27.1	26.1	27	25.9
6	18.2	17.7	18.2	16.9	20	19.1	19.4	18.7	20.1	19.3	20.6	19.8
7	19.6	18.8	19.8	19	19.1	18.8	19.7	18.9	20.1	19.8	21	19.9
8	20.4	17.9	21.6	17.9	13.7	12.4	14.4	12.9	15.2	14	15.2	14.6
9	15.4	14.8	16.3	15.6	20.1	15.4	16.4	15.3	21.5	20.4	21.1	19.6
10	21.8	20.9	21.4	20.7	19.8	17.8	19.5	18.2	16.7	15.9	17.9	16.2
11	31.5	27.2	29.3	27.2	34.8	32.6	34.1	31.8	30.3	28.1	30.1	28.4
12	9.4	9	9	8.6	14.1	13.4	13.5	12.9	14.1	13.6	15	13.8
13	28.3	27.5	28	26.4	28	26.4	28.2	25.9	32.9	30.2	32.5	30.7
14	22.7	21.5	22.3	20.8	20.6	20	20.7	20.2	21.2	20.8	20.5	19.2
15	27.1	25.7	27.6	25.6	33.4	29.2	28.7	28.4	24.1	23	23.2	21.5
16	22.3	18.8	18.7	18.3	19.4	18.5	19	18.1	24.6	18.1	26.7	18.8
17	24.9	23	24.2	23	22.9	21	21	21.5	25.5	24.6	23.2	21.8
18	16.8	14.9	15.5	14.8	18.3	16.6	17.5	16.5	17.4	16.2	18.3	16.4
19	32	30.1	32	30.3	40.8	35.6	37.8	36.1	33.2	31.7	35.2	32.9
20	16.3	15.4	16.2	15.5	16.1	15.1	15.4	14.6	18.7	16.4	17.6	15.8
21	10.1	8.6	10.8	8.9	10.8	9.5	11.5	9.1	13.3	12.8	13.6	12.8
22	15.2	14.5	16	15.1	18.3	18	18.8	17.3	19.9	19.3	20.2	19.9
23	18.5	18.1	18.6	18.1	18.3	17.6	17.6	17	17.3	16.8	16.9	16.4
24	22.9	21.8	21.8	21.4	22.4	21.1	21.3	20.4	24.7	22.6	23.9	22.4
25	19.3	17.4	18.9	16.5	22.7	22	20.2	18.9	16.2	13.8	15.4	13.9

ตารางที่ จ.3 ค่าความสามารถในการออกแบบดันของผู้ลูกทดสอบเพศชายในท่าเข็นปกติ

ขาย	ค่าความสามารถในการออกแบบดันในท่าเข็นปกติ											
	รองเท้าปกติที่ใช้สวมใส่ขณะปฏิบัติงานจริง				รองเท้าปกติเพิ่มแผ่นเสริม				รองเท้าปกติเพิ่มหมอนรองส้นเท้า			
	ครั้งที่ 1		ครั้งที่ 2		ครั้งที่ 1		ครั้งที่ 2		ครั้งที่ 1		ครั้งที่ 2	
	Peak	Avg.	Peak	Avg.	Peak	Avg.	Peak	Avg.	Peak	Avg.	Peak	Avg.
1	8.4	8.9	7.7	8.1	11.4	11.8	11.3	11.9	10.1	11	10.1	10.8
2	11.2	11.5	11	11.9	10.2	10.5	10.1	11.7	11.9	12.4	12.5	12.8
3	9.1	10.3	10	10.6	12.8	13.6	12.6	13.4	10	10.4	9	9.8
4	12.9	13.2	12.6	13	14	14.5	12.2	13.8	13	13.3	13.2	13.7
5	16.1	16.9	16.6	17.5	14.9	16.6	15.9	16.2	20.6	21.5	21.4	22.1
6	13.5	14.1	13.2	13.7	15	16.8	16.3	17.6	13	13.4	12.9	13.7
7	13.2	13.7	13	13.4	10.7	11	10.7	11	10.2	10.8	10.1	10.7
8	13.2	15	13.6	14.8	11	12.3	11.8	12.6	11.5	12.3	11.3	12.2
9	10.2	10.6	9.7	10.6	9.6	10.1	9.6	10	10.5	11.3	10.9	11.6
10	15.6	16.6	15	16.2	12.9	13.4	12.6	13.3	10.7	12	11	12.1
11	13.1	17.5	15.4	17.7	18.8	19.7	18.6	20.9	17.6	20	18	20.1
12	5.9	6.1	5.8	6	9.9	10.6	9.4	9.8	7.7	8.1	8	8.4
13	15.5	16.9	17	17.7	17.3	18.6	17.1	18.1	17.5	18.1	16.6	17.7
14	10.4	11	11.2	11.5	12.7	13.3	13.7	14.1	9.9	10.2	9.6	10.9
15	11.8	12.5	11.2	11.9	11.6	13.7	13.6	14.3	12.6	13.3	12.9	14.1
16	8.8	9.5	8.1	9.3	9.3	11.5	12.7	13	9.7	11.7	9.8	11.3
17	10.7	11.5	11.9	12.3	10.1	10.6	10.1	11.1	9.7	11.2	12	13.3
18	6.4	7	6.9	7.6	7.5	8.4	7.7	8.2	9	10.1	9.8	10.6
19	20.1	21.9	22	23.5	26.1	28.6	25.7	27.2	18.3	19.9	18.6	19.8
20	14.6	16.2	14.1	14.7	14.8	15.5	13.1	15	11.5	13	12	12.6
21	7.1	8.7	7.4	7.9	10.5	11.3	9.1	10.5	7.7	8	6.8	7.5
22	7.1	7.2	7.8	7.9	8.1	8.6	8.3	8.6	6.7	7.1	7.7	8
23	6	7.1	6.8	7.4	6.8	7.9	6.1	7.4	7.9	8.6	7.4	8.3
24	9.7	11.3	10.5	11.4	11	11.3	8.7	10.3	8.7	10.4	10.2	10.8
25	10	10.9	9.7	10.7	7.9	8.6	7.1	8.1	6.6	6.9	6.3	7.8

ตารางที่ จ.4 ค่าความสามารถในการออกแบบดันของผู้ลูกทดสอบเพศชายในท่าเข็นเท้าเยื่อง

ขาย	ค่าความสามารถในการออกแบบดันในท่าเข็นเท้าเยื่อง											
	รองเท้าปกติที่ใช้สวมใส่ขณะปฏิบัติงานจริง				รองเท้าปกติเพิ่มแผ่นเสริม				รองเท้าปกติเพิ่มหมอนรองส้นเท้า			
	ครั้งที่ 1		ครั้งที่ 2		ครั้งที่ 1		ครั้งที่ 2		ครั้งที่ 1		ครั้งที่ 2	
	Peak	Avg.	Peak	Avg.	Peak	Avg.	Peak	Avg.	Peak	Avg.	Peak	Avg.
1	14.9	15.7	14	15.5	14.1	13	13.7	12.9	18.9	19.5	19	19.7
2	16.4	17	15.5	16.1	18.8	19.5	19.1	19.6	17.1	17.7	17.9	18.1
3	18.7	20.2	19.5	20.6	22.4	23.5	21	23.5	18.4	19.2	18.7	19.3
4	24.7	25	24.4	25.7	26.5	27.1	26.1	26.8	25.5	26.4	25.4	26.4
5	21.6	23.1	22.1	23.4	19.8	20.3	19.3	20.2	25	25.9	25.2	26.6
6	22.8	23.8	22.2	22.8	21.6	22.3	21.7	22.3	23.3	24.9	23.1	23.7
7	21.1	22.1	20.7	21.3	21.6	22.4	21.7	23	20.3	21.6	19.9	20.9
8	20.1	22.7	19.8	22.1	17.8	19.8	17.7	19.6	16.6	17.9	16.5	18.2
9	14.7	15.2	14.7	15.5	14.9	15.6	14.2	14.8	12.9	14.1	13.2	14.1
10	18.9	19.9	18.8	19.6	15.4	16.3	14.5	16.3	16.4	17.5	17.1	19.3
11	33.2	35.4	33.5	35.6	29.4	33.9	32.9	35.2	28.5	32.2	28.1	32.8
12	12.8	13.5	13.6	14	14.7	15.3	14.4	15.7	15.3	15.8	15.2	15.9
13	21.5	26	25.3	26.7	21.8	28	22.4	27.8	27.8	28.9	27.8	28.7
14	21.4	22.1	19.1	20.4	17.6	19	18.6	19	17.2	18.8	17.8	18.5
15	16.8	18.9	17.5	19.5	20.7	22.8	18.7	20.6	25.7	27.1	25.3	29.3
16	20.6	21.7	20.1	22.3	21.3	22.6	22	23	18.3	20.7	20	22
17	17.1	18.2	16.3	18.4	18.3	19.2	17.5	18.5	17.7	20.3	20.6	22.5
18	13.1	14.4	12.6	14.2	14.8	16.2	13.9	14.4	14.4	15.7	15	16.6
19	20.8	22.4	17.6	22.8	30.7	34.1	33	35.2	21.3	23.2	22.6	24.9
20	18	19.4	18.6	20.5	14.7	16	14.9	16.2	18.5	19.2	18.2	19.8
21	12.6	13.2	12.7	14	14.6	15.6	14.6	16.3	13.1	14.1	13.8	14.3
22	15.1	15.7	14.9	15.2	16.5	17.7	16.7	17.6	19	19.8	17.8	18.7
23	20.2	21	19.1	20.4	18.9	19.5	19	19.6	16.9	18.7	16.7	17.9
24	13.5	14	13.9	14.9	18.1	19.1	17.6	18.4	10.6	13.2	12.7	13.3
25	17.5	18.5	18.3	19.5	13.9	15.2	17.6	18.3	11.2	12	11.8	12.9

ตารางที่ จ.5 ค่าความสามารถในการออกแบบดึงของผู้อุปกรณ์ทดสอบเพศหญิงในทำยืนปกติ

หมายเลข	ค่าความสามารถในการออกแบบดึงในทำยืนปกติ											
	รองเท้าปกติที่ใช้สวมใส่ขณะปฏิบัติงานจริง				รองเท้าปกติเพิ่มแผ่นเสริม				รองเท้าปกติเพิ่มหมอนรองส้นเท้า			
	ครั้งที่ 1		ครั้งที่ 2		ครั้งที่ 1		ครั้งที่ 2		ครั้งที่ 1		ครั้งที่ 2	
	Peak	Avg.	Peak	Avg.	Peak	Avg.	Peak	Avg.	Peak	Avg.	Peak	Avg.
1	12	11.2	12.6	11.6	14.7	14.3	15.9	14.5	17	16.3	17	16.2
2	4.9	4	5	4.7	7.9	7.6	7.2	7	7.6	7.3	7.3	6.3
3	10.8	10.3	11.5	11	13	12.7	14.5	13.6	12.2	11.7	11.6	10.9
4	10.2	9.6	10.2	9.4	11.8	10.6	11	10.7	11.1	10.3	12.3	11.5
5	10.4	8.6	10.6	9	10.5	10.2	10.4	10.1	9.7	9.5	9.2	8.9
6	11.9	11.1	11.8	11.1	7.9	7.5	8.7	7.3	7.2	7.5	7.3	7.7
7	7.2	6.9	7.7	6.8	7.5	6.9	7.5	6.1	8	6.8	6.8	6.1
8	9.7	9.4	9.6	9.2	13.1	12.3	12.1	11.3	13.3	12.7	13.9	13.4
9	6.7	6	6.3	5.4	6.8	6.2	7	5.9	6.2	5.8	7.1	6.8
10	7.7	7.3	7.3	6.9	13.1	12.6	13.5	12.8	13.8	12.2	11.9	11.6
11	12.9	11.5	11.2	10.6	11.2	10.5	11.9	10.9	11.7	10.8	12.4	10.8
12	10.5	10.1	9.9	9.4	11.8	11.4	11.8	11.5	12	11.5	11.4	10.9
13	6.1	5.8	6.7	5.1	8.6	7.7	8.3	7.5	10.9	10.1	10.1	9.5
14	6.8	5.6	6.5	5.6	6.6	6	5.6	5.4	7.2	5.3	8.4	6
15	10	9.6	9.2	9.9	12.9	12.1	13.6	12.9	12.1	11.2	13.4	12.2
16	7.2	6.4	5.7	5.3	6.9	6.1	6.6	6.2	8.2	7.5	6.6	6.1
17	6	4.7	5.4	4.8	9.4	7.6	9.3	8.3	9.9	9	11.1	9
18	8.1	7.4	8.5	7.8	7.2	6.6	7	6.6	7.3	5.7	7.2	6.7
19	8.1	7	7.7	6.9	7.7	7.4	8.9	8	10.5	9.8	9.9	9
20	7.1	6.6	6.4	6	5	4.4	5.5	5.1	6	5.6	5.5	5.2
21	9.7	9	10	9.5	10.5	10	11	10.1	11.5	10.8	12.6	11.7
22	10.9	10.6	9.2	8.8	7.3	6.8	7.8	7.3	8.6	8.3	8.2	7.9
23	6.6	6.3	6.2	6	7	6.6	6.5	6.3	7.6	6.8	6.4	6
24	9.6	9.4	9.3	9	5.6	5.4	6.1	5.6	9	8.8	9.2	8.8
25	5.2	4.9	5.8	5.3	6.9	6.7	6.6	6.2	9.7	9	9.9	8.9

ตารางที่ จ.6 ค่าความสามารถในการออกแบบดึงของผู้อุปกรณ์ทดสอบเพศหญิงในท่าขืนเท้าเขียง

หมายเลข	ค่าความสามารถในการออกแบบดึงในท่าขืนเท้าเขียง											
	รองเท้าปกติที่ใช้สวมใส่ขณะปฏิบัติงานจริง				รองเท้าปกติเพิ่มแผ่นเสริม				รองเท้าปกติเพิ่มหมอนรองส้นเท้า			
	ครั้งที่ 1		ครั้งที่ 2		ครั้งที่ 1		ครั้งที่ 2		ครั้งที่ 1		ครั้งที่ 2	
	Peak	Avg.	Peak	Avg.	Peak	Avg.	Peak	Avg.	Peak	Avg.	Peak	Avg.
1	13.8	13.2	14.1	13.7	19.9	17	19.6	17.1	17.2	16.8	18	17
2	8.6	7.8	8.9	8.1	8.9	8.5	8.5	7.8	8.5	7.7	9.1	8.6
3	14	13.7	13.8	13.2	17	16.6	16.2	15	14.1	13.1	15	13.3
4	10.2	9.8	11.5	10.8	11.6	10.9	11.4	10.3	12.5	11.5	12.2	11.3
5	11.5	11	11.5	11.5	11.9	11.5	11.4	10.9	12.8	12.3	12.2	11.6
6	13.1	12.7	13.7	12.3	8.3	8	8.6	8.1	10.3	9.9	9.9	9.1
7	9.6	9.1	10.5	9.9	8.6	6.9	8.2	7.7	9.4	8	8.8	7.7
8	12	10.2	12	11.6	19.5	17.4	17.5	17	19.3	19	19.2	18.2
9	7.5	7.1	7.4	6.8	7.9	7.3	7.3	6.7	8.4	8	11.5	10.9
10	13	11.6	13.2	12.2	15.2	14.5	14.9	14.3	15.5	14.3	15.3	14.6
11	20.8	19.7	22.3	20.6	16.5	14.5	16.1	14.2	25.3	22.8	23.9	22.3
12	13.3	14.8	14.5	14.2	16.4	14.7	15.8	15.3	15.3	14.9	16.2	15.2
13	13.4	12.2	13.8	12.8	12.1	11.2	11.9	10.9	16	14	15	14.2
14	13.8	12.1	15	12.7	13.7	12.6	15.4	11.8	13.2	11.6	13.6	12.1
15	14.2	14.2	14.9	14.3	16.9	16.3	16.7	15.3	18.9	17.8	18.1	17.1
16	13.5	12.7	13.3	11.8	14.3	13.4	16.7	13.5	12.2	10.8	11.4	10.3
17	17.2	16.3	16.4	15.5	17.7	16.5	18.1	16.9	18.4	17.3	18.5	16.6
18	13.8	13.4	14.4	13.7	12.4	11.7	12.7	11.9	10.8	10.3	11.1	10.6
19	11.7	10.3	11.7	10.1	17.1	15.8	17.9	16.3	18.2	17.1	18.8	17.9
20	16.8	14.1	15.6	14.7	13	11.9	12.1	11.3	10.8	10.4	11.2	10.1
21	17	16.7	17.4	16.7	18.6	15.7	16.8	15	17.2	15.8	16.5	15.3
22	11.6	11.3	10.7	10.3	10.5	10.1	11.3	10.8	12.3	11.4	12.8	12.1
23	13.2	12.7	12.9	11.9	8.6	8.3	9.5	8.9	10	9.3	10.2	9.5
24	12.1	11.4	11.9	11.5	10.1	9.8	10.2	9.8	12.9	12.1	11.7	11.1
25	7.9	7.2	7.3	6.6	9.8	9.3	9.4	8.9	11.4	11.1	13	11.6

ตารางที่ จ.7 ค่าความสามารถในการออกแบบดันของผู้ลูกทดสอบเพศหญิงในท่าเข็นปกติ

หญิง	ค่าความสามารถในการออกแบบดันในท่าเข็นปกติ											
	รองเท้าปกติที่ใช้สวมใส่ขณะปฏิบัติงานจริง				รองเท้าปกติเพิ่มแผ่นเสริม				รองเท้าปกติเพิ่มหมอนรองส้นเท้า			
	ครั้งที่ 1		ครั้งที่ 2		ครั้งที่ 1		ครั้งที่ 2		ครั้งที่ 1		ครั้งที่ 2	
	Peak	Avg.	Peak	Avg.	Peak	Avg.	Peak	Avg.	Peak	Avg.	Peak	Avg.
1	5.4	6.5	4.5	5.1	4.8	8.5	4.5	7.9	8.6	9.4	8.6	9.8
2	5.5	5.9	4.8	5.1	5.2	5.8	4	5	3.8	4.2	3.2	3.9
3	9.4	10.1	10	10.9	11	12.1	11.8	12.5	11.2	12	11.9	12.3
4	10	10.3	10.4	10.9	10.2	10.7	10.1	10.6	7.5	8.2	8.2	8.9
5	7.6	8	7.9	8.3	9.5	9.8	9.5	10.2	9.8	10.7	10.4	10.7
6	10.8	11.4	11.2	11.7	9.2	9.5	8.7	9.3	10.2	10.5	9.9	10.5
7	5.2	5.7	4.7	5.3	3.7	4.7	4.8	5.3	4.7	5.6	4.6	5.9
8	9.4	10.2	8.9	9.5	13.4	14	14.2	14.6	10.7	11.7	10.8	11.4
9	4.9	5.2	4.6	5	6	6.4	5.3	6.6	5.2	5.5	5.8	6.5
10	9.8	10.2	10.1	10.9	8.5	9.1	8.3	8.7	8.7	9	8.1	8.8
11	11.4	12	10.6	11.5	11.2	11.6	10.9	11.2	11.4	12.4	11.4	12.6
12	8.7	9	8.4	9.3	10.8	11.1	10.4	11	10.6	10.9	11.2	11.9
13	4.7	5.2	4.2	5.4	8	8.4	8.9	9.5	9.3	10.4	10	10.6
14	6	7.2	6.4	7.3	7.3	8.7	7.5	9	7.1	9.1	7.9	8.8
15	8.5	9.1	8.8	9.3	10.4	11.5	10.9	11.2	11.7	12.4	11	11.8
16	6.3	7.4	7.4	8.1	4.8	5.8	5.3	6.1	3.8	5.1	4.8	6.3
17	4.9	5.2	4.2	5.4	5.6	6.6	6	6.9	3.5	3.9	3.3	4.1
18	7	7.5	6.9	7.2	7	7.8	7.3	7.6	6.2	6.5	6.6	7.4
19	5.1	6.2	4.9	5.7	4.8	6.5	5.7	6.2	4.7	6.3	4.8	5.9
20	5.8	6.4	5.6	6.3	6.6	7.3	5.9	6.8	5.6	6.6	5.4	5.8
21	10	10.8	10	11	10.1	10.6	9.8	10.3	9.4	10	10.2	10.9
22	5.8	6.4	6.8	7.6	7.6	8.3	7.9	8.2	8.6	9.1	8.3	8.8
23	5.1	5.7	5.7	5.9	4.7	4.9	4.1	4.5	6.3	6.6	6.1	6.5
24	8	8.4	8.4	8.7	9.4	9.9	9.6	10	10.5	10.8	9.8	10.2
25	5.8	6	5.5	5.9	7.9	8.1	8.1	8.4	6.5	7.6	6	6.4

ตารางที่ จ.8 ค่าความสามารถในการออกแบบดันของผู้ลูกทดสอบเพศหญิงในท่าเข็นเท้าเยื่อง

หญิง	ค่าความสามารถในการออกแบบดันในท่าเข็นเท้าเยื่อง											
	รองเท้าปกติที่ใช้สวมใส่ขณะปฏิบัติงานจริง				รองเท้าปกติเพิ่มแผ่นเสริมรองเท้าชั้นดีเรียบ				รองเท้าปกติเพิ่มหมอนรองส้นเท้า			
	ครั้งที่ 1		ครั้งที่ 2		ครั้งที่ 1		ครั้งที่ 2		ครั้งที่ 1		ครั้งที่ 2	
	Peak	Avg.	Peak	Avg.	Peak	Avg.	Peak	Avg.	Peak	Avg.	Peak	Avg.
1	9	10.3	11.2	12.4	10.6	11.3	11.8	12.6	10.8	12.1	10	11.2
2	8.8	10.1	9.2	10.4	8.5	9.4	9.2	9.7	7.9	8.6	7.7	8.5
3	10.9	11.4	10.8	11.4	17.8	18.9	18.5	19.1	17.1	18	15.6	18
4	11.9	12.3	11.6	12.1	12.7	13.6	11.6	12.4	8.8	9.1	8.8	9.4
5	9.8	10.6	10.2	11.2	11.9	12.5	11.4	12.3	13.6	14.2	12.7	13.5
6	14.2	15.2	14.5	15.6	11.3	11.9	11.8	12.5	12	13.3	11.9	13.5
7	8.6	9.2	9.1	9.8	6.3	7	6.8	7.6	6.3	7.3	6.7	8.1
8	13.3	14	12.3	13.7	19.2	20.2	18.7	19.7	14.1	15.2	13.8	16.1
9	5.7	6.2	6.3	6.9	7.1	7.9	6.9	7.5	6.3	7.3	6.4	7.1
10	12.6	14	13.3	14.3	12.4	13.1	12.6	13.6	14.7	15.5	13.8	14.6
11	26.6	27.3	25	27.7	16.8	17.6	16.5	18.1	23.6	25.9	24.2	25.8
12	12	13.4	13.1	13.7	15.1	15.7	16.1	16.6	13	13.5	13	14.2
13	11.1	12.3	10.6	11.6	10.1	10.3	9.9	10.3	13.9	15.2	14.5	15.1
14	15.2	17.1	15.9	17.3	13.9	16.3	14.2	15.7	12.6	14	13.6	15.1
15	17.1	18.1	15.7	17.1	21.8	24.2	22.4	25.3	19.9	21.4	19.4	20.7
16	11.5	13.3	16	17.2	14	15.2	14.5	15.5	14.1	14.9	14.9	15.7
17	13.5	14.6	14	15.4	17.5	19.9	17.6	19.4	12.7	13.5	11.8	14.5
18	11.7	11.8	11.3	12.6	12.8	13.5	12.7	14	15.7	17.1	17.1	18
19	9.5	10.1	10.1	11	16.2	17.2	16.3	17.4	11.8	12.1	11.2	12.3
20	17.3	17.9	17.1	18	18.3	18.8	16.3	17.7	13.1	17.3	16.7	17.3
21	14.9	16.1	15.5	17	17.3	18.1	16.9	17.5	15.1	16.2	15	15.8
22	13.9	14.4	14.9	15.6	16	16.5	13	14.8	19	19.9	18.3	19.5
23	10.4	10.8	9.6	11	11.2	11.6	11.3	11.7	10.9	11.2	9.2	9.6
24	10.1	10.6	11.6	11.9	15.4	16	15.4	16.3	13.5	14.1	13.6	14.6
25	14.5	15.5	14	15.2	13.9	14.4	13.9	14.4	10.4	10.9	12.3	12.8

ภาคผนวก ฉ

แบบสอบถามความไม่สบายน้ำที่เกิดขึ้นบริเวณเท้าและ  
ระดับความพึงพอใจที่มีต่อรองเท้าปกติและรองเท้าที่มีอุปกรณ์เสริมรองเท้า

**คำชี้แจง :** แบบสอบถามเรื่องความไม่สบายที่เกิดขึ้นบริเวณเท้า และระดับความพึงพอใจที่มีต่อรองเท้าปักติและรองเท้าที่มีอุปกรณ์เสริมรองเท้าบนนี้ มีวัตถุประสงค์เพื่อรับรวมข้อมูลเกี่ยวกับผลของรองเท้าต่อความไม่สบายที่เกิดขึ้นบริเวณเท้าในขณะยืนและเดินระหว่างการปฏิบัติงาน ซึ่งข้อมูลของท่านจะเป็นประโยชน์อย่างยิ่งสำหรับงานวิจัยเรื่อง การใช้แรงและความไม่สบายที่เกิดขึ้นบริเวณเท้าของพนักงานขนส่ง

แบบสอบถามนี้มี 3 ตอน ดังนี้

ส่วนที่ 1: ข้อมูลคุณลักษณะทางกายภาพของผู้ถูกทดสอบ

ส่วนที่ 2: ข้อมูลความไม่สบายที่เกิดขึ้นบริเวณเท้า

ส่วนที่ 3: ข้อมูลระดับความพึงพอใจที่มีต่อรองเท้าปักติ และรองเท้าที่มีอุปกรณ์เสริมรองเท้า

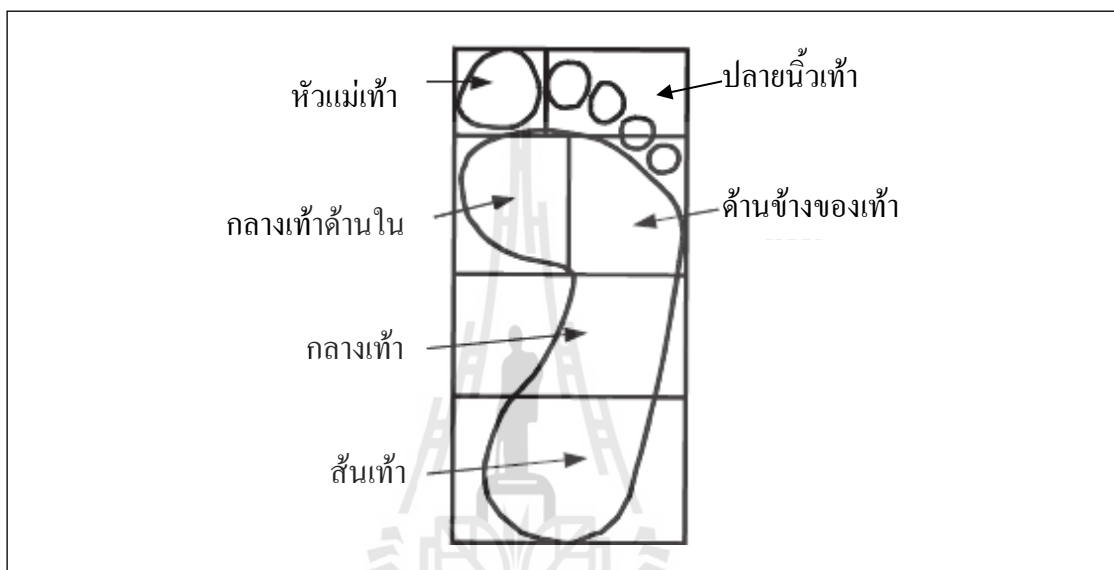
### ส่วนที่ 1 ข้อมูลคุณลักษณะทางกายภาพของผู้ถูกทดสอบ

รหัสผู้ตอบแบบสอบถาม _____ เพศ <input type="checkbox"/> ชาย <input type="checkbox"/> หญิง	
อายุ _____ ปี	
น้ำหนัก _____ กิโลกรัม	
ส่วนสูง _____ เซนติเมตร	
ประสบการณ์ทำงาน _____ ปี	
 <i>(สำหรับผู้วิจัยกรอกข้อมูล)</i>	
ความยาวเท้าด้านใน _____ เซนติเมตร	
ความยาวเท้าด้านนอก _____ เซนติเมตร	
ความกว้างเท้า _____ เซนติเมตร	
ความกว้างข้อเท้า _____ เซนติเมตร	
ความกว้างส้นเท้า _____ เซนติเมตร	
ความยาวรอบข้อเท้า _____ เซนติเมตร	

รูปที่ ฉ.1 แสดงข้อมูลคุณลักษณะทางกายภาพของผู้ถูกทดสอบ

## ส่วนที่ 2 ข้อมูลความไม่สบายที่เกิดขึ้นบริเวณเท้า

โดยทำการแบ่งพื้นที่บนฝ่าเท้าเป็น 6 ส่วนดังแสดงในภาพด้านล่าง โปรดระบุเครื่องหมาย✓ ลงในช่องของสเกล 1-5 โดย 1 = อาการปกติ 2 = มีอาการไม่สบายน้อย 3 = มีอาการไม่สบายปานกลาง 4 = มีอาการไม่สบายมาก 5 = มีอาการไม่สบายจนไม่สามารถเดินปฏิบัติงานได้ตามปกติ



รูปที่ ฉ.2 แสดงพื้นที่ส่วนต่าง ๆ บนพื้นฝ่าเท้าเพื่อใช้สำหรับประเมินระดับความไม่สบายบนฝ่าเท้า

ตารางที่ ฉ.1 อาการไม่สบายที่เกิดจากการสวมใส่รองเท้าปกติ

พื้นที่/ตำแหน่งบนฝ่าเท้า	อาการไม่สบายบนพื้นฝ่าเท้า				
	1	2	3	4	5
1) ส้นเท้า (Heel)					
2) กลางเท้า (Midfoot)					
3) กลางเท้าด้านใน (Medial forefoot)					
4) ด้านข้างของเท้า (Lateral forefoot)					
5) ปลายนิ้วเท้า (Toes)					
6) หัวแม่เท้า (Hallux)					

ตารางที่ ฉ.2 อาการไม่สบายที่เกิดจากการสวมใส่รองเท้าปกติที่มีการเพิ่มแผ่นเสริมรองเท้าชนิดเรียบ

พื้นที่/ตำแหน่งบนฝ่าเท้า	อาการไม่สบายบนพื้นฝ่าเท้า				
	1	2	3	4	5
1) ส้นเท้า (Heel)					
2) กลางเท้า (Midfoot)					
3) กลางเท้าด้านใน (Medial forefoot)					
4) ด้านข้างของเท้า (Lateral forefoot)					
5) ปลายนิ้วเท้า (Toes)					
6) หัวแม่มีเท้า (Hallux)					

ตารางที่ ฉ.3 อาการไม่สบายที่เกิดจากการสวมใส่รองเท้าปกติที่มีการเพิ่มหมอนรองส้นเท้า

พื้นที่/ตำแหน่งบนฝ่าเท้า	อาการไม่สบายบนพื้นฝ่าเท้า				
	1	2	3	4	5
1) ส้นเท้า (Heel)					
2) กลางเท้า (Midfoot)					
3) กลางเท้าด้านใน (Medial forefoot)					
4) ด้านข้างของเท้า (Lateral forefoot)					
5) ปลายนิ้วเท้า (Toes)					
6) หัวแม่มีเท้า (Hallux)					

เคยเป็นโรคจากการทำงานหรือไม่

ไม่เคย เคย โปรดระบุ \_\_\_\_\_

เคยได้รับบาดเจ็บหรืออุบัติเหตุจากการทำงานหรือไม่

ไม่เคย เคย โปรดระบุ \_\_\_\_\_

ปัจจุบันมีโรคประจำตัวนี้หรือไม่

ไม่มี มี โปรดระบุ \_\_\_\_\_

รูปที่ ฉ.3 แสดงข้อมูลสุขภาพร่างกายของผู้ถูกทดสอบ

**ส่วนที่ 3 ข้อมูลความพึงพอใจที่มีต่อรองเท้าปกติ และรองเท้าที่มีแผ่นเสริมรองเท้า**

โปรดระบุเครื่องหมาย ✓ ลงในช่องของสเกล 1-5 โดยกำหนดให้ 1 = พึงพอใจน้อยมาก  
2 = พึงพอใจน้อย 3 = พึงพอใจปานกลาง 4 = พึงพอใจมาก 5 = พึงพอใจมากที่สุด

**ตารางที่ ณ.4 ระดับความพึงพอใจที่มีต่อรองเท้าปกติที่ใช้สวมใส่ขณะปฏิบัติงานจริง**

รูปแบบ/คุณลักษณะ	ระดับของความพึงพอใจ				
	1	2	3	4	5
1) สวมใส่พอดีกับเท้า					
2) รู้สึกสบายบริเวณเท้า ฝ่าเท้า และนิ้วเท้า					
3) มีพื้นที่ให้นิ้วเท้าสามารถยับได้ทุกนิ้ว					
4) กันกระแทกบริเวณส้นเท้า และกลางบริเวณฝ่าเท้า					
5) ลดอาการปวดเมื่อยบริเวณส้นเท้า และฝ่าเท้า					
6) ถ่ายน้ำหนักจากส้นเท้าไปยังนิ้วเท้า และลดแรงที่ฝ่าเท้า					
7) พื้นรองเท้าไม่หนาหรือบางเกินไป					
8) พื้นรองเท้าด้านในนุ่ม					
9) ผิวรอบ ๆ ของรองเท้าด้านในนุ่ม สวยงามและส่วนใส่					
10) ส้นรองเท้าด้านในกว้างและนุ่ม					
11) ส่วนบริเวณส้นเท้ากระชับ ไม่หลุดหลวমขณะเดิน					
12) พื้นรองเท้าด้านในไม่ลื่นขณะเดิน					
13) พื้นรองเท้าด้านนอกไม่ลื่นขณะเดิน					
14) กระชับขณะเดิน					
15) นำหนักเบา					
16) ระยะอากาศดี ไม่ร้อนเท้าขณะสวมใส่					

ตารางที่ ณ.5 ระดับความพึงพอใจที่มีต่อองเท้าปกติที่เพิ่มแผ่นเสริมรองเท้าชนิดเรียบ  
ขณะใช้งานครั้งแรก

รูปแบบ/คุณลักษณะ	ระดับของความพึงพอใจ				
	1	2	3	4	5
1) สวมใส่พอดีกับเท้า					
2) รู้สึกสบายบริเวณเท้า ฝ่าเท้า และนิ้วเท้า					
3) มีพื้นที่ให้นิ้วเท้าสามารถยันได้ทุกนิ้ว					
4) กันกระแทกบริเวณส้นเท้า และกลางบริเวณฝ่าเท้า					
5) ลดอาการปวดเมื่อยบริเวณส้นเท้า และฝ่าเท้า					
6) ถ่ายน้ำหนักจากส้นเท้า ไปยังนิ้วเท้า และลดแรงที่ฝ่าเท้า					
7) พื้นรองเท้าไม่หนาหรือบางเกินไป					
8) พื้นรองเท้าด้านในนุ่ม					
9) ผิวรอบ ๆ ของรองเท้าด้านในนุ่ม สวยงามและส่วนใส่					
10) ส้นรองเท้าด้านในกว้างและนุ่ม					
11) ส่วนบริเวณส้นเท้ากระชับ ไม่หลุดหลวยขณะเดิน					
12) พื้นรองเท้าด้านในไม่ลื่นขณะเดิน					
13) พื้นรองเท้าด้านนอกไม่ลื่นขณะเดิน					
14) กระชับขณะเดิน					
15) น้ำหนักเบา					
16) ระบบอากาศดี ไม่ร้อนเท้าขณะใส่					

ตารางที่ ฉ.6 ระดับความพึงพอใจที่มีต่อรองเท้าปกติที่เพิ่มหมอนรองสันเท้าขณะใช้งานครั้งแรก

รูปแบบ/คุณลักษณะ	ระดับของความพึงพอใจ				
	1	2	3	4	5
1) สวมใส่พอดีกับเท้า					
2) รู้สึกสบายบริเวณเท้า ฝ่าเท้า และนิ้วเท้า					
3) มีพื้นที่ให้นิ้วเท้าสามารถยืดได้ทุกนิ้ว					
4) กันกระแทกบริเวณสันเท้า และกลางบริเวณฝ่าเท้า					
5) ลดอาการปวดเมื่อยบริเวณสันเท้า และฝ่าเท้า					
6) ถ่ายน้ำหนักจากสันเท้าไปยังนิ้วเท้า และลดแรงที่ฝ่าเท้า					
7) พื้นรองเท้าไม่หนาหรือบางเกินไป					
8) พื้นรองเท้าด้านในนุ่ม					
9) ผิวรอบ ๆ ของรองเท้าด้านในนุ่ม สนับขยันระหว่างส่วนใส่					
10) สันรองเท้าด้านในกว้างและนุ่ม					
11) ส่วนบริเวณสันเท้ากระชับ ไม่หลุดหลวยขณะเดิน					
12) พื้นรองเท้าด้านในไม่ลื่นขณะเดิน					
13) พื้นรองเท้าด้านนอกไม่ลื่นขณะเดิน					
14) กระชับขณะเดิน					
15) น้ำหนักเบา					
16) ระบบอากาศดี ไม่ร้อนเท้าขณะสวมใส่					

ตารางที่ ณ.7 ระดับความพึงพอใจที่มีต่อองเท้าปกติที่เพิ่มแผ่นเสริมรองเท้าชนิดเรียบ  
หลังจากใช้งานหนึ่งสัปดาห์

รูปแบบ/คุณลักษณะ	ระดับของความพึงพอใจ				
	1	2	3	4	5
1) สวมใส่พอดีกับเท้า					
2) รู้สึกสบายบริเวณเท้า ฝ่าเท้า และนิ้วเท้า					
3) มีพื้นที่ให้นิ้วเท้าสามารถยันได้ทุกนิ้ว					
4) กันกระแทกบริเวณส้นเท้า และกลางบริเวณฝ่าเท้า					
5) ลดอาการปวดเมื่อยบริเวณส้นเท้า และฝ่าเท้า					
6) ถ่ายน้ำหนักจากส้นเท้า ไปยังนิ้วเท้า และลดแรงที่ฝ่าเท้า					
7) พื้นรองเท้าไม่หนาหรือบางเกินไป					
8) พื้นรองเท้าด้านในนุ่ม					
9) ผิวรอบ ๆ ของรองเท้าด้านในนุ่ม สวยงามและส่วนใส่					
10) ส้นรองเท้าด้านในกว้างและนุ่ม					
11) ส่วนบริเวณส้นเท้ากระชับ ไม่หลุดหลวยขณะเดิน					
12) พื้นรองเท้าด้านในไม่ลื่นขณะเดิน					
13) พื้นรองเท้าด้านนอกไม่ลื่นขณะเดิน					
14) กระชับขณะเดิน					
15) น้ำหนักเบา					
16) ระบบอากาศดี ไม่ร้อนเท้าขณะใส่					

ตารางที่ ฉ.8 ระดับความพึงพอใจที่มีต่อองเท้าปกติที่เพิ่มหมอนรองสันเท้า  
หลังจากใช้งานหนึ่งสัปดาห์

รูปแบบ/คุณลักษณะ	ระดับของความพึงพอใจ				
	1	2	3	4	5
1) สวมใส่พอดีกับเท้า					
2) รู้สึกสบายบริเวณเท้า ฝ่าเท้า และนิ้วเท้า					
3) มีพื้นที่ให้นิ้วเท้าสามารถยับได้ทุกนิ้ว					
4) กันกระแทกบริเวณสันเท้า และกลางบริเวณฝ่าเท้า					
5) ลดอาการปวดเมื่อยบริเวณสันเท้า และฝ่าเท้า					
6) ถ่ายน้ำหนักจากสันเท้าไปยังนิ้วเท้า และลดแรงที่ฝ่าเท้า					
7) พื้นรองเท้าไม่หนาหรือบางเกินไป					
8) พื้นรองเท้าด้านในนุ่ม					
9) ผิวรอบ ๆ ของรองเท้าด้านในนุ่ม สวยงามและส่วนใส่					
10) สันรองเท้าด้านในกว้างและนุ่ม					
11) ส่วนบริเวณสันเท้ากระชับ ไม่หลุดหลวยขณะเดิน					
12) พื้นรองเท้าด้านในไม่ลื่นขณะเดิน					
13) พื้นรองเท้าด้านนอกไม่ลื่นขณะเดิน					
14) กระชับขณะเดิน					
15) น้ำหนักเบา					
16) ระบบอากาศดี ไม่ร้อนเท้าขณะใส่					

ข้อเสนอแนะ

---



---



---



---



---



---



---



---



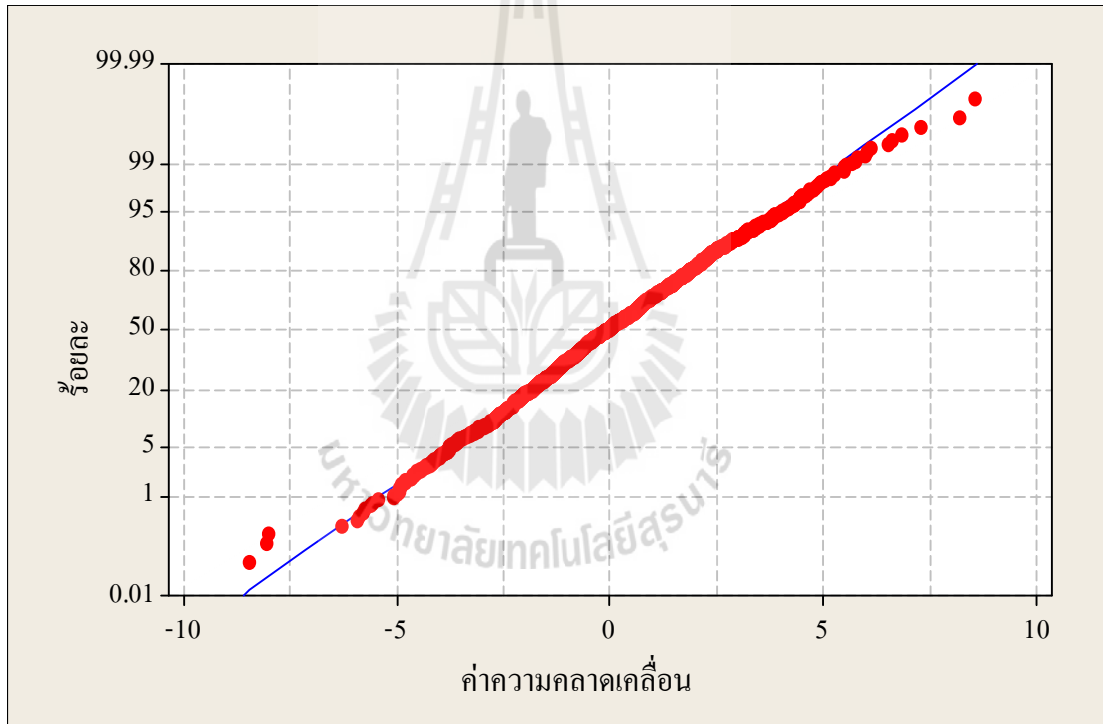
---



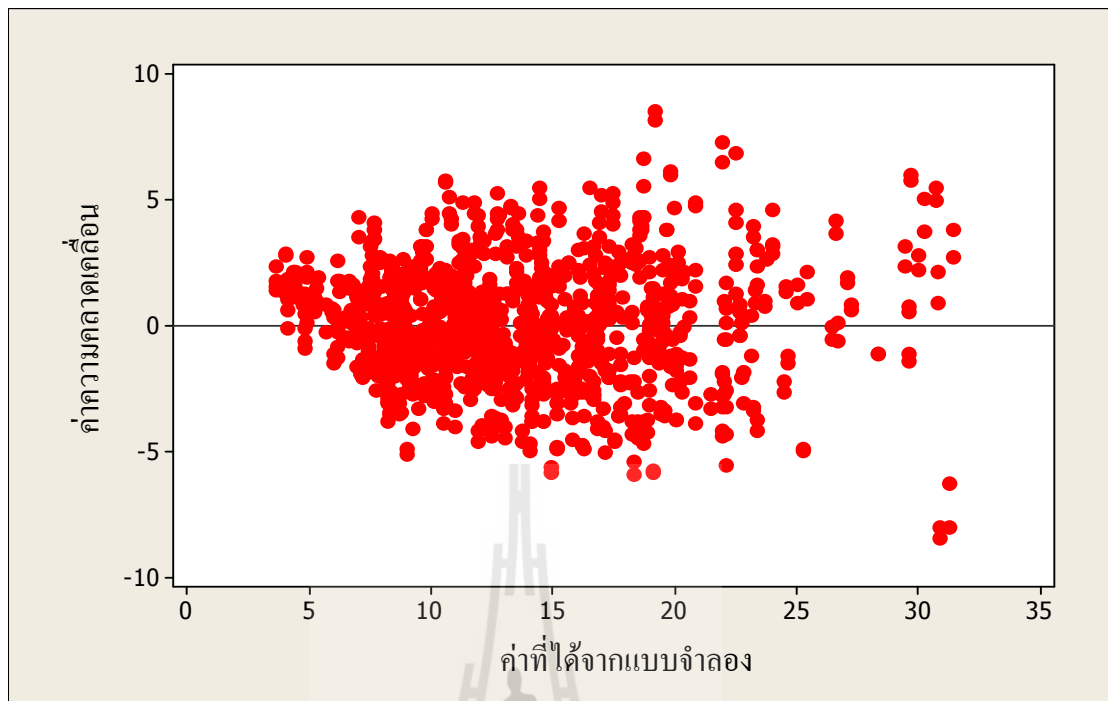
---



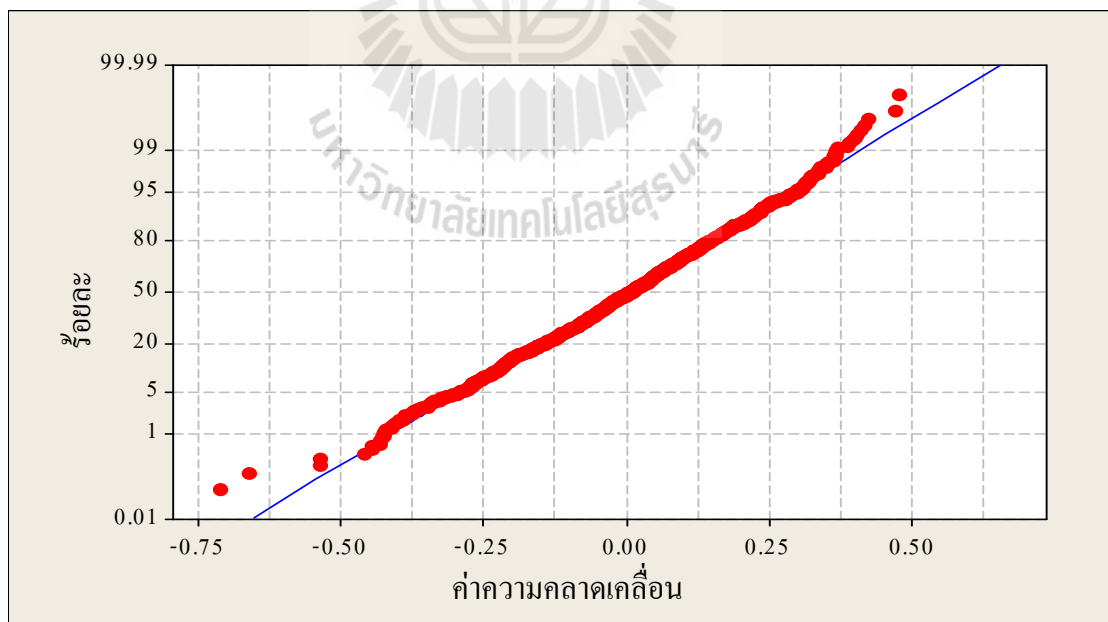
จากการวิเคราะห์ความแปรปรวนนั้นมีข้อสมมุติเบื้องต้นว่าความคลาดเคลื่อนมีการแจกแจงแบบปกติและความคลาดเคลื่อนมีค่าคงที่ เมื่อทำการตรวจสอบข้อมูลความสามารถในการออกแบบสอดคล้องตามข้อสมมุติเบื้องต้นดังกล่าวแล้ว พบร่วมกันว่าความคลาดเคลื่อนมีการแจกแจงแบบปกติตั้งรูปที่ ช.1 แต่ความสัมพันธ์ระหว่างค่าความคลาดเคลื่อนกับค่าที่ได้จากแบบจำลองซึ่งมีการรวมกันของจุดพล็อตที่ส่วนหนึ่งของกราฟดังรูปที่ ช.2 จึงต้องทำการแปลงข้อมูลเป็นค่าลอการิทึมธรรมชาติ ดังรูปที่ ช.3 และ ช.4 ตามลำดับ จากนั้นทำการตรวจสอบค่าข้อมูลที่ทำการแปลงแล้วพบว่า เป็นไปตามข้อสมมุติเบื้องต้น ดังนั้นผลการวิเคราะห์ความแปรปรวนของความสามารถในการออกแบบสอดคล้องพนักงานขนส่งในสายการผลิตหาร์ดดิสก์ไดร์ฟเป็นผลที่เกิดขึ้นจากข้อมูลที่เป็นค่าลอการิทึมธรรมชาติ



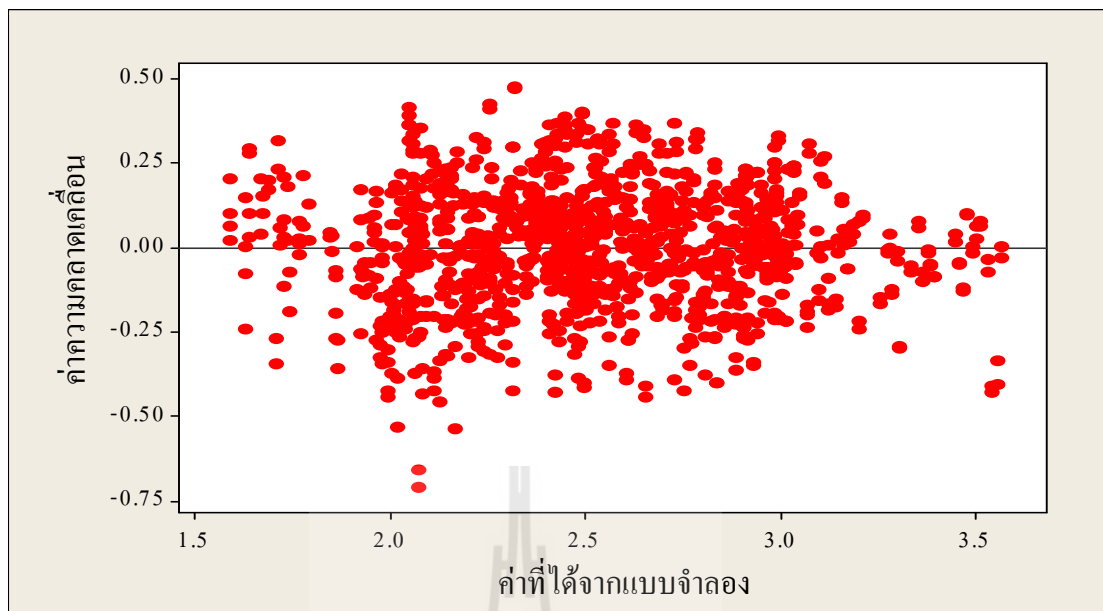
รูปที่ ช.1 การพล็อตความน่าจะเป็นของค่าความคลาดเคลื่อนที่มีการแจกแจงแบบปกติ



รูปที่ ช.2 ความสัมพันธ์ระหว่างค่าความคลาดเคลื่อนกับค่าที่ได้จากแบบจำลอง



รูปที่ ช.3 การพลีอตความน่าจะเป็นของค่าความคลาดเคลื่อนที่มีการแจกแจงแบบปกติจากการแปลงข้อมูลเป็นล็อการิทึมธรรมชาติ



รูปที่ ช.4 ความสัมพันธ์ระหว่างค่าความคลาดเคลื่อนกับค่าที่ได้จากแบบจำลองจากการแปลงข้อมูลเป็นลอกการวิ่งธรรมชาติ

ผลของการเปรียบเทียบผลต่างระหว่างค่าเฉลี่ยของแต่ละระดับปัจจัยของแต่ละแหล่งความแปรปรวนที่มีผลต่อความสามารถในการออกแรงสูง โดยใช้วิธีการทดสอบของ Tukey ที่ระดับความเชื่อมั่น 95 เปอร์เซ็นต์ หรือระดับนัยสำคัญ 0.05 ดังต่อไปนี้

### 1) ทิศของแรง

ผลต่างระหว่างค่าเฉลี่ยของความสามารถในการอักแรงดึงกับแรงดัน					
ค่าล่าง	ค่ากลาง	ค่าบน	-----+-----+-----	-----+-----+-----	-----+-----+-----
0.02725	0.04774	0.06822	(-----*-----)	-----+-----+-----	-----+-----+-----
			0.036	0.048	0.060
ความแตกต่างของค่าเฉลี่ย	SE ของความแตกต่าง	ค่าที (T-value)	ค่าพี (P-value)		
0.04774	0.01044	4.571	0.0000		

รูปที่ ช.5 ผลการเปรียบเทียบผลต่างระหว่างค่าเฉลี่ยของปัจจัยกีวากับทิศของแรง

2) ท่าเข็น

ผลต่างระหว่างค่าเฉลี่ยของความสามารถในการออกแบบท่าเข็นปกติกับท่าเข็นเท้าเขียงกัน					
ค่าล่าง	ค่ากลาง	ค่าบน	-----+-----+-----+-----		
0.4560	0.4765	0.4970	(-----*-----)		
			-----+-----+-----+-----		
			0.456	0.468	0.480
ความแตกต่างของค่าเฉลี่ย	SE ของความแตกต่าง	ค่าที (T-value)	ค่าพี (P-value)	0.492	
0.4765	0.01044	45.63	0.0000		

รูปที่ ช.6 ผลการเปรียบเทียบผลต่างระหว่างค่าเฉลี่ยของปัจจัยเกี่ยวกับท่าเข็น

3) เพศ

ผลต่างระหว่างค่าเฉลี่ยของความสามารถในการออกแบบเพศชายกับเพศหญิง					
ค่าล่าง	ค่ากลาง	ค่าบน	-----+-----+-----+-----		
-0.4062	-0.3857	-0.3652	(-*-)		
			-----+-----+-----+-----		
			-0.36	-0.24	-0.12
ความแตกต่างของค่าเฉลี่ย	SE ของความแตกต่าง	ค่าที (T-value)	ค่าพี (P-value)	0.00	
-0.3857	0.01044	-36.94	0.0000		

รูปที่ ช.7 ผลการเปรียบเทียบผลต่างระหว่างค่าเฉลี่ยของปัจจัยเกี่ยวกับเพศ

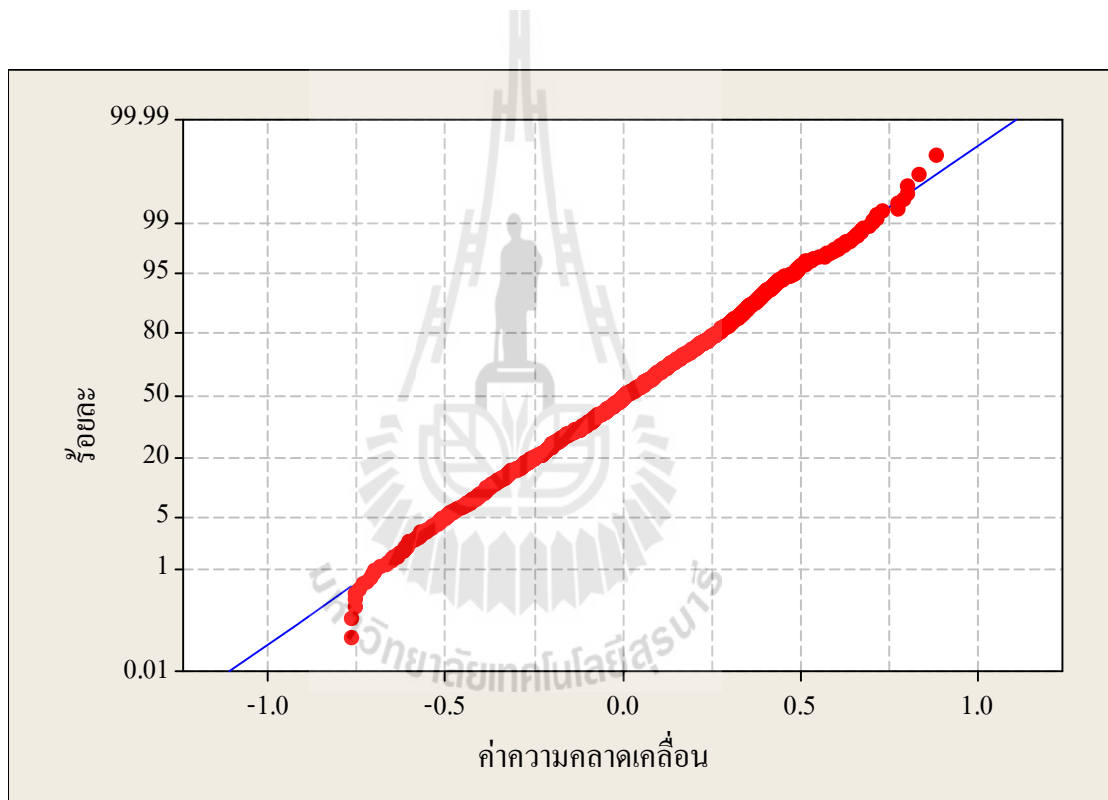
## 4) รองเท้า

ผลต่างระหว่างค่าเฉลี่ยของความสามารถในการออกแรง โดยใช้รองเท้าปกติกับ:						
รองเท้า	ค่าล่าง	ค่ากลาง	ค่าบน			
มีแผ่นเสริมชนิดเรียบ	0.02729	0.05722	0.08716		(-----*-----)	
มีหมอนรองสันเท้า	0.03110	0.06103	0.09097		(-----*-----)	
				-----+-----+-----		
				0.000	0.035	0.070
รองเท้า	ความแตกต่างของค่าเฉลี่ย SE ของความแตกต่าง			ค่าที่	ค่าพี	
มีแผ่นเสริมชนิดเรียบ	0.05722			0.01279	4.474	0.0000
มีหมอนรองสันเท้า	0.06103			0.01279	4.772	0.0000
ผลต่างระหว่างค่าเฉลี่ยของความสามารถในการออกแรง โดยใช้รองเท้ามีแผ่นเสริมชนิดเรียบกับ:						
รองเท้า	ค่าล่าง	ค่ากลาง	ค่าบน			
มีหมอนรองสันเท้า	-0.02612	0.003809	0.03374		(-----*-----)	
				-----+-----+-----		
				0.000	0.035	0.070
รองเท้า	ความแตกต่างของค่าเฉลี่ย SE ของความแตกต่าง			ค่าที่	ค่าพี	
มีหมอนรองสันเท้า	0.003809			0.01279	0.2978	0.9523

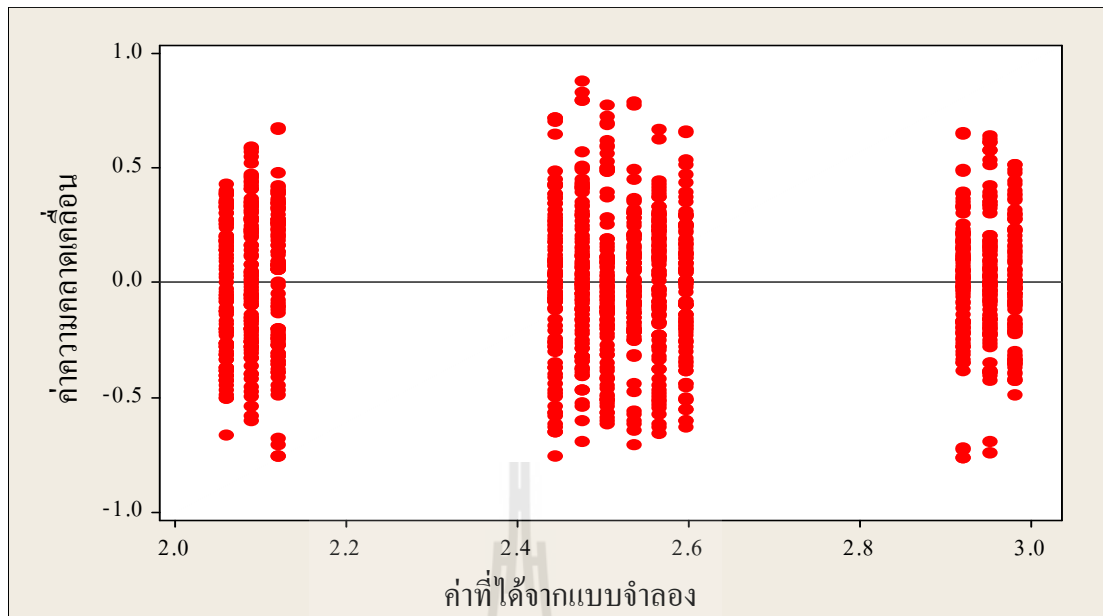
รูปที่ ช.8 ผลการเปรียบเทียบผลต่างระหว่างค่าเฉลี่ยของปัจจัยเกี่ยวกับรองเท้า



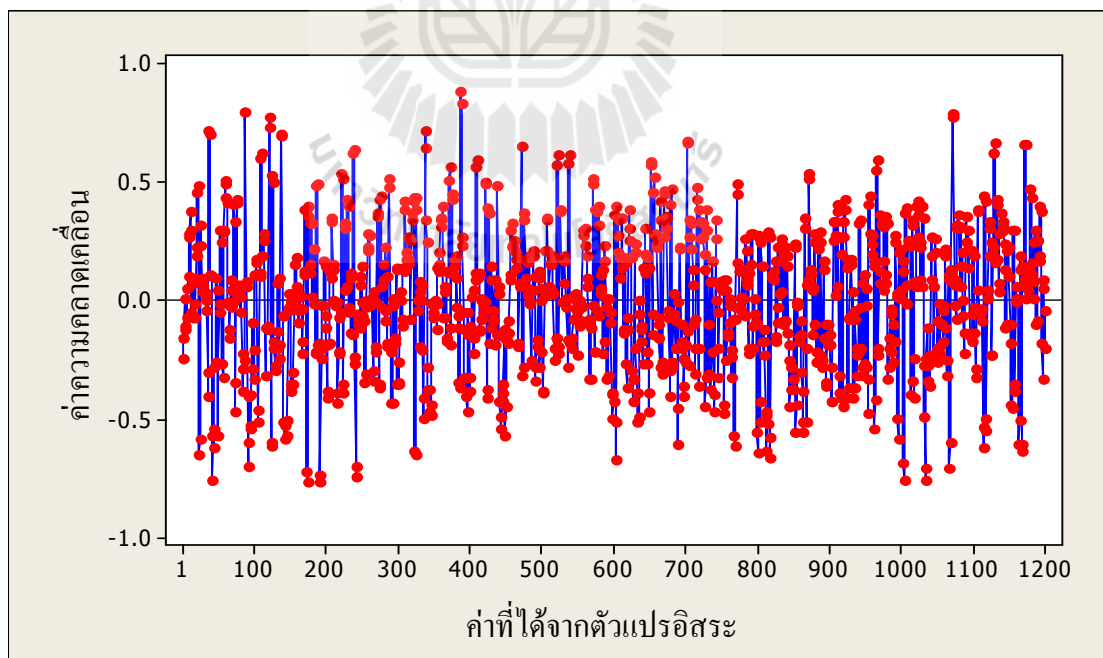
ในการทดสอบข้อสมมุติเบื้องต้นใช้หลักการเดียวกับการใช้วิธีการวิเคราะห์ความแปรปรวน ดังกราฟในรูปที่ ๗.๑ รูปที่ ๗.๒ และ ๗.๓ ตามลำดับ จากรูปที่ ๗.๑ สังเกตเห็นว่ากราฟความน่าจะเป็นของค่าความคลาดเคลื่อนที่มีการแจกแจงแบบปกติมีลักษณะเป็นเส้นตรง จากนั้นพิจารณารูปที่ ๗.๒ ซึ่งเป็นความสัมพันธ์ระหว่างค่าความคลาดเคลื่อนกับค่าที่ได้จากแบบจำลองพบว่าจุดกระจายรอบศูนย์อย่างสมดุลและความกว้างของແບນคงที่ กราฟมีการกระจายเป็นแบบสุ่มแสดงถึงความเป็นอิสระต่อกันของค่าความคลาดเคลื่อน นอกจากนี้ความสัมพันธ์ระหว่างค่าความคลาดเคลื่อนกับค่าที่ได้จากตัวแปรอิสระดังรูปที่ ๗.๓ ยังไม่มีรูปแบบที่ชัดเจน แสดงว่าสมการถดถอยที่ใช้มีรูปแบบเหมือนสาม



รูปที่ ๗.๑ การพล็อตความน่าจะเป็นของค่าความคลาดเคลื่อนที่มีการแจกแจงแบบปกติจากการแปลงข้อมูลเป็นลอกการทึบธรรมชาติ



รูปที่ ๒. ความสัมพันธ์ระหว่างค่าความคลาดเคลื่อนกับค่าที่ได้จากแบบจำลอง  
จากการแปลงข้อมูลเป็นลอกการิทึมธรรมชาติ



รูปที่ ๓. ความสัมพันธ์ระหว่างค่าความคลาดเคลื่อนกับค่าที่ได้จากตัวแปรอิสระ

เพื่อทดสอบความแม่นยำของการประมาณค่าความสามารถในการออกแบบสิ่งที่มีส่วนค่าความสามารถในการออกแบบของผู้ทดสอบจำนวน 40 คน มาใช้ในการสร้างสมการทดแทนของความสัมพันธ์ระหว่างแรงกับลักษณะรองเท้าที่ส่วนใหญ่จะออกแรง สมการที่ได้คือ ค่าความสามารถในการออกแบบ =  $2.4649 - 0.4405 \text{ เพศ} + 0.0330 \text{ รองเท้า} + 0.4555 \text{ ท่าขึ้น }$  จากนั้นนำค่าความสามารถในการออกแบบของผู้ทดสอบอีก 10 คน มาเปรียบเทียบกับค่าประมาณที่ได้จากสมการทดแทน ตัวอย่างดังแสดงในตารางที่ ช.1 พบว่าค่าประมาณของความสามารถในการออกแบบสิ่งที่มีส่วนค่าความสามารถในการออกแบบมีค่าใกล้เคียงกับค่าแรงสิ่งที่เปล่งเป็นผลการที่มีธรรมชาติ ค่าความสามารถในการออกแบบได้จากค่าของตัวแปรต่อไปนี้

- เพศ      1 = เพศชาย  
                2 = เพศหญิง
- รองเท้า    1 = รองเท้าปกติที่สวมใส่ปฏิบัติงานจริง  
                2 = รองเท้าปกติที่เพิ่มแผ่นเสริมรองเท้าชนิดเรียบ  
                3 = รองเท้าปกติที่เพิ่มหมอนรองสันเท้า
- ท่าขึ้น    1 = ท่าขึ้นปกติ  
                2 = ท่าขึ้นเท้าเอียง

ตารางที่ ช.1 ตัวอย่างการประมาณค่าความสามารถในการออกแบบสิ่งของผู้ทดสอบ

ลำดับที่	เพศ	รองเท้า	ท่าขึ้น	ค่าแรงสิ่งที่เปล่งเป็นผลการที่มีธรรมชาติ	ค่าประมาณจากสมการค่าความสามารถในการออกแบบ
1	1	1	1	1.8718	2.5129
2	1	2	1	2.0669	2.5459
3	1	3	1	1.9315	2.5789
4	1	1	2	3.0819	2.9684
5	1	2	2	3.0910	3.0014
6	2	1	1	2.1972	2.0724
7	2	2	1	1.9169	2.1054
8	2	3	1	1.9169	2.1384
9	2	1	2	2.4336	2.5279
10	2	2	2	2.2300	2.5609

ภาคผนวก ๗

รายชื่อนักวิชาการที่ได้รับการตีพิมพ์เผยแพร่

มหาวิทยาลัยเทคโนโลยีสุรินทร์

## รายชื่อบทความวิชาการที่ได้รับการตีพิมพ์เผยแพร่

พรศิริ จงกล ชีรศักดิ์ ทองสัมฤทธิ์ และวรรณนิศา นุชคุ่ม. (2554). การวิเคราะห์งานและการจัดสรร พนักงานขนส่งในสายการผลิตหาร์ดิสก์ไดร์ฟ. วารสารวิทยาศาสตร์และเทคโนโลยี มหาวิทยาลัยอุบลราชธานี. ปีที่ 13 ฉบับที่ 2.

พรศิริ จงกล ชีรศักดิ์ ทองสัมฤทธิ์ และวรรณนิศา นุชคุ่ม. (2554). การวิเคราะห์และการจัดสรรพนักงาน ขนส่งในสายการผลิตให้เหมาะสม. วิศวกรรมสารเคมีบัณฑิต มหาวิทยาลัยเคมีบัณฑิต. ปีที่ 1 ฉบับที่ 1.

พรศิริ จงกล และชีรศักดิ์ ทองสัมฤทธิ์. (2553). การประเมินภาระงานของพนักงานขนส่ง ในสายการผลิตหาร์ดิสก์ไดร์ฟ. การประชุมวิชาการข่ายงานวิศวกรรมอุตสาหการ 2553. 13-15 ตุลาคม. โรงแรมสุนីย์แกรนด์ แอนด์ คอนเวนชันเซ็นเตอร์ จังหวัดอุบลราชธานี.

ยศวริศ พลเสน ชีรศักดิ์ ทองสัมฤทธิ์ จาเรพงษ์ บรรเทา และพงษ์ชัย จิตตะมัย. (2553). การปรับปรุง การจัดเส้นทางเก็บขยะมูลฝอยขององค์การบริหารส่วนท้องถิ่น. การประชุมวิชาการข่ายงาน วิศวกรรมอุตสาหการ 2553. 13-15 ตุลาคม. โรงแรมสุนីย์แกรนด์ แอนด์ คอนเวนชันเซ็นเตอร์ จังหวัดอุบลราชธานี.

พรศิริ จงกล วรรณนิศา นุชคุ่ม และชีรศักดิ์ ทองสัมฤทธิ์. (2553). การจัดสรรพนักงานขนส่ง ในสายการผลิตหาร์ดิสก์ไดร์ฟโดยใช้วิธีการวัดงาน. การประชุมวิชาการระดับชาติ มหาวิทยาลัยราชภัฏกู้เมืองภูมิภาคตะวันตก ครั้งที่ 1. 13-14 พฤษภาคม. อาคารศูนย์ภาษาและ คอมพิวเตอร์ มหาวิทยาลัยราชภัฏหมู่บ้านจอมบึง.

Jongkol, P., Thongsumrit, T., and Nutkhum, W. (2010). **Assessment of Discomfort in Checkstand Cashiers.** First Southeast Asian Network of Ergonomics Societies Conference. December 14-17, 2010. Marco Polo Hotel, Cebu City, Philippines.

Jongkol, P., Nutkhum, W., and Thongsumrit, T. (2010). **Work Analysis of Transportation Operators.** First Southeast Asian Network of Ergonomics Societies Conference. December 14-17, 2010. Marco Polo Hotel, Cebu City, Philippines.



เอกสารรับรองโครงการวิจัยในมนุษย์  
คณะกรรมการจิรยธรรมการวิจัยในมนุษย์  
ขอรับรองว่า

โครงการ การใช้แรงและความไม่สบายบวีเวณเท้าของพนักงานขนส่ง

โครงการเลขที่ของผลิตภัณฑ์ทางการแพทย์ —

ชื่อหัวหน้าโครงการ นายวีรศักดิ์ ทองสัมฤทธิ์

สังกัด สาขาวิชาบริการมลฑลสถาหาการ สำนักวิชาบริการศาสตร์

โครงการได้มาตรฐานทางวิชาการ ไม่ขัดต่อหลักจริยธรรมสากล และเป็นไปตามคำประการเหลือเชิงกิ

จึงเห็นสมควรให้ดำเนินการวิจัยในขอบข่ายของโครงการที่เสนอได้ ณ วันที่ 13 มกราคม 2554

ลงชื่อ... พล. กต. อ. บ. บ.

(แพทย์หญิงพยอม บูรณสิน)

ประธานคณะกรรมการจิรยธรรมการวิจัยในมนุษย์

มหาวิทยาลัยเทคโนโลยีสุรนารี

ใบรับรองมีระยะเวลา 1 ปีหลังจากวันที่อนุมัติ

คณะกรรมการจิรยธรรมการวิจัยในมนุษย์ มหาวิทยาลัยเทคโนโลยีสุรนารี

สำนักงาน : สถาบันวิจัยและพัฒนา มหาวิทยาลัยเทคโนโลยีสุรนารี

โทรศัพท์/โทรสาร 0-4422-4750



แบบแจ้งผลการพิจารณาผลงานทางวิชาการ เพื่อตีพิมพ์เผยแพร่ใน

วารสารวิทยาศาสตร์ และเทคโนโลยี มหาวิทยาลัยอุบลราชธานี

**Journal of Science & Technology, Ubon Ratchathani University**

วันที่ 17 ก.พ. 2554

ตามที่ ผศ.ดร.พรศิริ จงกล ได้ส่งผลงานทางวิชาการ เรื่อง “การวิเคราะห์งานและการจัดสรรงานงานขั้นล่างในสายการผลิตอาชาร์ดติสก์ไดร์ฟ” เพื่อตีพิมพ์เผยแพร่ในวารสารวิทยาศาสตร์และเทคโนโลยี มหาวิทยาลัยอุบลราชธานี นั้น

มหาวิทยาลัยอุบลราชธานี ได้พิจารณาคำขอตีพิมพ์เผยแพร่ในวารสารวิทยาศาสตร์และเทคโนโลยี มหาวิทยาลัยอุบลราชธานี ปีที่ 13 ฉบับที่ 2 พฤษภาคม – สิงหาคม พ.ศ.2554

(ผศ.ดร.ศิริพร จึงสุทธิวงศ์)

ผู้ช่วยอธิการบดีฝ่ายวิจัย

**การวิเคราะห์งานและการจัดสรรพนักงานขนส่งในสายการผลิตอาร์ดิสก์ไดร์ฟ**  
**Work Analysis and Allocation of Transportation Operators**  
**in Hard Disk Drive Production Line**

พรศิริ จงกล\*, ธีระตักษ์ ทองสัมฤทธิ์ และวรรรณ์ นาคุ่ม  
 สาขาวิชาชีวกรรมอุตสาหการ สำนักวิชาวิศวกรรมศาสตร์ มหาวิทยาลัยเทคโนโลยีสุรนารี  
 111 ถนนมหาวิทยาลัย อำเภอเมือง จังหวัดนครราชสีมา 30000

\*E-mail: pornsiri@sut.ac.th

**บทคัดย่อ**

การปรับปรุงผลิตภาพ เป็นกลยุทธ์หลักที่ใช้ในการเพิ่มศักยภาพสำหรับการแข่งขันในตลาดโลก จากการศึกษา การทำงานของพนักงานขนส่งในสายการผลิตอาร์ดิสก์ไดร์ฟ พบร่วมจำนวนพนักงานขนส่งไม่เหมาะสมกับภาระงานที่ได้รับมอบหมาย ทำให้พนักงานขนส่งมีเวลาว่างที่เกิดจากการรอคอย วัตถุประสงค์ของการศึกษารั้งนี้ คือ 1) เพื่อกำหนดจำนวนพนักงานขนส่งในสายการผลิตอาร์ดิสก์ไดร์ฟที่เหมาะสมที่สุด และ 2) เพื่อวัดความสามารถในการออกแบบและแรงดันสถิติของพนักงานขนส่งในสายการผลิตอาร์ดิสก์ไดร์ฟ ในการแก้ปัญหาเรื่องจำนวนพนักงานทำได้โดยใช้การศึกษาการทำงาน กำหนดงานย่อยของพนักงานขนส่ง ระยะเวลาการขนส่ง เวลาในการขนส่ง และคำนวณเวลา มาตรฐานในการทำงานของพนักงาน จำนวนนั้นจึงคำนวณจำนวนพนักงานขนส่งน้อยที่สุดที่สามารถรับภาระงานได้มากที่สุด โดยพิจารณาจากค่าความสามารถ ทำให้ลดจำนวนพนักงานขนส่งลงได้ 3 คนต่อกะ หรือ 6 คนต่อวัน ซึ่งเป็นการเพิ่มผลิตภัณฑ์การทำงานของพนักงานขนส่งได้ 37.5 % ในส่วนของการประเมินความสามารถในการออกแบบและแรงดันสถิติของพนักงานขนส่ง เป็นการวัดความสามารถของภาระงานการเคลื่อนย้ายของรถเข็นและอาร์ดิสก์ไดร์ฟโดยใช้เครื่องชั่งสปริงวัดค่าแรงในขณะที่รถเข็นเคลื่อนที่ และวัดความสามารถในการออกแบบโดยใช้เครื่องมือวัดแรงและแรงดันสถิติของพนักงานขนส่งจำนวน 39 คน ผู้ชาย 21 คนและผู้หญิง 18 คน ผลจากการเก็บข้อมูลพบว่าความสามารถในการออกแบบและแรงดันสถิติสูงสุดของพนักงานผู้ชายเท่ากับ 16.23 และ 15.40 กิโลกรัม และค่าดั้งกล่าวของพนักงานผู้หญิงเท่ากับ 10.97 และ 8.37 กิโลกรัม ตามลำดับ ผลที่ได้จากการวิจัยนี้สรุปได้ว่าการวัดงานจึงเป็นเครื่องมือหนึ่งที่ใช้ในการประเมินประสิทธิภาพการทำงานของพนักงานขนส่งได้

**คำสำคัญ :** การวัดงาน, การศึกษาการทำงาน, การทำงานขนส่ง, ค่าเฉลี่อ, เวลามาตรฐาน, การออกแบบ, ความสามารถในการออกแบบของมนุษย์, ความสามารถในการออกแบบสูงสุดเท่าที่มนุษย์จะกระทำได้โดยสมัครใจ

**Abstract**

Productivity improvement is necessary as a major strategy to remain competitive in a global market. Utilization of transportation operator was studied in a hard disk drive manufacturer. The problem found was an inappropriate number of transportation operators. The objectives of this study were to determine the optimal number of transportation operators in hard disk drive manufacturing processes and to measure static push and pull strengths of transportation operators. To solve a problem of optimal number of operators, work study was conducted. Work elements of transportation operation were identified. Traveling distances were measured using a measuring tape, whereas transportation time was measured using stopwatches. Then, standard time was determined. Finally, the minimum number of transportation operators was calculated using the standard time. The number of operators could be decreased 3 operators per shift or 6 operators per day. This results in 37.5% productivity improvement. Pull and push strengths were measured using a static strength measurement system.

There were 39 subjects in this study (21 males and 18 females). Pull and push strengths were exerted at the handle height of the wagon. The mean, standard deviation, and percentiles of strength data were computed. The results showed that the highest pull and push strengths of male were 16.23 and 15.40 kg, respectively, whereas those of females were 10.97 and 8.37 kg, respectively. The lowest pull and push strengths of male were 4.73 and 4.23 kg, respectively, whereas those of females were 3.40 and 3.60 kg, respectively. It was concluded that work measurement was an important tool used to increase productivity of transportation operation.

**Keywords :** Work Measurement, Work Study, Transportation Operation, Allowance, Standard Time, Static Strength, Human Strength, Maximum Voluntary Exertion

### 1. บทนำ

อุตสาหกรรมอาชาร์ดดิสก์ไดรฟ์เป็นหนึ่งในอุตสาหกรรมอิเล็กทรอนิกส์ขนาดใหญ่ที่มีบทบาทต่อการพัฒนาเศรษฐกิจของประเทศไทยเป็นอย่างมาก ปัจจุบันเทคโนโลยีการผลิตขึ้นส่วนอิเล็กทรอนิกส์ได้พัฒนาไปอย่างรวดเร็ว ทำให้อุตสาหกรรมอาชาร์ดดิสก์ไดรฟ์มีการปรับปรุงและพัฒนาการผลิตให้มีประสิทธิภาพมากยิ่งขึ้น [1] การผลิตอาชาร์ดดิสก์ไดรฟ์ได้มีการแข่งขันทั้งทางด้านคุณภาพและราคาของอาชาร์ดดิสก์ แต่เนื่องจากเทคโนโลยีที่ใช้การผลิตนั้นมีความก้าวหน้าและใกล้เคียงกัน ผู้ผลิตอาชาร์ดดิสก์ไดรฟ์จึงให้ความสำคัญต่อการลดต้นทุนการผลิต โดยหาแนวทางการกลยุทธ์และวิธีการต่าง ๆ มาใช้ในการจัดการระบบการผลิต เพื่อเพิ่มประสิทธิภาพในการผลิตและสร้างโอกาสในการแข่งขันให้มีมากขึ้น การปรับปรุงผลิตภัณฑ์เป็นวิธีการหนึ่งในการเพิ่มขีดความสามารถในการผลิตให้สูงขึ้น และใช้ทรัพยากรที่มีอยู่ให้เกิดประโยชน์สูงสุด การศึกษาการทำงานและการวัดงาน เป็นเทคโนโลยีหนึ่งที่ใช้ในการปรับปรุงผลิตภัณฑ์ [2] และได้มีการนำเทคโนโลยีดังกล่าวไปใช้ประยุกต์ใช้ในการกำหนดจำนวนพนักงานให้เหมาะสม [3], [4], [5]

การจัดการเกี่ยวกับสุขภาพและความปลอดภัยของพนักงานนับเป็นปัจจัยหนึ่งที่ส่งผลต่อความสามารถในการแข่งขันของสถานประกอบการ การออกแบบการทำงานให้แก่พนักงานนั้นจะต้องคำนึงถึงทั้งความปลอดภัยของพนักงานและประสิทธิภาพ หากมีการบาดเจ็บหรือความไม่สบายอันเนื่องจากการทำงานแล้ว ย่อมส่งผลต่อผลิตภัณฑ์ด้วย ดังนั้นจึงมีความจำเป็นที่ต้องทราบข้อมูลความสามารถในการทำงานของพนักงานโดยเฉพาะอย่างยิ่ง ขีดความสามารถในการทำงานโดยใช้แรง ดังเช่น การยกการดันหรือการเข็น และการดึงหรือการลาก [6] ดังนั้น

ตัวพนักงานเองจำเป็นอย่างยิ่งที่จะต้องทราบข้อมูลความสามารถในการออกแรงของตนเองและพยายามที่จะไม่ออกแรงเกินค่าตั้งแต่ล่างเพื่อป้องกันอันตรายที่จะเกิดขึ้น [7] ซึ่งโดยทั่วไปแล้วพนักงานไม่ควรออกแรงเกินค่า 15% ของความสามารถในการออกแรงสูงสุด (Maximum Voluntary Exertion) สำหรับการทำงาน 8 ชั่วโมงต่อเนื่องกัน [8]

ปัจจัยที่มีผลต่อการเคลื่อนย้ายวัสดุด้วยการดึงหรือดัน แบ่งเป็น 3 ปัจจัยคือ 1) ปัจจัยที่เกี่ยวกับงานและสถานที่ทำงาน ได้แก่ ระยะทางการเคลื่อนย้าย ความถี่ของการทำงาน ความสูงของระยะมือจับ และน้ำหนักในการเคลื่อนย้าย 2) ปัจจัยที่เกี่ยวกับวิธีการทำงานและท่าทางในการทำงาน ได้แก่ ระยะของเท้าถึงรถเข็น ระยะห่างระหว่างเท้าทั้งสอง ค่าสมประสิทธิ์แรงเสียดทาน และความเร็วในการเดิน และ 3) ปัจจัยเนื่องจากตัวพนักงานเอง ได้แก่ เพศ และน้ำหนักของร่างกาย [9] ปัจจุบันการเคลื่อนย้ายวัสดุด้วยแรงคนโดยการดันและการดึงมีแนวโน้มเพิ่มขึ้นและมักใช้อุปกรณ์ช่วยในการเคลื่อนย้ายที่สำคัญคือ รถเข็น ซึ่งมีน้ำหนักบรรทุกอยู่ระหว่าง 2-1,500 กิโลกรัม และมีระยะทางการเข็นอยู่ระหว่าง 9-500 เมตร แต่การใช้รถเข็นชนิดล้อลื่นของต่างๆ ไม่ได้เป็นการช่วยผ่อนแรงเสมอไป ดังนั้น จำเป็นต้องมีการปฏิบัติงานที่เหมาะสมเพื่อช่วยลดแรงในการปฏิบัติงานและการมาดเดินจากการปฏิบัติงานให้น้อยลง [10] ซึ่งการออกแรงดันหรือแรงดึงจะแปรผันตรงกับน้ำหนักของรถเข็นที่เพิ่มขึ้น ถ้าของที่บรรทุกในรถเข็นมีน้ำหนักมากขึ้นก็จะทำให้พนักงานต้องออกแรงที่มีอยู่ในการเข็นมากขึ้นด้วย [11]

บริษัทกรณีศึกษาในงานวิจัยนี้ เป็นบริษัทผู้ผลิตอาชาร์ดดิสก์ไดรฟ์ ซึ่งมีการผลิตผลิตภัณฑ์หลักอยู่ 2 ชนิด คือ อาชาร์ดดิสก์ไดรฟ์ ขนาด 2.5 นิ้ว สำหรับคอมพิวเตอร์แบบ

กระเป้าทิว (Notebook Computer) และฮาร์ดดิสก์ไดร์ฟขนาด 3.5 นิ้ว สำหรับคอมพิวเตอร์ส่วนบุคคล (Personal Computer) จากการเข้าไปศึกษาเบื้องต้น พบว่ามีความซูญเปล่าเกิดขึ้นในกระบวนการผลิต อันเนื่องจากการรอคอยงานของพนักงานขนส่งในสายการผลิตฮาร์ดดิสก์ไดร์ฟ นอกจากนี้ลักษณะการทำงานของพนักงานขนส่งเป็นการเข็นรถเข็นชั่งบรรจุฮาร์ดดิสก์ไดร์ฟในการบวนการผลิตโดยมีระยะเวลาการทำงานประมาณ 10.5 ชั่วโมงต่อวัน งานวิจัยนี้จึงศึกษาการทำงานของพนักงานเพื่อเพิ่มประสิทธิภาพในกระบวนการผลิตจากทรัพยากรที่มีอยู่เดิม โดยใช้เทคนิคการวัดงานด้วยการจับเวลาโดยตรง [12] เพื่อกำหนดค่าเวลามาตรฐาน (Standard Time) โดยมีวัดถุประสมค์ของการศึกษา คือ 1) เพื่อกำหนดจำนวนพนักงานขนส่งในสายการผลิตฮาร์ดดิสก์ไดร์ฟที่เหมาะสมที่สุด และ 2) เพื่อประเมินความสามารถในการออกแบบดีไซน์และแรงดันสถิติของพนักงานขนส่งในสายการผลิตฮาร์ดดิสก์ไดร์ฟ

## 2. วิธีดำเนินการวิจัย

งานวิจัยนี้แบ่งการศึกษาออกเป็น 2 ส่วน คือ

2.1 การศึกษาภาระงานและวิเคราะห์อัตรากำลังของพนักงานขนส่งในสายการผลิต มีขั้นตอน ดังนี้

1. ศึกษาวิธีการปฏิบัติงานของพนักงานขนส่งในปัจจุบัน และการให้ผลของงาน
2. เลือกพื้นที่ที่ทำการศึกษา
3. วิเคราะห์งานของพนักงานขนส่งในพื้นที่ที่ทำการศึกษา
4. กำหนดวิธีการทำงานมาตรฐาน
5. กำหนดหนาแน่นด้วยว่า
6. เก็บรวบรวมข้อมูลและทำการวัดงาน
7. กำหนดค่าเวลาเพื่อและคำนวณค่าเวลามาตรฐานในการทำงาน
8. คำนวณหาจำนวนพนักงานขนส่งที่เหมาะสมที่สุด
9. วิเคราะห์และสรุปผล

2.2 การศึกษาความสามารถในการออกแบบ สถิต และประเมินภาระงานของพนักงานขนส่งในสายการผลิต มีวิธีการเก็บข้อมูลและวิเคราะห์ข้อมูลของงานวิจัยเป็นดังนี้

1. การศึกษาคุณลักษณะทางกายภาพของผู้ถูกทดสอบ เครื่องมือและอุปกรณ์ที่ใช้มีดังนี้คือ เครื่องชั่งน้ำหนัก และเครื่องวัดส่วนสูง การเก็บข้อมูลคุณลักษณะทาง

กายภาพเป็นการเก็บข้อมูลเกี่ยวกับ อายุ เพศ น้ำหนัก ส่วนสูง และประสบการณ์ทำงานของผู้ถูกทดสอบ จากนั้นทำการวิเคราะห์ข้อมูลคุณลักษณะทางกายภาพ โดยคำนวณหาค่าเฉลี่ยและส่วนเบี่ยงเบนมาตรฐานของข้อมูลคุณลักษณะทางกายภาพ

## 2. การศึกษาภาระงานของพนักงานขนส่ง

อุปกรณ์ที่ใช้ในการปฏิบัติงานขนส่งมีดังนี้ คือ รถเข็นชิ้นงาน และคาดใส่ชิ้นงาน การเก็บข้อมูลเกี่ยวกับภาระงานประจำ กองรอบด้วย น้ำหนักและขนาดของรถเข็น ชิ้นงาน และคาดใส่ชิ้นงาน ความหนักของภาระงานนั้นพิจารณาจาก แรงที่ใช้ในการเข็นเพื่อให้รถเข็นเคลื่อนที่ ซึ่งวัดโดยเครื่องชั่งสปริง จากนั้นทำการวิเคราะห์ข้อมูลความหนักของภาระงาน โดยคำนวณหาค่าน้ำหนักร่วมของการขนส่งแต่ละรอบ และแรงที่ใช้ในการเคลื่อนที่รถเข็น

## 3. การศึกษาความสามารถในการออกแบบสถิติของพนักงานขนส่ง

เครื่องมือที่ใช้คือ เครื่องมือวัดแรงสถิต (Jackson strength measurement system) โดยทำการวัดความสามารถในการออกแบบดีไซน์และดันของพนักงานที่ระดับความสูง 90 เซนติเมตร ซึ่งเท่ากับ ระดับความสูงของรถเข็นที่ใช้ในการขนส่งฮาร์ดดิสก์ไดร์ฟในสายการผลิต การออกแบบเป็นการใช้แรงจากท่อนแขนเป็นส่วนใหญ่

ทำการในการออกแบบเป็นดังนี้ ผู้ถูกทดสอบยืนแท้ทั้งสองข้างห่างจากกัน 30 เซนติเมตร มือทั้งสองข้างกำนมือจับของอุปกรณ์ทดสอบไว้ โดยจัดให้แขนท่อนบนของผู้ถูกทดสอบบานนิชิดกับลำตัวและแขนท่อนล่างนิชิดกับพื้น (แขนท่อนบนดังฉากกับแขนท่อนล่าง)ให้ ผู้ถูกทดสอบออกแรงสูงสุดในระยะเวลา 5 วินาที โดยในช่วง 2 วินาทีแรก เป็นช่วงของการเริ่มออกแรง ส่วนในช่วง 3 วินาทีถัดมาเป็นช่วงที่ออกแรงให้สูงสุด จากนั้นนำค่าแรงที่วัดได้ในช่วงนี้ไปคำนวณหาค่าเฉลี่ย ผลที่ได้เป็นค่าความสามารถในการออกแบบในครั้งนั้นๆและมีหน่วยเป็นกิโลกรัม จากนั้นทำการวิเคราะห์โดยการคำนวณหาค่าเฉลี่ย ส่วนเบี่ยงเบนมาตรฐาน

## 4. การประเมินภาระงานของพนักงานขนส่ง

การประเมินภาระงานของพนักงานขนส่งผู้ชายและผู้หญิงทำได้โดยนำค่าร้อยละ 15 ของค่าความสามารถในการออกแบบสถิตสูงสุดของพนักงานแต่ละคนมาเปรียบเทียบกับความหนักของภาระงานการเข็นรถเข็นภาระงานดังกล่าวให้เท่ากับ 0.5 กิโลกรัมซึ่งวัดจากค่าแรงเสียดทานของพื้นในขณะเข็นรถเข็นที่บรรจุฮาร์ดดิสก์ไดร์ฟ

### 3. ผลการวิจัย

ผลการค่าเนินงานวิจัยแบ่งออกเป็น 2 ส่วน ดังนี้

#### 3.1 ผลการศึกษาภาระงานและวิเคราะห์อัตรากำลังของพนักงานขนส่งในสายการผลิต

##### 1. เลือกพื้นที่ที่ทำการศึกษา

จำนวนพนักงานที่ใช้ในการขนส่งแต่ละชุดเป็นดังแสดงในตารางที่ 1 กระบวนการขนส่งระหว่าง Part Supply ถึง Line Main มีจำนวนพนักงานขนส่งมากที่สุด คือ 28 คน รองลงมา คือ กระบวนการการขนส่งระหว่าง QC#3 ถึง LPP มีจำนวนพนักงาน 26 คน จะเห็นได้ว่า พนักงานขนส่งของ 2 กระบวนการมีจำนวนใกล้เคียงกัน จากนั้นจึงเข้าไปศึกษาในพื้นที่การทำงานจริง เมื่อเปรียบเทียบ พฤติกรรมการทำงานของพนักงานขนส่งของ 2 กระบวนการนี้ พบว่า ในกระบวนการการขนส่งระหว่าง Part Supply ถึง Line Main พนักงานขนส่งงานมีเวลาว่างจากการทำงานน้อยกว่ากระบวนการการขนส่งระหว่าง QC#3 ถึง LPP เนื่องจากหน้าที่การทำงานของ Part Supply คือ การแจกรายชื่อส่วนอุปกรณ์ต่าง ๆ ที่ใช้ในการประกอบ bardoc ถึง LPP ซึ่งมีจำนวนชื่อส่วนหมาย申ิดที่พนักงานต้องทำการขนส่งในช่วงเวลาทำงาน ส่วนการขนส่งระหว่าง QC#3 ถึง LPP นั้น พนักงานต้องรองานให้ครบตามจำนวนที่รถเข็นสามารถบรรจุได้ จึงจะเข็นรถเข็นเพื่อขนส่งงานจากท้ายสายการผลิตของ ผลิตภัณฑ์ไปยังสถานีงานถัดไป ดังนั้นจึงทำการเลือกศึกษาในพื้นที่การขนส่งระหว่างท้ายสายการผลิต QC#3 ถึง LPP ในสายการผลิต bardoc ถึง LPP มีการผลิต 2 รูปแบบ คือ การผลิตแบบ Conveyer เป็นการประกอบ bardoc ให้เสร็จสิ้นบนสายพานการผลิตเดียวทั้งหมด และการผลิตแบบ Modular เป็นการประกอบ bardoc ให้เสร็จสิ้นบนสายพานการผลิตเดียวทั้งหมด ต้องนำไปประกอบต่อในสายการผลิตตัวไปก่อน ส่งไปยังสถานีงาน LPP ซึ่งมีจำนวนพนักงานขนส่งที่รับผิดชอบพื้นที่ที่ทำการศึกษาทั้งหมด 26 คน ดังนี้ พนักงานขนส่ง 10 คน ทำการขนส่ง bardoc ขนาด 2.5 นิ้ว และพนักงานขนส่ง 6 คน ทำการขนส่ง bardoc ขนาด 3.5 นิ้ว ในสายการผลิตแบบ Conveyer พนักงานขนส่ง 8 คน ทำการขนส่ง bardoc ขนาด 2.5 นิ้ว ในสายการผลิตทั้ง 2 แบบ คือ Conveyer และ Modular ส่วนพนักงานที่เหลืออีก 2 คนทำหน้าที่ค่อยสนับสนุน เป็นจำนวนพนักงานที่สำรองไว้ในการนี้ที่มีการขาดหรือลางาน ทั้งนี้วิเคราะห์ประจำริชัทได้เลือกให้

ทำการศึกษาสายการผลิตแบบสายพาน (Conveyer) สำหรับ bardoc ถึง bardoc ขนาด 2.5 และ 3.5 นิ้ว ซึ่งจำนวนพนักงานขนส่งในสายการผลิตดังกล่าวมีทั้งหมด 16 คน แสดงดังตารางที่ 2

ตารางที่ 1 จำนวนของพนักงานขนส่งในสายการผลิต

กระบวนการ	จำนวนพนักงาน ขนส่งต่อวัน
Cleaning $\Rightarrow$ Stock HSA	16
Stock HS $\Rightarrow$ HSA Line	18
FHSA $\Rightarrow$ FHSA Room	2
FHSA Room $\Rightarrow$ DI	14
Part Supply $\Rightarrow$ Line Main	28
Material Handling of FHSA $\Rightarrow$ QC#2	18
QC#3 $\Rightarrow$ LPP	26
LPP $\Rightarrow$ Ship check	16
Ship Check $\Rightarrow$ Pass Box	20

ตารางที่ 2 จำนวนของพนักงานขนส่ง QC#3 ถึง LPP

Line	Phase#1		Phase#2		Support	Total
	2.5	3.5	3.5	2.5		
Conveyer	10		6		8	26
Modular	-	-	-		2	2

##### 2. วิเคราะห์งาน

จากการศึกษาการทำงานของพนักงานขนส่งในพื้นที่การขนส่งระหว่าง QC#3 ถึง LPP พบว่า พนักงานขนส่งปฏิบัติงานโดยใช้รถเข็นงาน โดยรถเข็นงานมี 2 ประเภท คือ รถเข็นงานสำหรับ bardoc ถึง bardoc ขนาด 2.5 นิ้ว สามารถบรรจุงานได้ 60 หน่วย และรถเข็นงานสำหรับ bardoc ถึง bardoc ขนาด 3.5 นิ้ว สามารถบรรจุงานได้ 30 หน่วย ระยะเวลาในการขนส่งโดยประมาณเท่ากับ 125.4 และ 128.4 เมตร สำหรับการขนส่ง bardoc ถึง bardoc ขนาด 2.5 และ 3.5 นิ้ว ตามลำดับ บทความนี้ไม่แสดงค่าอ้อมูล แผนการผลิตของ bardoc ถึง bardoc และข้อมูลอื่นที่เกี่ยวข้อง กับการผลิต เพื่อความสะดวกในการวัดงานจึงได้ทำการแบ่งงานของพนักงานขนส่งออกเป็นงานย่อย ดังตารางที่ 3

ตารางที่ 3 งานย่อของพนักงานขนส่ง

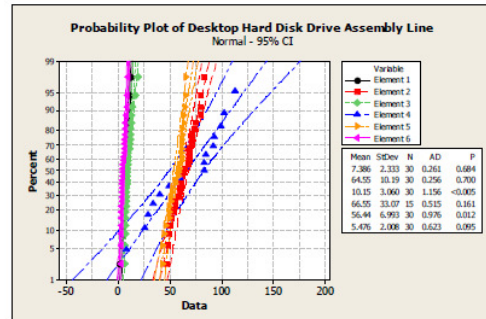
ลำดับ	ขาร์ดดิสก์ไดร์ฟขนาด 2.5 นิ้ว	ขาร์ดดิสก์ไดร์ฟขนาด 3.5 นิ้ว
1	พนักงานเดินไปที่ร้านซ่อมงาน	พนักงานเดินไปที่ร้านซ่อมงาน
2	เขียนงานในป้าย ณ จุดวางที่สถานีงานตัดไป	เขียนงานในป้าย ณ จุดวางที่สถานีงานตัดไป
3	เดินไปหยิบบัตรงาน	เดินไปเอกสารเขียนงานเปล่า
4	เดินไปเอกสารเขียนงานเปล่า	รอคิวยาดิส่งงานมาใส่รถ เขียนงานเปล่า
5	รอคิวยาดิส่งงานมาใส่รถเขียนงานเปล่า	เขียนรถเขียนงานเปล่ามากที่ท้ายสายการผลิต
6	เขียนรถเขียนงานเปล่ามากที่ท้ายสายการผลิต	เดินไปปั่น
7	เดินไปปั่น	-

### 3. กำหนดขนาดตัวอย่าง

จากการสังเกตและจับเวลาการทำงานของพนักงานขนส่งในช่วงแรก พบว่าเวลาที่ใช้ในการขนส่งแต่ละรอบอยู่ในช่วง 2 – 5 นาที จากนั้นคำนวณขนาดตัวอย่างตามสมการ (1) ได้เท่ากับ 30 ตัวอย่าง [8] เมื่อนำข้อมูลมาวิเคราะห์ทางสถิติ พบว่าข้อมูลมีลักษณะการแจงแบบปกติ แสดงดังรูปที่ 1 และ 2 โดยกำหนดค่าความคลาดเคลื่อนไว้  $\pm 5\%$  และระดับความเชื่อมั่น 95%

$$N = \left[ \frac{40 \sqrt{n \sum x^2 - (\sum x)^2}}{\sum x} \right]^2 \quad (1)$$

โดย  $N$  คือ จำนวนขนาดตัวอย่างที่เหมาะสม  
 $n$  คือ จำนวนตัวอย่างที่ได้ทำการศึกษา  
 $x$  คือ ข้อมูลเวลาของตัวอย่างที่ได้ทำการศึกษา



รูปที่ 2 กราฟแสดงการแจงแบบปกติของข้อมูลเวลาการทำงานของพนักงานขนส่งขาร์ดดิสก์ไดร์ฟขนาด 3.5 นิ้ว

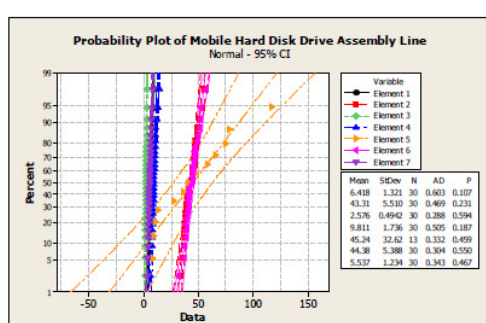
### 4. การวัดงาน

จากการจับเวลาการทำงานของพนักงานขนส่งงาน และวิเคราะห์ข้อมูล ทำให้ได้เวลาการทำงาน (Observe time) จากนั้นทำการประเมินอัตราการทำงาน (Rating) โดยใช้ระบบ Westing House ทำการประเมินองค์ประกอบ

4 ด้าน คือ ความชำนาญ ความพยายาม เงื่อนไขการทำงาน และความสม่ำเสมอในการทำงาน ซึ่งผลลัพธ์ระหว่างค่าเวลาการทำงานกับอัตราการทำงาน ทำให้ได้เวลาการทำงานปกติ (Normal time) ในแต่ละรอบการทำงานของพนักงานขนส่งงาน โดยได้ผลลัพธ์นี้

ความชำนาญเฉลี่ย	D	0.00
ความพยายามเฉลี่ย	D	0.00
เงื่อนไขการทำงานดี	C	+0.02
ความสม่ำเสมอพอใช้	E	-0.02
รวม		<u>0.00</u>

ดังนั้น เวลาการทำงานปกติ (Normal time) จึงเท่ากับเวลาการทำงาน (Observe time) จากตารางที่ 4 และ 5 จะเห็นได้ว่าเวลาการทำงานปกติของพนักงานขนส่งขาร์ดดิสก์ไดร์ฟ ขนาด 3.5 นิ้ว มีค่ามากกว่าเวลาการทำงานปกติของพนักงานขนส่งขาร์ดดิสก์ไดร์ฟ ขนาด 2.5 นิ้ว ซึ่งมีสาเหตุมาจากการใช้เวลามากกว่าในขั้นตอนการเขียนงานในป้าย ณ จุดวางที่สถานีงานตัดไป การรอคิวยาดิส่งงานมาใส่รถ เขียนงานเปล่า และการเขียนรถเขียนงานเปล่ามากที่ท้ายสายการผลิต



รูปที่ 1 กราฟแสดงการแจงแบบปกติของข้อมูลเวลาการทำงานของพนักงานขนส่งขาร์ดดิสก์ไดร์ฟขนาด 2.5 นิ้ว

ตารางที่ 4 เวลาการทำงานของพนักงานขนส่งอาร์ดิสก์ ไครฟ์ ขนาด 2.5 นิ้ว

อาร์ดิสก์ไครฟ์ ขนาด 2.5 นิ้ว	เวลาเฉลี่ย (วินาที)	ค่าเบี้ยงเบนมาตรฐาน
1. พนักงานเดินไปที่รถเข็นงาน	6.42	1.32
2. เข็นงานไปวาง ณ จุดวางที่สถานีงานถัดไป	43.31	5.51
3. เดินไปหอบนั่งตั้งงาน	2.58	0.49
4. เดินไปเอกสารเข็นงานเปล่า	9.81	1.74
5. รอกอยู่คาดใส่งานมาใส่รถเข็นงานเปล่า	45.24	32.62
6. เข็นรถเข็นงานเปล่ามาที่ท้ายสายการผลิต	44.38	5.39
7. เดินไปนั่ง	5.54	1.23
รวม	157.27	

ตารางที่ 5 เวลาการทำงานของพนักงานขนส่งอาร์ดิสก์ ไครฟ์ ขนาด 3.5 นิ้ว

อาร์ดิสก์ไครฟ์ ขนาด 3.5 นิ้ว	เวลาเฉลี่ย (วินาที)	ค่าเบี้ยงเบนมาตรฐาน
1. พนักงานเดินไปที่รถเข็นงาน	7.39	2.33
2. เข็นงานไปวาง ณ จุดวางที่สถานีงานถัดไป	64.55	10.19
3. เดินไปเอกสารเข็นงานเปล่า	10.15	3.06
4. รอกอยู่คาดใส่งานมาใส่รถเข็นงานเปล่า	66.55	33.07
5. เข็นรถเข็นงานเปล่ามาที่ท้ายสายการผลิต	56.44	6.99
6. เดินไปนั่ง	5.48	2.01
รวม	210.54	

##### 5. การกำหนดค่าเวลาเพื่อ

ค่าเวลาเพื่อ (Allowance) เป็นเวลาที่เพิ่มเข้าไปในเวลาการทำงานปกติ เพื่อลดความเมื่อยล้าและความเครียดจากการทำงานของพนักงาน แม้ว่าได้มีการจัดวิธีการทำงานให้เหมาะสมแล้ว เวลาเพื่อมี 2 ประเภทใหญ่ ๆ คือ

1. เวลาเพื่อคงที่ (Constant Allowances) เป็นค่าเวลาที่ต้องเพิ่มให้กับพนักงานที่ทำงานทุกคน ได้แก่

1.1 เวลาเพื่อกิจส่วนตัว (Personal Allowance) การกำหนดเวลาเพื่อให้มากหรือน้อยจะขึ้นอยู่กับลักษณะของงาน ความหนักเบา ระยะเวลาทำงาน เนื่องไปในการ

ทำงาน เป็นต้น โดยเวลาเพื่อกิจส่วนตัวมักอยู่ระหว่าง 5-7% ของเวลาทำงานปกติ

1.2 เวลาเพื่อความเมื่อยล้า (Fatigue Allowance) เป็นเวลาที่เพิ่มให้กับงานที่ทำให้เกิดความเมื่อยล้าได้ง่าย งานทั่วไปที่เป็นลักษณะงานเบา มีเวลาเพื่อความเมื่อยล้าเท่ากับ 4% ของเวลาทำงานปกติ สำหรับงานหนักต้องให้เวลาพักเหนื่อยมากขึ้น

2. เวลาเพื่อผันแปร (Variable Allowances) เป็นค่าเวลาเพื่อสำหรับความเครียดและสิ่งแวดล้อม เช่น ค่าเพื่อเวลาการทำงานในลักษณะยืน ค่าเพื่อเวลาการใช้แรง ค่าเพื่อสำหรับพื้นที่ที่มีแสง เสียง บรรยากาศที่แตกต่างกัน เป็นต้น แม้ว่าจะเป็นงานชนิดเดียว ก็ เมื่อยล้าในสภาพแวดล้อมที่แตกต่างกัน ค่าเวลาเพื่อที่เพิ่มเข้าไปในเวลาการทำงานปกติย่อมแตกต่างกันด้วย

จากการศึกษาลักษณะการทำงานของพนักงาน ขันส่งในสภากาชาด สามารถจำแนกค่าเพื่อเวลาได้ 4 ประเภท คือ เวลาเพื่อกิจส่วนตัว เวลาเพื่อความเมื่อยล้า เวลาเพื่อสำหรับทำยืนทำงาน และเวลาเพื่อความซ้ำซากในการใช้อวัยวะในร่างกาย ซึ่งการกำหนดเปอร์เซ็นต์ค่าเวลาเพื่อ แสดงดังตารางที่ 6 เวลาเพื่อคงที่นั้นมาจากกิจส่วนตัว 5% และความเมื่อยล้า 4% ส่วนเวลาเพื่อผันแปรนั้นมาจาก การยืนทำงาน 2% และการใช้อวัยวะในร่างกายซ้ำๆ 2% [13] รวมเปอร์เซ็นต์ค่าเวลาเพื่อทั้งหมดเท่ากับ 13%

ตารางที่ 6 เปอร์เซ็นต์ค่าเพื่อในการทำงาน

เวลาเพื่อ	เปอร์เซ็นต์ค่าเวลาเพื่อ
เวลาเพื่อคงที่ กิจส่วนตัว	5%
ความเมื่อยล้า	4%
เวลาเพื่อผันแปร	
ยืนทำงาน	2%
การใช้อวัยวะในร่างกายซ้ำๆ	2%
รวม	13%

##### 6. การคำนวณเวลามาตรฐานการทำงาน

การคำนวณเวลามาตรฐานการทำงาน ทำได้โดยการนำเวลาการทำงานปกติของพนักงานขนส่งคูณกับค่าเวลาเพื่อ คือ  $1.13$  ซึ่งมาจาก  $(1 + \% \text{ ค่าเวลาเพื่อ})$  ทำให้ได้เวลา มาตรฐานสำหรับการขนส่งอาร์ดิสก์ไครฟ์ขนาด 2.5 และ 3.5 นิ้ว ดังตารางที่ 7

ตารางที่ 7 เวลาการทำงานมาตรฐานของพนักงานขนส่ง

สายการผลิต	เวลามาตรฐาน (วินาที)
ชาร์ดดิสก์ไดร์ฟขนาด 2.5 นิ้ว	177.72
ชาร์ดดิสก์ไดร์ฟขนาด 3.5 นิ้ว	237.91

#### 7. การหาจำนวนพนักงานขนส่งที่เหมาะสมที่สุด

เวลาการทำงานทั้งหมดต่อกะ คือ 37,800 วินาที ( $10.5 \text{ ชั่วโมง} \times 60 \text{ นาที} \times 60 \text{ วินาที}$ ) ซึ่งเวลาที่ไม่ใช้เวลาพักของพนักงาน จากนั้นนำเวลาการทำงานทั้งหมดต่อกะ มาคำนวณหาจำนวนรอบในการขนส่งต่อกะของชาร์ดดิสก์ไดร์ฟขนาด 2.5 นิ้ว ดังสมการ (2)

$$\frac{\text{เวลาการทำงานทั้งหมดต่อกะ}}{\text{เวลามาตรฐานการทำงานต่อรอบ}} = \frac{\text{จำนวนรอบในการขนส่ง}}{\text{ต่อคนต่อกะ}} \quad (2)$$

$$= \frac{37,800}{177.72} = 213 \text{ รอบต่อกะ}$$

การคำนวณหาจำนวนพนักงานในการขนส่งต่อกะของชาร์ดดิสก์ไดร์ฟขนาด 2.5 นิ้วสามารถคำนวณได้จากการคำนวณหารอบต่อคน ดังสมการ (3)

$$\frac{\text{แผนการผลิตของชาร์ดดิสก์ไดร์ฟ}}{\text{ขนาด 2.5 นิ้ว ต่อกะ}} = \frac{\text{จำนวนพนักงาน}}{\text{ในการขนส่งต่อกะ}} \quad (3)$$

$$= \frac{\text{จำนวนหน่วยที่พนักงานแต่ละคน}}{\text{ขนส่งต่อกะ}} = \frac{3}{213} = 3 \text{ คนต่อกะ}$$

ในส่วนของชาร์ดดิสก์ไดร์ฟขนาด 3.5 นิ้ว สามารถคำนวณได้โดยวิธีเดียวกันกับข้างต้น ผลเป็นดังแสดงในตารางที่ 8 จากผลการคำนวณพบว่า ในส่วนของชาร์ดดิสก์ไดร์ฟขนาด 2.5 นิ้วสามารถลดจำนวนพนักงานลงได้ 2 คน และลดได้ 1 คน สำหรับชาร์ดดิสก์ไดร์ฟขนาด 3.5 นิ้ว แสดงดังตารางที่ 9 ซึ่งจะนำไปเป็นแนวทางในการจัดสรรพนักงานขนส่งต่อไป เมื่อทำการลดจำนวนพนักงานลงได้ 6 คนต่อวัน จาก 16 คนต่อวัน ทำให้ผลิตภาพเพิ่มขึ้น 37.5%

ตารางที่ 8 จำนวนพนักงานขนส่งที่เหมาะสมที่สุด

สายการผลิต	ความถี่ในการขนส่ง (รอบ/กะ/คน)	จำนวนพนักงาน (คน/กะ)
ชาร์ดดิสก์ไดร์ฟขนาด 2.5 นิ้ว	213	3
ชาร์ดดิสก์ไดร์ฟขนาด 3.5 นิ้ว	159	2

ตารางที่ 9 การเบรี่ยงเทียนจำนวนพนักงานที่ลดลง

สถานการณ์	จำนวนพนักงาน ชาร์ดดิสก์ไดร์ฟ ขนาด 2.5 นิ้ว (คน/กะ)	จำนวนพนักงาน ชาร์ดดิสก์ไดร์ฟ ขนาด 3.5 นิ้ว (คน/กะ)
ปัจจุบัน	5	3
การศึกษา	3	2

3.2 ผลการศึกษาความสามารถในการออกแบบสภิตและประเมินภาระงานของพนักงานขนส่งในสายการผลิต

#### 1. คุณลักษณะทางกายภาพของผู้ถูกทดสอบ

ตารางที่ 10 แสดงค่าเฉลี่ยและส่วนเบี่ยงเบนมาตรฐานของคุณลักษณะของผู้ถูกทดสอบจำนวน 39 คน ซึ่งเป็นผู้ชาย 21 คน และผู้หญิง 18 คน โดยเฉลี่ยแล้ว ผู้ชายมีอายุ 29.05 ปี สูง 166.81 เซนติเมตร หนัก 58.38 กิโลกรัม และมีประสบการณ์ทำงาน 3.33 ปี ส่วนผู้หญิงโดยเฉลี่ยมีอายุ 29.33 ปี สูง 159.11 เซนติเมตร หนัก 49.72 กิโลกรัม และมีประสบการณ์ทำงาน 3.78 ปี

ตารางที่ 10 คุณลักษณะทางกายภาพของผู้ถูกทดสอบ 39 คน

รายการ (หน่วย)	ผู้ชาย		ผู้หญิง	
	Mean	S.D.	Mean	S.D.
อายุ (ปี)	29.05	3.49	29.33	4.95
ส่วนสูง (ซม.)	166.81	7.25	159.11	6.86
น้ำหนัก (กг.)	58.38	7.25	49.72	6.22
ประสบการณ์(ปี)	3.33	1.77	3.78	2.84

2. ปัจจัยที่เกี่ยวข้องกับภาระการออกแรงของพนักงานขนส่ง จากการวัดขนาดของรถเข็นที่ใช้ในการขนส่งชิ้นงานขนาด 2.5 นิ้ว พบว่ารถเข็นสูง 90 เซนติเมตร กว้าง 16 เซนติเมตร และหนา 3 เซนติเมตร ซึ่งตารางที่ 11 แสดงค่าน้ำหนักของการขนส่งโดยแต่ละรอบมีน้ำหนัก 28.8 กิโลกรัม การวัดความหนักของภาระงานทำได้โดยใช้เครื่องชั่งสปริงแบบแขวนวัดค่าแรงที่ทำให้หารถเข็นเคลื่อนที่และได้ค่าเท่ากับ 0.5 กิโลกรัม

ตารางที่ 11 น้ำหนักของการขนส่งในแต่ละรอบ

รายการ	น้ำหนักต่อรอบการขนส่ง (กг.)
รถเข็น 1 คัน	18.3
ชิ้นงาน 60 ชิ้น	6.0
ถ้าใส่ชิ้นงาน 15 ถุง	4.5
รวมน้ำหนักทั้งหมด	28.8

### 3. ความสามารถในการออกแบบสติ๊กของพนักงานขนส่ง

ตารางที่ 12 แสดงค่าเฉลี่ย ส่วนเบี่ยงเบนมาตรฐาน และเบอร์เซ็นไทล์ต่าง ๆ ของค่าความสามารถในการออกแบบสติ๊กของพนักงานขนส่งผู้ชายและผู้หญิง จากการทดสอบในพื้นที่ปฏิบัติงานจริงพบว่าค่าแรงดึงและแรงดันสติ๊กเฉลี่ยของพนักงานผู้ชายเท่ากับ 10.10 และ 9.74 กิโลกรัม ตามลำดับ และค่าแรงดึงและแรงดันสติ๊กเฉลี่ยของพนักงานผู้หญิงเท่ากับ 6.27 และ 5.46 กิโลกรัม ตามลำดับ

ตารางที่ 12 ข้อมูลความสามารถในการออกแบบสติ๊กและแรงดันของพนักงานขนส่งผู้ชายและผู้หญิง

ข้อมูล	ค่าความสามารถในการออกแบบสติ๊กของผู้ชาย (กก.)		ค่าความสามารถในการออกแบบสติ๊กของผู้หญิง (กก.)	
	แรงดึง	แรงดัน	แรงดึง	แรงดัน
Mean	10.10	9.74	6.27	5.46
S.D.	3.37	3.20	2.62	1.54
Min	4.73	4.23	3.40	3.60
25 <sup>th</sup> Percentile	7.53	7.93	3.90	3.93
50 <sup>th</sup> Percentile	9.47	9.17	5.63	5.42
75 <sup>th</sup> Percentile	12.17	11.93	8.04	6.72
95 <sup>th</sup> Percentile	16.07	15.30	10.74	7.83
Max	16.23	15.40	10.97	8.37

### 4. ผลการประเมินภาระงานของพนักงานขนส่ง

#### 4.1 ผลการประเมินภาระงานของพนักงานขนส่งผู้ชาย

การประเมินภาระงานของพนักงานขนส่งผู้ชายเริ่มจากการคำนวณค่าแรงดึงและแรงดันที่ 15% ของค่าแรงดึงและแรงดันสูงสุด (15% MVE) ที่พนักงานแต่ละคนทำได้ เช่น ข้อมูลของผู้ชายทดสอบคนที่ 1 มีค่าแรงดึงสูงสุดเท่ากับ 4.73 กิโลกรัม ดังนั้นค่าแรงดึงที่ 15% ของค่าแรงดึงสูงสุดเท่ากับ 0.71 กิโลกรัม ดังแสดงในตารางที่ 13

เมื่อเปรียบเทียบค่า 15% ของแรงดึงและแรงดันสูงสุดกับค่าแรงเสียดทาน 0.5 กิโลกรัมที่ใช้ในการทำให้รถเข็นเคลื่อนที่ พบว่า ค่า 15% ของพนักงานผู้ชายทุกคน มีค่าสูงกว่าแรงเสียดทาน ดังนั้นความหนักของภาระงานขนส่งจึงไม่เกินกำลังของพนักงานชาย

ตารางที่ 13 ผลการคำนวณแรงดึงและแรงดันที่ 15% ของแรงดึงและแรงดันสูงสุดของพนักงานขนส่งผู้ชาย

ผู้ชาย ทดสอบ (N=21)	ค่าความสามารถ ในการออกแบบสติ๊ก ของผู้ชาย (กก.)		15% ของค่าความสามารถ ในการออกแบบสติ๊ก ของผู้ชาย (กก.)	
	แรงดึง	แรงดัน	แรงดึง	แรงดัน
1	4.73	4.23	0.71	0.64
2	5.27	5.87	0.79	0.88
3	6.37	6.53	0.96	0.98
4	7.27	6.63	1.09	1.00
5	7.43	7.17	1.12	1.08
6	7.53	7.93	1.13	1.19
7	8.70	8.00	1.31	1.20
8	8.90	8.13	1.34	1.22
9	8.93	8.27	1.34	1.24
10	8.93	8.37	1.34	1.26
11	9.47	9.17	1.42	1.38
12	9.57	9.20	1.44	1.38
13	10.00	9.83	1.50	1.48
14	10.93	10.07	1.64	1.51
15	11.00	11.33	1.65	1.70
16	12.17	11.93	1.83	1.79
17	13.17	13.33	1.98	2.00
18	13.97	13.37	2.10	2.01
19	15.50	14.53	2.33	2.18
20	16.07	15.30	2.41	2.30
21	16.23	15.40	2.44	2.31
ค่าเฉลี่ย	10.10	9.74	1.52	1.46

#### 4.2 ผลการประเมินภาระงานของพนักงานขนส่งผู้หญิง

การประเมินภาระงานของพนักงานขนส่งผู้หญิงเริ่มจากการคำนวณค่าแรงดึงและแรงดันที่ 15% ของค่าแรงดึงและแรงดันเป็นไปในลักษณะเช่นเดียวกับของพนักงานขนส่งผู้ชาย ดังแสดงในตารางที่ 14

ผลปรากฏค่า 15% ของแรงดึงและแรงดันสูงสุดของพนักงานผู้หญิงทุกคนมีค่าสูงกว่าแรงเสียดทาน ดังนั้นความหนักของภาระงานขนส่งจึงไม่เกินกำลังของพนักงานผู้หญิง เช่นเดียวกับผลของพนักงานผู้ชาย

ตารางที่ 14 ผลการคำนวณแรงดึงและแรงดันที่ 15% ของแรงดึงและแรงดันสูงสุดของพนักงานขั้นส่งผู้หญิง

ผู้หญิง ทดลอง (N=18)	ค่าความสามารถ ในการออกแรงสูงสุด ของผู้หญิง (กก.)		15% ของค่าความ สามารถในการออกแรง สูงสุดของผู้หญิง (กก.)	
	แรงดึง	แรงดัน	แรงดึง	แรงดัน
1	3.40	3.60	0.51	0.54
2	3.77	3.67	0.57	0.55
3	3.80	3.70	0.57	0.56
4	3.80	3.83	0.57	0.58
5	3.85	3.90	0.58	0.59
6	4.07	4.03	0.61	0.61
7	4.33	4.20	0.65	0.63
8	4.33	5.07	0.65	0.76
9	5.43	5.20	0.82	0.78
10	5.83	5.63	0.88	0.85
11	6.27	6.03	0.94	0.91
12	7.23	6.27	1.09	0.94
13	7.87	6.27	1.18	0.94
14	8.10	6.87	1.22	1.03
15	8.67	6.87	1.30	1.03
16	10.40	6.97	1.56	1.05
17	10.70	7.73	1.61	1.16
18	10.97	8.37	1.65	1.26
ค่าเฉลี่ย	6.27	5.46	0.94	0.82

#### 4. สรุปและเสนอแนะ

จากการศึกษาการทำงานของพนักงานขั้นส่งงานในสายการผลิตอาร์ดิสก์ไดร์ฟ ได้สรุป ผลการศึกษาออกเป็น 3 ส่วน คือ

##### 4.1 ผลการศึกษาภาระงานและวิเคราะห์อัตรา กำลังของพนักงานขั้นส่งในสายการผลิต

ผลการศึกษาและวิเคราะห์ข้อมูลพบว่า สามารถลดจำนวนพนักงานขั้นส่งลงได้ 3 คนต่อกะ หรือ 6 คนต่อวัน ซึ่งเป็นการเพิ่มผลิตภาพการทำงานของพนักงานขั้นส่งได้ 37.5 % โดยจำนวนพนักงานขั้นส่งที่เหมาะสมที่สามารถรับภาระงานที่มอบหมายให้ได้ คือ จำนวนพนักงานเท่ากับ 3 คนในการผลิตอาร์ดิสก์ไดร์ฟขนาด 2.5 นิ้ว และเท่ากับ 2 คนในการผลิตอาร์ดิสก์ไดร์ฟขนาด 3.5 นิ้ว เนื่องได้ว่า การวัดงานเป็นเครื่องมือหนึ่งที่ใช้ในการเพิ่มผลิตภาพในการทำงานของพนักงานขั้นส่งได้

#### 4.2 ผลการศึกษาความสามารถในการออกแรง สติดของพนักงานขั้นส่งในสายการผลิต

จากการศึกษาความสามารถในการออกแรงสติดของพนักงานขั้นส่ง สรุปได้ว่าความสามารถในการออกแรงดึงและแรงดันสติดสูงสุดของพนักงานผู้ชายเท่ากับ 16.23 และ 15.40 กิโลกรัม ของพนักงานผู้หญิงเท่ากับ 10.97 และ 8.37 กิโลกรัม ตามลำดับ และความสามารถในการออกแรงดึงและแรงดันสติดต่ำสุดของพนักงานผู้ชายเท่ากับ 4.73 และ 4.23 กิโลกรัม ของพนักงานผู้หญิงเท่ากับ 3.40 และ 3.60 กิโลกรัม ตามลำดับ นอกจากนี้ยังพบว่าค่า 15% ของแรงดึงและแรงดันสูงสุดของพนักงานทุกคนมีค่าสูงกว่าแรงเสียดทาน ดังนั้นความหนักของภาระงานขั้นส่งของพนักงานขั้นส่งในสายการผลิตอาร์ดิสก์ไดร์ฟจึงไม่เกินกำลังของพนักงาน

#### 4.3 แนวทางในการจัดสรรพนักงานขั้นส่งใน สายการผลิต

จากการศึกษาเวลาในการทำงานขั้นส่งและการออกแรงสติดของพนักงานขั้นส่งในขณะปฏิบัติงานโดยใช้หลักการยศาสตร์ พบว่าบริษัทสามารถลดจำนวนพนักงานขั้นส่งในกระบวนการผลิตอาร์ดิสก์ไดร์ฟขนาด 2.5 นิ้ว ลงได้ 2 คน และอาร์ดิสก์ไดร์ฟขนาด 3.5 นิ้ว สามารถลดได้ 1 คน เมื่อพิจารณาความหนักของภาระงานขั้นส่งแล้ว พบว่าพนักงานออกแรงต่ำกว่าร้อยละ 15 ของความสามารถในการออกแรงสูงสุด ซึ่งถือว่าเป็นภาระงานที่สามารถปฏิบัติได้อย่างต่อเนื่องในระยะเวลาการทำงาน 8 ชั่วโมงหรือนานกว่านั้นโดยไม่เสียดายต่อการบาดเจ็บจากการทำงาน ทั้งนี้การลดจำนวนพนักงานขั้นส่งลงโดยที่ความหนักของการออกแรงในการขันส่งไม่ได้เกินค่าร้อยละ 15 ของความสามารถในการออกแรงสูงสุดเป็นเรื่องที่เป็นไปได้ในทางปฏิบัติ

#### กิตติกรรมประกาศ

งานวิจัยนี้ได้รับทุนสนับสนุนจากศูนย์วิจัยร่วมเฉพาะทางด้านส่วนประกอบอาร์ดิสก์ไดร์ฟ คณะวิศวกรรมศาสตร์ มหาวิทยาลัยขอนแก่น และศูนย์เทคโนโลยีอิเล็กทรอนิกส์และคอมพิวเตอร์แห่งชาติ สำนักงานพัฒนาวิทยาศาสตร์และเทคโนโลยีแห่งชาติ

ขอขอบคุณ มหาวิทยาลัยเทคโนโลยีสุรนารี ที่ให้ทุนสนับสนุนการศึกษาและทำวิจัย

**บรรณานุกรม**

- [1] Electronics Trend Publications. 2009. **The Worldwide Electronics Manufacturing Services Market.** <http://www.electronic trendpubs.com>
- [2] Mayer, F.E. and Stewart, J.R. 2002. **Motion and Time Study for Lean manufacturing.** 3rd ed. Singapore: Prentice Hall.
- [3] Blyer, L., Tieman, L., Stuart, J.A., Dupлага, L., Meyer, N. and Grant, E. 2003. Plastic separation planning enhancement from new laser identification technology and work measurement analysis. Proceedings of the Electronics and the Environment, pp. 105-110.
- [4] Kroll, E. 1996. "Application of work-measurement analysis to product disassembly for recycling". **Concurrent Engineering.** 4(2): 149-158.
- [5] Soontornpas, C., Soontornpas, R. and Chumwora-thayi, P. 2008. "Work measurement by work sampling technique in Department of Pharmacy Service". **Srinagarind Med J.** 23(1): 45-52.
- [6] Mital, A. and Ramakrishnan, A. 1999. "A comparison of literature-based design recommendations and experimental capability data for a complex manual materials handling activity". **International Journal of Industrial Ergonomics** 24(1): 73-80.
- [7] Das, B. 1985. **The assessment of the manual materials handling problem.** In Proceeding of the 18<sup>th</sup> Annual Conference of HFAC, Human Factors Association of Canada. 63-66.
- [8] Konz, S. and Johnson, S. 2004. **Work Design: Occupational Ergonomics.** 6th ed. Arizona, USA: Holcomb Hathaway.
- [9] Hoozemans, M.J.M., Van Der Kreek, A.J., Frings-Dresen, M.H.W., Van Duk, F.J.H. and Van Der Woude, L.H.V. 1998. "Pushing and Pulling in relation to musculoskeletal disorders: a review of risk factors". **Ergonomics** 41(41): 757-781.
- [10] Mack, K., Haslegrave, C.M. and Gray M.I. 1995. "Usability of manual handling aids for transporting materials". **Applied Ergonomics** 26(5): 353-364.
- [11] Al-Eisawi, K.W., Kerk, C.J., Congleton, J.J., Amendola, A.A., Jenkins, O.C. and Gaines, W. 1999. "Factors affecting minimum push and pull forces of manual carts". **Applied Ergonomics** 30(3): 235-245.
- [12] Barnes, R. M. 1980. **Motion and Time Study: Design and Measurement of work.** 7th ed. John Wiley and Sons, Inc.
- [13] Niebel, B. W. and Freivalds, A. 2004. **Methods, standards, and work design.** 11th ed. Singapore: McGraw-Hill.



ที่ วศ.0204/246

## มหาวิทยาลัยเกษตรศาสตร์ KASEM BUNDIT UNIVERSITY

คณะวิศวกรรมศาสตร์

5 เมษายน 2554

เรื่อง กองบรรณาธิการแจ้งรับบทความที่ประสังค์ลงตีพิมพ์ในวิชวกรรมสารเกษตรศาสตร์  
เรียน ผศ.ดร.พรศิริ จงกล

ตามที่ท่านได้ส่งบทความ เรื่อง การวิเคราะห์และจัดสรรพนักงานขนส่งในสายการผลิตให้เหมาะสม  
(ANALYSIS AND OPTIMAL ALLOCATION OF TRANSPORTATION OPERATORS IN PRODUCTION LINE) เพื่อลงตีพิมพ์ในวิชวกรรมสารเกษตรศาสตร์ นั้น

ขณะนี้บทความของท่านได้ผ่านการพิจารณาจากกองบรรณาธิการและผู้ทรงคุณวุฒิพิจารณา  
บทความแล้ว

กองบรรณาธิการจะดำเนินการตีพิมพ์บทความของท่านลงใน “วิชวกรรมสารเกษตรศาสตร์ ปีที่ 1  
ฉบับที่ 1 (เดือนมกราคม – เดือนมิถุนายน 2554)” ในลำดับต่อไป

กองบรรณาธิการวิชวกรรมสารเกษตรศาสตร์ ขอขอบคุณเป็นอย่างสูงมา ณ โอกาสนี้และหวังเป็น  
อย่างยิ่งว่าจะได้รับบทความของท่านเพื่อนำลงตีพิมพ์ในวิชวกรรมสารเกษตรศาสตร์ต่อไป เพื่อ  
เป็นประโยชน์แก่การวิเคราะห์และสังคมโดยรวมตามเจตนาหมายของท่านและวิชวกรรมสารเกษตรศาสตร์

จึงเรียนมาเพื่อโปรดทราบ

(รองศาสตราจารย์ ดร.ชัยภรณ์ สัตยานุประเสริฐ)

บรรณาธิการวิชวกรรมสารเกษตรศาสตร์

1761 ถนนพัฒนาการ เขตสวนหลวง กรุงเทพฯ 10250

โทรศัพท์ (02) 320-2777 ต่อ 1211 โทรสาร (02) 321-6930-8 ต่อ 1211

E-mail : [engkasemjournal@hotmail.com](mailto:engkasemjournal@hotmail.com), [engkasemjournal@eng.kbu.ac.th](mailto:engkasemjournal@eng.kbu.ac.th)

วิทยาเขตพัฒนาการ : 1761 ถนนพัฒนาการ เขตสวนหลวง กรุงเทพฯ 10250 โทรศัพท์ 0-2320-2777 โทรสาร 0-2321-4444  
PATANAKARN CAMPUS : 1761 PATANAKARN ROAD, SUAN LUANG, BANGKOK 10250 TEL. 0-2320-2777 FAX 0-2321-4444

วิทยาเขตแม่เหลา : 77 ถนนร่มเกล้า เชียงใหม่ 10510 โทรศัพท์ 0-2904-2222 โทรสาร 0-2904-2200  
ROMKLAO CAMPUS : 77 ROMKLAO ROAD, MINBURI, BANGKOK 10510 TEL. 0-2904-2222 FAX 0-2904-2200

## การวิเคราะห์และจัดสรรพนักงานขนส่งในสายการผลิตให้เหมาะสม Analysis and Optimal Allocation of Transportation Operators in Production Line

พรศิริ จงกล<sup>1</sup> ชีรศักดิ์ ทองสัมฤทธิ์<sup>2</sup> วรรณนิศา นุชคุณ<sup>3</sup>

<sup>1</sup>ผู้ช่วยศาสตราจารย์, สาขาวิชาศิวกรรมอุตสาหการ มหาวิทยาลัยเทคโนโลยีสุรนารี

<sup>2,3</sup>นักศึกษาปริญญาโท, สาขาวิชาศิวกรรมอุตสาหการ มหาวิทยาลัยเทคโนโลยีสุรนารี

### บทคัดย่อ

การปรับปรุงผลิตภาพเป็นปัจจัยหนึ่งที่ใช้เป็นกลยุทธ์หลักเพื่อเพิ่มศักยภาพสำหรับการแข่งขันกันในตลาดโลก จากการศึกษาการทำงานของพนักงานขนส่งในสายการผลิตของบริษัทผู้ผลิตฮาร์ดดิสก์ไดร์ฟแห่งหนึ่ง พบร่วมกันนวนพนักงานขนส่งไม่เหมาะสมกับภาระงานที่ได้รับมอบหมาย ทำให้พนักงานขนส่งมีเวลาว่างที่เกิดจากการรอคอย วัดถูกประสงค์ของการศึกษาครั้งนี้ คือ การกำหนดจำนวนพนักงานขนส่งในสายการผลิต ฮาร์ดดิสก์ไดร์ฟที่เหมาะสมที่สุด จากนั้นแบ่งปัญหาโดยศึกษาการทำงาน กำหนดงานย่อยของพนักงานขนส่ง วัดระยะเวลาในการขนส่ง จับเวลาในการขนส่ง และคำนวณค่าเวลามาตรฐานในการทำงานของพนักงาน จากนั้นจึงคำนวณหาจำนวนพนักงานขนส่งน้อยที่สุดที่สามารถรับภาระงานได้มากที่สุด โดยพิจารณาจากค่าเวลามาตรฐาน ทำให้ลดจำนวนพนักงานขนส่งลงได้ 3 คนต่อกะ หรือ 6 คนต่อวัน ซึ่งเป็นการเพิ่มผลิตภาพการทำงานของพนักงานขนส่งได้

**คำสำคัญ:** การวัดงาน, การศึกษาการทำงาน, การทำงานขนส่ง, ค่าเพื่อ, เวลามาตรฐาน

### ABSTRACT

Productivity improvement is necessary as a major strategy to remain competitive in a global market. Utilization of transportation operators was studied in a hard disk drive manufacturer. The problem found was an inappropriate number of transportation operators that had affected the idle time of operators. The objective of this study was to determine the optimal number of transportation operators in hard disk drive manufacturing processes. To solve such a problem, work study was conducted. Work elements of transportation operation were identified. Travelling distance was measured using a measuring tape, whereas transportation time was recorded using stopwatches. Then, standard time was determined. Finally, the minimum number of transportation operators was calculated using the standard time. The number of operators could be decreased 3 operators per shift or 6 operators per day. This results in 37.5% productivity improvement. It was concluded that work measurement was an important tool used for increasing productivity of transportation operation.

**KEYWORDS:** Work Measurement, Work Study, Transportation Operation, Allowance, Standard Time

## 1. บทนำ

อุตสาหกรรมอาร์ดดิสก์ไดร์ฟ เป็นหนึ่งในอุตสาหกรรมอิเล็กทรอนิกส์ขนาดใหญ่ที่มีบทบาทต่อการพัฒนาเศรษฐกิจของประเทศไทยเป็นอย่างมาก ในปัจจุบันความต้องการผลิตภัณฑ์จากกลุ่มอุตสาหกรรมอิเล็กทรอนิกส์มีแนวโน้มเพิ่มขึ้นอย่างต่อเนื่อง ส่งผลทำให้อุตสาหกรรมอาร์ดดิสก์ไดร์ฟต้องปรับปรุงและพัฒนาการผลิตให้มีประสิทธิภาพมากยิ่งขึ้น [1] ในปัจจุบันมีการแข่งขันทางด้านคุณภาพและราคาของอาร์ดดิสก์ แต่เนื่องจากเทคโนโลยีการผลิตนั้นมีความก้าวหน้าและใกล้เคียงกัน ผู้ผลิตอาร์ดดิสก์ไดร์ฟจึงให้ความสำคัญต่อการลดต้นทุนการผลิต โดยหาแนวทางกลยุทธ์และวิธีการด่าง ๆ มาใช้ในการจัดการระบบการผลิต เพื่อเพิ่มประสิทธิภาพในการผลิตและสร้างโอกาสในการแข่งขันให้มีมากขึ้น

การปรับปรุงผลิตภัณฑ์เพื่อเพิ่มประสิทธิภาพในการผลิตให้สูงขึ้น และใช้ทรัพยากรที่มีอยู่ให้เกิดประโยชน์สูงสุด [2-3] ใน การปรับปรุงผลิตภัณฑ์เพื่อเพิ่มผลผลิต เช่น การศึกษาการทำงาน [4] การใช้เครื่องมือการปรับปรุงคุณภาพ การใช้แบบจำลองสถานการณ์ [5] เป็นต้น การศึกษาการทำงานและการวัดงาน (Work Measurement) เป็นเทคนิคที่ใช้ในการเพิ่มประสิทธิภาพการทำงานโดยพิจารณาจากเวลาการทำงาน [6] โดยมีงานวิจัยหลายงานได้นำเทคนิคดังกล่าวไปใช้ในการกำหนดจำนวนพนักงานให้เหมาะสม [7-9]

บริษัทกรณีศึกษาในงานวิจัยนี้ เป็นบริษัทผู้ผลิตอาร์ดดิสก์ไดร์ฟ ซึ่งมีการผลิตผลิตภัณฑ์หลักอยู่ 2 ชนิด คือ อาร์ดดิสก์ไดร์ฟ ขนาด 2.5 นิ้ว สำหรับคอมพิวเตอร์แบบเป้าหัว (Notebook Computer) และอาร์ดดิสก์ไดร์ฟขนาด 3.5 นิ้ว สำหรับคอมพิวเตอร์ส่วนบุคคล (Personal Computer) จากการเข้าไปศึกษาเบื้องต้น พบร่วม มีความสูญเสียเกิดขึ้นในกระบวนการผลิต อันเนื่องจากการร้อนอย่างรุนแรงที่ส่งผลกระทบต่อคุณภาพของผลิตภัณฑ์ ทำให้ต้องหยุดการผลิตชั่วคราว 2 ครั้ง รวมระยะเวลา 10 วัน ซึ่งส่งผลกระทบต่อรายได้และกำไรของบริษัทอย่างมาก

งานของพนักงานขั้นสูงในสายการผลิตอาร์ดดิสก์ไดร์ฟ ซึ่งทำให้เกิดความไม่สมดุลในสายการผลิต และเกิดการไฟโลย่างไม่ต่อเนื่องในการผลิต ด้วยเหตุดังกล่าวงานวิจัยนี้จึงได้หาแนวทางการใช้ทรัพยากรมนุษย์ที่มีอยู่ให้เกิดประโยชน์สูงสุดด้วยวิธีการศึกษาการทำงาน (Work Study) โดยมีวัตถุประสงค์ คือกำหนดจำนวนพนักงานขั้นสูงในสายการผลิตอาร์ดดิสก์ไดร์ฟให้เหมาะสม

## 2. วิธีการศึกษา

การศึกษาการวิเคราะห์อัตรากำลังของพนักงานขั้นสูงในสายการผลิตมีขั้นตอนการดำเนินงาน ดังนี้

1. เลือกพื้นที่ที่ทำการศึกษา
2. วิเคราะห์งานของพนักงานขั้นสูง
3. กำหนดขนาดตัวอย่าง
4. วัดงานโดยใช้มาตรวัดเวลา
5. กำหนดค่าเวลาเพื่อ
6. คำนวณค่าเวลามาตรฐานในการทำงาน
7. คำนวณหาจำนวนพนักงานขั้นสูงที่เหมาะสมที่สุด
8. วิเคราะห์การปฏิบัติงานขั้นสูงโดยใช้โปรแกรมสำเร็จรูป Flexsim

## 3. ผลการศึกษา

การศึกษาการทำงานของพนักงานขั้นสูงในสายการผลิตอาร์ดดิสก์ไดร์ฟ ได้ผลดังนี้

### 3.1 การเลือกพื้นที่ที่ทำการศึกษา

ในกระบวนการผลิตอาร์ดดิสก์ไดร์ฟมีการขนส่งเกิดขึ้น 8 จุดและจำนวนของพนักงานขั้นสูงทั้งหมดในกระบวนการผลิตอาร์ดดิสก์ไดร์ฟเท่ากับ 158 คน ต่อวัน เมื่อพิจารณาพัฒนาระบบการทำงานของพนักงานขั้นสูงของแต่ละจุดพบว่า การขนส่งระหว่าง QC#3 ถึง LPP นั้นพนักงานต้องร่องจากท้ายสายการผลิตของผลิตภัณฑ์ให้ครบตามจำนวนที่รถเข็นสามารถบรรจุงานได้ก่อน จึงจะเข็นรถเข็นเพื่อขนส่งงานจากท้ายสายการผลิตของผลิตภัณฑ์ไปยัง

สถานีงานถัดไป เป็นผลให้เกิดการรอคอยของพนักงานมากที่สุด ดังนั้นจึงทำการเลือกศึกษาในพื้นที่การขนส่งระหว่าง QC#3 ถึง LPP ซึ่งทำการผลิตอาร์ดิสก์ไดร์ฟ ขนาด 2.5 และ 3.5 นิ้ว โดยมีจำนวนพนักงานขนส่งเท่ากับ 16 คน

### 3.2 การวิเคราะห์งานของพนักงานขนส่ง

จากการศึกษาการทำางานของพนักงานขนส่งในพื้นที่การขนส่งระหว่าง QC#3 ถึง LPP พบว่า พนักงานขนส่งปฏิบัติงานโดยใช้รถเข็นงาน 2 ประเภท คือ รถเข็นงานสำหรับอาร์ดิสก์ไดร์ฟ ขนาด 2.5 นิ้ว และรถเข็นงานสำหรับอาร์ดิสก์ไดร์ฟ ขนาด 3.5 นิ้ว โดยมีระยะทางในการขนส่ง เท่ากับ 125.4 และ 128.4 เมตร สำหรับการขนส่งอาร์ดิสก์ไดร์ฟ ขนาด 2.5 และ 3.5 นิ้ว ตามลำดับ ระยะเวลาการทำางานของพนักงานเท่ากับ 10.5 ชั่วโมงต่อกะ กิจกรรมงานย่อของพนักงานขนส่ง (Flow Process Chart) เป็นดังแสดงในตารางที่ 1 และ 2

ตารางที่ 1 กิจกรรมงานย่อของพนักงานขนส่ง อาร์ดิสก์ไดร์ฟ ขนาด 2.5 นิ้ว

อาร์ดิสก์ไดร์ฟขนาด 2.5 นิ้ว	สัญลักษณ์
1. พนักงานเดินไปที่รถเข็นงาน	⇒
2. เข็นงานไปวาง ณ จุดวางที่สถานีงานถัดไป	⇒
3. เดินไปเอารถเข็นงานเปล่า	⇒
4. รอรถใส่งานมาใส่รถเข็นงานเปล่า	D
5. เข็นรถเข็นงานเปล่ามาที่ท้ายสายการผลิต	⇒
6. เดินไปนั่ง	⇒

ตารางที่ 2 กิจกรรมงานย่อของพนักงานขนส่ง อาร์ดิสก์ไดร์ฟ ขนาด 3.5 นิ้ว

อาร์ดิสก์ไดร์ฟขนาด 3.5 นิ้ว	สัญลักษณ์
1. พนักงานเดินไปที่รถเข็นงาน	⇒
2. เข็นงานไปวาง ณ จุดวางที่สถานีงานถัดไป	⇒
3. เดินไปเอารถเข็นงานเปล่า	⇒
4. รอรถใส่งานมาใส่รถเข็นงานเปล่า	D
5. เข็นรถเข็นงานเปล่ามาที่ท้ายสายการผลิต	⇒
6. เดินไปนั่ง	⇒

### 3.3 การกำหนดขนาดตัวอย่าง

จากการจับเวลาการทำงานของพนักงานขนส่ง ในเมืองตัน พบว่าเวลาที่ใช้ในการขนส่งแต่ละรอบอยู่ในช่วง 2–5 นาที จานนั้นจึงคำนวนขนาดตัวอย่าง ตามสมการ (1) ได้เท่ากับ 30 ตัวอย่าง [10] เมื่อนำข้อมูลเวลาการขนส่งมาวิเคราะห์ทางสถิติ พบว่า ข้อมูลมีลักษณะการแจงแบบปกติ โดยกำหนดค่าความคลาดเคลื่อนเท่ากับ  $\pm 5\%$  และระดับความเชื่อมั่นเท่ากับ 95% ( $\pm 2\sigma$ )

$$\pm 2\sigma_x = \pm 0.05 \bar{x}$$

$$N = \left[ \frac{40\sqrt{n\Sigma x^2 - (\Sigma x)^2}}{\Sigma x} \right]^2 \quad (1)$$

โดย  $\sigma_x$  คือ ค่าเบี่ยงเบนมาตรฐานของค่าเวลาเฉลี่ย  $N$  คือ จำนวนขนาดตัวอย่างที่เหมาะสม  $n$  คือ จำนวนตัวอย่างที่ได้ทำการศึกษา  $x$  คือ ข้อมูลเวลาของตัวอย่างที่ได้ทำการศึกษา

### 3.4 การวัดงาน

หลังจากการจับเวลาการทำงานของพนักงานขนส่งงาน ทำให้ได้เวลาการทำงาน จากนั้นทำการประเมินอัตราการทำงานโดยใช้ระบบWesting House โดยได้ผลดังนี้

ความชำนาญเฉลี่ย	D	0.00
ความพยายามเฉลี่ย	D	0.00
เงื่อนไขการทำงานดี	C	+0.02
ความสม่ำเสมอของใช้	E	-0.02
รวม		<u>0.00</u>

ซึ่งผลคุณระหว่างค่าเวลาการทำงานกับอัตราการทำงาน ทำให้ได้เวลาการทำงานปกติในแต่ละรอบการทำงานของพนักงานขนส่งงาน ดังตารางที่ 3 และ 4 จะเห็นได้ว่า เวลาการทำงานปกติของพนักงานขนส่ง าร์ดดิสก์ไดร์ฟ ขนาด 3.5 นิ้ว มีค่ามากกว่าเวลาการทำงานปกติของพนักงานขนส่ง าร์ดดิสก์ไดร์ฟ ขนาด 2.5 นิ้ว ซึ่งมีสาเหตุมาจากการใช้เวลาที่มากกว่าในขั้นตอนการเขียนงานไปวาง ณ จุดวางที่สถานีงาน ถัดไป การรออยู่ถ้าได้ส่งงานมาใส่รถเข็นงานเปล่า และการเข็นรถเข็นงานเปล่ามาที่ท้ายสายการผลิต

### ตารางที่ 3 เวลาการทำงานปกติของพนักงานขนส่ง าร์ดดิสก์ไดร์ฟ ขนาด 2.5 นิ้ว

าร์ดดิสก์ไดร์ฟ ขนาด 2.5 นิ้ว	เวลาเฉลี่ย (วินาที)
1.พนักงานเดินไปที่รถเข็นงาน	6.42
2.เข็นงานไปวาง ณ จุดวางที่สถานีงาน ถัดไป	43.31
3.เดินไปหยิบบัตรงาน	2.58
4.เดินไปเอกสารเข็นงานเปล่า	9.81
5.รอถ้าได้ส่งงานมาใส่รถเข็นงานเปล่า	45.24
6.เข็นรถเข็นงานเปล่ามาที่ท้ายสายการผลิต	44.38
7.เดินไปนั่ง	5.54
รวม	157.27

### ตารางที่ 4 เวลาการทำงานปกติของพนักงานขนส่ง าร์ดดิสก์ไดร์ฟ ขนาด 3.5 นิ้ว

าร์ดดิสก์ไดร์ฟ ขนาด 3.5 นิ้ว	เวลาเฉลี่ย (วินาที)
1.พนักงานเดินไปที่รถเข็นงาน	7.39
2.เข็นงานไปวาง ณ จุดวางที่สถานีงาน ถัดไป	64.55
3.เดินไปเอกสารเข็นงานเปล่า	10.15
4.รอถ้าได้ส่งงานมาใส่รถเข็นงานเปล่า	66.55
5.เข็นรถเข็นงานเปล่ามาที่ท้ายสายการผลิต	56.44
6.เดินไปนั่ง	5.48
รวม	210.54

### 3.5 การกำหนดค่าเวลาเพื่อ

การกำหนดเบอร์เซ็นต์ค่าเวลาเพื่อของการทำงานขนส่ง เป็นดังแสดงในตารางที่ 5 เวลาเพื่อคงที่ นั้นมาจากกิจส่วนตัว 5% และความเมื่อยล้า 4% ส่วนเวลาเพื่อผันแปรนั้นมาจาก การยืนทำงาน 2% และ การใช้อวัยวะในร่างกายช้าๆ 2% รวมเบอร์เซ็นต์ค่าเวลาเพื่อทั้งหมดเท่ากับ 13% [11]

### ตารางที่ 5 เบอร์เซ็นต์ค่าเพื่อในการทำงาน

เวลาเพื่อ	เบอร์เซ็นต์ค่าเวลาเพื่อ
เวลาเพื่อคงที่	
กิจส่วนตัว	5%
ความเมื่อยล้า	4%
เวลาเพื่อผันแปร	
ยืนทำงาน	
การใช้อวัยวะในร่างกายช้าๆ	2%
รวม	13%

### 3.6 การคำนวณเวลา มาตรฐานการทำงานทำงาน

การคำนวณเวลา มาตรฐานการทำงาน ทำได้โดย การนำเวลาการทำงานปกติของพนักงานขนส่งคูณกับ ค่าเวลาเพื่อ คือ 1.13 ซึ่งมาจาก  $(1 + \% \text{ ค่าเวลาเพื่อ})$  ทำให้ได้เวลาการทำงานมาตรฐานการทำงานสำหรับ การขันส่ง าร์ดดิสก์ไดร์ฟขนาด 2.5 และ 3.5 นิ้ว เท่ากับ 177.72 และ 237.91 วินาที ตามลำดับ ดัง ตารางที่ 6

ตารางที่ 6 เวลา มาตรฐานการทำงานของพนักงานขนส่ง

สายการผลิต	เวลา มาตรฐาน (วินาที)
าร์ดดิสก์ไดร์ฟขนาด 2.5 นิ้ว	177.72
าร์ดดิสก์ไดร์ฟขนาด 3.5 นิ้ว	237.91

### 3.7 การคำนวณจำนวนพนักงานขนส่งที่เหมาะสมที่สุด

การคำนวณจำนวนพนักงานขนส่งที่เหมาะสมที่สุดนั้นต้องทราบจำนวนรอบในการขันส่งต่อ พนักงานแต่ละคนต่อ กะ และแผนการผลิต าร์ดดิสก์ ไดร์ฟต่อ กะ ทั้งนี้เวลาการทำงานทั้งหมดต่อ กะ ของ พนักงานขนส่ง เท่ากับ 37,800 วินาที ( $10.5 \text{ ชั่วโมง} \times 60 \text{ นาที} \times 60 \text{ วินาที}$ ) ซึ่งเวลานี้ไม่รวมเวลาพักของ พนักงาน จากนั้นนำเวลาการทำงานทั้งหมดต่อ กะ และเวลา มาตรฐานการทำงานต่อรอบมาคำนวณหา จำนวนรอบในการขันส่งต่อ กะ ของ าร์ดดิสก์ไดร์ฟดัง สมการ (2) ผลปรากฏว่าจำนวนรอบในการขันส่งต่อ คนต่อ กะ ของ าร์ดดิสก์ไดร์ฟขนาด 2.5 นิ้วเท่ากับ 213 รอบ

$$\begin{aligned} \text{จำนวนรอบในการขันส่ง} &= \frac{\text{เวลาการทำงานทั้งหมดต่อ กะ}}{\text{เวลา มาตรฐานการทำงานต่อรอบ}} \quad (2) \\ \text{ต่อคนต่อ กะ} &= \frac{213}{\text{}} \\ &= 213 \text{ รอบต่อ กะ} \end{aligned}$$

ส่วนการคำนวณหาจำนวนพนักงานในการขันส่ง ต่อ กะ ของ าร์ดดิสก์ไดร์ฟขนาด 2.5 นิ้วนั้นใช้สมการ (3) ทั้งนี้จำนวนแผนการผลิตของ าร์ดดิสก์ไดร์ฟเป็น ข้อมูลที่ไม่เปิดเผย สำหรับจำนวนหน่วยของ าร์ดดิสก์ที่ พนักงานแต่ละคนขนส่งต่อ กะ คำนวณจากจำนวนรอบ ในการขันส่งต่อ คนต่อ กะ คูณด้วยจำนวนหน่วยที่ พนักงานแต่ละคนขนส่งต่อรอบผลการคำนวณปรากฏ ว่าจำนวนพนักงานขนส่งต่อ กะ เท่ากับ 3 คน

$$\begin{aligned} \text{จำนวนพนักงาน} &= \frac{\text{แผนการผลิตของ าร์ดดิสก์}}{\text{ไดร์ฟขนาด 2.5 นิ้ว ต่อ กะ}} \quad (3) \\ \text{ในการขันส่งต่อ กะ} &= \frac{\text{จำนวนหน่วยที่พนักงานแต่ละ}}{\text{คนขนส่งต่อ กะ}} \\ &= 3 \text{ คนต่อ กะ} \end{aligned}$$

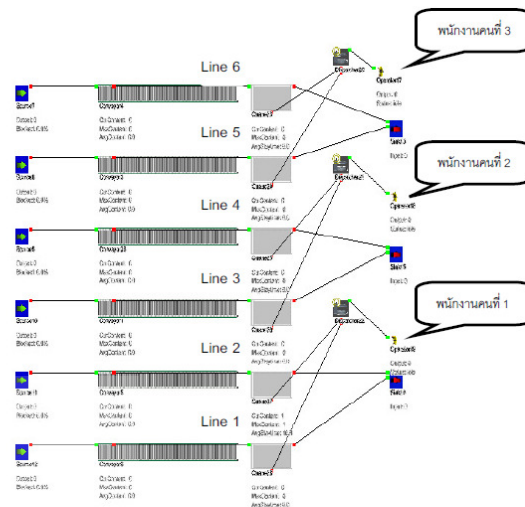
ในการคำนวณหาจำนวนพนักงานในการขันส่ง าร์ดดิสก์ไดร์ฟขนาด 3.5 นิ้ว สามารถคำนวณได้โดย วิธีเดียวกันกับวิธีข้างต้น โดยได้ผลลัพธ์แสดงในตาราง ที่ 7 เมื่อเปรียบเทียบจำนวนพนักงานที่ลดลง พบว่า ในกระบวนการผลิต าร์ดดิสก์ไดร์ฟขนาด 2.5 นิ้ว สามารถลดพนักงานลงได้ 2 คน และในกระบวนการผลิต าร์ดดิสก์ไดร์ฟขนาด 3.5 นิ้ว สามารถลดพนักงานได้ 1 คน (ตารางที่ 8)

ตารางที่ 7 จำนวนพนักงานขนส่งที่เหมาะสมที่สุด

สายการผลิต	รอบการขันส่ง (รอบ/กะ/คน)	จำนวนพนักงาน (คน/กะ)
าร์ดดิสก์ไดร์ฟ ขนาด 2.5 นิ้ว	213	3
าร์ดดิสก์ไดร์ฟ ขนาด 3.5 นิ้ว	159	2

ตารางที่ 8 การเปรียบเทียบจำนวนพนักงานที่ลดลง

สถานการณ์	จำนวนพนักงาน อาร์ดดิสก์ไดร์ฟ ขนาด 2.5 นิ้ว (คน/กะ)	จำนวนพนักงาน อาร์ดดิสก์ไดร์ฟ ขนาด 3.5 นิ้ว (คน/กะ)
ปัจจุบัน	5	3
งานวิจัยนี้	3	2

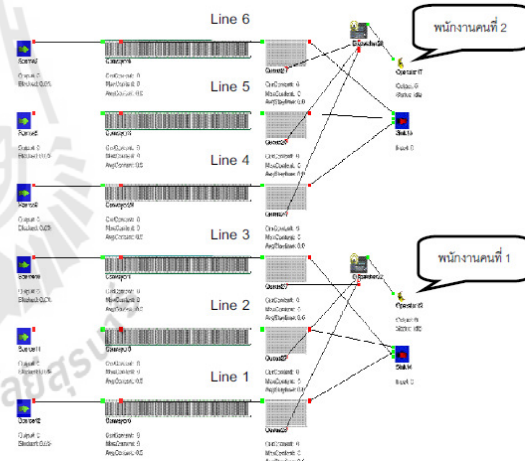


### 3.8 การวิเคราะห์การปฏิบัติงานขนส่งโดยใช้โปรแกรมสำเร็จรูป

งานวิจัยนี้ทำการจำลองสถานการณ์ด้วยโปรแกรมคอมพิวเตอร์ Flexsim การสร้างแบบจำลองสถานการณ์การปฏิบัติงานขนส่งงานในสายการผลิตอาร์ดดิสก์ไดร์ฟ ใช้ข้อมูลดังนี้ 1) อัตราการเข้ามาของงานขนส่ง (Arrival rate) ซึ่งก็คือ อัตราการประกอบอาร์ดดิสก์ไดร์ฟขนาด 2.5 และ 3.5 นิ้ว ในสายการผลิต และ 2) เวลาที่พนักงานขนส่งใช้ในการขนส่งงานแต่ละรอบ ซึ่งก็คือ เวลามาตรฐานการทำงานของพนักงานขนส่ง

ลักษณะการจำลองระบบการทำงานจริงในปัจจุบัน เป็นดังนี้คือ ในสายการผลิตอาร์ดดิสก์ไดร์ฟ ขนาด 2.5 นิ้ว ซึ่งประกอบด้วย 10 สายการผลิตและมีพนักงานขนส่ง 5 คน โดยพนักงานแต่ละคนหันผิดชอบคนละ 2 สายการผลิต และมีพนักงาน ขนาด 3.5 นิ้ว ซึ่งประกอบด้วย 6 สายการผลิต และมีพนักงานขนส่ง 3 คน โดยพนักงานแต่ละคนรับผิดชอบคนละ 2 สายการผลิต (รูปที่ 1) ในขณะที่การจำลองระบบการทำงานหลังการปรับปรุงของพนักงานเป็นดังนี้คือ ในสายการผลิตอาร์ดดิสก์ไดร์ฟ ขนาด 2.5 นิ้ว กำหนดจำนวนพนักงานขนส่งเท่ากับ 3 คน พนักงานแต่ละคนรับผิดชอบคนละ 4 สายการผลิต ส่วนการจำลองระบบการปฏิบัติงานขนส่งงานในสายการผลิตาร์ดดิสก์ไดร์ฟ ขนาด 3.5 นิ้ว กำหนดให้มีพนักงานขนส่ง 2 คน โดยพนักงานแต่ละคนรับผิดชอบคนละ 3 สายการผลิต (รูปที่ 2)

รูปที่ 1 แบบจำลองการทำงานในปัจจุบันของสายการผลิตอาร์ดดิสก์ไดร์ฟ ขนาด 2.5 นิ้ว



รูปที่ 2 แบบจำลองการทำงานหลังการปรับปรุงของสายการผลิตาร์ดดิสก์ไดร์ฟ ขนาด 3.5 นิ้ว

การทดสอบความถูกต้องของแบบจำลองสถานการณ์การปฏิบัติงานขนส่งงานในสายการผลิตอาร์ดดิสก์ไดร์ฟที่สร้างขึ้นนี้ทำได้โดยการเปรียบเทียบจำนวนผลผลิตที่ได้จากการจำลองกับจำนวนผลผลิตที่ได้จากการทำงานจริง ซึ่งผลปรากฏว่าไม่แตกต่างกัน จึงสามารถสรุปได้ว่าแบบจำลองสถานการณ์ที่สร้างขึ้นมา มีความถูกต้อง นอกจากนี้

ยังทำการกำหนดค่าเริ่มต้นของแบบจำลองระบบการปฏิบัติงาน โดยให้ระบบทำงานเป็นเวลาทั้งหมด 75,600 วินาที เพื่อไม่ให้ค่าเริ่มต้น เช่น อัตราการเข้ามาของงานในช่วงเริ่มทำงานมีผลกระทบต่อค่าของผลการจำลอง

### 3.8.1 การทำจำนวนซ้ำ (Replications)

ในการศึกษาครั้งนี้ได้เลือกใช้วิธีการของ Confidence Interval [12] ซึ่งเป็นวิธีการที่ใช้หลักสถิติเข้ามาช่วยกำหนดจำนวนซ้ำ โดยทำการกำหนดปัจจัยนำเข้า ผลลัพธ์ กำหนดจำนวนซ้ำตามความแม่นยำที่ต้องการ ( $d_{\text{required}}$ ) จากนั้นนำผลลัพธ์มาวิเคราะห์ทางสถิติเพื่อนำมาเปรียบเทียบกับจำนวนซ้ำตามความแม่นยำที่ต้องการ โดยมีพารามิเตอร์ดังนี้

- 1) ปัจจัยนำเข้า คือ เวลาการทำงานของพนักงานขนส่งงาน (วินาที)
- 2) ผลลัพธ์ คือ ร้อยละของเวลาการทำงานของพนักงานขนส่งงาน
- 3) ค่าเพื่อ (Look ahead) คือ การประมาณค่าเฉลี่ยที่ผิดพลาด มีค่าเท่ากับ 5

กำหนดให้  $d_n$  เป็นครึ่งหนึ่งของความกว้างของ Confidence Interval ซึ่งคำนวณได้ในสมการ (4)

$$d_n = \frac{100t_{n-1,\alpha/2} S_n / \sqrt{n}}{X_n} \quad (4)$$

โดย  $n$  คือ จำนวนซ้ำที่ใช้  
 $t_{n-1,\alpha/2}$  คือ ค่า Student t สำหรับองค์กริสระ  $n-1$   
 และนัยสำคัญของ  $1-\alpha$   
 $X_n$  คือ ค่าเฉลี่ยสะสมของผลลัพธ์  
 $S_n$  คือ ค่าประมาณของส่วนเบี่ยงเบน

### 3.8.2 เงื่อนไขในการหยุดการเปรียบเทียบระหว่าง $d_n$ กับ $d_{\text{required}}$ (Stopping Criteria)

Robinson [13] ได้เสนอเงื่อนไขในการหยุดการเปรียบเทียบระหว่าง  $d_n$  กับ  $d_{\text{required}}$  ว่าเมื่อพบค่า  $d_n$  ที่น้อยที่สุดที่ไม่เกินค่า  $d_{\text{required}}$  ให้ทำการหยุดการเปรียบเทียบ และ Law [12] แนะนำว่าใช้ค่า  $k$  ของ  $d_n$  นั้น เป็นจำนวนซ้ำที่เชื่อถือได้ แต่ทั้งนี้ก็เป็นไปได้ว่าอาจจะเกิดการหยุดก่อนที่ ควรจะเป็น ซึ่งจะนำไปสู่การประมาณค่าเฉลี่ยที่ผิดพลาดได้ เพื่อเป็นการป้องกันการเกิดปัญหานี้ จึงได้มีการใช้ค่าเพื่อที่เรียกว่า "look ahead" ซึ่งแทนด้วย  $kLimit$  โดยค่า  $kLimit$  นิยามกำหนดให้มีค่าประมาณ 5 ใน การเปรียบเทียบเพิ่ม เพื่อตรวจสอบความเที่ยงตรงที่ยังคงไม่เกินค่า  $d_{\text{required}}$  โดยจำนวนซ้ำที่ได้จะแทนด้วย  $N_{sol}$  ตามเงื่อนไขดังนี้

$$f(kLimit) = \begin{cases} kLimit, & n \leq 100 \\ \left\lceil \frac{n \times kLimit}{100} \right\rceil, & n > 100 \end{cases}$$

จากการศึกษา โดยการกำหนดจำนวนซ้ำที่ 20 ซ้ำ ผลจากการจำลองระบบการทำงานของพนักงานขนส่งงาน พบว่าผลลัพธ์ ซึ่งก็คือ ค่าร้อยละเวลาการทำงานของพนักงานขนส่งงาน (Loading time) มีค่าเท่ากันทุก ๆ ซ้ำ เนื่องจากปัจจัยนำเข้าของระบบเป็นค่าคงที่ เมื่อนำ  $d_{20}$  มาเปรียบเทียบกับ  $d_{\text{required}}$  พบว่า  $d_{20}$  มีค่าไม่เกิน  $d_{\text{required}}$  และว่าการจำลองสถานการณ์ด้วยโปรแกรมโดยใช้จำนวน 20 ซ้ำ มีความน่าเชื่อถือ แต่เพื่อป้องกันการประมาณค่าเฉลี่ยที่ผิดพลาดดังที่กล่าวไว้ในเงื่อนไขในการหยุดการเปรียบเทียบ จึงได้มีการเพิ่มค่า  $kLimit$  เท่ากับ 5 และทำการอีกครั้งที่  $d_{25}$  ผลปรากฏว่าไม่เกินค่า  $d_{\text{required}}$  และนั้นในการจำลองสถานการณ์จึงเลือกใช้จำนวนซ้ำเป็น 25 ซ้ำ

### 3.8.3 ผลที่ได้จากการจำลองสำหรับสถานการณ์

จากการจำลองสถานการณ์การปฏิบัติงานของพนักงานในสายการผลิตอาร์ดดิสก์ไดร์ฟ ผลที่ใช้ในการพิจารณาคือร้อยละของเวลาการทำงานของพนักงานขณะส่ง (Loading time) ร้อยละของเวลาทำงานของพนักงานขณะส่ง (Idle time) และผลผลิตที่ได้ของพนักงานขณะส่ง (Output) ทั้งก่อนปรับปรุงและหลังปรับปรุงจำนวนพนักงาน เมื่อพิจารณาจากตารางที่ 9 พบว่าค่าเฉลี่ยของเวลาทำงานของพนักงานก่อนการลดจำนวนพนักงานเท่ากับร้อยละ 58.45 ได้เพิ่มขึ้นเป็นร้อยละ 82.32 ภายหลังจากการลดจำนวนพนักงานสำหรับสายการผลิตอาร์ดดิสก์ไดร์ฟขนาด 2.5 นิ้ว สำหรับสายการผลิตอาร์ดดิสก์ไดร์ฟขนาด 3.5 นิ้ว ค่าดังกล่าวได้เพิ่มจากร้อยละ 64.20 เป็น 90.75

ตารางที่ 9 การเปรียบเทียบร้อยละเวลาการทำงานของระบบก่อนและหลังปรับปรุงจำนวนพนักงาน

สถานการณ์	ร้อยละเวลาทำงาน (Loading time)	
	ก่อนการปรับปรุง	หลังการปรับปรุง
<b>อาร์ดดิสก์ไดร์ฟ ขนาด 2.5 นิ้ว</b>		
พนักงานคนที่ 1	58.46	80.18
พนักงานคนที่ 2	58.46	80.83
พนักงานคนที่ 3	58.45	85.96
พนักงานคนที่ 4	58.45	-
พนักงานคนที่ 5	58.45	-
เฉลี่ย	58.45	82.32
<b>อาร์ดดิสก์ไดร์ฟ ขนาด 3.5 นิ้ว</b>		
พนักงานคนที่ 1	64.20	90.90
พนักงานคนที่ 2	64.20	90.60
พนักงานคนที่ 3	64.20	-
เฉลี่ย	64.20	90.75

ผลจากการเปรียบเทียบร้อยละของเวลาทำงาน (ตารางที่ 10) พบว่า ค่าเฉลี่ยของเวลาทำงานของพนักงานก่อนการลดจำนวนพนักงานเท่ากับร้อยละ 34.17 ได้ลดลงเป็นศูนย์ ภายหลังจากการลดจำนวนพนักงานสำหรับสายการผลิตอาร์ดดิสก์ไดร์ฟขนาด 2.5 นิ้ว สำหรับสายการผลิตอาร์ดดิสก์ไดร์ฟขนาด 3.5 นิ้ว ค่าดังกล่าวได้ลดลงจากร้อยละ 31.19 เป็นศูนย์เช่นกัน

ตารางที่ 10 การเปรียบเทียบร้อยละเวลาทำงานของระบบก่อนและหลังปรับปรุงจำนวนพนักงาน

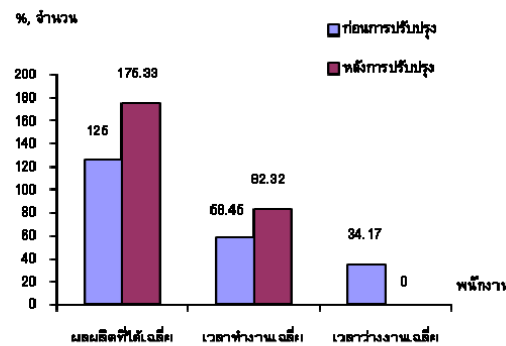
สถานการณ์	ร้อยละเวลาทำงาน (Idle time)	
	ก่อนการปรับปรุง	หลังการปรับปรุง
<b>อาร์ดดิสก์ไดร์ฟ ขนาด 2.5 นิ้ว</b>		
พนักงานคนที่ 1	33.12	0.00
พนักงานคนที่ 2	32.87	0.00
พนักงานคนที่ 3	34.44	0.00
พนักงานคนที่ 4	35.13	-
พนักงานคนที่ 5	35.29	-
เฉลี่ย	34.17	0.00
<b>อาร์ดดิสก์ไดร์ฟ ขนาด 3.5 นิ้ว</b>		
พนักงานคนที่ 1	30.93	0.00
พนักงานคนที่ 2	31.21	0.00
พนักงานคนที่ 3	31.42	-
เฉลี่ย	31.19	0.00

ส่วนผลการเปรียบเทียบผลผลิตที่ได้ (ตารางที่ 11) พบว่าค่าเฉลี่ยของผลผลิตก่อนการลดจำนวนพนักงาน เท่ากับ 125 รอบ ได้เพิ่มขึ้นเป็น 175.33 รอบ ภายหลังจากการลดจำนวนพนักงานสำหรับสายการผลิตอาร์ดดิสก์ไดร์ฟขนาด 2.5 นิ้ว สำหรับสายการผลิตอาร์ดดิสก์ไดร์ฟขนาด 3.5 นิ้ว ค่าดังกล่าวได้เพิ่มจาก 102 รอบ เป็น 144.50 รอบ

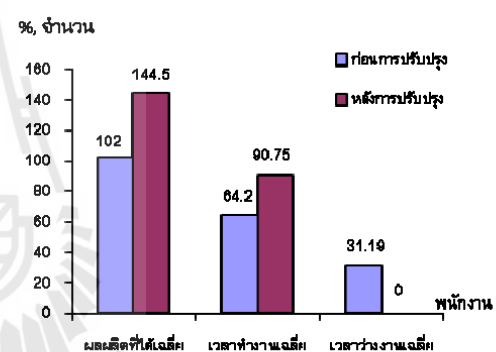
**ตารางที่ 11 การเปรียบเทียบผลผลิตที่ได้ของระบบก่อนและหลังปรับปรุงจำนวนพนักงาน**

การจำลอง	ผลผลิตที่ได้ (Output)	
	สถานการณ์ ก่อนการปรับปรุง	หลังการปรับปรุง
<b>อาร์ดิสก์ไคร์ฟ ขนาด 2.5 นิ้ว</b>		
พนักงานคนที่ 1	125	171
พนักงานคนที่ 2	125	172
พนักงานคนที่ 3	125	183
พนักงานคนที่ 4	125	-
พนักงานคนที่ 5	125	-
เฉลี่ย	125	175.33
<b>อาร์ดิสก์ไคร์ฟ ขนาด 3.5 นิ้ว</b>		
พนักงานคนที่ 1	102	145
พนักงานคนที่ 2	102	144
พนักงานคนที่ 3	102	-
เฉลี่ย	102	144.50

การเปรียบเทียบประสิทธิภาพของระบบก่อนและหลังปรับปรุงจำนวนพนักงานในสายการผลิตอาร์ดิสก์ไคร์ฟ ขนาด 2.5 นิ้ว และ 3.5 นิ้ว แสดงตั้งรูปที่ 3 และ 4 ตามลำดับ โดยการขันส่งงานในสายการผลิตอาร์ดิสก์ไคร์ฟ ขนาด 2.5 นิ้ว สามารถเพิ่มผลผลิตโดยเฉลี่ยของพนักงานขึ้นส่งร้อยละ 40.26 เวลาการทำงานเพิ่มขึ้นร้อยละ 40.84 และลดเวลาว่างของพนักงานลงได้ร้อยละ 100 ในส่วนของการขันส่งงานในสายการผลิตอาร์ดิสก์ไคร์ฟ ขนาด 3.5 นิ้ว ผลผลิตโดยเฉลี่ยของพนักงานขันส่งเพิ่มขึ้นร้อยละ 41.67 เวลาการทำงานเพิ่มขึ้นร้อยละ 41.36 และสามารถลดเวลาว่างของพนักงานได้ร้อยละ 100



**รูปที่ 3 การเปรียบเทียบระบบก่อนและหลังปรับปรุงจำนวนพนักงานในสายการผลิตอาร์ดิสก์ไคร์ฟขนาด 2.5 นิ้ว**



**รูปที่ 4 การเปรียบเทียบระบบก่อนและหลังปรับปรุงจำนวนพนักงานในสายการผลิตอาร์ดิสก์ไคร์ฟขนาด 3.5 นิ้ว**

#### 4. สรุป

การศึกษาครั้งนี้ พิบว่าจำนวนพนักงานขันส่งลดลงได้ 3 คนต่อกะ หรือ 6 คนต่อวัน และผลิตภาพการทำงานของพนักงานขันส่งเพิ่มขึ้นร้อยละ 37.5 โดยจำนวนพนักงานขันส่งที่เหมาะสม คือ 3 คน สำหรับกระบวนการผลิตอาร์ดิสก์ไคร์ฟขนาด 2.5 นิ้ว และ 2 คน สำหรับกระบวนการผลิตอาร์ดิสก์ไคร์ฟขนาด 3.5 นิ้ว นอกจากนี้ผลจากการจำลองสถานการณ์การปฏิบัติงานขันส่งงานในสายการผลิตอาร์ดิสก์ไคร์ฟด้วยโปรแกรมคอมพิวเตอร์นั้นแสดง

ว่าหลังจากการลดจำนวนพนักงานขนส่งลง ทำให้พนักงานมีเวลาว่างงานลดลงและประสิทธิภาพการทำงานของพนักงานขนส่งเพิ่มขึ้น

### กิตติกรรมประกาศ

งานวิจัยนี้ได้รับทุนสนับสนุนจากศูนย์วิจัยร่วมเฉพาะทางด้านส่วนประกอบชาร์คดิสก์ไดร์ฟ คณะวิศวกรรมศาสตร์ มหาวิทยาลัยขอนแก่น และศูนย์เทคโนโลยีอิเล็กทรอนิกส์ และคอมพิวเตอร์แห่งชาติ สำนักงานพัฒนาวิทยาศาสตร์และเทคโนโลยีแห่งชาติ

ขอขอบคุณ มหาวิทยาลัยเทคโนโลยีสุรนารี ที่ให้ทุนสนับสนุนการศึกษาและทำวิจัย

### เอกสารอ้างอิง

- [1] Electronics Trend Publications. (2009). **The Worldwide Electronics Manufacturing Services Market.** (Cited 2010 March 25). Available from: <http://www.electronictrendpubs.com>
- [2] Sink, D.S. (1983). "Much do about productivity: Where do we go from here". **Industrial Engineering.** Vol.15, No.10, 36-48.
- [3] Russell, R.S. and Taylor, B.W. (2007). **Operations Management: Along the Supply Chain.** 6<sup>th</sup> ed. New York, USA: John Wiley and Sons.
- [4] Mayer, F.E. and Stewart, J.R. (2002). **Motion and Time Study for Lean manufacturing.** 3<sup>rd</sup> ed. Singapore: Prentice Hall.
- [5] Banks, J., Carson, J.S., Nelson, B.L., Nicol, D.M. (2005). **Discrete - Event System Simulation.** New York, USA: Prentice Hall.
- [6] Barnes, R.M. (1980). **Motion and Time Study: Design and Measurement of work.** 7<sup>th</sup> ed. John Wiley and Sons, Inc.
- [7] Blyer, L., Tieman, L., Stuart, J.A., Dupлага, L., Meyer, N., Grant, E. (2003). "Plastic separation planning enhancement from new laser identification technology and work measurement analysis". **Proceedings of the Electronics and the Environment.** 105-110.
- [8] Kroll, E. (2010). "Application of work-measurement analysis to product disassembly for recycling". **Concurrent Engineering.** Vol.18, No.2, 149-158.
- [9] Soontornpas, C., Soontornpas, R., Chumworathayi, P. (2008). "Work measurement by work sampling technique in Department of Pharmacy Service". **Srinagarind Med J.** Vol.23, No.1, 45-52.
- [10] Konz, S. and Johnson S. (2004). **Work Design: Occupational Ergonomics.** 6<sup>th</sup> ed. Arizona, USA: Holcomb Hathaway.
- [11] Niebel, B.W. and Freivalds, A. (2003). **Methods, standards, and work design.** 11<sup>th</sup> ed. Singapore: McGraw-Hill
- [12] Law, A.M. (2007). **Simulation Modeling and Analysis.** 4<sup>th</sup> ed. McGraw-Hill.
- [13] Robinson, S. (2004). **Simulation; The Practice of Model Development and Use.** John Wiley & Sons Ltd.

## การประเมินภาระงานของพนักงานขนส่งในสายการผลิตฮาร์ดไดร์ฟ Workload Assessment of Hard Disk Drive Transportation Operators

พรศิริ จงกล และ วีรศักดิ์ ทองสัมฤทธิ์\*

สาขาวิชาชีวกรรมอุตสาหกรรม สำนักวิชาชีวกรรมศาสตร์ มหาวิทยาลัยเทคโนโลยีสุรนารี

111 ถนนมหาวิทยาลัย อ้าเงอเมือง จังหวัดนครราชสีมา 30000

E-mail: teerasak\_ie@hotmail.com\*

### บทคัดย่อ

การศึกษาวิจัยครั้งนี้มีวัตถุประสงค์เพื่อประเมินความสามารถในการออกแรงดึงและแรงดันสถิตของพนักงานขนส่งในสายการผลิตฮาร์ดไดร์ฟ งานนี้จัดขึ้นโดยใช้เครื่องชั่งน้ำหนักและเครื่องวัดส่วนสูง ความหนักของภาระงานการเคลื่อนรถเข็นและฮาร์ดไดร์ฟโดยใช้เครื่องชั่งสปริงวัดค่าแรงในการเริ่มเคลื่อนรถเข็นและขณะที่รถเข็นเคลื่อนที่ และความสามารถในการออกแรงโดยใช้เครื่องมือวัดแรงสถิต ผู้ถูกทดสอบที่เข้าร่วมในการวิจัยครั้งนี้มีจำนวน 39 คน ผู้ชาย 21 คน และผู้หญิง 18 คน การเก็บข้อมูลความสามารถในการออกแรงดึงและแรงดันนั้นกระทำที่ระดับความสูงของรถเข็นที่ใช้ในการขนส่ง จากนั้นนำข้อมูลที่ได้จากการวัดค่าความสามารถในการออกแรงของพนักงานขนส่งแล้วคำนวณหาค่าเฉลี่ย ส่วนเบี่ยงเบนมาตรฐาน และเปอร์เซ็นไทล์ ผลจากการเก็บข้อมูลพบว่าความสามารถในการออกแรงดึงและแรงดันสถิตสูงสุดของพนักงานผู้ชายเท่ากับ 16.23 และ 15.40 กิโลกรัม และค่าดั้งกล่าวของพนักงานผู้หญิงเท่ากับ 10.97 และ 8.37 กิโลกรัม ตามลำดับ ในขณะที่ความสามารถในการออกแรงดึงและแรงดันสถิตต่ำสุดของพนักงานผู้ชายเท่ากับ 4.73 และ 4.23 กิโลกรัม และค่าดั้งกล่าวของพนักงานผู้หญิงเท่ากับ 3.40 และ 3.60 กิโลกรัม ตามลำดับ

**คำสำคัญ :** การออกแรงสถิต, ความสามารถในการออกแรงของมนุษย์, ความสามารถในการออกแรงสูงสุดเท่าที่มนุษย์จะกระทำได้โดยสมัครใจ

### Abstract

The objective of this study was to measure static pull and push strengths of hard disk drives transportation operators. Data collected were physical characteristics of operators, workload of operators, and pull and push strengths of operators. Physical characteristics were measured using a scale and an anthropometer set, whereas workload of operators was measured using a spring scale. Pull and push strengths were measured using a static strength measurement system. There were 39 subjects in this study (21 males and 18 females). Pull and push strength exertions were measured at the handle height of the wagon. The mean, standard deviation, and percentiles of strength data were computed. The results showed that the highest pull and push strengths of male were 16.23 and 15.40 kg, respectively, whereas those of females were 10.97 and 8.37 kg, respectively. The lowest pull and push strengths of male were 4.73 and 4.23 kg, respectively, whereas those of females were 3.40 and 3.60 kg, respectively.

**Keywords:** Static Strength, Human Strength, Maximum Voluntary Exertion

#### 1. บทนำ

ในปัจจุบันได้มีการนำเอาระบบการผลิตแบบอัตโนมัติ เข้ามาใช้อย่างแพร่หลายในงานอุตสาหกรรมในประเทศไทย โดยระบบอัตโนมัติดังกล่าวได้ช่วยปรับปรุงผลผลิตให้ดีขึ้น

อย่างไรก็ตามโรงงานอุตสาหกรรมส่วนใหญ่ในประเทศไทย ยังคงอาศัยแรงงานมนุษย์ในการขนย้ายวัสดุหนัก (Manual Material Handling) เช่น กิจกรรมการยกขึ้น (Lifting) การดันหรือการเข็น (Pushing) การดึงหรือการลาก (Pulling)

การเดินกีอ (Carrying) และการบิดเลี้ยว (Turning) หากผู้ปฏิบัติงานไม่แข็งแรงเพียงพอที่จะปฏิบัติงานได้อย่างสมบูรณ์ก็ย่อมจะทำให้ผู้ปฏิบัติงานประสบอันตรายหรือบาดเจ็บได้ (Mital and Ramakrishnan, 1999)

Hoozemans et al. (1998) ได้ร่วมรวมปัจจัยต่างๆ ที่มีผลต่อการเคลื่อนย้ายวัสดุด้วยการดึงหรือดัน แบ่งเป็น 3 ปัจจัยคือ 1) ปัจจัยที่เกี่ยวกับงานและสถานที่ทำงาน ได้แก่ ระยะทางการเคลื่อนย้าย ความถี่ของการทำงาน ความสูงของระย่มือจับ และน้ำหนักในการเคลื่อนย้าย 2) ปัจจัยที่เกี่ยวกับวิธีการทำงานและท่าทางในการทำงาน ได้แก่ ระยะของเท้าถึงรอกเข็น ระยะห่างระหว่างเท้าทั้งสอง ค่าสัมประสิทธิ์แรงเสียดทาน และความเร็วในการเดิน 3) ปัจจัยเนื่องจากตัวพนักงานเอง ได้แก่ เพศ และน้ำหนักของร่างกาย

การเคลื่อนย้ายวัสดุด้วยแรงคนโดยการดันและการดึง มีแนวโน้มเพิ่มขึ้นและมักใช้อุปกรณ์ช่วยในการเคลื่อนย้ายที่สำคัญคือ รถเข็น ซึ่งมีน้ำหนักบรรทุกอยู่ระหว่าง 2-1,500 กิโลกรัม และมีระยะทางการเข็นอยู่ระหว่าง 9-500 เมตร แต่การใช้รถเข็นย้ายสิ่งของต่างๆ ไม่ได้เป็นการช่วยผ่อนแรงเสมอไป ดังนั้นจำเป็นต้องมีการปฏิบัติงานที่เหมาะสมเพื่อช่วยลดแรงในการปฏิบัติงานและการบาดเจ็บจากการปฏิบัติงานให้น้อยลง (Mack, Haslegrove and Gray, 1995) ซึ่งการออกแรงดันหรือแรงดึงจะแปรผันตรงกับน้ำหนักของรถเข็นที่เพิ่มขึ้น ถ้าของที่บรรทุกในรถเข็นมีน้ำหนักมากขึ้นก็จะทำให้พนักงานต้องออกแรงที่มือในการเข็นมากขึ้นด้วย (Al-Eisawi et al., 1999)

Resnick and Chaffin (1995) ใช้วิธีทางชีววิทยา ศาสตร์วิจัยหารแรงดันพลวัตสูงสุดโดยใช้ผู้ทดลองสอนที่มีระดับความแข็งแรงต่างกัน รถเข็นที่ใช้มี 4 ล้อซึ่งใช้ล้อแบบแรงเสียดทานต่ำ พบร่วมค่าแรงเข็นสูงสุดเป็น 500 นิวตัน สำหรับผู้ชาย และ 200 นิวตันสำหรับผู้หญิง นอกจากนี้ยังพบว่าที่น้ำหนักในการทำงานต่ำกว่า 225 กก. จะเกิดแรงกดอัดที่หม้อนรองกระดูกช่วง L5/S1 ไม่เกิน 3,400 นิวตันที่ความเร็วต่ำกว่า 0.5 เมตรต่อวินาที ซึ่งจัดเป็นระดับที่ปลอดภัย

Scott (1998) สำรวจความแตกต่างของความสามารถในการออกแรงดึงสูงสุดในท่าทางและระดับต่างๆ พบว่าในท่าที่ยืนสามารถออกแรงดึงสูงสุดได้ที่ระดับความสูง 1070 mm ท่านั่งสามารถออกแรงดึงสูงสุดได้ที่ระดับความสูง 220 mm และที่ระดับความสูง 200 mm ทั้งมือขวาและมือซ้าย สามารถออกแรงดึงได้สูงสุด ซึ่งข้อมูลเหล่านี้สามารถ

นำมาใช้ในการออกแบบสถานที่ทำงานให้สามารถปฏิบัติงานในท่าทางที่เหมาะสม

การศึกษาเกี่ยวกับความแข็งแรงของร่างกายมนุษย์ เป็นพื้นฐานสำคัญสำหรับการออกแบบผลิตภัณฑ์และสถานที่ทำงานให้เหมาะสม ในปัจจุบันข้อมูลที่มีอยู่ยังไม่ครบถ้วนหรือหลากหลาย ซึ่งทำให้เกิดข้อจำกัดในการนำข้อมูลดังกล่าวไปใช้ในการออกแบบ งานวิจัยเพื่อเก็บข้อมูลทางด้านความสามารถในการออกแรงของมนุษย์จึงเป็นเรื่องจำเป็นเพื่อลดช่องว่างของข้อมูลทางการยศาสตร์ ซึ่งเป็นประโยชน์สำคัญในการเก็บรวบรวมข้อมูลใหม่เพื่อให้ได้ในส่วนที่ตรงตามความต้องการในการใช้งานออกแบบได้มากขึ้น (Peebles and Norris, 2003)

นอกจากนี้แล้วการลดความเจ็บปวดอันเนื่องจากการทำงานนี้ด้วยความสามารถในการปฏิบัติงานของมนุษย์เป็นสิ่งที่สำคัญและควรนำมาพิจารณาในการออกแบบวิธีการทำงาน เพื่อให้ผู้ปฏิบัติงานสามารถปฏิบัติงานได้อย่างมีประสิทธิภาพและเกิดความปลดปล่อย (Das and Black, 2000; Das and Ford, 1999) สิ่งสำคัญคือตัวผู้ปฏิบัติงานเองจำเป็นอย่างยิ่งที่จะต้องทราบขีดความสามารถในการออกแรงของตนเองและพยายามที่จะไม่ออกแรงเกินค่าดังกล่าวเพื่อป้องกันอันตรายที่จะเกิดขึ้น (Das, 1985) ซึ่งโดยทั่วไปแล้วพนักงานไม่ควรออกแรงเกินค่า 15% ของความสามารถในการออกแรงสูงสุด (Maximum Voluntary Exertion) สำหรับการทำงาน 8 ชั่วโมงต่อเนื่องกัน (Konz, 1995) จากการสำรวจเบื้องต้นเกี่ยวกับลักษณะการทำงานของพนักงานขนส่ง พบว่าพนักงานขนส่งทำการเข็นรถเข็นซึ่งบรรจุ荷าร์ดดิสก์ไดร์ฟในกระบวนการผลิตโดยมีระยะเวลาการทำงานประมาณ 10.5 ชั่วโมงต่อวัน ดังนั้นจึงควรทำการศึกษาความหนักของภาระงานของพนักงานขนส่ง และเปรียบเทียบกับค่า 15% ของความสามารถในการออกแรงดึงและดัน เพื่อประเมินความเสี่ยงในการได้รับอันตรายจากการทำงานขนส่งของพนักงาน และนำผลการประเมินดังกล่าวมาเป็นฐานข้อมูลภาระงานของพนักงานขนส่งในสายการผลิต荷าร์ดดิสก์ไดร์ฟ

## 2. วิธีดำเนินการวิจัย

วิธีการเก็บข้อมูลและวิเคราะห์ข้อมูลของงานวิจัยเป็นดังนี้

### 2.1 ศึกษาคุณลักษณะทางกายภาพของผู้ถูกทดสอบ

เครื่องมือและอุปกรณ์ที่ใช้มีดังนี้คือ เครื่องชั่งน้ำหนัก และเครื่องวัดส่วนสูง การเก็บข้อมูลคุณลักษณะทาง

กายภาพเป็นการเก็บข้อมูลเกี่ยวกับ อายุ เพศ น้ำหนัก ส่วนสูง และประสมการณ์ทำงานของผู้ถูกทดสอบ จากนั้นทำการวิเคราะห์ข้อมูลคุณลักษณะทางกายภาพ โดยคำนวณหาค่าเฉลี่ยและส่วนเบี่ยงเบนมาตรฐานของข้อมูล คุณลักษณะทางกายภาพ

## 2.2 การศึกษาภาระงานของพนักงานขนส่ง

อุปกรณ์ที่ใช้ในการปฏิบัติงานขนส่งดังนี้คือ รถเข็น ชิ้นงาน และถุงใส่ชิ้นงาน การเก็บข้อมูลเกี่ยวกับภาระงาน ประกอบด้วย น้ำหนักและขนาดสัดส่วนของรถเข็น ชิ้นงาน และถุงใส่ชิ้นงาน ความหนักของภาระงานโดยพิจารณาจากแรงที่ใช้ในการเข็นเพื่อให้รถเข็นเคลื่อนที่ โดยใช้เกี๊ยงชั้งสปริงในการวัดค่าดังกล่าว จากนั้นทำการวิเคราะห์ข้อมูล ความหนักของภาระงาน โดยคำนวณหาค่าน้ำหนักร่วมของภาระขนส่งแต่ละรอบ และแรงที่ใช้ในการเริ่มเคลื่อนรถเข็น และในขณะที่รถเข็นเคลื่อนที่

## 2.3 การศึกษาความสามารถในการออกแบบภาระงานของพนักงานขนส่ง

เครื่องมือที่ใช้คือ เครื่องมือวัดแรงสติต การเก็บข้อมูล ความสามารถในการออกแบบภาระที่กระทำในสองลักษณะคือ การออกแบบดึงและแรงดันดึงแสดงในรูปที่ 1 และ 2 ตามลำดับ โดยวัดแรงสติตที่ระดับความสูงของรถเข็นที่ใช้ในการขนส่ง ชาร์ดิสก์ไดรฟ์ในสายการผลิต ซึ่งเท่ากับ 90 เซนติเมตร การออกแบบดึงและแรงดันสติตนี้เป็นการใช้แรงจากท่อนแขนเป็นส่วนใหญ่

วิธีการวัดแรงสติตเป็นดังนี้คือ ให้ผู้ถูกทดสอบยืนเท้าทั้งสองข้างห่างกัน 30 เซนติเมตร มือทั้งสองข้างกำมือจับข่องอุปกรณ์ทดสอบไว้ โดยจัดให้แขนท่อนบนของผู้ถูกทดสอบขานานชิดกับลำตัวและแขนท่อนล่างขานานกับพื้น (แขนท่อนบนตั้งฉากกับแขนท่อนล่าง) เมื่อผู้ถูกทดสอบพร้อมแล้วจึงให้สัญญาณแก่ผู้ถูกทดสอบโดยการนับ “1 2 3” เมื่อนับถึงสามแล้ว ให้ผู้ถูกทดสอบเริ่มออกแรงและเพิ่มแรงดัน (หรือดึง) ให้มากที่สุดในช่วง 2 วินาทีแรกโดยไม่เกิดการกระดูก และยังคงออกแรงมากสุดต่อไปอีก 3 วินาที เมื่อเสียงออดสัญญาณดังขึ้น ผู้ถูกทดสอบหยุดออกแรงและนั่งพักอย่างน้อย 2 นาที ก่อนออกแบบครั้งต่อไป ในช่วงการออกแบบ 2 วินาทีแรกเป็นช่วงที่ค่าแรงที่วัดได้มีความเสถียร จึงนำค่าแรงที่วัดได้ในช่วงนี้ไปคำนวณหาค่าเฉลี่ย ค่าเฉลี่ยที่ได้เป็นค่าความสามารถในการออกแบบในครั้งนั้นๆ และมีหน่วยเป็นกิโลกรัม

จากนั้นทำการวิเคราะห์ค่าความสามารถในการออกแบบสติต โดยคำนวณหาค่าเฉลี่ย ส่วนเบี่ยงเบนมาตรฐานค่าแรงสติตสูงสุด ต่ำสุด และค่าแรงสติตที่เปอร์เซ็นต์ที่ 25 50 75 และ 95 ของความสามารถในการออกแบบสติตของผู้ปฏิบัติงาน



รูปที่ 1 การออกแบบดึงของพนักงาน



รูปที่ 2 การออกแบบดันของพนักงาน

## 2.4 การประเมินภาระงานของพนักงานขนส่ง

การประเมินภาระงานของพนักงานขนส่งผู้ชายและผู้หญิง ทำได้โดยนำค่าร้อยละของค่าความสามารถในการออกแบบสติตสูงสุด (15% Maximum Voluntary Exertion) ของตัวผู้ปฏิบัติงานแต่ละคนมาเปรียบเทียบกับค่าแรงเสียดทานจากพื้นในขณะเดินรถเข็นที่บรรจุชาร์ดิสก์ไดรฟ์ ซึ่งวัดได้เท่ากับ 0.5 กิโลกรัม

### 3. ผลการวิจัย

#### 3.1 คุณลักษณะทางกายภาพของผู้ถูกทดสอบ

ตารางที่ 1 แสดงค่าเฉลี่ยและส่วนเบี่ยงเบนมาตรฐาน ของคุณลักษณะของผู้ถูกทดสอบจำนวน 39 คน ซึ่งเป็น ผู้ชาย 21 คน และผู้หญิง 18 คน โดยเฉลี่ยแล้วผู้ชายมีอายุ 29.05 ปี สูง 166.81 เซนติเมตร หนัก 58.38 กิโลกรัม และ มีประสบการณ์ทำงาน 3.33 ปี ส่วนผู้หญิงมีอายุ 29.33 ปี สูง 159.11 เซนติเมตร หนัก 49.72 กิโลกรัม และมี ประสบการณ์ทำงาน 3.78 ปี

ตารางที่ 1 คุณลักษณะทางกายภาพของผู้ถูกทดสอบ 39 คน

รายการ (หน่วย)	ผู้ชาย		ผู้หญิง	
	Mean	S.D.	Mean	S.D.
อายุ (ปี)	29.05	3.49	29.33	4.95
ส่วนสูง (ซม.)	166.81	7.25	159.11	6.86
น้ำหนัก (กก.)	58.38	7.25	49.72	6.22
ประสบการณ์(ปี)	3.33	1.77	3.78	2.84

#### 3.2 ปัจจัยที่เกี่ยวข้องกับภาระการอกร่างของพนักงาน ขนส่ง

ตารางที่ 2 แสดงค่าน้ำหนักของการขนส่ง โดยแต่ละ รอบมีน้ำหนัก 28.8 กิโลกรัม การวัดความหนักของภาระ งานทำโดยใช้เครื่องชั่งปฏิริบบแบบแขวนวัดค่าแรงที่ทำให้ รถเข็นเคลื่อนที่ ซึ่งวัดได้ 0.5 กิโลกรัม

ตารางที่ 2 น้ำหนักของการขนส่งในแต่ละรอบ

รายการ	น้ำหนักต่อรอบการขนส่ง
รถเข็น 1 คัน	18.3 กก.
ชั้งงาน 60 ชั้น	6.0 กก.
ถ้าใส่ชั้งงาน 15 ถ้าด	4.5 กก.
รวมน้ำหนักทั้งหมด	28.8 กก.

#### 3.3 ความสามารถในการอกร่างสกิดของพนักงาน ขนส่ง

ตารางที่ 3 แสดงค่าเฉลี่ย ส่วนเบี่ยงเบนมาตรฐาน และเบอร์เซ็นต์เกล็ตต่าง ๆ ของความสามารถในการอกร่าง ดึงและแรงดันของพนักงานขนส่งผู้ชายและผู้หญิง จาก

การทดสอบในพื้นที่ปฏิบัติงานจริงพบว่าค่าแรงดึงและ แรงดันสกิดเฉลี่ยของพนักงานผู้ชายเท่ากับ 10.10 และ 9.74 กิโลกรัม ตามลำดับ และค่าแรงดึงและแรงดันสกิด เฉลี่ยของพนักงานผู้หญิงเท่ากับ 6.27 และ 5.46 กิโลกรัม ตามลำดับ

ตารางที่ 3 ข้อมูลความสามารถในการอกร่างดึงและ แรงดันของพนักงานขนส่งผู้ชายและผู้หญิง

ข้อมูล	ค่าความสามารถ ในการอกร่างสกิด ของผู้ชาย (กก.)		ค่าความสามารถ ในการอกร่างสกิด ของผู้หญิง (กก.)	
	แรงดึง	แรงดัน	แรงดึง	แรงดัน
Mean	10.10	9.74	6.27	5.46
S.D.	3.37	3.20	2.62	1.54
Min	4.73	4.23	3.40	3.60
25th Percentile	7.53	7.93	3.90	3.93
50th Percentile	9.47	9.17	5.63	5.42
75th Percentile	12.17	11.93	8.04	6.72
95th Percentile	16.07	15.30	10.74	7.83
Max	16.23	15.40	10.97	8.37

#### 3.4 ผลการประเมินภาระงานของพนักงานขนส่ง

1. ผลการประเมินภาระงานของพนักงานขนส่งผู้ชาย การประเมินภาระงานของพนักงานขนส่งผู้ชายเริ่ม จากการคำนวณค่าแรงดึงและแรงดันที่ 15% ของค่าแรงดึง และแรงดันสูงสุด (15% MVE) เช่น ข้อมูลของผู้ถูกทดสอบ คนที่ 1 เป็นจังหวะ ค่าแรงดึงสูงสุดเท่ากับ 4.73 กิโลกรัม ดังนั้นค่าแรงดึงที่ 15% ของค่าแรงดึงสูงสุดเท่ากับ 0.71 กิโลกรัม ดังแสดงในตารางที่ 4

เมื่อเปรียบเทียบค่า 15% ของแรงดึงและแรงดันสูงสุด กับค่าแรงเสียดทาน 0.5 กิโลกรัม ที่เกิดในขณะที่รถเข็น เคลื่อนที่ พบร่วมค่า 15% ของพนักงานผู้ชายทุกคนมีค่าสูง กว่าแรงเสียดทาน ดังนั้นความสามารถของภาระงานขนส่งจึง ไม่เกินกำลังของพนักงาน

2. ผลการประเมินภาระงานของพนักงานขนส่งผู้หญิง การประเมินภาระงานของพนักงานขนส่งผู้หญิงเริ่ม จากการคำนวณค่าแรงดึงและแรงดันที่ 15% ของค่าแรงดึง

และแรงดันเป็นไปในลักษณะเช่นเดียวกับของพนักงานชนสังผู้ชาย ดังแสดงในตารางที่ 5

ผลจากการเปรียบเทียบค่า 15% ของแรงดึงและแรงดันสูงสุดกับค่าแรงเสียดทาน 0.5 กิโลกรัม ที่เกิดในขณะที่รถเข็นเคลื่อนที่ พบร่วม ค่า 15% ของพนักงานผู้หญิง ทุกคนมีค่าสูงกว่าแรงเสียดทาน ดังนั้นความหนักของภาระงานขนส่งจึงไม่เกินกำลังของพนักงาน เช่นเดียวกับผลของพนักงานผู้ชาย

ตารางที่ 4 ผลการคำนวณแรงดึงและแรงดันที่ 15% ของแรงดึงและแรงดันสูงสุดของพนักงานชนสังผู้ชาย

ผู้หญ กทดสอบ (N=21)	ค่าความสามารถ ในการออกแบบ สูงสุด ของผู้ชาย (กก.)		15% ของค่า ความสามารถใน การออกแบบสูงสุด ของผู้ชาย (กก.)	
	แรงดึง	แรงดัน	แรงดึง	แรงดัน
1	4.73	4.23	0.71	0.64
2	5.27	5.87	0.79	0.88
3	6.37	6.53	0.96	0.98
4	7.27	6.63	1.09	1.00
5	7.43	7.17	1.12	1.08
6	7.53	7.93	1.13	1.19
7	8.70	8.00	1.31	1.20
8	8.90	8.13	1.34	1.22
9	8.93	8.27	1.34	1.24
10	8.93	8.37	1.34	1.26
11	9.47	9.17	1.42	1.38
12	9.57	9.20	1.44	1.38
13	10.00	9.83	1.50	1.48
14	10.93	10.07	1.64	1.51
15	11.00	11.33	1.65	1.70
16	12.17	11.93	1.83	1.79
17	13.17	13.33	1.98	2.00
18	13.97	13.37	2.10	2.01
19	15.50	14.53	2.33	2.18
20	16.07	15.30	2.41	2.30
21	16.23	15.40	2.44	2.31
ค่าเฉลี่ย	10.10	9.74	1.52	1.46

ตารางที่ 5 ผลการคำนวณแรงดึงและแรงดันที่ 15% ของแรงดึงและแรงดันสูงสุดของพนักงานชนสังผู้หญิง

ผู้หญ กทดสอบ (N=18)	ค่าความสามารถ ในการออกแบบ สูงสุด ของผู้หญิง (กก.)		15% ของค่า ความสามารถใน การออกแบบสูงสุด ของผู้หญิง (กก.)	
	แรงดึง	แรงดัน	แรงดึง	แรงดัน
1	3.40	3.60	0.51	0.54
2	3.77	3.67	0.57	0.55
3	3.80	3.70	0.57	0.56
4	3.80	3.83	0.57	0.58
5	3.85	3.90	0.58	0.59
6	4.07	4.03	0.61	0.61
7	4.33	4.20	0.65	0.63
8	4.33	5.07	0.65	0.76
9	5.43	5.20	0.82	0.78
10	5.83	5.63	0.88	0.85
11	6.27	6.03	0.94	0.91
12	7.23	6.27	1.09	0.94
13	7.87	6.27	1.18	0.94
14	8.10	6.87	1.22	1.03
15	8.67	6.87	1.30	1.03
16	10.40	6.97	1.56	1.05
17	10.70	7.73	1.61	1.16
18	10.97	8.37	1.65	1.26
ค่าเฉลี่ย	6.27	5.46	0.94	0.82

#### 4. สรุป

งานวิจัยนี้สรุปได้ว่า ความสามารถในการออกแบบสูง และแรงดันสถิติสูงสุดของพนักงานผู้ชายเท่ากับ 16.23 และ 15.40 กิโลกรัม ของพนักงานผู้หญิงเท่ากับ 10.97 และ 8.37 กิโลกรัม ตามลำดับ และความสามารถในการออกแบบสูงและแรงดันสถิติสูงสุดของพนักงานผู้ชายเท่ากับ 4.73 และ 4.23 กิโลกรัม ของพนักงานผู้หญิงเท่ากับ 3.40 และ 3.60 กิโลกรัม ตามลำดับ

จากผลการเปรียบเทียบค่า 15% ของแรงดึงและแรงดันสูงสุดกับค่าแรงเสียดทาน 0.5 กิโลกรัม ที่เกิดในขณะที่รถเข็นเคลื่อนที่ พบร่วม ค่า 15% ของพนักงานทุกคน มีค่าสูงกว่าแรงเสียดทาน ดังนั้นความหนักของภาระงาน

- ขันส่งของพนักงานขนส่งในสายการผลิตอาร์ดิสก์ไดร์ฟซึ่งอยู่ในระดับที่เหมาะสมไม่เกินกำลังของพนักงาน สามารถใช้ผลการประเมินดังกล่าวมาเป็นฐานข้อมูลภาระงานจากการปฏิบัติงานของพนักงานขนส่ง ซึ่งแสดงให้เห็นว่าองค์กรได้ให้ความสำคัญกับพนักงานซึ่งเป็นตัวแปรสำคัญที่จะทำให้การดำเนินงานมีประสิทธิภาพ
- บรรณานุกรม**
- Al-Eisawi, K.W., Kerk, C.J., Congleton, J.J., Amendola, A.A., Jenkins, O.C. and Gaines, W. (1999). **Factors affecting minimum push and pull forces of manual carts.** Applied Ergonomics. 30.3. 235-245.
- Das, B. (1985). **The assessment of the manual materials handling problem.** In Proceeding of the 18<sup>th</sup> Annual Conference of HFAC, Human Factors Association of Canada. 63-66.
- Das, B. and Black, N.L. (2000). **Isometric pull and push strengths of paraplegic in the workplace:** 1. **Strength measurement profiles.** International Journal of Occupational Safety and Ergonomics. 6.1. 47-65.
- Das, B. and Forde, M. (1999). **Isometric push-up and pull-down strengths of paraplegics in the workplace: 1. Strength measurement profiles.** Journal of Occupational Rehabilitation. 9.4. 279-291.
- Hoozemans, M.J.M., Van Der Kreek, A.J., Frings-Dresen, M.H.W., Van Duk, F.J.H. and Van Der Woude, L.H.V. (1998). **Pushing and Pulling in relation to musculoskeletal disorders: a review of risk factors.** Ergonomics. 41.41. 757-781.
- Konz, S. (1995). **Work Design: Industrial Ergonomics.** 4<sup>th</sup> Edition, Publishing Horizons: Arizona.
- Mack, K., Haslegrave, C.M. and Gray M.I. (1995). **Usability of manual handling aids for transporting materials.** Applied Ergonomics. 26.5. 353-364.
- Mital, A. and Ramakrishnan, A. (1999). **A comparison of literature-based design recommendations and experimental capability data for a complex manual materials handling activity.** International Journal of Industrial Ergonomics. 24.1. 73-80.
- Peebles, L. and Norris, B. (2003). **Filling 'gaps' in strength data for design.** Applied Ergonomics. 34. 73-88.
- Resnick, M.L. and Chaffin, D.B. (1995). **An ergonomic evaluation of handle height and load in maximal and sub maximal cart pushing.** Applied Ergonomics. 26.3. 173-178.
- Scott, N.M. (1998). **Isometric pull forces in the sagittal plane.** Applied Ergonomics. 29.5. 319-324.
- กิตติกรรมประกาศ**  
งานวิจัยนี้ได้รับทุนสนับสนุนจากศูนย์วิจัยร่วมเฉพาะทางด้านส่วนประ躬อาร์ดิสก์ไดร์ฟ คณะวิศวกรรมศาสตร์ มหาวิทยาลัยขอนแก่น และศูนย์เทคโนโลยีอิเล็กทรอนิกส์และคอมพิวเตอร์แห่งชาติ สำนักงานพัฒนาวิทยาศาสตร์และเทคโนโลยีแห่งชาติ

## Assessment of Discomfort in Checkstand Cashiers

Pornsiri Jongkol<sup>1</sup>, Teerasak Thongsumrit<sup>2</sup>, Wannisa Nutkhum<sup>3</sup>

<sup>1,2,3</sup>School of Industrial Engineering, Institute of Engineering  
Suranaree University of Technology, Nakhon Ratchasima, Thailand

<sup>1</sup>pornsiri@sut.ac.th

<sup>2</sup>teerasak\_ie@hotmail.com

<sup>3</sup>w\_ann\_isa@hotmail.com

**Abstract -** Cash checkstand serves as the point of sale in grocery stores. Cashiers perform their tasks in the checkstands for prolonged period. Repetitive use of the same muscles, exerting forces with the body, and working in awkward postures are factors contributing to injury. This study was conducted to assess discomfort and risk of working postures in the checkstand cashiers. Body dimensions were measured using anthropometer. Subjective discomfort was evaluated using questionnaire, whereas the risk of working posture was obtained using REBA technique. Twelve cashiers participated in this study. The results showed that 67% of subjects had discomfort in back area. Furthermore, 50% of subjects had discomfort in neck, thigh, knee, and foot area. The score obtained from REBA was 11 indicating high level of risk and therefore, improving working posture was needed.

**Keywords -** Physical characteristics, Checkstand, Working posture, REBA

### I. INTRODUCTION

In Thailand, small and medium enterprises (SMEs) have been of importance for decades since the number of SMEs accounts for 90% of total enterprises. One of the emerging enterprise nowadays is in the field of retailing. Grocery store is the most popular kind of retail business. The number of grocery stores increases at least 10% per year during year 2004-2007. Grocery stores need workers to perform several manual tasks. Checkstand cashiers are required to perform their tasks within checkstands for long working period. Physical demand of the tasks included scanning and bagging, bin handling, keyboard and cash box operations, and standing posture [1]. It was reported that a cashier may scan 40 items or more per minute and spend up to 50% of their customer time either handling or scanning groceries [2]. Epidemiological studies show a high prevalence of discomfort and musculoskeletal disorder in upper extremities in grocery store checkers [3],[4]. Furthermore, back pain was reported as the most common problem, where 77% of cashier reported pain and muscle fatigue at the end of working shift [5]. Therefore, the content of checkstand and work design should be received a great deal of attention to alleviate work-related injuries [6].

Several research works have studied the design of checkstand and provided guidelines that have been implemented in new grocery checkstands. Some of these

design guidelines have shown lower worker discomfort such as checkstands that face the customer, placing the scanner and scale in front of the cashier, installation of side/vertical scanners, minimizing cashier movement of groceries pre- and post-scanning with the use of conveyor, and placing the visual display (item price) within the normal line of sight of the cashier [7],[1]. The checkstand design parameters or dimensions potentially affecting posture while working included work height, stature, normal and maximum reaches, lateral clearance, angle of vision and eye height [1]. Weight of the products is another risk factor which develops back pain. It was found that intermediate and heavy products caused greater amplitude of trunk flexion movements [8]. In addition, asymmetric trunk rotation movements while handling products and large number of repetitions are factors that may increase the risk of injuries.

The current study investigated the risk of musculoskeletal injury associated with working postures of cashiers in a campus area using the Rapid Entire Body Assessment (REBA).

### II. METHODOLOGY

#### A. Subjects

With regards to the ease of field research conduction, it was decided that the most appropriate would be ten convenient stores in the campus area with a total of nineteen cashiers.

#### B. Measurement of Physical Characteristics

Relevant physical characteristics of the subjects were gathered. They were age, gender, work experience, weight, body height, functional reach with arm straight, functional reach with flexed shoulder, elbow to fingertip distance, and checkstand surface to fingertip height (Fig. 1). Equipment used to collect these data were a scale and an anthropometer set.

#### C. Cashier Interview and Checkstand Survey

From a direct survey, the checkstands used in this study were designed to be standing workstations, and no seating was provided. A measuring tape was used to measure dimensions of checkstands, tools and equipment

used in cashier tasks. An interview was conducted to query response on perception of checkstand appropriateness. Furthermore, the cashiers were required to identify discomfort placed on nine parts of the body including neck, shoulder, upper back, elbow, lower back, wrist/hand, hip/thigh, knee, and ankle/foot (Fig. 2).

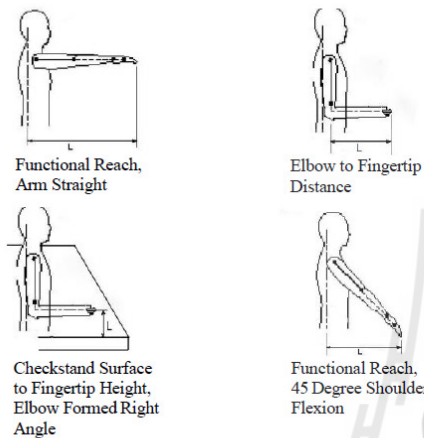


Fig. 1. Relevant body dimensions

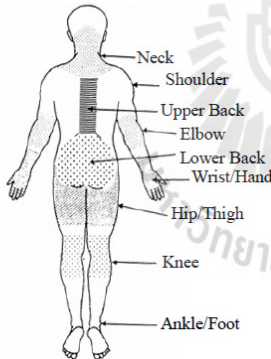


Fig. 2. Nine body parts

#### D. Evaluation of Working Posture Using REBA

The REBA method [9] was employed to assess work activities. A video camera was used to record working postures while the subjects performed their tasks. The postures that occurred most frequently were chosen to the analysis. Using the method of REBA, the movements of each task were scored according to certain criteria provided in group A and B body part diagrams. Group A body part diagram was used to assess the movement of trunk, neck and legs, whereas group B body part diagram was used to assess the movement of upper and lower arms

and wrists (Fig. 3 and 4). Then, score C, which was the summation of score A and B, was integrated with activity score to obtain REBA score (Tables I, II and III). The REBA score was used to determine action level (Table IV), ranging from the level 0 (action is not necessary) to 4 (action is necessary now). By following this process for each task, the movements in most urgent need of action were detected and improvements were introduced to reduce the risk level.

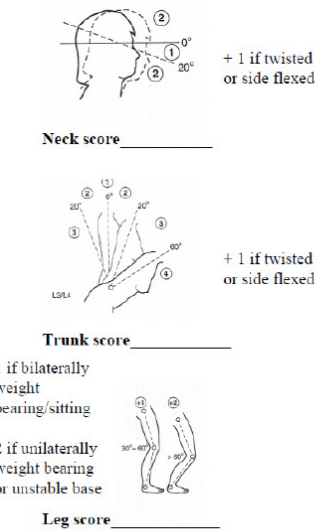


Fig. 3. Group A body parts

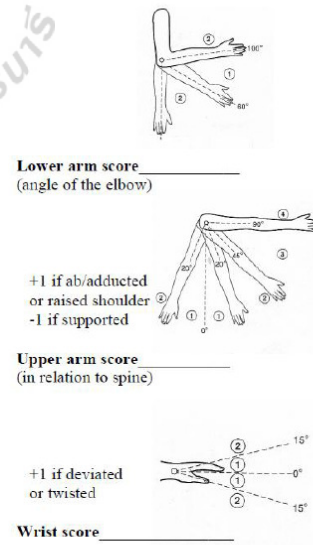


Fig. 4. Group B body parts

TABLE I  
TABLE A SCORE

		Trunk				
Legs		1	2	3	4	5
Neck = 1	1	1	2	2	3	4
	2	2	3	4	5	6
	3	3	4	5	6	7
	4	4	5	6	7	8
		Trunk				
Legs		1	2	3	4	5
Neck = 2	1	1	3	4	5	6
	2	2	4	5	6	7
	3	3	5	6	7	8
	4	4	6	7	8	9
		Trunk				
Legs		1	2	3	4	5
Neck = 3	1	3	4	5	6	7
	2	3	5	6	7	8
	3	5	6	7	8	9
	4	6	7	8	9	9

TABLE II  
TABLE B SCORE

		Upper arm					
Wrist		1	2	3	4	5	6
Lower arm = 1	1	1	1	3	4	6	7
	2	2	2	4	5	7	8
	3	2	3	5	5	8	8
		Upper arm					
Wrist		1	2	3	4	5	6
Lower arm = 2	1	1	2	4	5	7	8
	2	2	3	5	6	8	9
	3	3	4	5	7	8	8

TABLE III  
TABLE C SCORE

		Score B											
		1	2	3	4	5	6	7	8	9	10	11	12
Score A	1	1	1	1	2	3	3	4	5	6	7	7	7
	2	1	2	2	3	4	4	5	6	6	7	7	8
	3	2	3	3	3	4	5	6	7	7	8	8	8
	4	3	4	4	4	5	6	7	8	8	9	9	9
	5	4	4	4	5	6	7	8	8	9	9	9	9
	6	6	6	6	7	8	8	9	9	9	10	10	10
	7	7	7	7	8	9	9	9	10	10	11	11	11
	8	8	8	8	9	10	10	10	10	10	11	11	11
	9	9	9	9	10	10	10	11	11	11	12	12	12
	10	10	10	10	11	11	11	12	12	12	12	12	12
	11	11	11	11	11	12	12	12	12	12	12	12	12
	12	12	12	12	12	12	12	12	12	12	12	12	12

TABLE IV  
REBA ACTION LEVELS

Level		Risk Factor	Action
Action	Score		
0	1	Negligible	No need for any action
1	2-3	Low	Action has probably already been taken to get to this level
2	4-7	Medium	Further consideration should be given as how risk can be lowered
3	8-10	High	Action needs to taken very soon
4	11-15	Very High	Work must cease until a safer solution can be found

### III. RESULTS

#### A. Subjects

Seventeen out of nineteen subjects were females. Most cashiers were 20-25 years of age. The average stature and weight were 156.53 cm and 56.29 kg, respectively (Table V). They worked in standing posture alternated with moving around the checkstands. All of them were right-handed.

TABLE V  
PHYSICAL CHARACTERISTICS

Physical Characteristics	Mean	S.D.
Stature (cm)	156.53	7.51
Weight (kg)	56.29	11.65
Functional Reach, Arm Straight (cm)	67.16	5.26
Elbow to Fingertip Distance (cm)	42.53	2.82
Checkstand Surface to Fingertip Height, Elbow Formed Right Angle (cm)	11.47	7.55
Functional Reach, Shoulder Flexed 45 Degree (cm)	56.21	5.43

#### B. Checkstands

From the survey, it was found that the checkstands in ten convenient stores were different in both design and dimension (Table VI). The equipments used in checkstand workstations were printer, laser scanner, keyboard, price display, bag hanger, and cash box. Most cashiers did not show negative opinion regarding checkstands used during work.

TABLE VI  
CHECKSTANDS DIMENSIONS

Grocery stores	Height (cm)	Wide (cm)	Length (cm)
1	90	61	183
2	89	61	134
3	78	35	150
4	90	57	129
5	73	76	184
6	100	62	333
7	90	50	140
8	100	80	180
9	90	51	300
10	90	57	150
Average	89	59	188.3

### C. Cashier Discomfort

It was found that most cashiers reported discomfort placed on upper back (73.68%), neck (68.42%) and lower back (68.42%), whereas 21.05% of them reported discomfort placed on elbow. Furthermore, they also reported discomfort in shoulder, hip/thigh, knee and ankle/foot areas. Least percentage of cashiers expressed discomfort in elbow (Fig. 5).

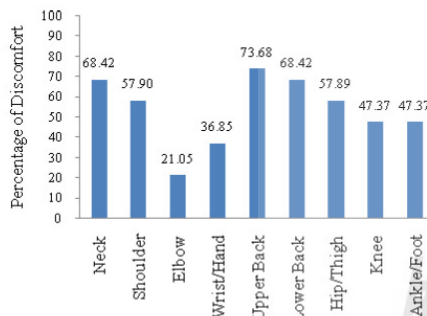


Fig. 5. Percentage of cashiers reporting discomfort placed on body parts

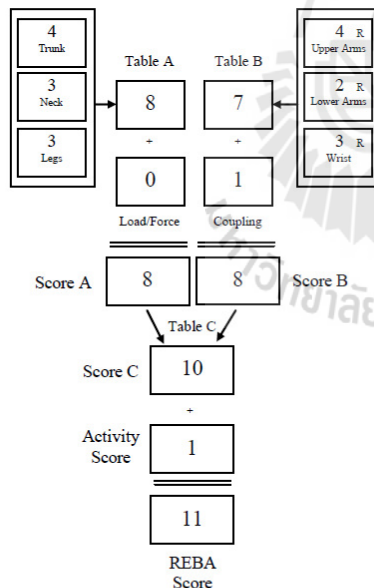


Fig. 6. REBA score sheet

### D. REBA Score

Using REBA, the most frequent working posture of the cashiers was assessed (Fig. 6). The scores were obtained as follows.

### Group A diagrams:

- Trunk is flexed more than 60°(4).
- Neck is flexed more than 20° and flexed sideways (3).
- Legs are weight bearing and flexed more than 60° (3).

### Group B diagrams:

- Upper arms are flexed more than 90° (4).
- Lower arms are flexed less than 60° (2)
- Wrists is flexed/extended more than 60° and deviated (3).

Score C (10) was the summation of score A and B and then the activity score (1) was added to score C. The total REBA score was 11. This referred to a REBA action level of 4, which indicated a very high risk of injury and the action was necessary now.

## IV. DISCUSSION

The REBA score obtained in this study showed that the improvement action was necessary. However, it was contradictory to the opinion of the cashiers. For the cashiers, improvement of checkstand and relocation of equipment within the checkstand area were unnecessary since they were familiar with their checkstands. To seek the improvements, working postures were further analyzed. Fig. 7 showed that printer, laser scanner, keyboard, price display and cash box were placed at the left side of the cashier. Furthermore, the checkstand was relatively low. Thus, the cashier had to twist and lean her body and flex her neck during performing the task. This resulted in discomfort in neck, upper back, lower back, hip/thigh, knee and ankle/foot as the cashier reported in the questionnaire. To solve this problem, the checkstand height should be increased and the placement of tools which are frequently used should be moved to the front of the cashier (Fig. 8).



Fig. 7. A low checkstand

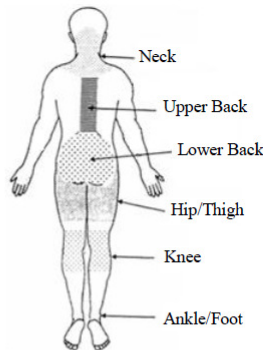


Fig. 8. Discomfort in different body parts

Some checkstands were higher than the cashiers' elbow height. In Fig. 9, the cashier raised her shoulder during work. This led to discomfort placed on the shoulder area of the cashier. Moreover, it was found that the edge of the checkstand was sharp and pinched the lower arm of the cashier (Fig. 10). To alleviate this problem, the platform should be provided and the edge of the checkstand should be rounded.



Fig. 9. A high checkstand

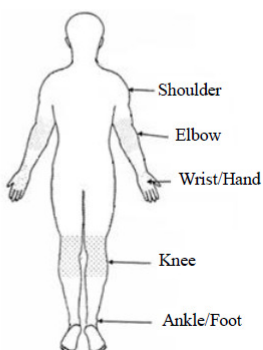


Fig. 10. Discomfort in different body parts

The problem of toe space was found in some convenient stores. Fig. 11 showed that toe space was not provided. Thus, the cashier must stretch out her hands. This is likely to induce discomfort in the shoulder area. A checkstand with two different surface levels was found as shown in Fig. 12. Using this type of checkstand can cause shoulder discomfort since the cashier flexed her shoulders to reach the upper surface level of the checkstand. Fig. 13 shows that most equipments were placed at the left side of the cashier. Since the cashier was right-handed, working with these equipments required body twisting. A repetition of such posture may lead eventually to lower back pain. Thus, the components which need frequent operations should be placed in front of cashier to reduce the twisting of the torso [1].



Fig. 11. Checkstand with no toe space



Fig. 12. Checkstand with two different surface levels



- [9] S. Hignett and L. McAtamney, "Rapid Entire Body Assessment (REBA)," *Applied Ergonomics*. vol. 31, no. 2, pp. 201-205, April. 2000.

Fig. 13. Placing most equipment on the left hand side of the cashier

## V. CONCLUSION

By means of the application of the REBA method, the postural workload of the cashiers was assessed. The REBA score obtained showed that the risk factor was very high and the improvement action was necessary. Deficiencies of checkstand design and layout were detected and improvements were consequently pointed out.

## REFERENCES

- [1] B. Das and A. K. Sengupta, "Industrial workstation design: A systematic ergonomics approach," *Applied Ergonomics*. vol. 27, no. 3, pp. 157-163, June. 1996.
- [2] K. Lehman and W. Marras, "The effects of human interface design on wrist biomechanics during scanning," *In Proceedings of the Human Factors and Ergonomics Society 38<sup>th</sup> Annual Meeting*, pp. 614-620.
- [3] A. Osorio, R. Ames, J. Jones, J. Castorina, D. Rempel, W. Estrin and D. Thompson, "Carpal tunnel syndrome among grocery store workers," *Am. J. Ind. Med.* vol. 25, no 2, pp. 229-245, 1994.
- [4] U. Hinzen, T. Laubli, U. Guggenbuehl and H. Krueger, "Design of check-out systems including laser scanners for sitting work posture," *Work Env. Hlth*, vol 18, pp. 186-194, 1992.
- [5] C. A. Diniz and Jr. M. Ferreira, "Prevalência de sintomas miásculoesqueléticos de operadores de checkout em supermercados," *Revista Brasileira de Saude Ocupacional*, no 93/94, pp. 75-91, 1998.
- [6] US Department of Labor (OSHA), "Ergonomics for the prevention of musculoskeletal disorders: Guidelines for retail grocery stores, *OSHA Publication*, pp 3192.
- [7] P. Spielholz, N. Howard, E. Carcamo and B. Coulter, "Field evaluation of a new grocery checkstand design," *Applied Ergonomics*. vol. 39, no. 1, pp. 87-91. Jan. 2008.
- [8] A. L. F. Rodacki, J. E. A. Vieira, M. L. L. R. Okimoto, N. E. Fowler and C. L. N. Rodacki, "The effect of handling products of different weights on trunk kinematics of supermarket cashiers," *International Journal of Industrial Ergonomics*. vol. 36, no. 2, pp. 129-134. Feb. 2006.

## ประวัติผู้เขียน

นายธีรศักดิ์ ทองสัมฤทธิ์ เกิดเมื่อวันที่ 3 พฤษภาคม พ.ศ. 2529 ที่จังหวัดสุราษฎร์ธานี เริ่มศึกษาระดับประถมศึกษาที่โรงเรียนวัดพรุศรี ระดับมัธยมศึกษาที่โรงเรียนบ้านตาขุนวิทยา อำเภอ  
บ้านตาขุน จังหวัดสุราษฎร์ธานี สำเร็จการศึกษาระดับปริญญาวิศวกรรมศาสตรบัณฑิต (วิศวกรรม  
อุตสาหการ) สำนักวิชาวิศวกรรมศาสตร์ มหาวิทยาลัยเทคโนโลยีสุรนารี จังหวัดนครราชสีมา  
ในปีการศึกษา 2552 ในขณะเดียวกันมีความสนใจและได้เลือกห็นถึงความสำคัญ ในการทำความรู้  
เพิ่มเติมด้านวิศวกรรมอุตสาหการ จึงศึกษาต่อระดับปริญญาโท สาขาวิชาวิศวกรรมอุตสาหการ  
ณ สถาบันการศึกษาเดิม ระหว่างการศึกษาได้ปฏิบัติงานเป็นผู้ช่วยวิจัยทางด้านการยศาสตร์ และ  
ผู้สอนปฏิบัติการรายวิชาปฏิบัติการกรรมวิธีการผลิต สาขาวิชาวิศวกรรมอุตสาหการ มหาวิทยาลัย  
เทคโนโลยีสุรนารี

ระหว่างการศึกษาระดับปริญญาโท ได้มีผลงานเป็นบทวิชาการที่ได้รับตีพิมพ์เผยแพร่  
จำนวน 2 บทความ บทความนิยมวิจัยที่ส่งเข้าร่วมการประชุมสัมมนาภายในประเทศจำนวน 3 บทความ  
และบทความนิยมที่ส่งเข้าร่วมการประชุมสัมมนาต่างประเทศจำนวน 2 บทความ โดยมีรายละเอียด  
ปรากฏในภาคผนวก ณ.